

COMMITTENTE:



DIREZIONE LAVORI:



APPALTATORE:



PROGETTAZIONE:	PROGETTISTA:	DIRETTORE DELLA PROGETTAZIONE
RAGGRUPPAMENTO TEMPORANEO PROGETTISTI	Prof. Ing. MARCO PETRANGELI	Ing. PIETRO MAZZOLI Responsabile integrazione fra le varie prestazioni specialistiche

PROGETTO ESECUTIVO

ITINERARIO NAPOLI-BARI RADDOPPIO TRATTA CANCELLO-BENEVENTO I° LOTTO FUNZIONALE CANCELLO-FRASSO TELESINO E VARIANTE ALLA LINEA ROMA-NAPOLI VIA CASSINO NEL COMUNE DI MADDALONI

PONTI E VIADOTTI DI LINEA

Tratta Canello-Frasso Telesino - VIADOTTO dal km 10+326 al km 11+737: Viadotto S. Michele
Pila 04: Relazione di calcolo

APPALTATORE		SCALA:
CONSORZIO CFT IL DIRETTORE TECNICO Geom. C. Bianchi 13/09/2018		-

COMMESSA	LOTTO	FASE	ENTE	TIPO	DOC.	OPERA/DISCIPLINA	PROGR.	REV.
I F 1 N	0 1	E	Z Z	C L		V I 0 6 0 5	0 0 4	B

Rev.	Descrizione	Redatto	Data	Verificato	Data	Approvato	Data	Autorizzato Data
A	Emissione	L. Gasperoni	11/07/2018	M. Petrangeli	11/07/2018	P.Mazzoli	11/07/2018	M. Petrangeli 13/09/2018
B	Rev. Istruttoria ITF 29/08/18	L. Gasperoni	13/09/2018	M. Petrangeli	13/09/2018	P.Mazzoli	13/09/2018	

  	ITINERARIO NAPOLI – BARI RADDOPPIO TRATTA CANCELLO – BENEVENTO I° LOTTO FUNZIONALE CANCELLO - FRASSO TELESINO E VARIANTE ALLA LINEA ROMA-NAPOLI VIA CASSINO NEL COMUNE DI MADDALONI – PROGETTO ESECUTIVO												
Pila 04: Relazione di calcolo	<table border="1"> <thead> <tr> <th>COMMESSA</th> <th>LOTTO</th> <th>CODIFICA</th> <th>DOCUMENTO</th> <th>REV.</th> <th>FOGLIO</th> </tr> </thead> <tbody> <tr> <td>IF1N</td> <td>01 E ZZ</td> <td>CL</td> <td>VI0605 004</td> <td>B</td> <td>3 di 137</td> </tr> </tbody> </table>	COMMESSA	LOTTO	CODIFICA	DOCUMENTO	REV.	FOGLIO	IF1N	01 E ZZ	CL	VI0605 004	B	3 di 137
COMMESSA	LOTTO	CODIFICA	DOCUMENTO	REV.	FOGLIO								
IF1N	01 E ZZ	CL	VI0605 004	B	3 di 137								

Indice

1	PREMESSA	6
2	NORMATIVA E DOCUMENTI DI RIFERIMENTO.....	7
2.1	NORMATIVE.....	7
2.2	ELABORATI DI RIFERIMENTO.....	8
3	MATERIALI.....	9
3.1	CALCESTRUZZO PER FUSTO PILA E PULVINO.....	9
3.2	CALCESTRUZZO PER PLINTO DI FONDAZIONE.....	10
3.3	CALCESTRUZZO PER PALI DI FONDAZIONE.....	11
3.4	ACCIAIO PER BARRE DI ARMATURA	12
4	CARATTERIZZAZIONE GEOTECNICA.....	13
4.1	CARATTERIZZAZIONE GEOTECNICA	13
5	DESCRIZIONE DELLA STRUTTURA	14
6	ANALISI DEI CARICHI	19
6.1	PERMANENTI STRUTTURALI (G1).....	19
6.1.1	PESO PROPRIO IMPALCATI.....	19
6.1.2	PESO PROPRIO PILA	21
6.2	PERMANENTI NON STRUTTURALI (G2).....	21
6.2.1	BALLAST (G21).....	21
6.2.2	PERMANENTI NON STRUTTURALI GENERICI (G22).....	23
6.2.3	RIEMPIMENTO PILA E TERRENO DI RICOPRIMENTO	24
6.3	CARICHI DA TRAFFICO	25
6.3.1	CARICHI VERTICALI DA TRAFFICO (Q1).....	34
6.3.2	AZIONI DI AVVIAMENTO E FRENATURA (Q2).....	48
6.3.3	FORZA CENTRIFUGA (Q3).....	63
6.3.4	SERPEGGIO (Q4).....	78
6.4	CARICHI VARIABILI (Q5).....	85
6.4.1	AZIONI DEL VENTO (Q51).....	85
6.5	AZIONI INDIRETTE (Q6).....	94
6.5.1	RESISTENZE PARASSITE NEI VINCOLI (Q61).....	94
6.6	EFFETTI D'INTERAZIONE (Q7).....	95
6.6.1	VARIAZIONI TERMICHE DELL'IMPALCATO (Q71).....	95
6.6.2	AZIONI DI FRENATURA E AVVIAMENTO	96
6.6.3	INFLESSIONE DELL'IMPALCATO DOVUTA AI CARICHI VERTICALI DA TRAFFICO	96

  	ITINERARIO NAPOLI – BARI RADDOPPIO TRATTA CANCELLO – BENEVENTO I° LOTTO FUNZIONALE CANCELLO - FRASSO TELESINO E VARIANTE ALLA LINEA ROMA-NAPOLI VIA CASSINO NEL COMUNE DI MADDALONI – PROGETTO ESECUTIVO												
Pila 04: Relazione di calcolo	<table border="1"> <thead> <tr> <th>COMMESSA</th> <th>LOTTO</th> <th>CODIFICA</th> <th>DOCUMENTO</th> <th>REV.</th> <th>FOGLIO</th> </tr> </thead> <tbody> <tr> <td>IF1N</td> <td>01 E ZZ</td> <td>CL</td> <td>VI0605 004</td> <td>B</td> <td>4 di 137</td> </tr> </tbody> </table>	COMMESSA	LOTTO	CODIFICA	DOCUMENTO	REV.	FOGLIO	IF1N	01 E ZZ	CL	VI0605 004	B	4 di 137
COMMESSA	LOTTO	CODIFICA	DOCUMENTO	REV.	FOGLIO								
IF1N	01 E ZZ	CL	VI0605 004	B	4 di 137								

6.7	AZIONI SISMICHE (E)	97
6.7.1	SPETTRI DI PROGETTO ALLO SLV	98
7	COMBINAZIONI DI CARICO	101
8	ANALISI DELLE SOLLECITAZIONI.....	105
8.1	MODELLO DI CALCOLO E.F.	105
8.2	MASSE E FORZE SISMICHE.....	105
8.3	ANALISI MODALE	ERRORE. IL SEGNALIBRO NON È DEFINITO.
8.4	CARICHI ELEMENTARI	110
8.4.1	RIEPILOGO DEGLI SCARICHI DALL'IMPALCATO	110
8.5	SOLLECITAZIONI DI CALCOLO	114
8.5.1	SOLLECITAZIONI ALLA BASE DEL FUSTO PILA	114
8.5.2	SOLLECITAZIONI ALL'INTRADOSSO DEL PLINTO DI FONDAZIONE.....	117
8.5.1	SOLLECITAZIONI DISTRIBUITE IN TESTA AI PALI DI FONDAZIONE	117
9	VERIFICHE STRUTTURALI DEL FUSTO PILA.....	118
9.1	GEOMETRIA DELLA SEZIONE DI VERIFICA E ARMATURA.....	118
9.1.1	ARMATURA LONGITUDINALE	118
9.1.2	ARMATURA TRASVERSALE	118
9.1.3	VERIFICA DELL'ARMATURA MINIMA.....	119
9.2	VERIFICA SLU A FLESSIONE	122
9.3	VERIFICA SLU A TAGLIO	124
9.4	VERIFICA SLE TENSIONALE	125
9.5	VERIFICA SLE A FESSURAZIONE.....	125
9.6	VERIFICA DEGLI SPOSTAMENTI.....	125
10	VERIFICHE STRUTTURALI DEI PALI DI FONDAZIONE	126
10.1	GEOMETRIA DELLA SEZIONE DI VERIFICA E ARMATURA.....	126
10.2	VERIFICA SLU A PRESSOFLESSIONE	126
10.3	VERIFICA SLU A TAGLIO	128
10.4	VERIFICA SLE TENSIONALE	129
10.5	VERIFICA SLE A FESSURAZIONE.....	129
11	VERIFICHE STRUTTURALI DEL PLINTO DI FONDAZIONE	130
11.1	VERIFICHE SLU-SLE CON MECCANISMO TIRANTE-PUNTONE	130
11.1.1	GEOMETRIA DEL TIRANTE-PUNTONE	132
11.1.2	SEZIONE DEL TIRANTE DI ARMATURA E DELLA BIELLA COMPRESSA.....	133
11.1.3	VERIFICHE SLU DELLE TENSIONI NORMALI.....	134
11.1.4	VERIFICHE SLE DELLE TENSIONI NORMALI.....	134

  	ITINERARIO NAPOLI – BARI RADDOPPIO TRATTA CANCELLO – BENEVENTO I° LOTTO FUNZIONALE CANCELLO - FRASSO TELESINO E VARIANTE ALLA LINEA ROMA-NAPOLI VIA CASSINO NEL COMUNE DI MADDALONI – PROGETTO ESECUTIVO												
Pila 04: Relazione di calcolo	<table border="1"> <thead> <tr> <th>COMMESSA</th> <th>LOTTO</th> <th>CODIFICA</th> <th>DOCUMENTO</th> <th>REV.</th> <th>FOGLIO</th> </tr> </thead> <tbody> <tr> <td>IF1N</td> <td>01 E ZZ</td> <td>CL</td> <td>VI0605 004</td> <td>B</td> <td>5 di 137</td> </tr> </tbody> </table>	COMMESSA	LOTTO	CODIFICA	DOCUMENTO	REV.	FOGLIO	IF1N	01 E ZZ	CL	VI0605 004	B	5 di 137
COMMESSA	LOTTO	CODIFICA	DOCUMENTO	REV.	FOGLIO								
IF1N	01 E ZZ	CL	VI0605 004	B	5 di 137								

11.2 VERIFICA SLU A PUNZONAMENTO135

11.3 VERIFICA SLE A FESSURAZIONE.....136

12 INCIDENZE ERRORE. IL SEGNALIBRO NON È DEFINITO.

12.1 136

  	ITINERARIO NAPOLI – BARI RADDOPPIO TRATTA CANCELLO – BENEVENTO 1° LOTTO FUNZIONALE CANCELLO - FRASSO TELESINO E VARIANTE ALLA LINEA ROMA-NAPOLI VIA CASSINO NEL COMUNE DI MADDALONI – PROGETTO ESECUTIVO												
Pila 04: Relazione di calcolo	<table border="1"> <tr> <td>COMMESSA</td> <td>LOTTO</td> <td>CODIFICA</td> <td>DOCUMENTO</td> <td>REV.</td> <td>FOGLIO</td> </tr> <tr> <td>IF1N</td> <td>01 E ZZ</td> <td>CL</td> <td>VI0605 004</td> <td>B</td> <td>6 di 137</td> </tr> </table>	COMMESSA	LOTTO	CODIFICA	DOCUMENTO	REV.	FOGLIO	IF1N	01 E ZZ	CL	VI0605 004	B	6 di 137
COMMESSA	LOTTO	CODIFICA	DOCUMENTO	REV.	FOGLIO								
IF1N	01 E ZZ	CL	VI0605 004	B	6 di 137								

1 PREMESSA

Nell'ambito dell'*Itinerario Napoli-Bari* si inserisce il *Raddoppio della Tratta Cancello – Benevento - 1° Lotto Funzionale Cancello-Frasso Telesino e Variante alla Linea Roma-Napoli Via Cassino nel Comune di Maddaloni* (compreso il *Collegamento Merci con lo scalo di Marcianise - Collegamento Benevento-Marcianise*) oggetto della Progettazione Esecutiva in esame.

Oggetto della presente relazione è il dimensionamento degli elementi in elevazione e fondazione costituenti la Pila P04 del *Viadotto S. Michele_VI06*.

Nella presente relazione sono riportati in forma sintetica i risultati della analisi delle sollecitazioni e delle verifiche strutturali del fusto pila, del plinto di fondazione e dei pali di fondazione, con riferimento alla pila avente la maggiore altezza di fusto tra quelle indicate.

Pila	H fusto [m]	H tot [m]
P04	7.0	8.9

Nell'allegato 2 alla presente relazione sono riportati in forma completa i risultati delle analisi delle sollecitazioni e delle verifiche strutturali della pila avente altezza maggiore tra quelle appartenenti al gruppo di pile preso in considerazione.

Nel seguito si procede al calcolo dello stato di sollecitazione ed alle verifiche dei vari elementi costituenti la pila, nei confronti degli Stati Limite Ultimi strutturali di presso-flessione e taglio e degli stati limite di esercizio di fessurazione e tensionale.

Si esegue inoltre la determinazione delle azioni massime sui pali di fondazione e la verifica del plinto di fondazione nei confronti degli stati limite ultimi e di esercizio strutturali.

Sono eseguite infine le verifiche strutturali dei pali di fondazione nei confronti degli stati limite ultimi e di esercizio strutturali.

  	ITINERARIO NAPOLI – BARI RADDOPPIO TRATTA CANCELLO – BENEVENTO I° LOTTO FUNZIONALE CANCELLO - FRASSO TELESINO E VARIANTE ALLA LINEA ROMA-NAPOLI VIA CASSINO NEL COMUNE DI MADDALONI – PROGETTO ESECUTIVO												
Pila 04: Relazione di calcolo	<table border="1"> <thead> <tr> <th>COMMESSA</th> <th>LOTTO</th> <th>CODIFICA</th> <th>DOCUMENTO</th> <th>REV.</th> <th>FOGLIO</th> </tr> </thead> <tbody> <tr> <td>IF1N</td> <td>01 E ZZ</td> <td>CL</td> <td>VI0605 004</td> <td>B</td> <td>7 di 137</td> </tr> </tbody> </table>	COMMESSA	LOTTO	CODIFICA	DOCUMENTO	REV.	FOGLIO	IF1N	01 E ZZ	CL	VI0605 004	B	7 di 137
COMMESSA	LOTTO	CODIFICA	DOCUMENTO	REV.	FOGLIO								
IF1N	01 E ZZ	CL	VI0605 004	B	7 di 137								

2 NORMATIVA E DOCUMENTI DI RIFERIMENTO

2.1 NORMATIVE

Sono state prese a riferimento le seguenti Normative nazionali ed internazionali vigenti alla data di redazione del presente documento:

- [1] *Ministero delle Infrastrutture, DM 14 gennaio 2008, «Approvazione delle nuove norme tecniche per le costruzioni»*
- [2] *Ministero delle Infrastrutture e Trasporti, circolare 2 febbraio 2009, n. 617 C.S.LL.PP., «Istruzioni per l'applicazione delle Nuove norme tecniche per le costruzioni di cui al decreto ministeriale 14 gennaio 2008»*
- [3] *Istruzione RFI DTC INC PO SP IFS 001 - Specifica per la progettazione e l'esecuzione dei ponti ferroviari e di altre opere minori sotto binario*
- [4] *Istruzione RFI DTC INC CS SP IFS 001 - Specifica per la progettazione geotecnica delle opere civili ferroviarie*
- [5] *Istruzione RFI DTC INC PO SP IFS 002 - Specifica per la progettazione e l'esecuzione di cavalcavia e passerelle pedonali sulla sede ferroviaria*
- [6] *Istruzione RFI DTC INC PO SP IFS 003 - Specifica per la verifica a fatica dei ponti ferroviari*
- [7] *Istruzione RFI DTC INC PO SP IFS 004 - Specifica per la progettazione e l'esecuzione di impalcati ferroviari a travi in ferro a doppio T incorporate nel calcestruzzo*
- [8] *Istruzione RFI DTC INC PO SP IFS 005 - Specifica per il progetto, la produzione, il controllo della produzione e la posa in opera dei dispositivi di vincolo e dei coprigiunti degli impalcati ferroviari e dei cavalcavia*
- [9] *Eurocodice 1 – Azioni sulle strutture, Parte 1-4: Azioni in generale – Azioni del vento (UNI EN 1991-1-4)*
- [10] *Regolamento (UE) N.1299/2014 della Commissione del 18 Novembre 2014 relativo alle specifiche tecniche di interoperabilità per il sottosistema "infrastruttura" del sistema ferroviario dell'Unione europea*

  	ITINERARIO NAPOLI – BARI RADDOPPIO TRATTA CANCELLO – BENEVENTO I° LOTTO FUNZIONALE CANCELLO - FRASSO TELESINO E VARIANTE ALLA LINEA ROMA-NAPOLI VIA CASSINO NEL COMUNE DI MADDALONI – PROGETTO ESECUTIVO												
Pila 04: Relazione di calcolo	<table border="1"> <thead> <tr> <th>COMMESSA</th> <th>LOTTO</th> <th>CODIFICA</th> <th>DOCUMENTO</th> <th>REV.</th> <th>FOGLIO</th> </tr> </thead> <tbody> <tr> <td>IF1N</td> <td>01 E ZZ</td> <td>CL</td> <td>VI0605 004</td> <td>B</td> <td>8 di 137</td> </tr> </tbody> </table>	COMMESSA	LOTTO	CODIFICA	DOCUMENTO	REV.	FOGLIO	IF1N	01 E ZZ	CL	VI0605 004	B	8 di 137
COMMESSA	LOTTO	CODIFICA	DOCUMENTO	REV.	FOGLIO								
IF1N	01 E ZZ	CL	VI0605 004	B	8 di 137								

2.2 ELABORATI DI RIFERIMENTO

Vengono presi a riferimento tutti gli elaborati grafici progettuali di pertinenza.

  	ITINERARIO NAPOLI – BARI RADDOPPIO TRATTA CANCELLO – BENEVENTO I° LOTTO FUNZIONALE CANCELLO - FRASSO TELESINO E VARIANTE ALLA LINEA ROMA-NAPOLI VIA CASSINO NEL COMUNE DI MADDALONI – PROGETTO ESECUTIVO												
Pila 04: Relazione di calcolo	<table border="1"> <thead> <tr> <th>COMMESSA</th> <th>LOTTO</th> <th>CODIFICA</th> <th>DOCUMENTO</th> <th>REV.</th> <th>FOGLIO</th> </tr> </thead> <tbody> <tr> <td>IF1N</td> <td>01 E ZZ</td> <td>CL</td> <td>VI0605 004</td> <td>B</td> <td>9 di 137</td> </tr> </tbody> </table>	COMMESSA	LOTTO	CODIFICA	DOCUMENTO	REV.	FOGLIO	IF1N	01 E ZZ	CL	VI0605 004	B	9 di 137
COMMESSA	LOTTO	CODIFICA	DOCUMENTO	REV.	FOGLIO								
IF1N	01 E ZZ	CL	VI0605 004	B	9 di 137								

3 MATERIALI

3.1 CALCESTRUZZO PER FUSTO PILA E PULVINO

Classe C32/40

$R_{ck} =$	40.00	MPa	Resistenza caratteristica cubica
$f_{ck} = 0,83 R_{ck} =$	33.20	MPa	Resistenza caratteristica cilindrica
$f_{cm} = f_{ck} + 8 =$	41.20	MPa	Valore medio resistenza cilindrica
$\alpha_{cc} =$	0.85		Coeff. rid. per carichi di lunga durata
$\gamma_M =$	1.50	-	Coefficiente parziale di sicurezza SLU
$f_{cd} = \alpha_{cc} f_{ck} / \gamma_M =$	18.81	MPa	Resistenza di progetto
$f_{ctm} = 0,3 f_{ck}^{(2/3)} =$	3.10	MPa	Resistenza media a trazione semplice
$f_{ctm} = 1,2 f_{ctm} =$	3.72	MPa	Resistenza media a trazione per flessione
$f_{ctk} = 0,7 f_{ctm} =$	2.17	MPa	Valore caratteristico resistenza a trazione (frattile 5%)
$\sigma_c = 0,55 f_{ck} =$	18.26	MPa	Tensione limite in esercizio in comb. Rara (rif. §1.8.3.2.1 [3])
$\sigma_c = 0,40 f_{ck} =$	13.28	MPa	Tensione limite in esercizio in comb. quasi perm. (rif. §1.8.3.2.1 [3])
$E_{cm} = 22000 (f_{cm}/10)^{(0,3)} =$	33643.00	MPa	Modulo elastico di progetto
$\nu =$	0.20		Coefficiente di Poisson
$G_c = E_{cm} / (2(1 + \nu)) =$	14018.00	MPa	Modulo elastico tangenziale di progetto
Condizioni ambientali =	Debolmente aggressive		
Classe di esposizione =	XC4		
$c =$	4.00	cm	Copriferro minimo
$w =$	0.20	mm	Apertura massima fessure in esercizio in comb. Rara (rif. §1.8.3.2.4 [3])

  	ITINERARIO NAPOLI – BARI RADDOPPIO TRATTA CANCELLO – BENEVENTO I° LOTTO FUNZIONALE CANCELLO - FRASSO TELESINO E VARIANTE ALLA LINEA ROMA-NAPOLI VIA CASSINO NEL COMUNE DI MADDALONI – PROGETTO ESECUTIVO												
Pila 04: Relazione di calcolo	<table border="1"> <thead> <tr> <th>COMMESSA</th> <th>LOTTO</th> <th>CODIFICA</th> <th>DOCUMENTO</th> <th>REV.</th> <th>FOGLIO</th> </tr> </thead> <tbody> <tr> <td>IF1N</td> <td>01 E ZZ</td> <td>CL</td> <td>VI0605 004</td> <td>B</td> <td>10 di 137</td> </tr> </tbody> </table>	COMMESSA	LOTTO	CODIFICA	DOCUMENTO	REV.	FOGLIO	IF1N	01 E ZZ	CL	VI0605 004	B	10 di 137
COMMESSA	LOTTO	CODIFICA	DOCUMENTO	REV.	FOGLIO								
IF1N	01 E ZZ	CL	VI0605 004	B	10 di 137								

3.2 CALCESTRUZZO PER PLINTO DI FONDAZIONE

Classe C28/35

$R_{ck} =$	35.00	MPa	Resistenza caratteristica cubica
$f_{ck} = 0,83 R_{ck} =$	29.05	MPa	Resistenza caratteristica cilindrica
$f_{cm} = f_{ck} + 8 =$	37.05	MPa	Valore medio resistenza cilindrica
$\alpha_{cc} =$	0.85		Coeff. rid. per carichi di lunga durata
$\gamma_M =$	1.50	-	Coefficiente parziale di sicurezza SLU
$f_{cd} = \alpha_{cc} f_{ck} / \gamma_M =$	16.46	MPa	Resistenza di progetto
$f_{ctm} = 0,3 f_{ck}^{(2/3)} =$	2.83	MPa	Resistenza media a trazione semplice
$f_{ctm} = 1,2 f_{ctm} =$	3.40	MPa	Resistenza media a trazione per flessione
$f_{ctk} = 0,7 f_{ctm} =$	1.98	MPa	Valore caratteristico resistenza a trazione (frattile 5%)
$\sigma_c = 0,55 f_{ck} =$	15.98	MPa	Tensione limite in esercizio in comb. Rara (rif. §1.8.3.2.1 [3])
$\sigma_c = 0,40 f_{ck} =$	11.62	MPa	Tensione limite in esercizio in comb. quasi perm. (rif. §1.8.3.2.1 [3])
$E_{cm} = 22000 (f_{cm}/10)^{(0,3)} =$	32588.00	MPa	Modulo elastico di progetto
$\nu =$	0.20		Coefficiente di Poisson
$G_c = E_{cm} / (2(1 + \nu)) =$	13578.00	MPa	Modulo elastico tangenziale di progetto
Condizioni ambientali =	Ordinarie		
Classe di esposizione =	XC2		
$c =$	4.00	cm	Copriferro minimo
$w =$	0.30	mm	Apertura massima fessure in esercizio in comb. Rara (rif. §1.8.3.2.4 [3])

  	ITINERARIO NAPOLI – BARI RADDOPPIO TRATTA CANCELLO – BENEVENTO I° LOTTO FUNZIONALE CANCELLO - FRASSO TELESINO E VARIANTE ALLA LINEA ROMA-NAPOLI VIA CASSINO NEL COMUNE DI MADDALONI – PROGETTO ESECUTIVO												
Pila 04: Relazione di calcolo	<table border="1"> <thead> <tr> <th>COMMESSA</th> <th>LOTTO</th> <th>CODIFICA</th> <th>DOCUMENTO</th> <th>REV.</th> <th>FOGLIO</th> </tr> </thead> <tbody> <tr> <td>IF1N</td> <td>01 E ZZ</td> <td>CL</td> <td>VI0605 004</td> <td>B</td> <td>11 di 137</td> </tr> </tbody> </table>	COMMESSA	LOTTO	CODIFICA	DOCUMENTO	REV.	FOGLIO	IF1N	01 E ZZ	CL	VI0605 004	B	11 di 137
COMMESSA	LOTTO	CODIFICA	DOCUMENTO	REV.	FOGLIO								
IF1N	01 E ZZ	CL	VI0605 004	B	11 di 137								

3.3 CALCESTRUZZO PER PALI DI FONDAZIONE

Classe C25/30

$R_{ck} =$	30.00	MPa	Resistenza caratteristica cubica
$f_{ck} = 0,83 R_{ck} =$	24.90	MPa	Resistenza caratteristica cilindrica
$f_{cm} = f_{ck} + 8 =$	32.90	MPa	Valore medio resistenza cilindrica
$\alpha_{cc} =$	0.85		Coeff. rid. per carichi di lunga durata
$\gamma_M =$	1.50	-	Coefficiente parziale di sicurezza SLU
$f_{cd} = \alpha_{cc} f_{ck} / \gamma_M =$	14.11	MPa	Resistenza di progetto
$f_{ctm} = 0,3 f_{ck}^{(2/3)} =$	2.56	MPa	Resistenza media a trazione semplice
$f_{ctm} = 1,2 f_{ctm} =$	3.07	MPa	Resistenza media a trazione per flessione
$f_{ctk} = 0,7 f_{ctm} =$	1.79	MPa	Valore caratteristico resistenza a trazione (frattile 5%)
$\sigma_c = 0,55 f_{ck} =$	13.70	MPa	Tensione limite in esercizio in comb. Rara (rif. §1.8.3.2.1 [3])
$\sigma_c = 0,40 f_{ck} =$	9.96	MPa	Tensione limite in esercizio in comb. quasi perm. (rif. §1.8.3.2.1 [3])
$E_{cm} = 22000 (f_{cm}/10)^{(0,3)} =$	31447.00	MPa	Modulo elastico di progetto
$\nu =$	0.20		Coefficiente di Poisson
$G_c = E_{cm} / (2(1 + \nu)) =$	13103.00	MPa	Modulo elastico tangenziale di progetto
Condizioni ambientali =	Ordinarie		
Classe di esposizione =	XC2		
$c =$	6.00	cm	Copriferro minimo
$w =$	0.30	mm	Apertura massima fessure in esercizio in comb. Rara (rif. §1.8.3.2.4 [3])

  	ITINERARIO NAPOLI – BARI RADDOPPIO TRATTA CANCELLO – BENEVENTO I° LOTTO FUNZIONALE CANCELLO - FRASSO TELESINO E VARIANTE ALLA LINEA ROMA-NAPOLI VIA CASSINO NEL COMUNE DI MADDALONI – PROGETTO ESECUTIVO												
Pila 04: Relazione di calcolo	<table border="1"> <thead> <tr> <th>COMMESSA</th> <th>LOTTO</th> <th>CODIFICA</th> <th>DOCUMENTO</th> <th>REV.</th> <th>FOGLIO</th> </tr> </thead> <tbody> <tr> <td>IF1N</td> <td>01 E ZZ</td> <td>CL</td> <td>VI0605 004</td> <td>B</td> <td>12 di 137</td> </tr> </tbody> </table>	COMMESSA	LOTTO	CODIFICA	DOCUMENTO	REV.	FOGLIO	IF1N	01 E ZZ	CL	VI0605 004	B	12 di 137
COMMESSA	LOTTO	CODIFICA	DOCUMENTO	REV.	FOGLIO								
IF1N	01 E ZZ	CL	VI0605 004	B	12 di 137								

3.4 ACCIAIO PER BARRE DI ARMATURA

B450C

$f_{yk} \geq$	450.00	MPa	Tensione caratteristica di snervamento
$f_{tk} \geq$	540.00	MPa	Tensione caratteristica di rottura
$(f_t / f_y)_{k \geq}$	1.15		
$(f_t / f_y)_{k <}$	1.35		
$\gamma_s =$	1.15	-	Coefficiente parziale di sicurezza SLU
$f_{yd} = f_{yk} / \gamma_s =$	391.30	MPa	Tensione caratteristica di snervamento
$E_s =$	210000.00	MPa	Modulo elastico di progetto
$\epsilon_{yd} =$	0.20	%	Deformazione di progetto a snervamento
$\epsilon_{uk} = (A_{gt})_k$	7.50	%	Deformazione caratteristica ultima
$\sigma_s = 0,75 f_{yk} =$	337.50	MPa	Tensione in esercizio in comb. Rara (rif. §1.8.3.2.1 [3])

  	ITINERARIO NAPOLI – BARI RADDOPPIO TRATTA CANCELLO – BENEVENTO I° LOTTO FUNZIONALE CANCELLO - FRASSO TELESINO E VARIANTE ALLA LINEA ROMA-NAPOLI VIA CASSINO NEL COMUNE DI MADDALONI – PROGETTO ESECUTIVO												
Pila 04: Relazione di calcolo	<table border="1"> <thead> <tr> <th>COMMESSA</th> <th>LOTTO</th> <th>CODIFICA</th> <th>DOCUMENTO</th> <th>REV.</th> <th>FOGLIO</th> </tr> </thead> <tbody> <tr> <td>IF1N</td> <td>01 E ZZ</td> <td>CL</td> <td>VI0605 004</td> <td>B</td> <td>13 di 137</td> </tr> </tbody> </table>	COMMESSA	LOTTO	CODIFICA	DOCUMENTO	REV.	FOGLIO	IF1N	01 E ZZ	CL	VI0605 004	B	13 di 137
COMMESSA	LOTTO	CODIFICA	DOCUMENTO	REV.	FOGLIO								
IF1N	01 E ZZ	CL	VI0605 004	B	13 di 137								

4 CARATTERIZZAZIONE GEOTECNICA

4.1 CARATTERIZZAZIONE GEOTECNICA

Per la definizione della categoria di suolo delle opere appartenenti alla tratta in oggetto si rimanda all'elaborato progettuale "IF1N.0.1.E.ZZ.RB.GE.00.0.5.001.A - Relazione geotecnica generale di linea delle opere all'aperto".

  	ITINERARIO NAPOLI – BARI RADDOPPIO TRATTA CANCELLO – BENEVENTO I° LOTTO FUNZIONALE CANCELLO - FRASSO TELESINO E VARIANTE ALLA LINEA ROMA-NAPOLI VIA CASSINO NEL COMUNE DI MADDALONI – PROGETTO ESECUTIVO												
Pila 04: Relazione di calcolo	<table border="1"> <tr> <td>COMMESSA</td> <td>LOTTO</td> <td>CODIFICA</td> <td>DOCUMENTO</td> <td>REV.</td> <td>FOGLIO</td> </tr> <tr> <td>IF1N</td> <td>01 E ZZ</td> <td>CL</td> <td>VI0605 004</td> <td>B</td> <td>14 di 137</td> </tr> </table>	COMMESSA	LOTTO	CODIFICA	DOCUMENTO	REV.	FOGLIO	IF1N	01 E ZZ	CL	VI0605 004	B	14 di 137
COMMESSA	LOTTO	CODIFICA	DOCUMENTO	REV.	FOGLIO								
IF1N	01 E ZZ	CL	VI0605 004	B	14 di 137								

5 DESCRIZIONE DELLA STRUTTURA

Il Viadotto S. Michele_VI06, a doppio binario, si estende tra le progressive km 10+326 e km 11+737 della *Tratta Canello-Benevento – I° Lotto funzionale Canello-Frasso Telesino*, per uno sviluppo complessivo di 1411 m, ed è realizzato con 55 campate isostatiche di cui:

- 51 campate di luce in asse sottostrutture pari a 25.00 m, realizzate con impalcati della tipologia a 4 cassoncini in c.a.p.;
- 4 campate (tra la pila P8 e la pila P9 e tra la pila P49 e la pila P52) di luce in asse sottostrutture pari a 34.00 m, realizzate con implacati della tipologia misto acciaio-calcestruzzo. L'adozione di tali campate speciali si è resa necessaria sia per sovrappassare, con il minimo intervento possibile, lo "svincolo Capitone" della S.S. di *Fondo Valle Isclero*, sia per sovrappassare, garantendo la necessaria visibilità, la deviazione della S.S. n°265.

L'opera, di scavalco di una zona di terreno agricolo, scavalca in particolare:

- a) il *Fosso Valle Boschina* tra le pile P5 e P6 alla progressiva km 10+430;
- b) il *Torrente Valle Pietra Rossa* tra le pile P15 e P16 alla progressiva km 10+664;
- c) la deviazione della S.S. n°265 tra le pile P8 e P9 alla progressiva 10+536.580;
- d) lo svincolo della S.S. di *Fondo Valle Isclero* tra le pile P49 e P52 alla progressiva 11+602.631.

Il viadotto è costituito da due tipologie di impalcato: a cassoncini in c.a.p. e misto acciaio calcestruzzo.

La prima tipologia di impalcato è realizzata con 4 cassoncini accostati in c.a.p. e soletta gettata in opera. La luce è pari a 25.00 m misurata in asse pile. La lunghezza complessiva delle travi prefabbricate è pari a 24.30 m e la luce tra gli appoggi è pari a 22.80 m. La larghezza dell'impalcato è pari a 13.70 m. L'armamento è di tipo tradizionale su ballast.

La seconda tipologia di impalcato è realizzata con sezione mista acciaio calcestruzzo e presenta una campata di lunghezza 34.00m in asse ai varchi, mentre la luce tra gli appoggi è pari a 32.40m. L'impalcato ha una larghezza costante di 13.70m ed è costituito da 4 travi saldate a doppio "T" di altezza 2,08m, poste ad interasse di 2,8m e solidarizzate da traversi reticolari. L'armamento è di tipo tradizionale su ballast.

Le pili sono realizzate in c.a.o. gettato in opera e hanno altezze fusto che variano tra 3.0m e 20.8m. Presentano un fusto a sezione rettangolare cava di dimensioni esterne 2.6mx8.6m con raccordi di raggio pari ad 1m ed un motivo "a lesena" nella parte centrale del fusto su tutti e quattro i lati. Le dimensioni esterne diventano 3.3m x 8.6m ove l'altezza della pila al netto del pulvino è superiore a 12.0 m.

Le fondazioni sono realizzate con plinti rettangolari in c.a. con pali trivellati del diametro Φ 1200 mm e del Φ 1500 mm, posti ad un interasse pari a 3 diametri.

Con riferimento alle sottostrutture prese in considerazione nella presente relazione, le tipologie di impalcato, la geometria del fusto e la geometria del plinto e dei pali sono sintetizzate nella seguente tabella:

Pila	Impalcato precedente	Impalcato successivo	Fusto	Dimensioni plinto	Pali
P04	4 c.a.p. (L=25m)	4 c.a.p. (L=25m)	2.6m x 8.6m x 7.0m	12m x 16.5m x 2.5m	12 Φ 1500

Pila 04: Relazione di calcolo

COMMESSA	LOTTO	CODIFICA	DOCUMENTO	REV.	FOGLIO
IF1N	01 E ZZ	CL	VI0605 004	B	15 di 137

A seguire si riportano delle immagini che illustrano la geometria della pila (prospetto frontale e sezione orizzontale del fusto) e del plinto di fondazione (vista in pianta).

SEZIONE/PROSPETTO TRASVERSALE

Scala 1:50

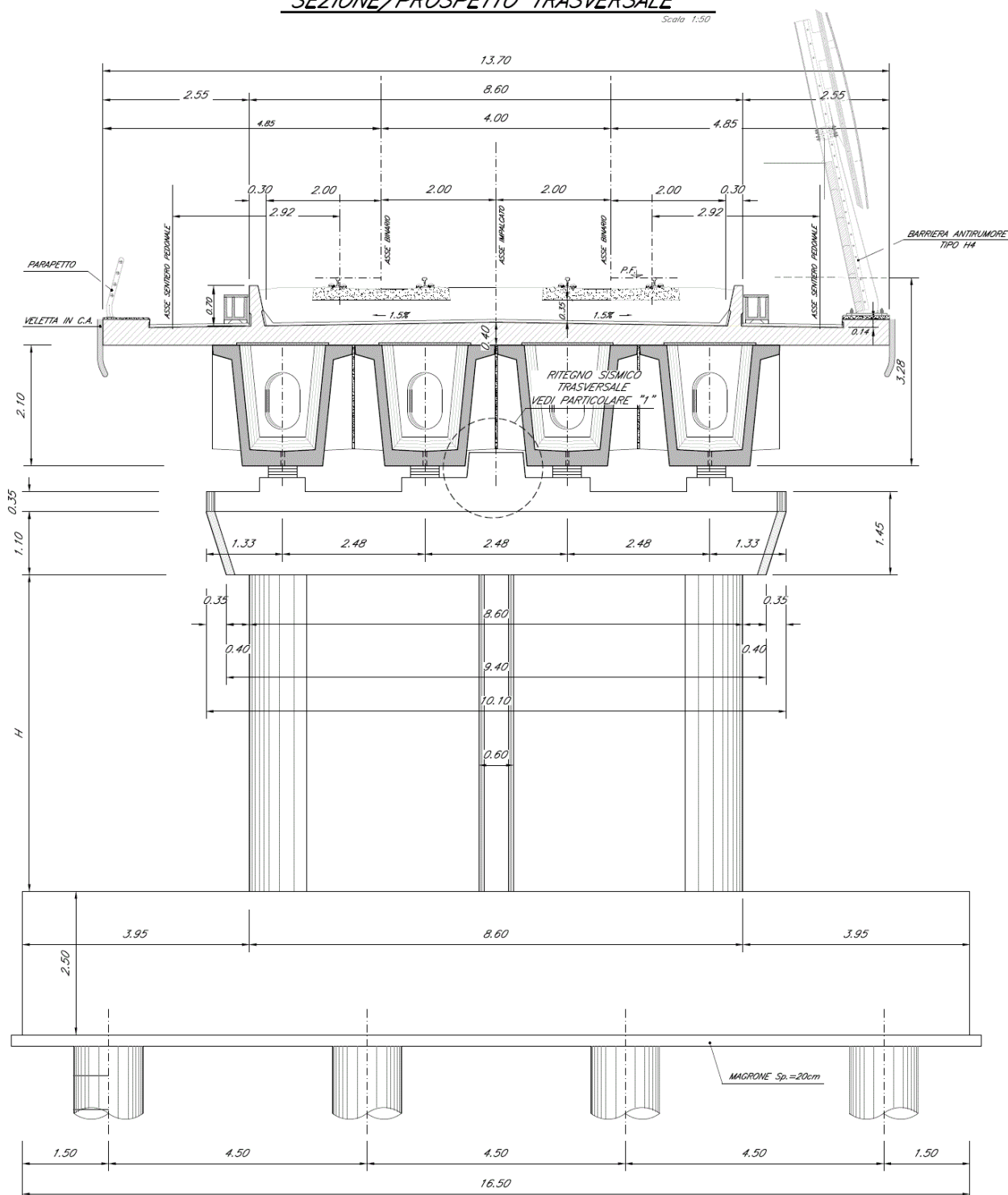


Figura 1 – Pila, prospetto frontale [m]

Pila 04: Relazione di calcolo

COMMESSA

LOTTO

CODIFICA

DOCUMENTO

REV.

FOGLIO

IF1N

01 E ZZ

CL

VI0605 004

B

16 di 137

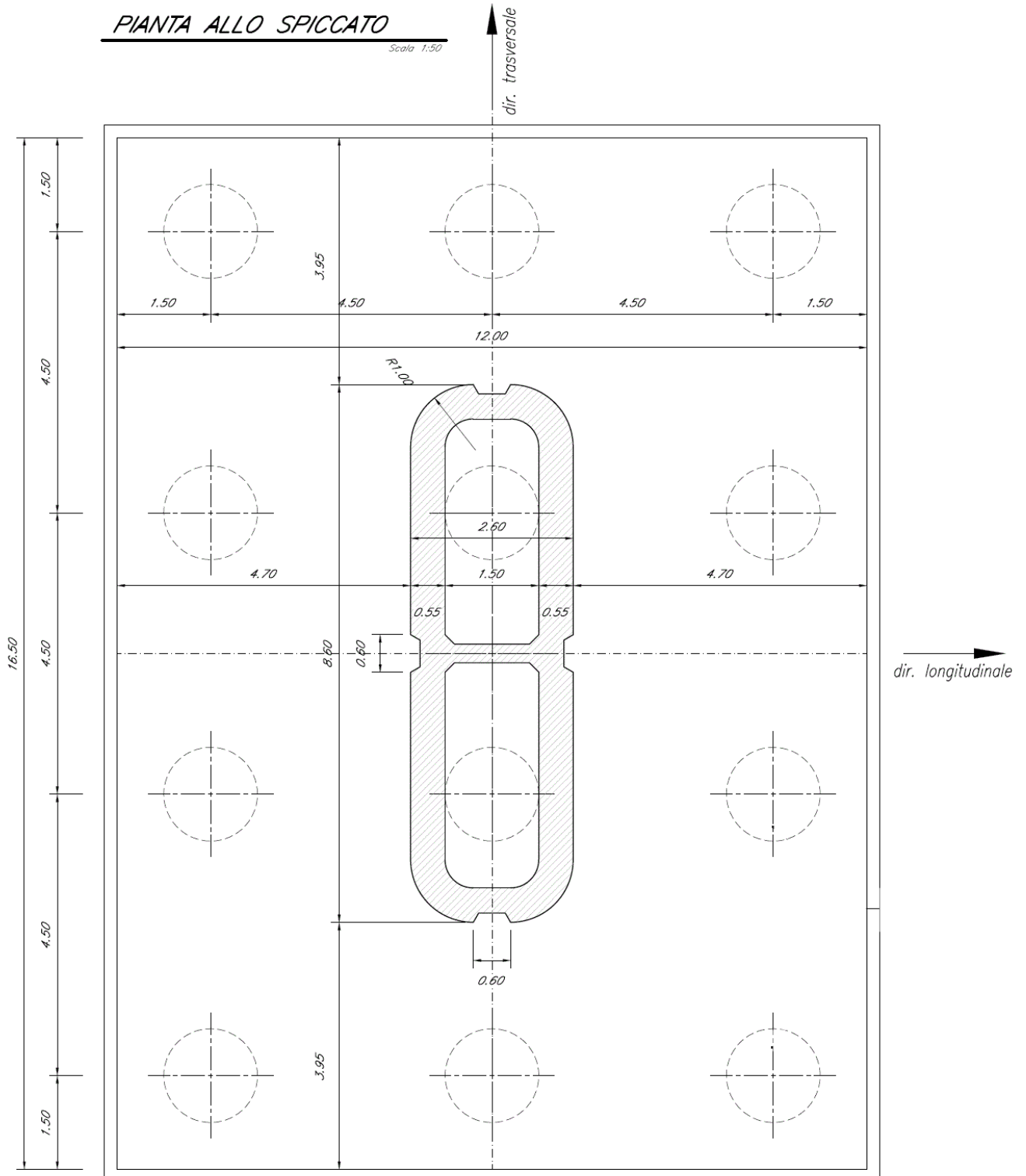


Figura 2 – Plinto di fondazione e pali, vista in pianta - Sezione del fusto pila [m]

Pila 04: Relazione di calcolo

COMMESSA	LOTTO	CODIFICA	DOCUMENTO	REV.	FOGLIO
IF1N	01 E ZZ	CL	VI0605 004	B	17 di 137

Le seguenti figure illustrano la geometria del pulvino della pila in prospetto longitudinale, differenziata a seconda delle tipologia di impalcato che afferisce alla pila i-esima.

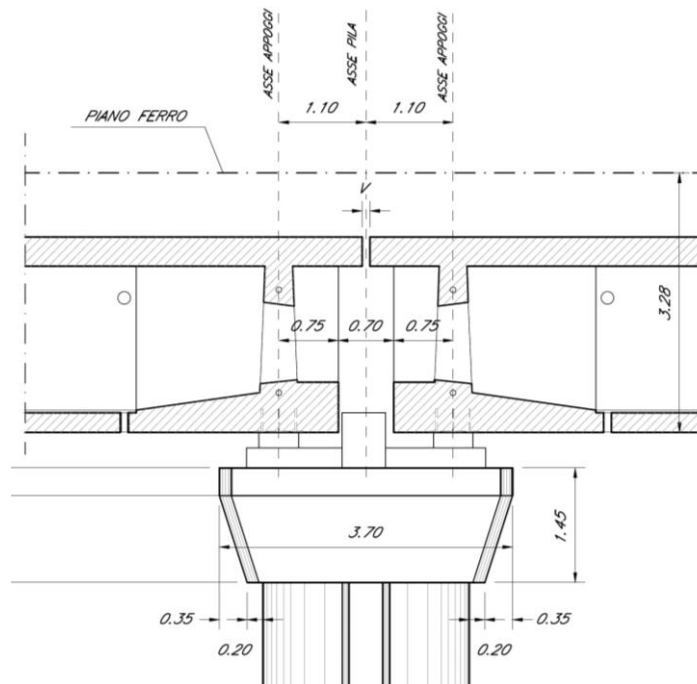


Figura 3 – Pila, prospetto longitudinale – Due impalcati CAP

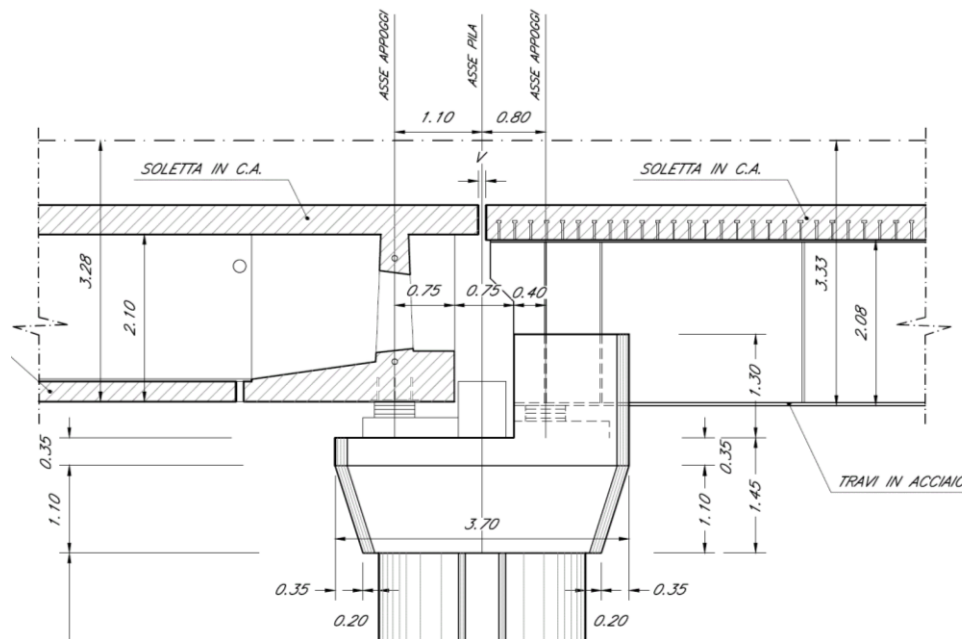


Figura 4 – Pila, prospetto longitudinale – Impalcato CAP e impalcato a struttura mista [m]

	ITINERARIO NAPOLI – BARI RADDOPPIO TRATTA CANCELLO – BENEVENTO I° LOTTO FUNZIONALE CANCELLO - FRASSO TELESINO E VARIANTE ALLA LINEA ROMA-NAPOLI VIA CASSINO NEL COMUNE DI MADDALONI – PROGETTO ESECUTIVO												
Pila 04: Relazione di calcolo	<table border="1"> <thead> <tr> <th>COMMESSA</th> <th>LOTTO</th> <th>CODIFICA</th> <th>DOCUMENTO</th> <th>REV.</th> <th>FOGLIO</th> </tr> </thead> <tbody> <tr> <td>IF1N</td> <td>01 E ZZ</td> <td>CL</td> <td>VI0605 004</td> <td>B</td> <td>18 di 137</td> </tr> </tbody> </table>	COMMESSA	LOTTO	CODIFICA	DOCUMENTO	REV.	FOGLIO	IF1N	01 E ZZ	CL	VI0605 004	B	18 di 137
COMMESSA	LOTTO	CODIFICA	DOCUMENTO	REV.	FOGLIO								
IF1N	01 E ZZ	CL	VI0605 004	B	18 di 137								

Si riportano a seguire due immagini che illustrano lo schema vincolare della campata isostatica i-esima ed il relativo dettaglio della pila i-esima (sono rappresentati due impalcati tipologici).

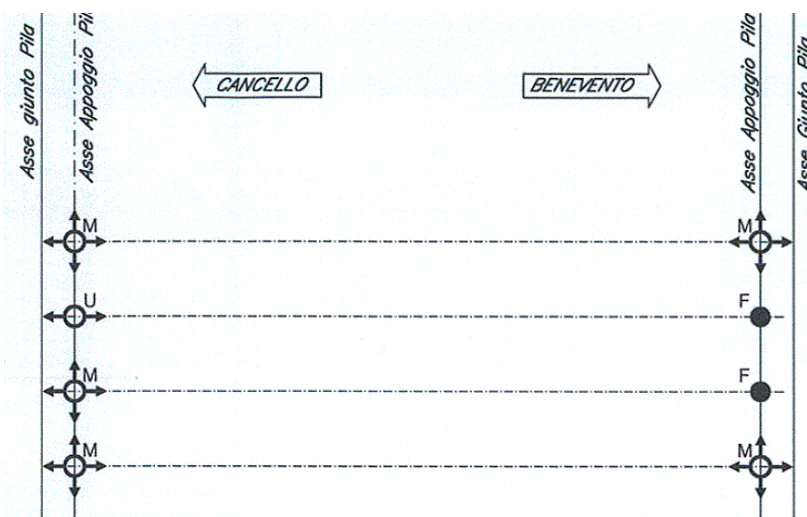
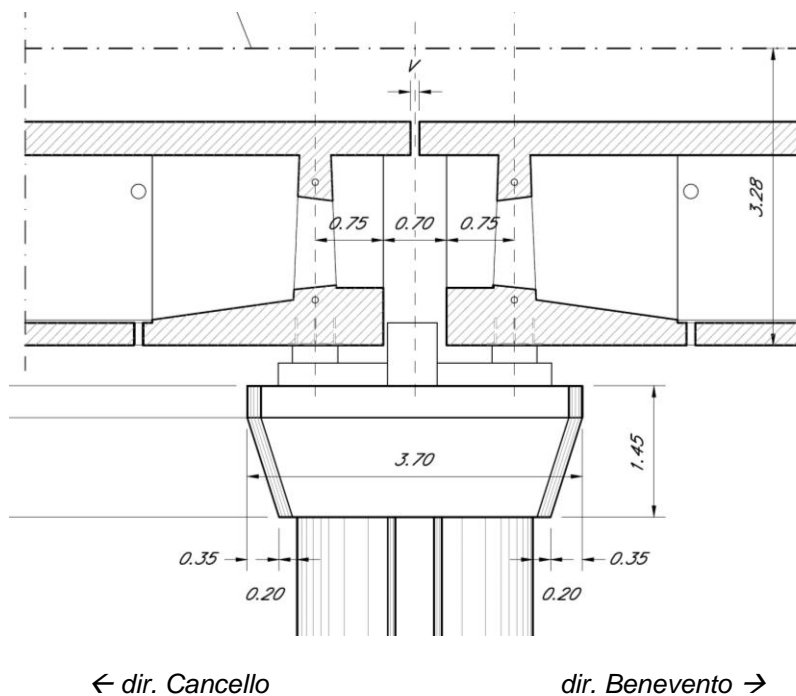


Figura 5 – Viadotto VI06 – Schema vincolare campata isostatica i-esima

Impalcato “precedente” – Fisso longitudinale

Impalcato “successivo” – Mobile longitudinale



← dir. Cancello

dir. Benevento →

Figura 6 – Viadotto VI06 – Schema vincolare pila i-esima

	ITINERARIO NAPOLI – BARI RADDOPPIO TRATTA CANCELLO – BENEVENTO I° LOTTO FUNZIONALE CANCELLO - FRASSO TELESINO E VARIANTE ALLA LINEA ROMA-NAPOLI VIA CASSINO NEL COMUNE DI MADDALONI – PROGETTO ESECUTIVO												
Pila 04: Relazione di calcolo	<table border="1"> <thead> <tr> <th>COMMESSA</th> <th>LOTTO</th> <th>CODIFICA</th> <th>DOCUMENTO</th> <th>REV.</th> <th>FOGLIO</th> </tr> </thead> <tbody> <tr> <td>IF1N</td> <td>01 E ZZ</td> <td>CL</td> <td>VI0605 004</td> <td>B</td> <td>19 di 137</td> </tr> </tbody> </table>	COMMESSA	LOTTO	CODIFICA	DOCUMENTO	REV.	FOGLIO	IF1N	01 E ZZ	CL	VI0605 004	B	19 di 137
COMMESSA	LOTTO	CODIFICA	DOCUMENTO	REV.	FOGLIO								
IF1N	01 E ZZ	CL	VI0605 004	B	19 di 137								

6 ANALISI DEI CARICHI

Di seguito si riporta l'analisi dei carichi agenti sulla pila e derivanti dagli impalcati afferenti.

Le azioni e le reazioni riportate sono riferite al seguente sistema di riferimento:

- asse 1 o asse X : asse longitudinale;
- asse 2 o asse Y : asse trasversale;
- asse 3 o asse Z : asse verticale.

6.1 PERMANENTI STRUTTURALI (G1)

6.1.1 PESO PROPRIO IMPALCATI

L'impalcato a singola campata isostatica, di luce pari a 25 m in asse ai giunti (22,80 m asse appoggi), è costituito da 4 cassoncini in c.a.p. solidarizzati da trasversi gettati in opera. La soletta è di spessore variabile tra 30 cm e 40 cm ed è anch'essa gettata in opera su predalles prefabbricate.

I carichi afferenti al peso proprio degli impalcati sono calcolati sulla base delle caratteristiche geometriche e del peso unitario di ciascun elemento, come riportato a seguire.

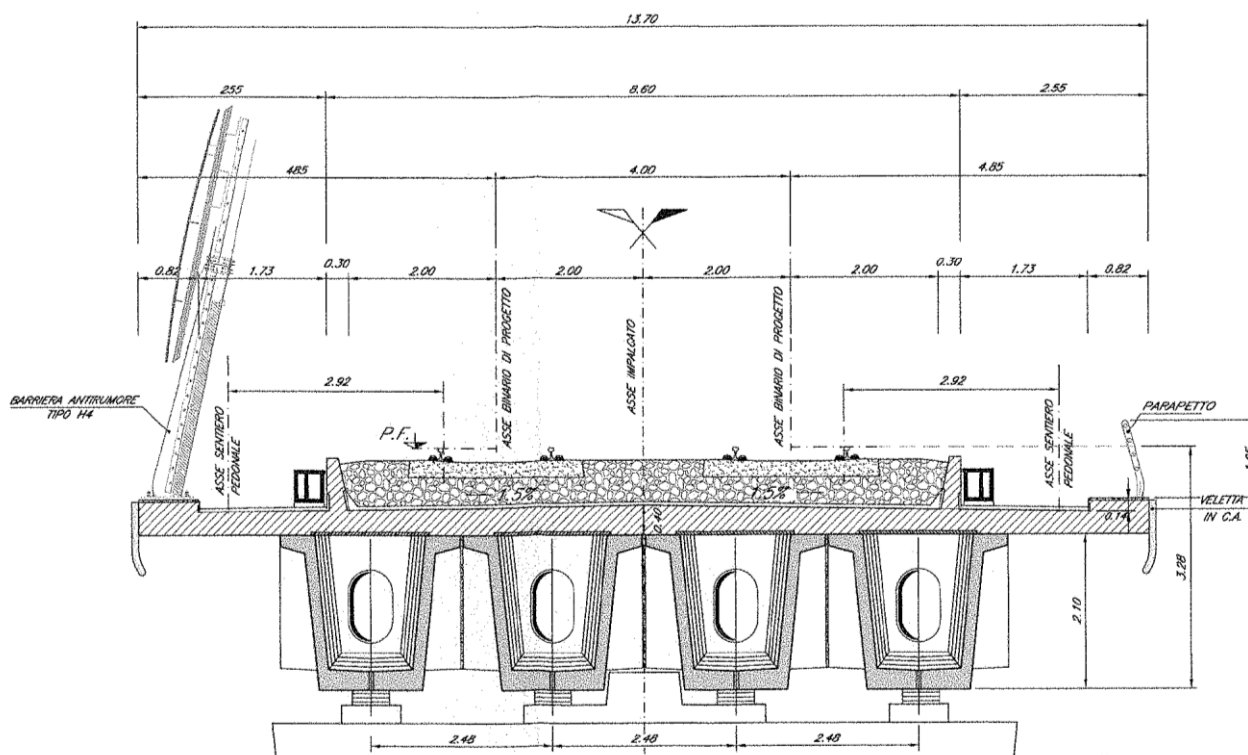


Figura 7 – Impalcato quadri cassone in c.a.p. (L=25m) – Sezione trasversale tipologica [m]

  	ITINERARIO NAPOLI – BARI RADDOPPIO TRATTA CANCELLO – BENEVENTO I° LOTTO FUNZIONALE CANCELLO - FRASSO TELESINO E VARIANTE ALLA LINEA ROMA-NAPOLI VIA CASSINO NEL COMUNE DI MADDALONI – PROGETTO ESECUTIVO												
Pila 04: Relazione di calcolo	<table border="1"> <tr> <td>COMMESSA</td> <td>LOTTO</td> <td>CODIFICA</td> <td>DOCUMENTO</td> <td>REV.</td> <td>FOGLIO</td> </tr> <tr> <td>IF1N</td> <td>01 E ZZ</td> <td>CL</td> <td>VI0605 004</td> <td>B</td> <td>20 di 137</td> </tr> </table>	COMMESSA	LOTTO	CODIFICA	DOCUMENTO	REV.	FOGLIO	IF1N	01 E ZZ	CL	VI0605 004	B	20 di 137
COMMESSA	LOTTO	CODIFICA	DOCUMENTO	REV.	FOGLIO								
IF1N	01 E ZZ	CL	VI0605 004	B	20 di 137								

IMPALCATO-SX

IMPALCATO-DX

Peso proprio travi

A,1 sezione testata =	2,01	m2	2,01	m2
A,1 sezione media transizione =	1,60	m2	1,60	m2
A,1 sezione corrente =	1,13	m2	1,13	m2
L,testata =	1,50	m	1,50	m
L,zona transizione =	3,60	m	3,60	m
L,corrente =	19,20	m	19,20	m
L,tot =	24,30	m	24,30	m
V,1 trave =	30,47	m3	30,47	m3
peso unitario travi =	25,00	kN/m3	25,00	kN/m3
P,1 trave =	761,78	kN	761,78	kN

Peso proprio trasversi

A,1 sez trasverso testata =	2,76	m2	2,76	m2
A,1 sez trasverso corrente =	3,64	m2	3,64	m2
s,trasverso testata =	0,40	m	0,40	m
s,trasverso corrente =	0,25	m	0,25	m
V,1 trave trasversi =	4,03	m3	4,03	m3
peso unitario trasversi =	25,00	kN/m3	25,00	kN/m3
P,1 trave trasv =	100,70	kN	100,70	kN

Peso proprio totale travi e trasversi

P,1 trave+trasv =	862,48	kN	862,48	kN
N,travi =	4,00		4,00	
P,tot travi+trasv =	3449,90	kN	3449,90	kN

Peso proprio soletta

  	ITINERARIO NAPOLI – BARI RADDOPPIO TRATTA CANCELLO – BENEVENTO I° LOTTO FUNZIONALE CANCELLO - FRASSO TELESINO E VARIANTE ALLA LINEA ROMA-NAPOLI VIA CASSINO NEL COMUNE DI MADDALONI – PROGETTO ESECUTIVO												
Pila 04: Relazione di calcolo	<table border="1"> <thead> <tr> <th>COMMESSA</th> <th>LOTTO</th> <th>CODIFICA</th> <th>DOCUMENTO</th> <th>REV.</th> <th>FOGLIO</th> </tr> </thead> <tbody> <tr> <td>IF1N</td> <td>01 E ZZ</td> <td>CL</td> <td>VI0605 004</td> <td>B</td> <td>21 di 137</td> </tr> </tbody> </table>	COMMESSA	LOTTO	CODIFICA	DOCUMENTO	REV.	FOGLIO	IF1N	01 E ZZ	CL	VI0605 004	B	21 di 137
COMMESSA	LOTTO	CODIFICA	DOCUMENTO	REV.	FOGLIO								
IF1N	01 E ZZ	CL	VI0605 004	B	21 di 137								

A soletta =	5,05	m ²	5,05	m ²
L impalcato =	25,00	m	25,00	m
peso unitario soletta =	25,00	kN/m ³	25,00	kN/m ³

P soletta =	3156,25	kN	3156,25	kN
-------------	---------	----	---------	----

Peso proprio totale impalcato

Peso impalcato =	6606,15	kN	6606,15	kN
------------------	---------	----	---------	----

Risultanti reazioni vincolari

F1 =	0		0	
F2 =	0		0	
F3 =	3303	kN	3303	kN
M1 =	0		0	
M2 =	0		0	
M3 =	0		0	

6.1.2 PESO PROPRIO PILA

I carichi afferenti al peso proprio degli elementi costituenti la pila (fusto, pulvino e fondazioni) sono calcolati sulla base delle caratteristiche geometriche di ciascun elemento e considerando un peso unitario del calcestruzzo pari a 25,00 kN/m³.

6.2 PERMANENTI NON STRUTTURALI (G2)

I carichi permanenti non strutturali sono costituiti dal peso della massicciata, dal peso delle barriere antirumore e dal peso delle canalette portacavi. In aggiunta ai permanenti non strutturali portati dagli impalcato si hanno anche quelli costituiti dal riempimento della pila e dal sovraccarico del terreno di ricoprimento del plinto.

La normativa distingue tra ballast e permanenti non strutturali generici nell'assegnazione dei valori del coefficiente di combinazione (rif. §1.8.3.1 [3]), per questo motivo nei paragrafi a seguire i due casi di carico vengono trattati separatamente.

6.2.1 BALLAST (G21)

Secondo il §1.3.2 [3], ove non si eseguano valutazioni più dettagliate, la determinazione dei carichi permanenti portati relativi al peso della massicciata, armamento e dell'impermeabilizzazione potrà effettuarsi assumendo convenzionalmente, per linea in rettilineo, un peso di volume pari a 18,00 kN/m³, applicato su tutta la larghezza media compresa fra i muretti paraballast, per un'altezza media fra p.f. ed estradosso impalcato pari a 0,80 m. Per i ponti in curva si assume un peso convenzionale di 20 kN/m³.

  	ITINERARIO NAPOLI – BARI RADDOPPIO TRATTA CANCELLO – BENEVENTO I° LOTTO FUNZIONALE CANCELLO - FRASSO TELESINO E VARIANTE ALLA LINEA ROMA-NAPOLI VIA CASSINO NEL COMUNE DI MADDALONI – PROGETTO ESECUTIVO												
Pila 04: Relazione di calcolo	<table border="1"> <tr> <td>COMMESSA</td> <td>LOTTO</td> <td>CODIFICA</td> <td>DOCUMENTO</td> <td>REV.</td> <td>FOGLIO</td> </tr> <tr> <td>IF1N</td> <td>01 E ZZ</td> <td>CL</td> <td>VI0605 004</td> <td>B</td> <td>22 di 137</td> </tr> </table>	COMMESSA	LOTTO	CODIFICA	DOCUMENTO	REV.	FOGLIO	IF1N	01 E ZZ	CL	VI0605 004	B	22 di 137
COMMESSA	LOTTO	CODIFICA	DOCUMENTO	REV.	FOGLIO								
IF1N	01 E ZZ	CL	VI0605 004	B	22 di 137								

IMPALCATO - SX

IMPALCATO - DX

Peso ballast

p,ballast rettilineo =	18,00	kN/m ³	18,00	kN/m ³
p,ballast curva =	20,00	kN/m ³	20,00	kN/m ³
tracciato in curva (S/N) =	S		S	
p,ballast =	20,00	kN/m ³	20,00	kN/m ³
s ballast =	0,80	m	0,80	m
L ballast =	8,30	m	8,30	m
L impalcato =	25,00		25,00	
P,tot ballast =	3320,00	kN	3320,00	kN

Muretti paraballast

A,muretti paraballast (2) =	0,287	m ²	0,287	m ²
peso unitario muretti =	25,00	kN/m ³	25,00	kN/m ³
P,tot muretti =	179,13	kN	179,13	kN

Peso totale massicciata

Peso totale massicciata =	3499,13	kN	3499,13	kN
---------------------------	---------	----	---------	----

Risultanti reazioni vincolari

F1 =	0		0	
F2 =	0		0	
F3 =	1750	kN	1750	kN
M1 =	0		0	
M2 =	0		0	
M3 =	0		0	

  	ITINERARIO NAPOLI – BARI RADDOPPIO TRATTA CANCELLO – BENEVENTO I° LOTTO FUNZIONALE CANCELLO - FRASSO TELESINO E VARIANTE ALLA LINEA ROMA-NAPOLI VIA CASSINO NEL COMUNE DI MADDALONI – PROGETTO ESECUTIVO												
Pila 04: Relazione di calcolo	<table border="1"> <tr> <td>COMMESSA</td> <td>LOTTO</td> <td>CODIFICA</td> <td>DOCUMENTO</td> <td>REV.</td> <td>FOGLIO</td> </tr> <tr> <td>IF1N</td> <td>01 E ZZ</td> <td>CL</td> <td>VI0605 004</td> <td>B</td> <td>23 di 137</td> </tr> </table>	COMMESSA	LOTTO	CODIFICA	DOCUMENTO	REV.	FOGLIO	IF1N	01 E ZZ	CL	VI0605 004	B	23 di 137
COMMESSA	LOTTO	CODIFICA	DOCUMENTO	REV.	FOGLIO								
IF1N	01 E ZZ	CL	VI0605 004	B	23 di 137								

6.2.2 PERMANENTI NON STRUTTURALI GENERICI (G22)

6.2.2.1 AFFERENTI ALL'IMPALCATO

Secondo il §1.3.2 [3], nella progettazione di nuovi ponti ferroviari dovranno essere sempre considerati i pesi le azioni e gli ingombri associati all'introduzione delle barriere antirumore, anche nei casi in cui non ne sia originariamente prevista la realizzazione, assumendo un peso pari a 4,00 kN/m² ed un'altezza minima di 4,00 m misurata dall'estradosso della soletta. Cautelativamente si considerano presenti barriere H4 ad entrambe le estremità dell'impalcato.

IMPALCATO - SX

IMPALCATO - DX

Peso barriere antirumore

P,barriere =	4,00	kN/m ²	4,00	kN/m ²
B.A. lato sx =	H4		H4	
B.A. lato sdx =	H4		H4	
H,barriera sx (min. 4m) =	5,40	m	5,40	m
H,barriera dx (min. 4m) =	5,40	m	5,40	m
L impalcato =	25,00	m	25,00	m
P,tot barriere =	1080,00	kN	1080,00	kN

Peso cordoli, muretti paraballast, velette

A,cordoli =	0,36	m ²	0,36	m ²
A,veletta =	0,19	m ²	0,19	m ²
P,tot arredi =	342,00	kN	342,00	kN

Peso canalette portacavi

P,canalette =	5,00	kN/m	5,00	kN/m
P,tot canalette =	125,00	kN	125,00	kN

Permanenti non strutturali totali

Permanenti tot =	1547,00	kN	1547,00	kN
------------------	---------	----	---------	----

  	ITINERARIO NAPOLI – BARI RADDOPPIO TRATTA CANCELLO – BENEVENTO I° LOTTO FUNZIONALE CANCELLO - FRASSO TELESINO E VARIANTE ALLA LINEA ROMA-NAPOLI VIA CASSINO NEL COMUNE DI MADDALONI – PROGETTO ESECUTIVO												
Pila 04: Relazione di calcolo	<table border="1"> <thead> <tr> <th>COMMESSA</th> <th>LOTTO</th> <th>CODIFICA</th> <th>DOCUMENTO</th> <th>REV.</th> <th>FOGLIO</th> </tr> </thead> <tbody> <tr> <td>IF1N</td> <td>01 E ZZ</td> <td>CL</td> <td>VI0605 004</td> <td>B</td> <td>24 di 137</td> </tr> </tbody> </table>	COMMESSA	LOTTO	CODIFICA	DOCUMENTO	REV.	FOGLIO	IF1N	01 E ZZ	CL	VI0605 004	B	24 di 137
COMMESSA	LOTTO	CODIFICA	DOCUMENTO	REV.	FOGLIO								
IF1N	01 E ZZ	CL	VI0605 004	B	24 di 137								

Risultanti reazioni vincolari

F1 =	0		0	
F2 =	0		0	
F3 =	774	kN	774	kN
M1 =	0		0	
M2 =	0		0	
M3 =	0		0	

6.2.3 RIEMPIMENTO PILA E TERRENO DI RICOPRIMENTO

Il riempimento della pila ed il terreno di ricoprimento del plinto costituiscono un carico permanente portato agente sul plinto di fondazione al livello dell'estradosso plinto.

Le forze risultanti così calcolate vengono considerate come forze concentrate agenti in corrispondenza dell'estradosso del plinto.

Peso terreno di ricoprimento

Area ingombro pila:

dlong	2.6 m
dtrasv	8.6 m
A	22.36 m ²

Peso terreno:

dlong	12 m
dtrasv	16.5 m
hterr	1 m
gterr	20 kN/m ³
Wterr	3513 kN

Peso riempimento pila

Assente.

Permanenti non strutturali pila totali

Pari a Wterr.

	ITINERARIO NAPOLI – BARI RADDOPPIO TRATTA CANCELLO – BENEVENTO I° LOTTO FUNZIONALE CANCELLO - FRASSO TELESINO E VARIANTE ALLA LINEA ROMA-NAPOLI VIA CASSINO NEL COMUNE DI MADDALONI – PROGETTO ESECUTIVO												
Pila 04: Relazione di calcolo	<table border="1"> <thead> <tr> <th>COMMESSA</th> <th>LOTTO</th> <th>CODIFICA</th> <th>DOCUMENTO</th> <th>REV.</th> <th>FOGLIO</th> </tr> </thead> <tbody> <tr> <td>IF1N</td> <td>01 E ZZ</td> <td>CL</td> <td>VI0605 004</td> <td>B</td> <td>25 di 137</td> </tr> </tbody> </table>	COMMESSA	LOTTO	CODIFICA	DOCUMENTO	REV.	FOGLIO	IF1N	01 E ZZ	CL	VI0605 004	B	25 di 137
COMMESSA	LOTTO	CODIFICA	DOCUMENTO	REV.	FOGLIO								
IF1N	01 E ZZ	CL	VI0605 004	B	25 di 137								

6.3 CARICHI DA TRAFFICO

Le azioni verticali associate ai convogli ferroviari si schematizzano mediante i modelli di carico teorici LM71 e SW/2.

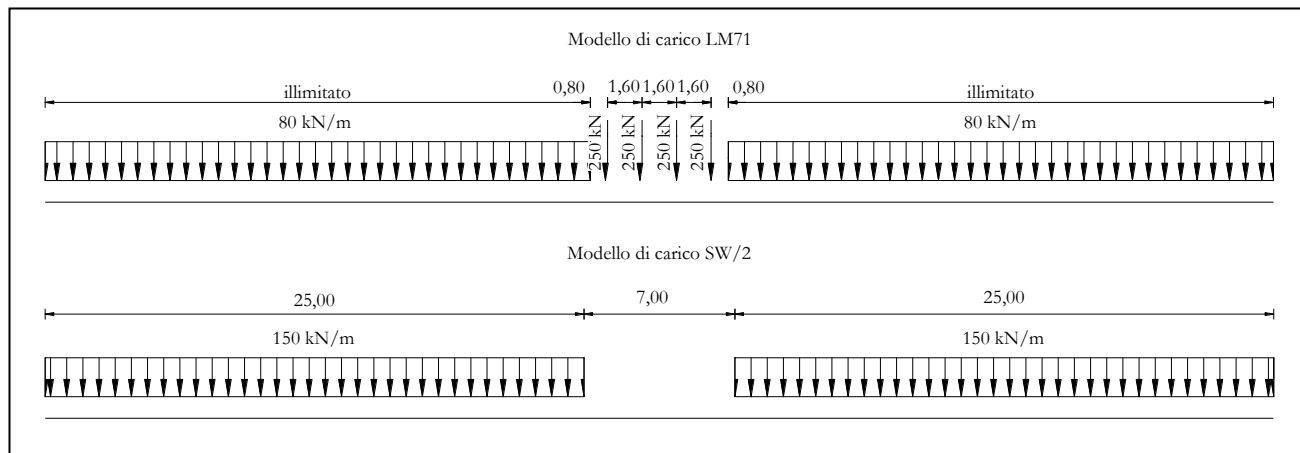


Figura 8 – Modelli di carico teorici LM71 e SW/2

Le differenti disposizioni degli assi e delle stese di carico considerate sono state definite in modo tale da massimizzare gli scarichi sulla pila:

- **Disposizione 1:** disposizione atta a massimizzare lo scarico assiale sulla pila. Prevede entrambi i binari di entrambe le campate caricate con i modelli LM71 e SW/2. Gli assi del LM71 e la stesa di carico di 25 m del SW/2 sono centrati sulla pila.
- **Disposizione 2:** disposizione atta a massimizzare il momento longitudinale (momento che “gira” intorno all’asse trasversale) sulla pila. Prevede entrambi i binari di un solo impalcato caricate con i modelli LM71 e SW/2. Gli assi del modello LM71 e la stesa di carico di 25 m del modello SW/2 sono posizionati a partire dall’estremità sinistra dell’impalcato di destra.
- **Disposizione 3:** disposizione atta a massimizzare il momento trasversale (momento che “gira” intorno all’asse longitudinale) sulla pila. Prevede un solo binario di entrambi gli impalcati caricato il modello SW/2. La stesa di carico di 25 m del modello SW/2 è centrata sulla pila.
- **Disposizione 4:** disposizione atta a massimizzare il momento trasversale (momento che “gira” intorno all’asse longitudinale) sulla pila. Prevede un solo binario di entrambi gli impalcati caricato con il modello LM71. Gli assi del LM71 sono centrati sulla pila.
- **Disposizione 5:** disposizione atta a massimizzare lo scarico assiale sulla pila e contemporaneamente a creare un momento longitudinale (che “gira” intorno all’asse trasversale) sulla pila. Prevede entrambi i binari di entrambe le campate caricate con i modelli LM71 e SW/2. Gli assi del LM71 e la stesa di carico di 25 m del SW/2 sono posizionati a partire dall’estremità sinistra dell’impalcato di destra.
- **Disposizione 6:** disposizione atta a massimizzare lo scarico assiale sulla pila. Prevede entrambi i binari di entrambe le campate caricate con i modelli LM71 e SW/2. Gli assi del LM71 ed il tratto scarico di 7 m del SW/2 sono centrati sulla pila.
- **Disposizione 7:** disposizione atta a minimizzare lo scarico assiale sulla pila e contemporaneamente a massimizzare il momento longitudinale (momento che “gira” intorno all’asse trasversale). Prevede entrambi i binari di un solo impalcato caricate con i modelli LM71 e SW/2. Gli assi del modello LM71 e la stesa di carico di 25 m del modello SW/2 sono posizionati a partire dall’estremità sinistra dell’impalcato di destra.

Pila 04: Relazione di calcolo

COMMESSA	LOTTO	CODIFICA	DOCUMENTO	REV.	FOGLIO
IF1N	01 E ZZ	CL	VI0605 004	B	26 di 137

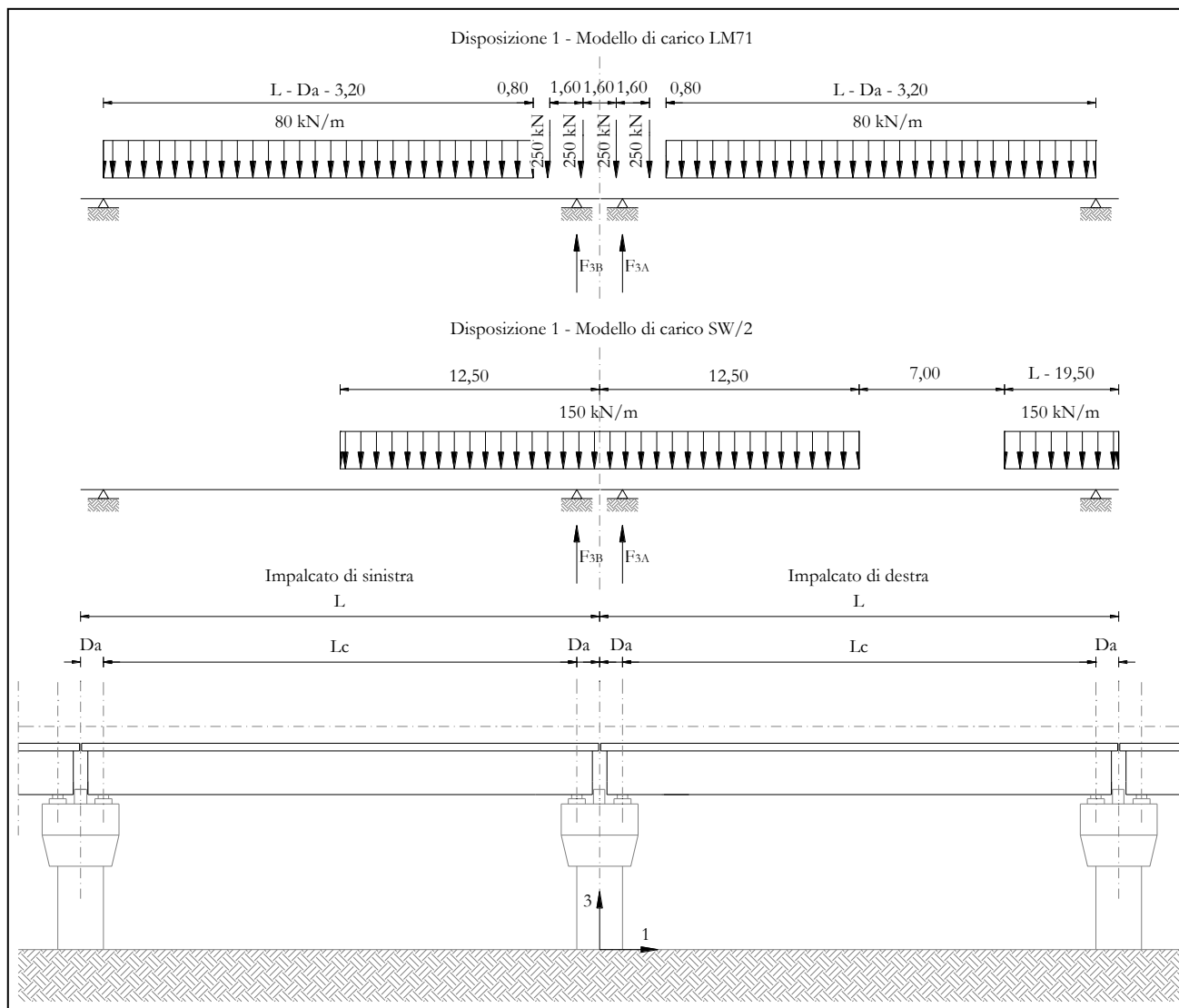


Figura 9 – Disposizione di carico 1

Pila 04: Relazione di calcolo

COMMESSA	LOTTO	CODIFICA	DOCUMENTO	REV.	FOGLIO
IF1N	01 E ZZ	CL	VI0605 004	B	27 di 137

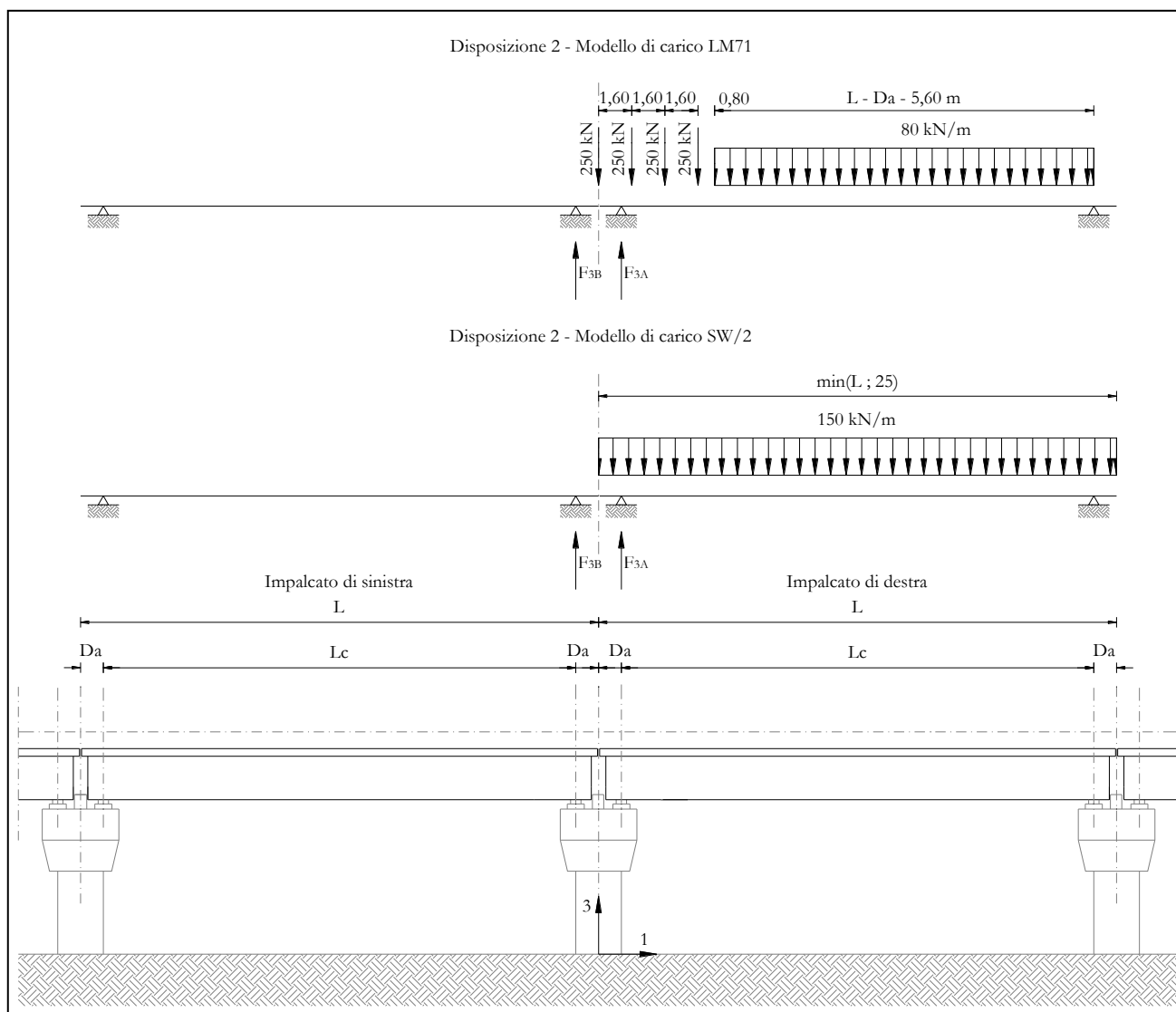


Figura 10 – Disposizione di carico 2

Pila 04: Relazione di calcolo

COMMESSA	LOTTO	CODIFICA	DOCUMENTO	REV.	FOGLIO
IF1N	01 E ZZ	CL	VI0605 004	B	28 di 137

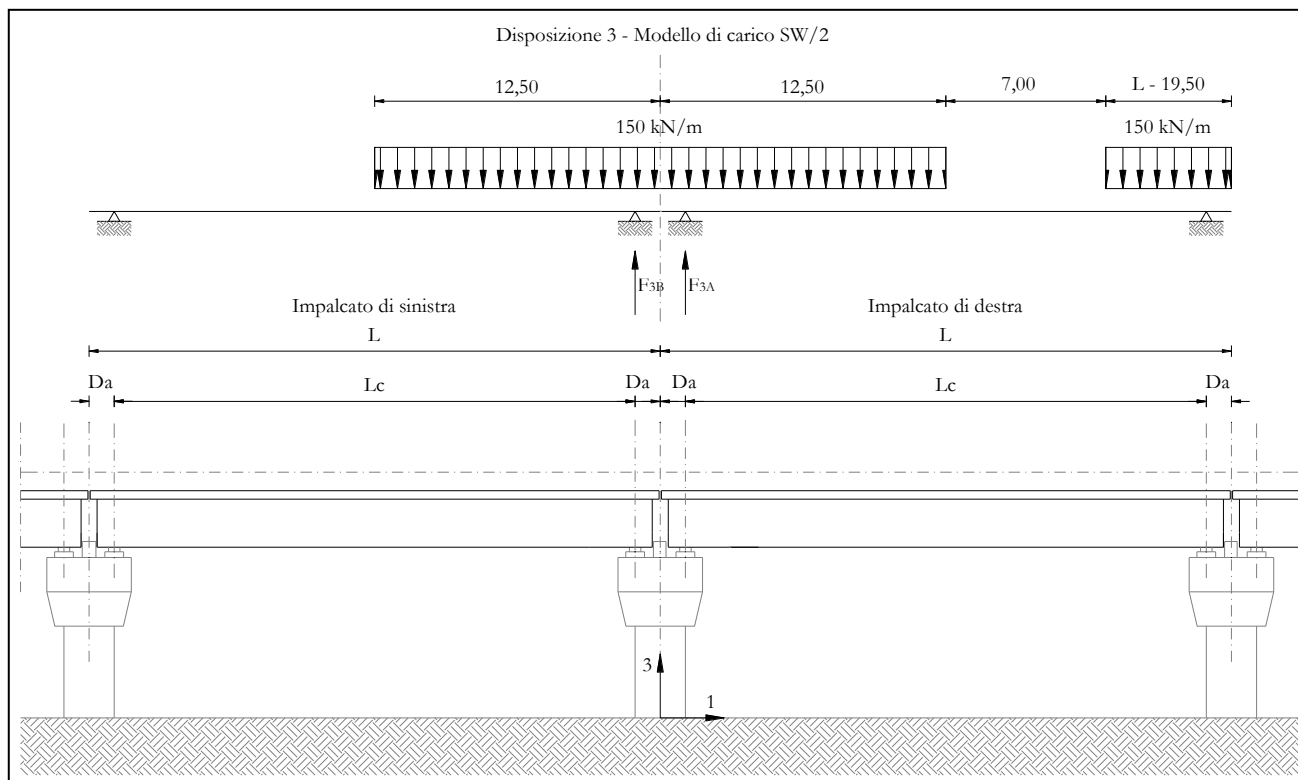


Figura 11 – Disposizione di carico 3

Pila 04: Relazione di calcolo

COMMESSA	LOTTO	CODIFICA	DOCUMENTO	REV.	FOGLIO
IF1N	01 E ZZ	CL	VI0605 004	B	29 di 137

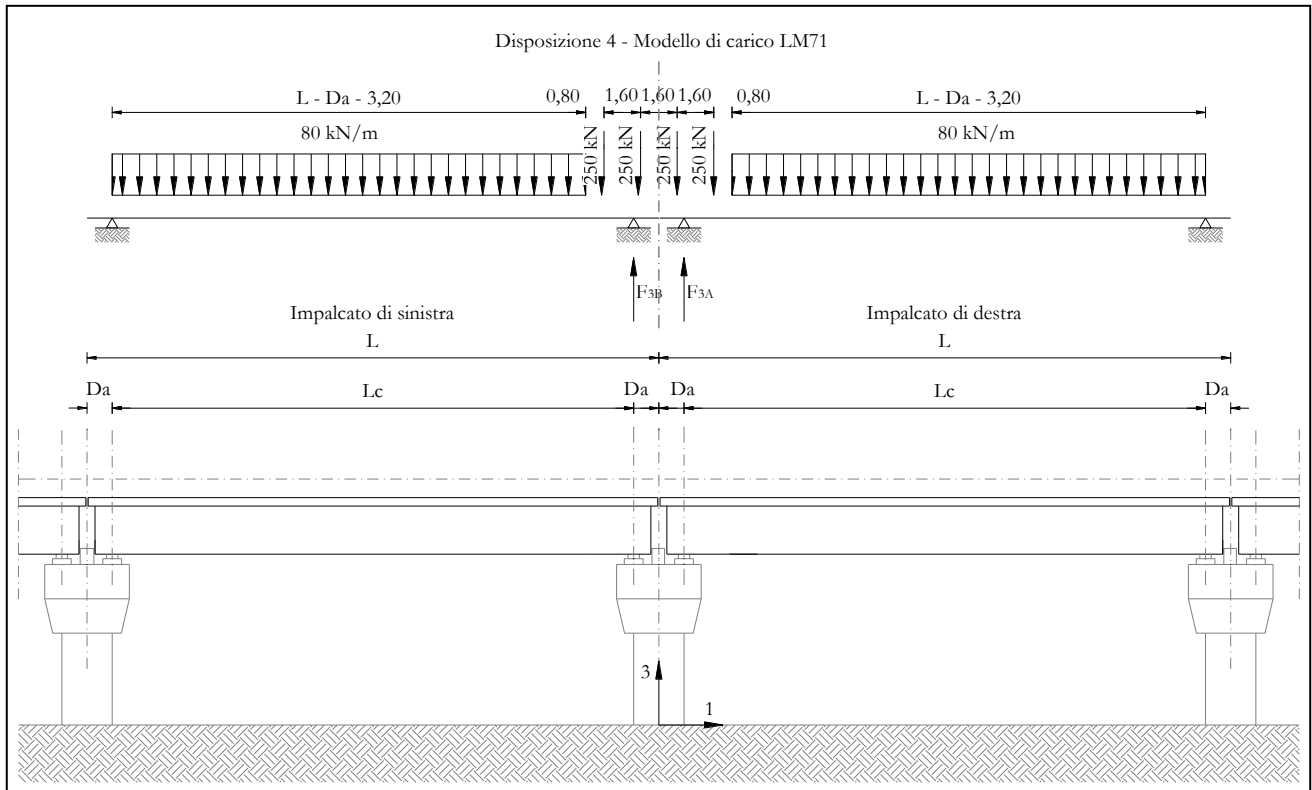


Figura 12 – Disposizione di carico 4

Pila 04: Relazione di calcolo

COMMESSA	LOTTO	CODIFICA	DOCUMENTO	REV.	FOGLIO
IF1N	01 E ZZ	CL	VI0605 004	B	30 di 137

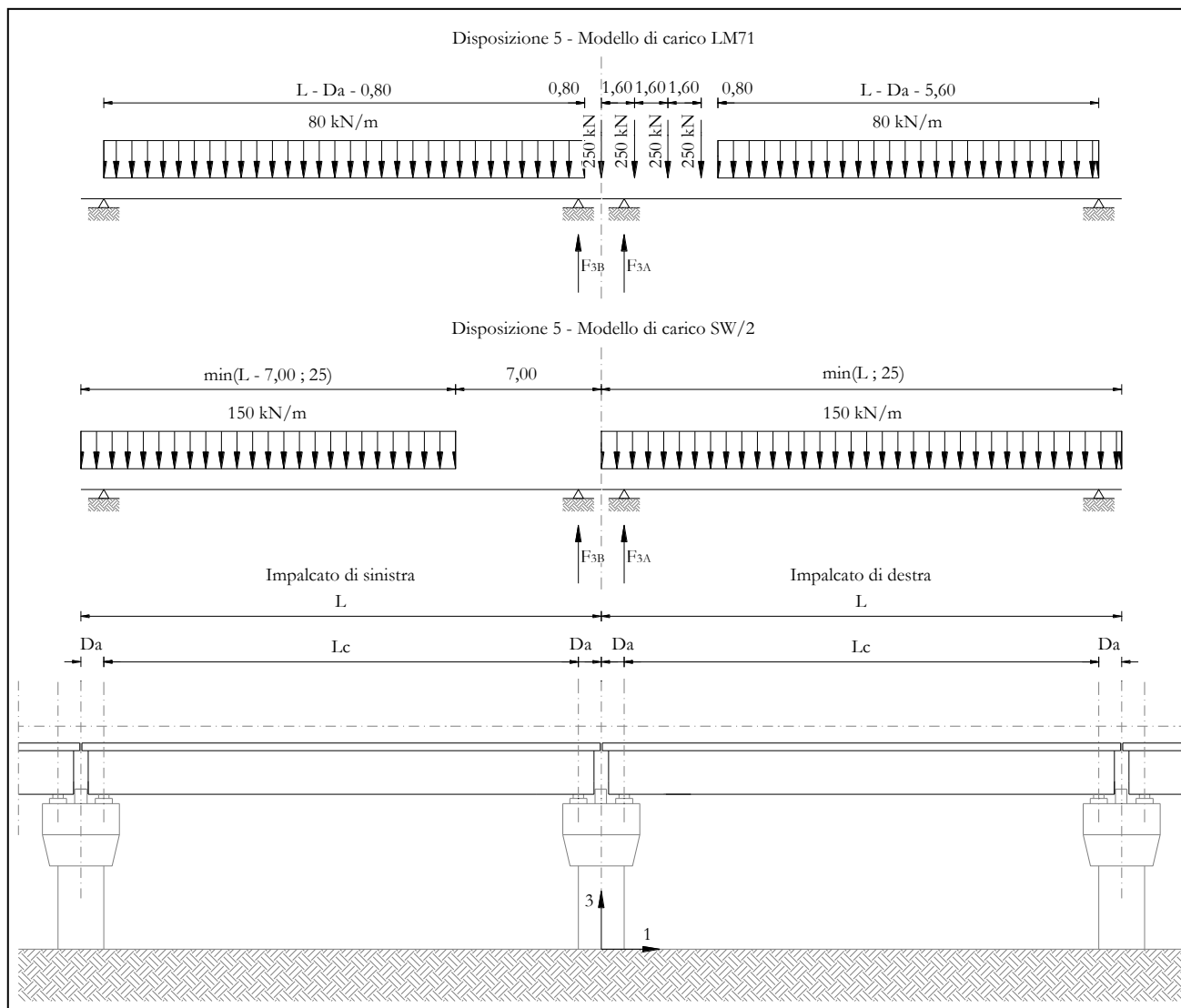


Figura 13 – Disposizione di carico 5

Pila 04: Relazione di calcolo

COMMESSA	LOTTO	CODIFICA	DOCUMENTO	REV.	FOGLIO
IF1N	01 E ZZ	CL	VI0605 004	B	31 di 137

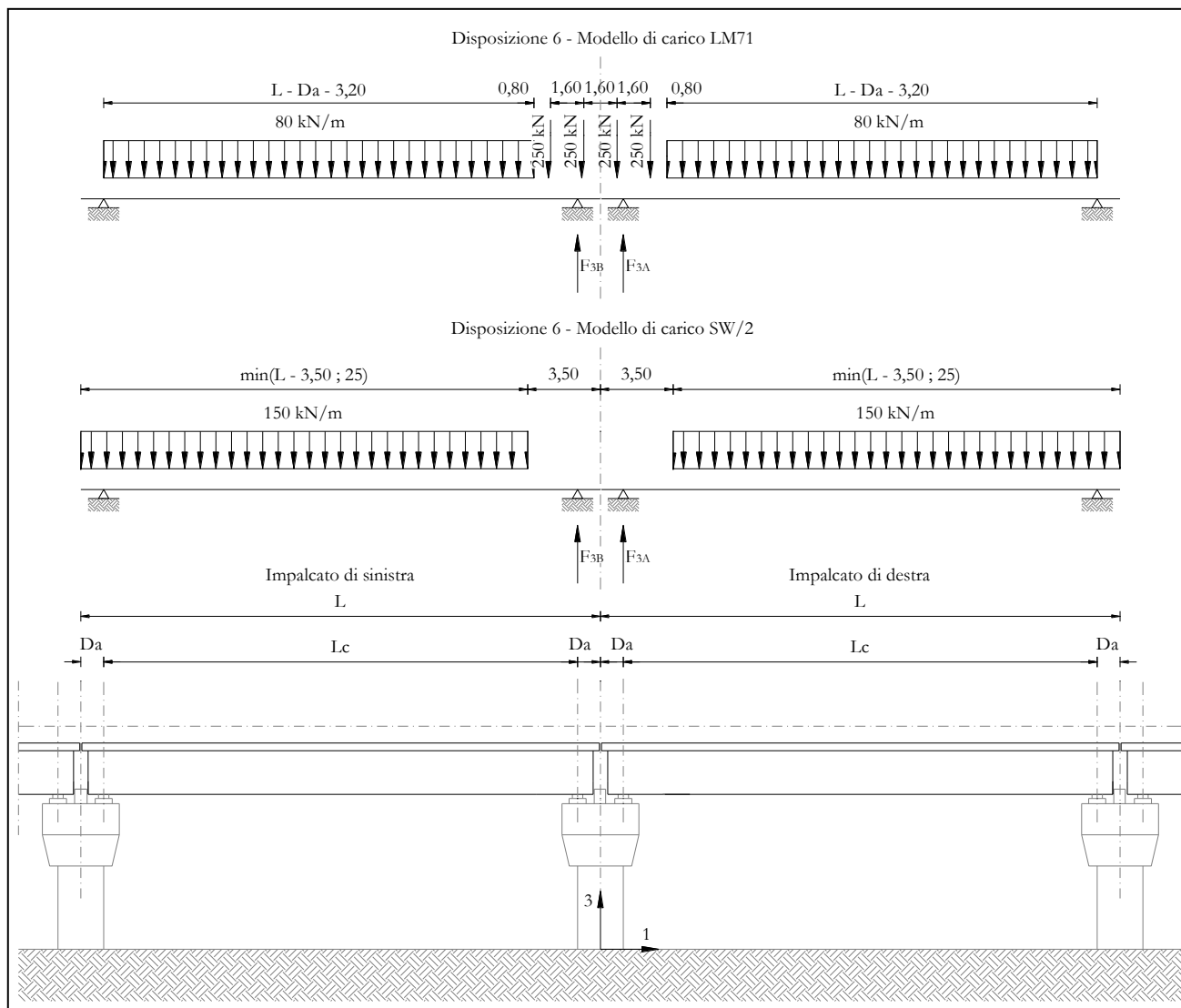


Figura 14 – Disposizione di carico 6

Pila 04: Relazione di calcolo

COMMESSA	LOTTO	CODIFICA	DOCUMENTO	REV.	FOGLIO
IF1N	01 E ZZ	CL	VI0605 004	B	32 di 137

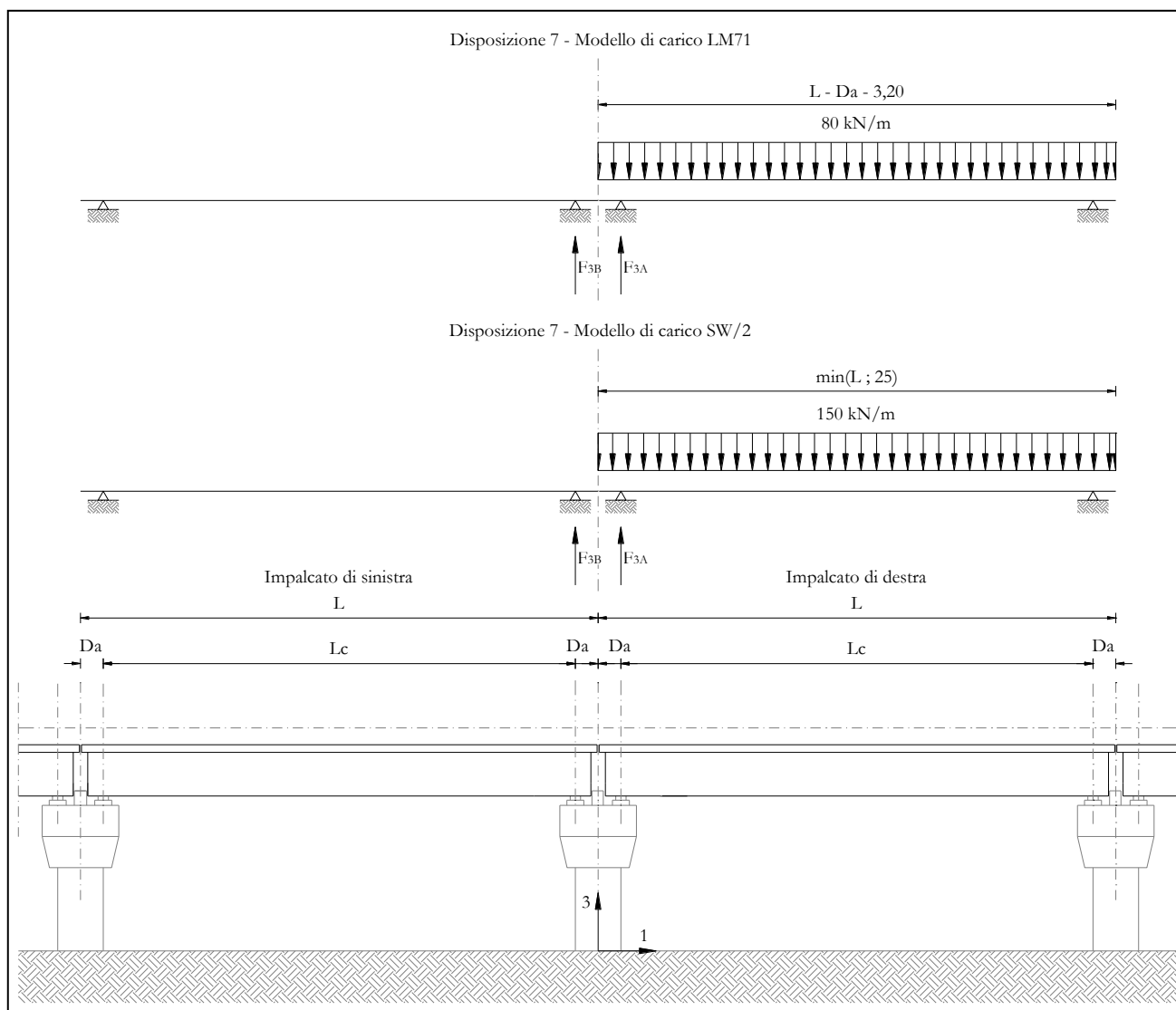


Figura 15 – Disposizione di carico 7

I valori caratteristici dei carichi attribuiti ai modelli di carico devono essere moltiplicati per il coefficiente α che deve assumersi come da tabella seguente:

Modello di carico	Coefficiente α
LM71	1,10
SW/2	1,00

  	ITINERARIO NAPOLI – BARI RADDOPPIO TRATTA CANCELLO – BENEVENTO I° LOTTO FUNZIONALE CANCELLO - FRASSO TELESINO E VARIANTE ALLA LINEA ROMA-NAPOLI VIA CASSINO NEL COMUNE DI MADDALONI – PROGETTO ESECUTIVO												
Pila 04: Relazione di calcolo	<table border="1"> <thead> <tr> <th>COMMESSA</th> <th>LOTTO</th> <th>CODIFICA</th> <th>DOCUMENTO</th> <th>REV.</th> <th>FOGLIO</th> </tr> </thead> <tbody> <tr> <td>IF1N</td> <td>01 E ZZ</td> <td>CL</td> <td>VI0605 004</td> <td>B</td> <td>33 di 137</td> </tr> </tbody> </table>	COMMESSA	LOTTO	CODIFICA	DOCUMENTO	REV.	FOGLIO	IF1N	01 E ZZ	CL	VI0605 004	B	33 di 137
COMMESSA	LOTTO	CODIFICA	DOCUMENTO	REV.	FOGLIO								
IF1N	01 E ZZ	CL	VI0605 004	B	33 di 137								

I valori caratteristici dei carichi attribuiti ai modelli di carico devono essere moltiplicati per coefficienti che tengono conto dell'amplificazione dinamica. I coefficienti di amplificazione dinamica Φ si assumono pari a Φ_2 o Φ_3 in dipendenza dal livello di manutenzione della linea. In particolare si assumerà:

- per linee con elevato standard manutentivo:
 $\Phi_2 = 1,44/(\sqrt{L_\Phi - 0,2}) + 0,82$ con limitazione $1,00 \leq \Phi_2 \leq 1,67$
- per linee con normale standard manutentivo:
 $\Phi_3 = 2,16/(\sqrt{L_\Phi - 0,2}) + 0,73$ con limitazione $1,00 \leq \Phi_3 \leq 2,00$

Pile con snellezza $\lambda \leq 30$, spalle, fondazioni, muri di sostegno e spinte del terreno possono essere calcolate assumendo coefficienti dinamici unitari.

l pila	9.4	m4	inerzia pila
A pila	10.425	m2	area sez. pila
r_pila	0.95	m	raggio inerzia
H pila	8.9	m	altezza max
λ pila	18.7	< 30	snellezza

	<u>IMPALCATO "A"</u>	<u>IMPALCATO "B"</u>
Standard manutentivo =	<i>Normale</i>	<i>Normale</i>

Valori adottati:

Φ elevazione =	1.00	1.00
Φ fondazioni =	1.00	1.00

  	ITINERARIO NAPOLI – BARI RADDOPPIO TRATTA CANCELLO – BENEVENTO I° LOTTO FUNZIONALE CANCELLO - FRASSO TELESINO E VARIANTE ALLA LINEA ROMA-NAPOLI VIA CASSINO NEL COMUNE DI MADDALONI – PROGETTO ESECUTIVO					
	Pila 04: Relazione di calcolo	COMMESSA IF1N	LOTTO 01 E ZZ	CODIFICA CL	DOCUMENTO VI0605 004	REV. B

6.3.1 CARICHI VERTICALI DA TRAFFICO (Q1)

Di seguito si riportano i risultati delle reazioni vincolari per le diverse disposizioni di carico considerate e descritte precedentemente nel §6.3.

6.3.1.1 DISPOSIZIONE DI CARICO 1 (Q11)

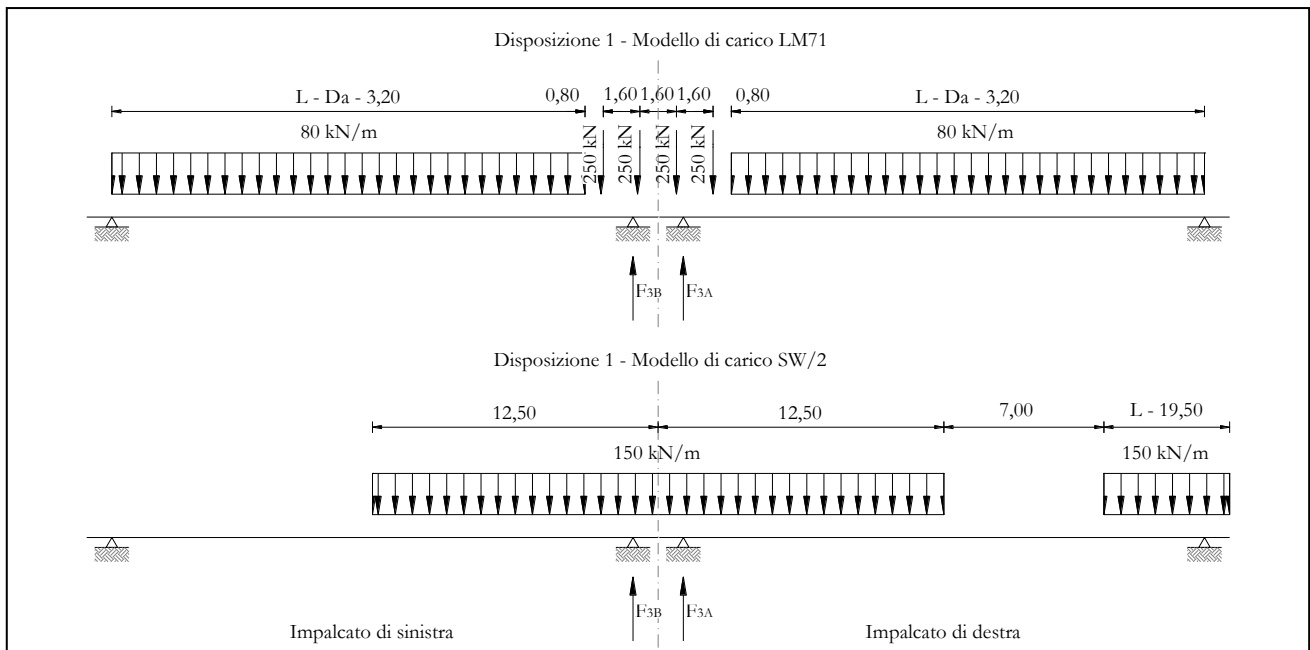


Figura 16 – Disposizione di carico 1

IMPALCATO-SX

Reazioni vincolari B

IMPALCATO-DX

Reazioni vincolari A

Modello di carico LM71

F3 =	1240,77	kN	1240,77	kN
α =	1,10		1,10	
eccentricità =	-1,92	m	-1,92	m

Modello di carico SW/2

F3 =	1451,48	kN	1511,18	kN
α =	1,00		1,00	
eccentricità =	2,00	m	2,00	m

  	ITINERARIO NAPOLI – BARI RADDOPPIO TRATTA CANCELLO – BENEVENTO I° LOTTO FUNZIONALE CANCELLO - FRASSO TELESINO E VARIANTE ALLA LINEA ROMA-NAPOLI VIA CASSINO NEL COMUNE DI MADDALONI – PROGETTO ESECUTIVO												
Pila 04: Relazione di calcolo	<table border="1"> <thead> <tr> <th>COMMESSA</th> <th>LOTTO</th> <th>CODIFICA</th> <th>DOCUMENTO</th> <th>REV.</th> <th>FOGLIO</th> </tr> </thead> <tbody> <tr> <td>IF1N</td> <td>01 E ZZ</td> <td>CL</td> <td>VI0605 004</td> <td>B</td> <td>35 di 137</td> </tr> </tbody> </table>	COMMESSA	LOTTO	CODIFICA	DOCUMENTO	REV.	FOGLIO	IF1N	01 E ZZ	CL	VI0605 004	B	35 di 137
COMMESSA	LOTTO	CODIFICA	DOCUMENTO	REV.	FOGLIO								
IF1N	01 E ZZ	CL	VI0605 004	B	35 di 137								

Coeff. di amplificazione dinamica

$\varphi =$ 1,00 1,00

Reazioni vincolari carichi variabili verticali

F3 = 2816,33 kN 2876,03 kN

Risultanti reazioni vincolari

F1 = 0 0
F2 = 0 0
F3 = 2816 kN 2876 kN
M1 = 282 kNm 402 kNm
M2 = 0 0
M3 = 0 0

Pila 04: Relazione di calcolo

COMMESSA	LOTTO	CODIFICA	DOCUMENTO	REV.	FOGLIO
IF1N	01 E ZZ	CL	VI0605 004	B	36 di 137

6.3.1.2 DISPOSIZIONE DI CARICO 1 (Q12)

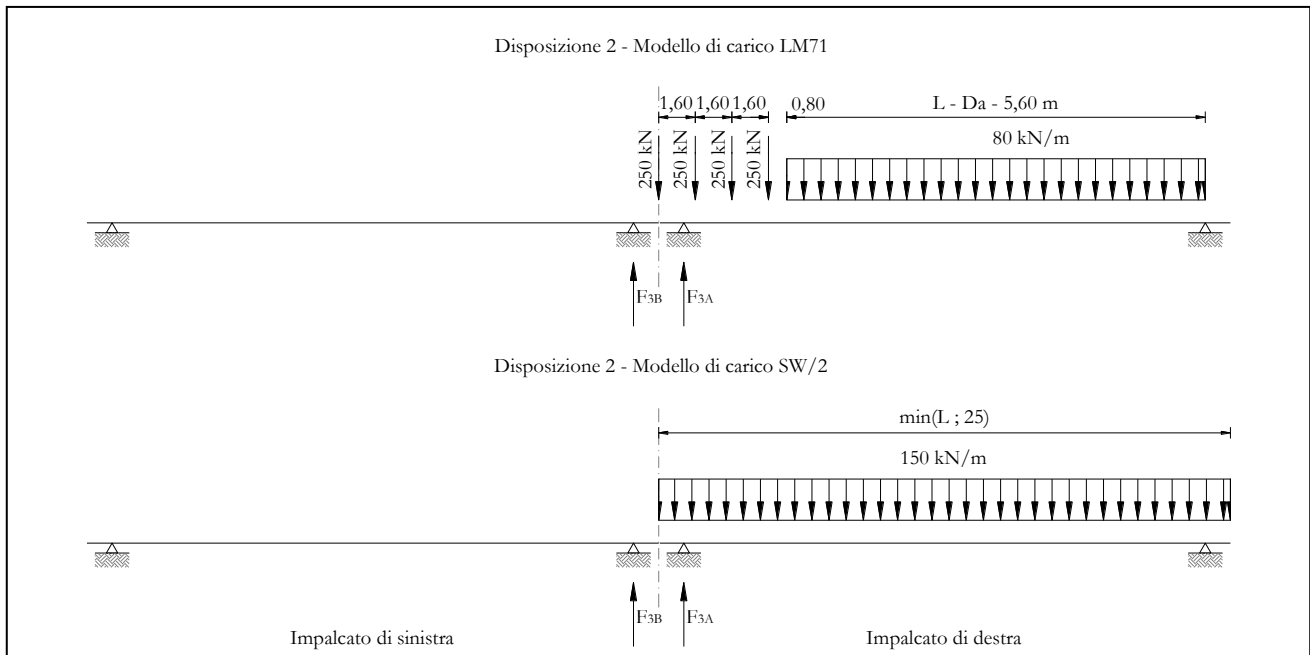


Figura 17 – Disposizione di carico 2

IMPALCATO-SX

Reazioni vincolari B

IMPALCATO-DX

Reazioni vincolari A

Modello di carico LM71

F3 =	0,00	kN	1530,51	kN
α =	1,10		1,10	
eccentricità =	-1,92	m	-1,92	m

Modello di carico SW/2

F3 =	0,00	kN	1875,00	kN
α =	1,00		1,00	
eccentricità =	2,00	m	2,00	m

Coeff. di amplificazione dinamica

  	ITINERARIO NAPOLI – BARI RADDOPPIO TRATTA CANCELLO – BENEVENTO I° LOTTO FUNZIONALE CANCELLO - FRASSO TELESINO E VARIANTE ALLA LINEA ROMA-NAPOLI VIA CASSINO NEL COMUNE DI MADDALONI – PROGETTO ESECUTIVO												
Pila 04: Relazione di calcolo	<table border="1"> <thead> <tr> <th>COMMESSA</th> <th>LOTTO</th> <th>CODIFICA</th> <th>DOCUMENTO</th> <th>REV.</th> <th>FOGLIO</th> </tr> </thead> <tbody> <tr> <td>IF1N</td> <td>01 E ZZ</td> <td>CL</td> <td>VI0605 004</td> <td>B</td> <td>37 di 137</td> </tr> </tbody> </table>	COMMESSA	LOTTO	CODIFICA	DOCUMENTO	REV.	FOGLIO	IF1N	01 E ZZ	CL	VI0605 004	B	37 di 137
COMMESSA	LOTTO	CODIFICA	DOCUMENTO	REV.	FOGLIO								
IF1N	01 E ZZ	CL	VI0605 004	B	37 di 137								

$$\varphi = 1,00 \quad 1,00$$

Reazioni vincolari carichi variabili verticali

$$F3 = 0,00 \quad \text{kN} \quad 3558,56 \quad \text{kN}$$

Risultanti reazioni vincolari

$$\begin{aligned}
 F1 &= 0 && 0 \\
 F2 &= 0 && 0 \\
 F3 &= 0 && \text{kN} && 3559 && \text{kN} \\
 M1 &= 0 && \text{kNm} && 518 && \text{kNm} \\
 M2 &= 0 && 0 \\
 M3 &= 0 && 0
 \end{aligned}$$

  	ITINERARIO NAPOLI – BARI RADDOPPIO TRATTA CANCELLO – BENEVENTO I° LOTTO FUNZIONALE CANCELLO - FRASSO TELESINO E VARIANTE ALLA LINEA ROMA-NAPOLI VIA CASSINO NEL COMUNE DI MADDALONI – PROGETTO ESECUTIVO					
	Pila 04: Relazione di calcolo	COMMESSA IF1N	LOTTO 01 E ZZ	CODIFICA CL	DOCUMENTO VI0605 004	REV. B

6.3.1.3 DISPOSIZIONE DI CARICO 1 (Q13)

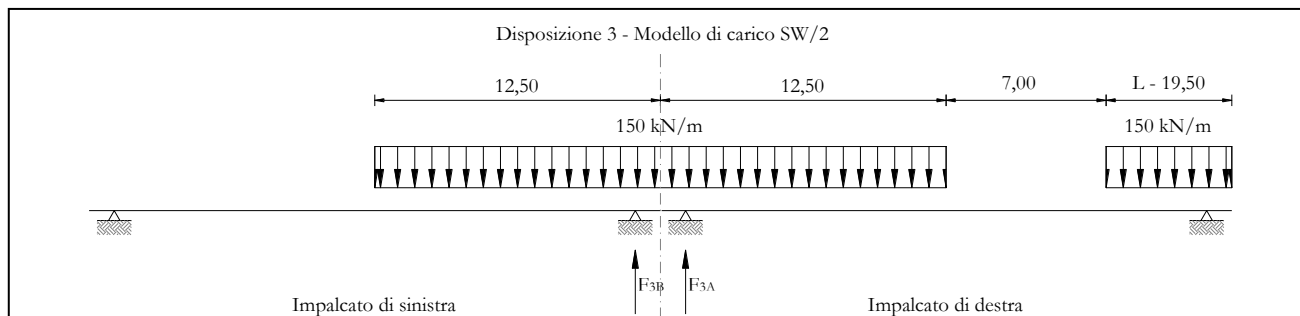


Figura 18 – Disposizione di carico 3

IMPALCATO-SX

Reazioni vincolari B

IMPALCATO-DX

Reazioni vincolari A

Modello di carico LM71

F3 =	0,00	kN	0,00	kN
α =	1,10		1,10	
eccentricità =	-1,92	m	-1,92	m

Modello di carico SW/2

F3 =	1451,48	kN	1511,18	kN
α =	1,00		1,00	
eccentricità =	2,00	m	2,00	m

Coeff. di amplificazione dinamica

φ =	1,00		1,00	
-------------	------	--	------	--

Reazioni vincolari carichi variabili verticali

F3 =	1451,48	kN	1511,18	kN
------	---------	----	---------	----

Risultanti reazioni vincolari

F1 =	0		0	
------	---	--	---	--

Ghella



ITINERA

ITINERARIO NAPOLI – BARI

RADDOPPIO TRATTA CANCELLO – BENEVENTO

**I° LOTTO FUNZIONALE CANCELLO - FRASSO TELESINO E
VARIANTE ALLA LINEA ROMA-NAPOLI VIA CASSINO NEL
COMUNE DI MADDALONI – PROGETTO ESECUTIVO**

Pila 04: Relazione di calcolo

COMMESSA	LOTTO	CODIFICA	DOCUMENTO	REV.	FOGLIO
IF1N	01 E ZZ	CL	VI0605 004	B	39 di 137

F2 =	0		0	
F3 =	1451	kN	1511	kN
M1 =	2903	kNm	3022	kNm
M2 =	0		0	
M3 =	0		0	

  	ITINERARIO NAPOLI – BARI RADDOPPIO TRATTA CANCELLO – BENEVENTO I° LOTTO FUNZIONALE CANCELLO - FRASSO TELESINO E VARIANTE ALLA LINEA ROMA-NAPOLI VIA CASSINO NEL COMUNE DI MADDALONI – PROGETTO ESECUTIVO					
	Pila 04: Relazione di calcolo	COMMESSA IF1N	LOTTO 01 E ZZ	CODIFICA CL	DOCUMENTO VI0605 004	REV. B

6.3.1.4 DISPOSIZIONE DI CARICO 1 (Q14)

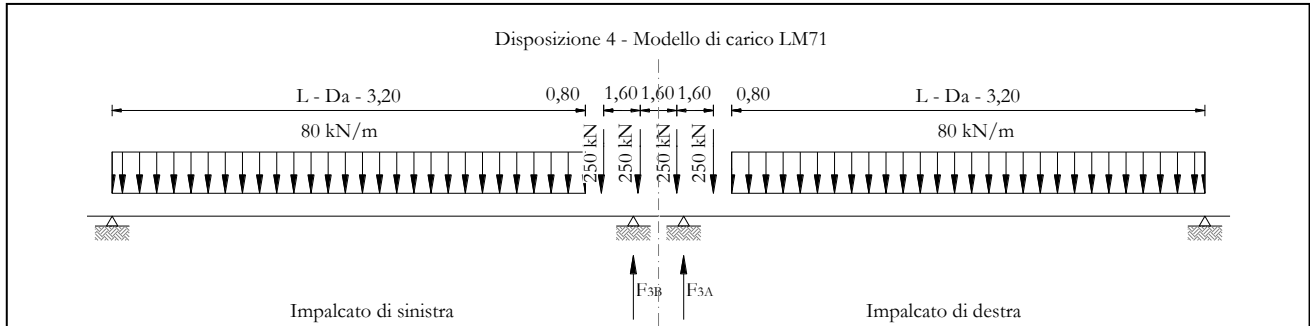


Figura 19 – Disposizione di carico 4

	IMPALCATO-SX		IMPALCATO-DX	
	Reazioni vincolari B		Reazioni vincolari A	
Modello di carico LM71				
F3 =	1240,77	kN	1240,77	kN
α =	1,10		1,10	
eccentricità =	2,08	m	2,08	m
Modello di carico SW/2				
F3 =	0,00	kN	0,00	kN
α =	1,00		1,00	
eccentricità =	-2,00	m	-2,00	m
Coeff. di amplificazione dinamica				
φ =	1,00		1,00	
Reazioni vincolari carichi variabili verticali				
F3 =	1364,85	kN	1364,85	kN
Risultanti reazioni vincolari				

Ghella



ITINERA

ITINERARIO NAPOLI – BARI
RADDOPPIO TRATTA CANCELLO – BENEVENTO
I° LOTTO FUNZIONALE CANCELLO - FRASSO TELESINO E
VARIANTE ALLA LINEA ROMA-NAPOLI VIA CASSINO NEL
COMUNE DI MADDALONI – PROGETTO ESECUTIVO

Pila 04: Relazione di calcolo

COMMESSA	LOTTO	CODIFICA	DOCUMENTO	REV.	FOGLIO
IF1N	01 E ZZ	CL	VI0605 004	B	41 di 137

F1 =	0		0	
F2 =	0		0	
F3 =	1365	kN	1365	kN
M1 =	2839	kNm	2839	kNm
M2 =	0		0	
M3 =	0		0	

  	ITINERARIO NAPOLI – BARI RADDOPPIO TRATTA CANCELLO – BENEVENTO I° LOTTO FUNZIONALE CANCELLO - FRASSO TELESINO E VARIANTE ALLA LINEA ROMA-NAPOLI VIA CASSINO NEL COMUNE DI MADDALONI – PROGETTO ESECUTIVO					
	Pila 04: Relazione di calcolo	COMMESSA IF1N	LOTTO 01 E ZZ	CODIFICA CL	DOCUMENTO VI0605 004	REV. B

6.3.1.5 DISPOSIZIONE DI CARICO 1 (Q15)

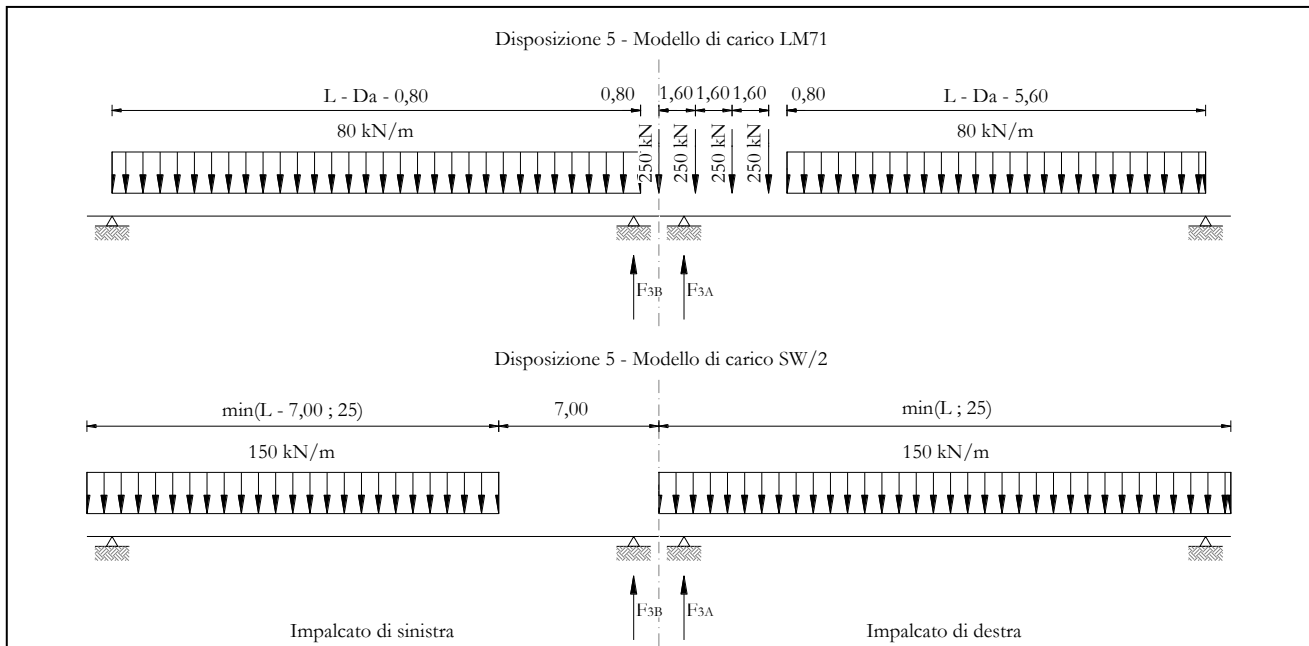


Figura 20 – Disposizione di carico 5

	IMPALCATO-SX		IMPALCATO-DX	
	Reazioni vincolari B		Reazioni vincolari A	

Modello di carico LM71

F3 =	936,16	kN	1530,51	kN
α =	1,10		1,10	
eccentricità =	2,08	m	-1,92	m

Modello di carico SW/2

F3 =	935,53	kN	1875,00	kN
α =	1,00		1,00	
eccentricità =	-2,00	m	2,00	m

Coeff. di amplificazione dinamica

ϕ =	1,00		1,00	
----------	------	--	------	--

  	ITINERARIO NAPOLI – BARI RADDOPPIO TRATTA CANCELLO – BENEVENTO I° LOTTO FUNZIONALE CANCELLO - FRASSO TELESINO E VARIANTE ALLA LINEA ROMA-NAPOLI VIA CASSINO NEL COMUNE DI MADDALONI – PROGETTO ESECUTIVO												
Pila 04: Relazione di calcolo	<table border="1"> <thead> <tr> <th>COMMESSA</th> <th>LOTTO</th> <th>CODIFICA</th> <th>DOCUMENTO</th> <th>REV.</th> <th>FOGLIO</th> </tr> </thead> <tbody> <tr> <td>IF1N</td> <td>01 E ZZ</td> <td>CL</td> <td>VI0605 004</td> <td>B</td> <td>43 di 137</td> </tr> </tbody> </table>	COMMESSA	LOTTO	CODIFICA	DOCUMENTO	REV.	FOGLIO	IF1N	01 E ZZ	CL	VI0605 004	B	43 di 137
COMMESSA	LOTTO	CODIFICA	DOCUMENTO	REV.	FOGLIO								
IF1N	01 E ZZ	CL	VI0605 004	B	43 di 137								

Reazioni vincolari carichi variabili verticali

F3 = 1965,30 kN 3558,56 kN

Risultanti reazioni vincolari

F1 = 0 0
F2 = 0 0
F3 = 1965 kN 3559 kN
M1 = 271 kNm 518 kNm
M2 = 0 0
M3 = 0 0

  	ITINERARIO NAPOLI – BARI RADDOPPIO TRATTA CANCELLO – BENEVENTO I° LOTTO FUNZIONALE CANCELLO - FRASSO TELESINO E VARIANTE ALLA LINEA ROMA-NAPOLI VIA CASSINO NEL COMUNE DI MADDALONI – PROGETTO ESECUTIVO					
	Pila 04: Relazione di calcolo	COMMESSA IF1N	LOTTO 01 E ZZ	CODIFICA CL	DOCUMENTO VI0605 004	REV. B

6.3.1.6 DISPOSIZIONE DI CARICO 1 (Q16)

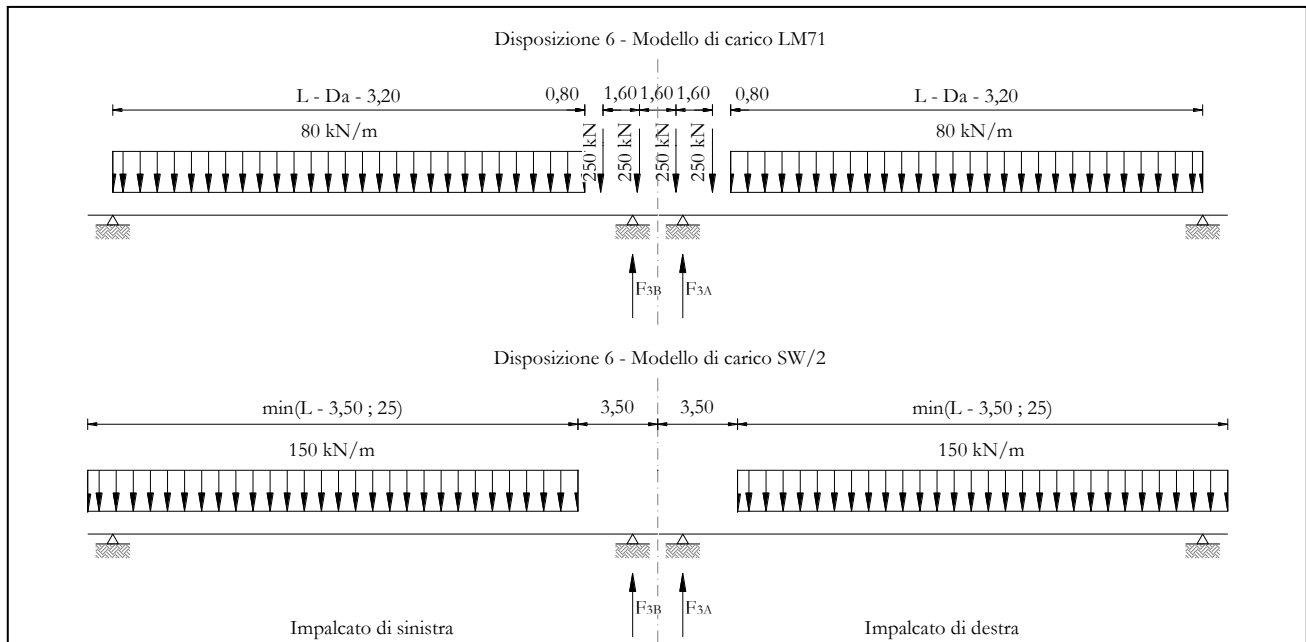


Figura 21 – Disposizione di carico 6

	IMPALCATO-SX		IMPALCATO-DX	
	Reazioni vincolari B		Reazioni vincolari A	

Modello di carico LM71

F3 =	1240,77	kN	1240,77	kN
α =	1,10		1,10	
eccentricità =	-1,92	m	-1,92	m

Modello di carico SW/2

F3 =	1364,97	kN	1364,97	kN
α =	1,00		1,00	
eccentricità =	2,00	m	2,00	m

Coeff. di amplificazione dinamica

φ =	1,00		1,00	
-------------	------	--	------	--

  	ITINERARIO NAPOLI – BARI RADDOPPIO TRATTA CANCELLO – BENEVENTO I° LOTTO FUNZIONALE CANCELLO - FRASSO TELESINO E VARIANTE ALLA LINEA ROMA-NAPOLI VIA CASSINO NEL COMUNE DI MADDALONI – PROGETTO ESECUTIVO												
Pila 04: Relazione di calcolo	<table border="1"> <thead> <tr> <th>COMMESSA</th> <th>LOTTO</th> <th>CODIFICA</th> <th>DOCUMENTO</th> <th>REV.</th> <th>FOGLIO</th> </tr> </thead> <tbody> <tr> <td>IF1N</td> <td>01 E ZZ</td> <td>CL</td> <td>VI0605 004</td> <td>B</td> <td>45 di 137</td> </tr> </tbody> </table>	COMMESSA	LOTTO	CODIFICA	DOCUMENTO	REV.	FOGLIO	IF1N	01 E ZZ	CL	VI0605 004	B	45 di 137
COMMESSA	LOTTO	CODIFICA	DOCUMENTO	REV.	FOGLIO								
IF1N	01 E ZZ	CL	VI0605 004	B	45 di 137								

Reazioni vincolari carichi variabili verticali

F3 = 2729,82 kN 2729,82 kN

Risultanti reazioni vincolari

F1 = 0 0
F2 = 0 0
F3 = 2730 kN 2730 kN
M1 = 109 kNm 109 kNm
M2 = 0 0
M3 = 0 0

  	ITINERARIO NAPOLI – BARI RADDOPPIO TRATTA CANCELLO – BENEVENTO I° LOTTO FUNZIONALE CANCELLO - FRASSO TELESINO E VARIANTE ALLA LINEA ROMA-NAPOLI VIA CASSINO NEL COMUNE DI MADDALONI – PROGETTO ESECUTIVO					
	Pila 04: Relazione di calcolo	COMMESSA IF1N	LOTTO 01 E ZZ	CODIFICA CL	DOCUMENTO VI0605 004	REV. B

6.3.1.7 DISPOSIZIONE DI CARICO 1 (Q17)

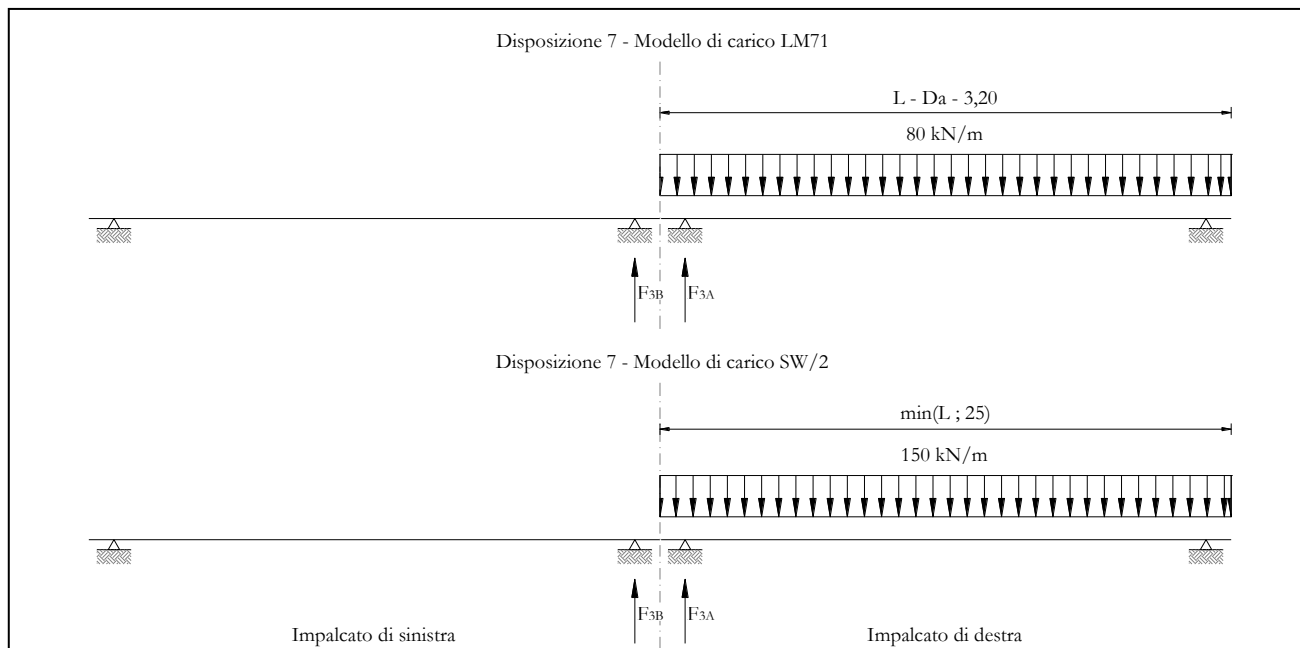


Figura 22 – Disposizione di carico 7

	IMPALCATO-SX		IMPALCATO-DX	
	Reazioni vincolari B		Reazioni vincolari A	

Modello di carico LM71

F3 =	0,00	kN	1002,12	kN
α =	1,10		1,10	
eccentricità =	-1,92	m	-1,92	m

Modello di carico SW/2

F3 =	0,00	kN	1875,00	kN
α =	1,00		1,00	
eccentricità =	2,00	m	2,00	m

Coeff. di amplificazione dinamica

φ =	1,00		1,00	
-------------	------	--	------	--

  	ITINERARIO NAPOLI – BARI RADDOPPIO TRATTA CANCELLO – BENEVENTO I° LOTTO FUNZIONALE CANCELLO - FRASSO TELESINO E VARIANTE ALLA LINEA ROMA-NAPOLI VIA CASSINO NEL COMUNE DI MADDALONI – PROGETTO ESECUTIVO												
Pila 04: Relazione di calcolo	<table border="1"> <thead> <tr> <th>COMMESSA</th> <th>LOTTO</th> <th>CODIFICA</th> <th>DOCUMENTO</th> <th>REV.</th> <th>FOGLIO</th> </tr> </thead> <tbody> <tr> <td>IF1N</td> <td>01 E ZZ</td> <td>CL</td> <td>VI0605 004</td> <td>B</td> <td>47 di 137</td> </tr> </tbody> </table>	COMMESSA	LOTTO	CODIFICA	DOCUMENTO	REV.	FOGLIO	IF1N	01 E ZZ	CL	VI0605 004	B	47 di 137
COMMESSA	LOTTO	CODIFICA	DOCUMENTO	REV.	FOGLIO								
IF1N	01 E ZZ	CL	VI0605 004	B	47 di 137								

Reazioni vincolari carichi variabili verticali

F3 = 0,00 kN 2977,34 kN

Risultanti reazioni vincolari

F1 =	0		0	
F2 =	0		0	
F3 =	0	kN	2977	kN
M1 =	0	kNm	1634	kNm
M2 =	0		0	
M3 =	0		0	

  	ITINERARIO NAPOLI – BARI RADDOPPIO TRATTA CANCELLO – BENEVENTO I° LOTTO FUNZIONALE CANCELLO - FRASSO TELESINO E VARIANTE ALLA LINEA ROMA-NAPOLI VIA CASSINO NEL COMUNE DI MADDALONI – PROGETTO ESECUTIVO												
Pila 04: Relazione di calcolo	<table border="1"> <thead> <tr> <th>COMMESSA</th> <th>LOTTO</th> <th>CODIFICA</th> <th>DOCUMENTO</th> <th>REV.</th> <th>FOGLIO</th> </tr> </thead> <tbody> <tr> <td>IF1N</td> <td>01 E ZZ</td> <td>CL</td> <td>VI0605 004</td> <td>B</td> <td>48 di 137</td> </tr> </tbody> </table>	COMMESSA	LOTTO	CODIFICA	DOCUMENTO	REV.	FOGLIO	IF1N	01 E ZZ	CL	VI0605 004	B	48 di 137
COMMESSA	LOTTO	CODIFICA	DOCUMENTO	REV.	FOGLIO								
IF1N	01 E ZZ	CL	VI0605 004	B	48 di 137								

6.3.2 AZIONI DI AVVIAMENTO E FRENATURA (Q2)

La azioni di frenatura e avviamento sono costituite da forze uniformemente distribuite su una lunghezza di binario L determinata per ottenere l'effetto più gravoso sull'elemento strutturale considerato. I valori da considerare sono i seguenti:

- avviamento: $Q_{la,k} = 33 \text{ kN/m} \cdot L \leq 1000 \text{ kN}$ per i modelli di carico LM71,SW/2
- frenatura: $Q_{lb,k} = 20 \text{ kN/m} \cdot L \leq 6000 \text{ kN}$ per i modelli di carico LM71
 $Q_{lb,k} = 35 \text{ kN/m}$ per i modelli di carico SW/2

I valori caratteristici dell'azione di frenatura e di avviamento devono essere moltiplicati per α e non devono essere moltiplicati per Φ .

Nel caso di ponti a doppio binario si devono considerare due treni in transito in versi opposti, uno in fase di avviamento e l'altro in fase di frenatura.

Gli effetti di interazione relativamente alle azioni di frenatura e avviamento si tengono conto applicando ai valori della risultante un coefficiente α_h che tiene conto del rapporto di rigidezza tra le pile del viadotto. Per la determinazione dei coefficienti si rimanda al §6.6.3 della presente relazione.

Nei sottoparagrafi che seguono si riportano i risultati delle reazioni vincolari per le diverse disposizioni di carico considerate e descritte precedentemente nel §6.3.

Pila 04: Relazione di calcolo

COMMESSA	LOTTO	CODIFICA	DOCUMENTO	REV.	FOGLIO
IF1N	01 E ZZ	CL	VI0605 004	B	49 di 137

6.3.2.1 DISPOSIZIONE DI CARICO 1 (Q21)

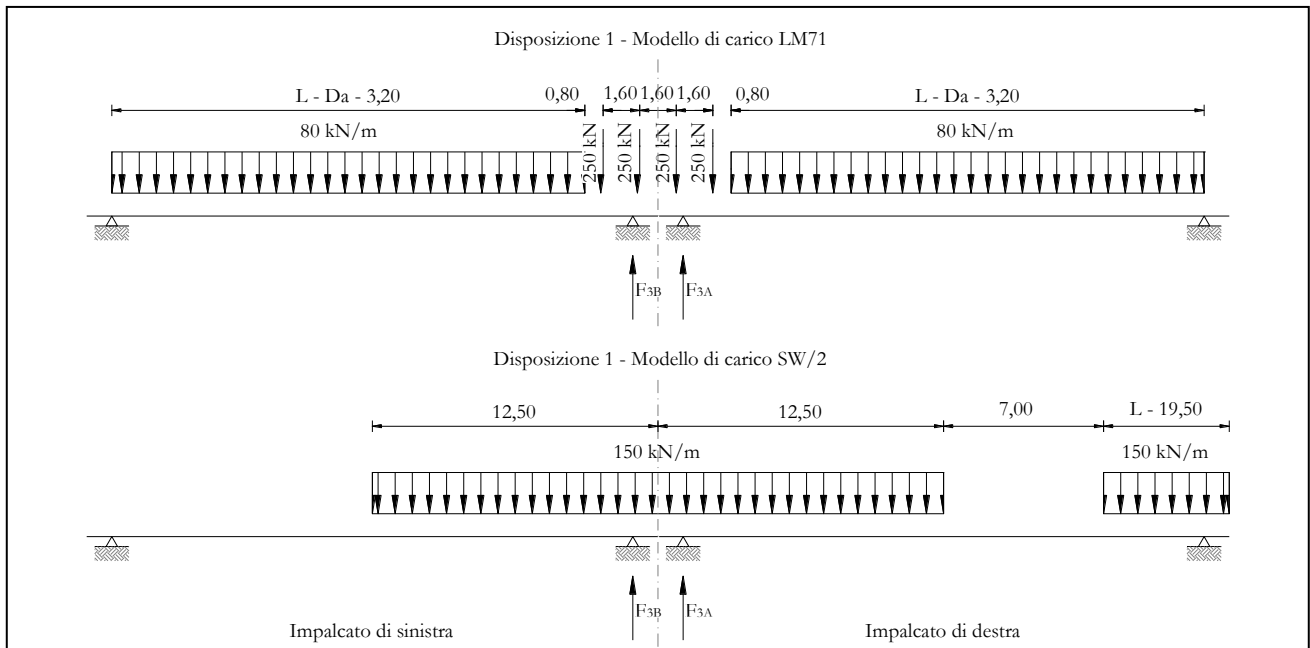


Figura 23 – Disposizione di carico 1

IMPALCATO-SX

Reazioni vincolari B

IMPALCATO-DX

Reazioni vincolari A

Avviamento LM71

$f_{avv} =$	33,00	kN/m	33,00	kN/m
$\alpha =$	1,10		1,10	
L caricata =	25,00	m	25,00	m
$F_{avv} (\text{max } 1000 \text{ kN}) =$	825,00	kN	825,00	kN
$F1 =$	907,50	kN	907,50	kN

Avviamento SW/2

$f_{avv} =$	33,00	kN/m	33,00	kN/m
$\alpha =$	1,00		1,00	
L caricata =	12,50	m	18,00	m
$F_{avv} (\text{max } 1000 \text{ kN}) =$	412,50	kN	594,00	kN
$F1 =$	412,50	kN	594,00	kN

  	ITINERARIO NAPOLI – BARI RADDOPPIO TRATTA CANCELLO – BENEVENTO I° LOTTO FUNZIONALE CANCELLO - FRASSO TELESINO E VARIANTE ALLA LINEA ROMA-NAPOLI VIA CASSINO NEL COMUNE DI MADDALONI – PROGETTO ESECUTIVO												
Pila 04: Relazione di calcolo	<table border="1"> <thead> <tr> <th>COMMESSA</th> <th>LOTTO</th> <th>CODIFICA</th> <th>DOCUMENTO</th> <th>REV.</th> <th>FOGLIO</th> </tr> </thead> <tbody> <tr> <td>IF1N</td> <td>01 E ZZ</td> <td>CL</td> <td>VI0605 004</td> <td>B</td> <td>50 di 137</td> </tr> </tbody> </table>	COMMESSA	LOTTO	CODIFICA	DOCUMENTO	REV.	FOGLIO	IF1N	01 E ZZ	CL	VI0605 004	B	50 di 137
COMMESSA	LOTTO	CODIFICA	DOCUMENTO	REV.	FOGLIO								
IF1N	01 E ZZ	CL	VI0605 004	B	50 di 137								

Frenatura LM71

f fren =	20,00	kN/m	20,00	kN/m
α =	1,10		1,10	
L caricata =	25,00	m	25,00	m
F fren (max 6000 kN) =	500,00	kN	500,00	kN
F1 =	550,00	kN	550,00	kN

Frenatura SW/2

f fren =	35,00	kN/m	35,00	kN/m
α =	1,00		1,00	
L caricata =	12,50	m	18,00	m
F fren =	437,50	kN	630,00	kN
F1 =	437,50	kN	630,00	kN

ahp interazione semplificata

ahp frenatura per LM71 =	1,60		1,60	
ahp frenatura per SW/2 =	1,30		1,30	
ahp avviam. per LM71 SW/2 =	1,12		1,12	

Forza totale di avviamento e frenatura

F1 =	1585,15	kN	1835,40	kN
h rispetto a intradosso imp. =	3,28	m	3,28	m
tipologia vincolo =	UL		F	

Risultanti reazioni vincolari

F1 =	0	kN	-1835	kN
F2 =	0		0	
F3 =	228	kN	-264	kN
M1 =	0		0	
M2 =	0		0	
M3 =	0		0	

Pila 04: Relazione di calcolo

COMMESSA	LOTTO	CODIFICA	DOCUMENTO	REV.	FOGLIO
IF1N	01 E ZZ	CL	VI0605 004	B	51 di 137

6.3.2.2 DISPOSIZIONE DI CARICO 2 (Q22)

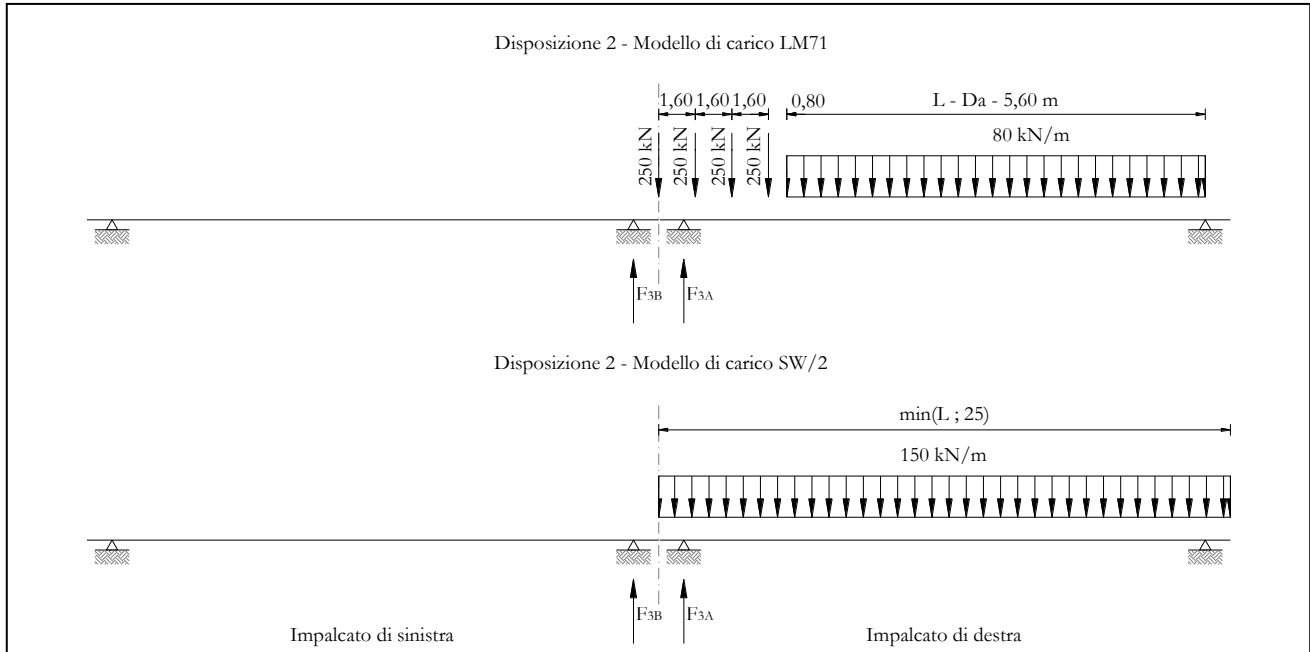


Figura 24 – Disposizione di carico 2

IMPALCATO-SX	IMPALCATO-DX
Reazioni vincolari B	Reazioni vincolari A

Avviamento LM71

f avv =	33,00	kN/m	33,00	kN/m
α =	1,10		1,10	
L caricata =	0,00	m	25,00	m
F avv (max 1000 kN) =	0,00	kN	825,00	kN
F1 =	0,00	kN	907,50	kN

Avviamento SW/2

f avv =	33,00	kN/m	33,00	kN/m
α =	1,00		1,00	
L caricata =	0,00	m	25,00	m
F avv (max 1000 kN) =	0,00	kN	825,00	kN
F1 =	0,00	kN	825,00	kN

  	ITINERARIO NAPOLI – BARI RADDOPPIO TRATTA CANCELLO – BENEVENTO I° LOTTO FUNZIONALE CANCELLO - FRASSO TELESINO E VARIANTE ALLA LINEA ROMA-NAPOLI VIA CASSINO NEL COMUNE DI MADDALONI – PROGETTO ESECUTIVO												
Pila 04: Relazione di calcolo	<table border="1"> <thead> <tr> <th>COMMESSA</th> <th>LOTTO</th> <th>CODIFICA</th> <th>DOCUMENTO</th> <th>REV.</th> <th>FOGLIO</th> </tr> </thead> <tbody> <tr> <td>IF1N</td> <td>01 E ZZ</td> <td>CL</td> <td>VI0605 004</td> <td>B</td> <td>52 di 137</td> </tr> </tbody> </table>	COMMESSA	LOTTO	CODIFICA	DOCUMENTO	REV.	FOGLIO	IF1N	01 E ZZ	CL	VI0605 004	B	52 di 137
COMMESSA	LOTTO	CODIFICA	DOCUMENTO	REV.	FOGLIO								
IF1N	01 E ZZ	CL	VI0605 004	B	52 di 137								

Frenatura LM71

f fren =	20,00	kN/m	20,00	kN/m
α =	1,10		1,10	
L caricata =	0,00	m	25,00	m
F fren (max 6000 kN) =	0,00	kN	500,00	kN
F1 =	0,00	kN	550,00	kN

Frenatura SW/2

f fren =	35,00	kN/m	35,00	kN/m
α =	1,00		1,00	
L caricata =	0,00	m	25,00	m
F fren =	0,00	kN	875,00	kN
F1 =	0,00	kN	875,00	kN

ahp interazione semplificata

ahp frenatura per LM71 =	1,60		1,60	
ahp frenatura per SW/2 =	1,30		1,30	
ahp avviam. per LM71 SW/2 =	1,12		1,12	

Forza totale di avviamento e frenatura

F1 =	0,00	kN	2153,90	kN
h rispetto a intradosso imp. =	3,28	m	3,28	m
tipologia vincolo =	UL		F	

Risultanti reazioni vincolari

F1 =	0	kN	-2154	kN
F2 =	0		0	
F3 =	0	kN	-310	kN
M1 =	0		0	
M2 =	0		0	
M3 =	0		0	

  	ITINERARIO NAPOLI – BARI RADDOPPIO TRATTA CANCELLO – BENEVENTO I° LOTTO FUNZIONALE CANCELLO - FRASSO TELESINO E VARIANTE ALLA LINEA ROMA-NAPOLI VIA CASSINO NEL COMUNE DI MADDALONI – PROGETTO ESECUTIVO												
Pila 04: Relazione di calcolo	<table border="0" style="width: 100%;"> <tr> <td>COMMESSA</td> <td>LOTTO</td> <td>CODIFICA</td> <td>DOCUMENTO</td> <td>REV.</td> <td>FOGLIO</td> </tr> <tr> <td>IF1N</td> <td>01 E ZZ</td> <td>CL</td> <td>VI0605 004</td> <td>B</td> <td>53 di 137</td> </tr> </table>	COMMESSA	LOTTO	CODIFICA	DOCUMENTO	REV.	FOGLIO	IF1N	01 E ZZ	CL	VI0605 004	B	53 di 137
COMMESSA	LOTTO	CODIFICA	DOCUMENTO	REV.	FOGLIO								
IF1N	01 E ZZ	CL	VI0605 004	B	53 di 137								

6.3.2.3 DISPOSIZIONE DI CARICO 3 (Q23)

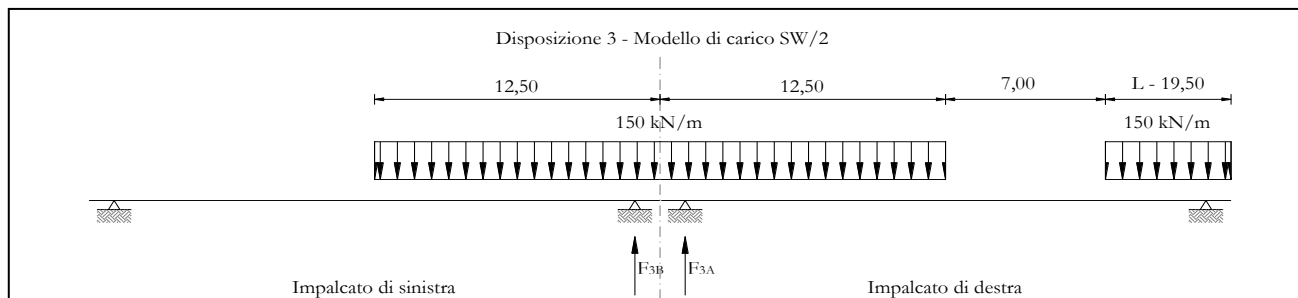


Figura 25 – Disposizione di carico 3

	IMPALCATO-SX		IMPALCATO-DX	
	Reazioni vincolari B		Reazioni vincolari A	
Avviamento LM71				
f avv =	33,00	kN/m	33,00	kN/m
α =	1,10		1,10	
L caricata =	0,00	m	0,00	m
F avv (max 1000 kN) =	0,00	kN	0,00	kN
F1 =	0,00	kN	0,00	kN
Avviamento SW/2				
f avv =	33,00	kN/m	33,00	kN/m
α =	1,00		1,00	
L caricata =	12,50	m	18,00	m
F avv (max 1000 kN) =	412,50	kN	594,00	kN
F1 =	412,50	kN	594,00	kN
Frenatura LM71				
f fren =	20,00	kN/m	20,00	kN/m
α =	1,10		1,10	
L caricata =	0,00	m	0,00	m

  	ITINERARIO NAPOLI – BARI RADDOPPIO TRATTA CANCELLO – BENEVENTO I° LOTTO FUNZIONALE CANCELLO - FRASSO TELESINO E VARIANTE ALLA LINEA ROMA-NAPOLI VIA CASSINO NEL COMUNE DI MADDALONI – PROGETTO ESECUTIVO												
Pila 04: Relazione di calcolo	<table border="1"> <thead> <tr> <th>COMMESSA</th> <th>LOTTO</th> <th>CODIFICA</th> <th>DOCUMENTO</th> <th>REV.</th> <th>FOGLIO</th> </tr> </thead> <tbody> <tr> <td>IF1N</td> <td>01 E ZZ</td> <td>CL</td> <td>VI0605 004</td> <td>B</td> <td>54 di 137</td> </tr> </tbody> </table>	COMMESSA	LOTTO	CODIFICA	DOCUMENTO	REV.	FOGLIO	IF1N	01 E ZZ	CL	VI0605 004	B	54 di 137
COMMESSA	LOTTO	CODIFICA	DOCUMENTO	REV.	FOGLIO								
IF1N	01 E ZZ	CL	VI0605 004	B	54 di 137								

F fren (max 6000 kN) = 0,00 kN 0,00 kN

F1 = 0,00 kN 0,00 kN

Frenatura SW/2

f fren = 35,00 kN/m 35,00 kN/m

α = 1,00 1,00

L caricata = 12,50 m 18,00 m

F fren = 437,50 kN 630,00 kN

F1 = 437,50 kN 630,00 kN

ahp interazione semplificata

ahp frenatura per LM71 = 1,60 1,60

ahp frenatura per SW/2 = 1,30 1,30

ahp avviam. per LM71 SW/2 = 1,12 1,12

Forza totale di avviamento e frenatura

F1 = 568,75 kN 819,00 kN

h rispetto a intradosso imp. = 3,28 m 3,28 m

tipologia vincolo = UL F

Risultanti reazioni vincolari

F1 = 0 kN -819 kN

F2 = 0 0

F3 = 82 kN -118 kN

M1 = 0 0

M2 = 0 0

M3 = 0 0

  	ITINERARIO NAPOLI – BARI RADDOPPIO TRATTA CANCELLO – BENEVENTO I° LOTTO FUNZIONALE CANCELLO - FRASSO TELESINO E VARIANTE ALLA LINEA ROMA-NAPOLI VIA CASSINO NEL COMUNE DI MADDALONI – PROGETTO ESECUTIVO					
	Pila 04: Relazione di calcolo	COMMESSA IF1N	LOTTO 01 E ZZ	CODIFICA CL	DOCUMENTO VI0605 004	REV. B

6.3.2.4 DISPOSIZIONE DI CARICO 4 (Q24)

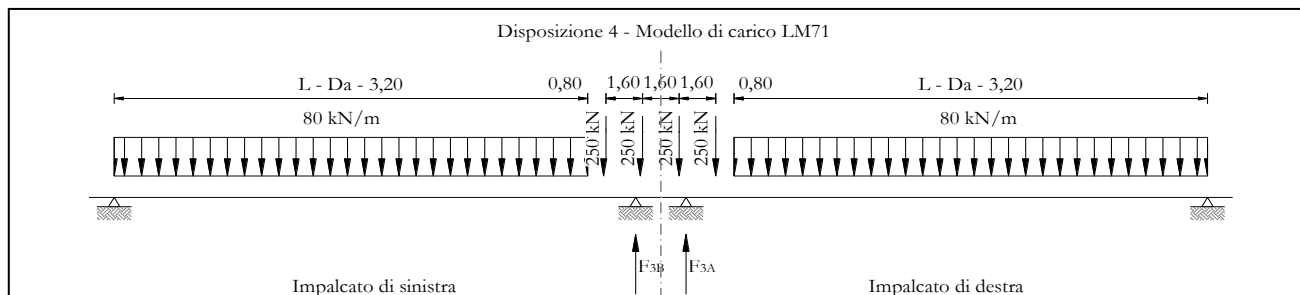


Figura 26 – Disposizione di carico 4

	IMPALCATO-SX		IMPALCATO-DX	
	Reazioni vincolari B		Reazioni vincolari A	

Avviamento LM71

f avv =	33,00	kN/m	33,00	kN/m
α =	1,10		1,10	
L caricata =	25,00	m	25,00	m
F avv (max 1000 kN) =	825,00	kN	825,00	kN
F1 =	907,50	kN	907,50	kN

Avviamento SW/2

f avv =	33,00	kN/m	33,00	kN/m
α =	1,00		1,00	
L caricata =	0,00	m	0,00	m
F avv (max 1000 kN) =	0,00	kN	0,00	kN
F1 =	0,00	kN	0,00	kN

Frenatura LM71

f fren =	20,00	kN/m	20,00	kN/m
α =	1,10		1,10	
L caricata =	25,00	m	25,00	m

  	ITINERARIO NAPOLI – BARI RADDOPPIO TRATTA CANCELLO – BENEVENTO I° LOTTO FUNZIONALE CANCELLO - FRASSO TELESINO E VARIANTE ALLA LINEA ROMA-NAPOLI VIA CASSINO NEL COMUNE DI MADDALONI – PROGETTO ESECUTIVO												
Pila 04: Relazione di calcolo	<table border="1"> <thead> <tr> <th>COMMESSA</th> <th>LOTTO</th> <th>CODIFICA</th> <th>DOCUMENTO</th> <th>REV.</th> <th>FOGLIO</th> </tr> </thead> <tbody> <tr> <td>IF1N</td> <td>01 E ZZ</td> <td>CL</td> <td>VI0605 004</td> <td>B</td> <td>56 di 137</td> </tr> </tbody> </table>	COMMESSA	LOTTO	CODIFICA	DOCUMENTO	REV.	FOGLIO	IF1N	01 E ZZ	CL	VI0605 004	B	56 di 137
COMMESSA	LOTTO	CODIFICA	DOCUMENTO	REV.	FOGLIO								
IF1N	01 E ZZ	CL	VI0605 004	B	56 di 137								

F fren (max 6000 kN) = 500,00 kN 500,00 kN

F1 = 550,00 kN 550,00 kN

Frenatura SW/2

f fren = 35,00 kN/m 35,00 kN/m

α = 1,00 1,00

L caricata = 0,00 m 0,00 m

F fren = 0,00 kN 0,00 kN

F1 = 0,00 kN 0,00 kN

ahp interazione semplificata

ahp frenatura per LM71 = 1,60 1,60

ahp frenatura per SW/2 = 1,30 1,30

ahp avviam. per LM71 SW/2 = 1,12 1,12

Forza totale di avviamento e frenatura

F1 = 1016,40 kN 1016,40 kN

h rispetto a intradosso imp. = 3,28 m 3,28 m

tipologia vincolo = UL F

Risultanti reazioni vincolari

F1 = 0 kN -1016 kN

F2 = 0 0

F3 = 146 kN -146 kN

M1 = 0 0

M2 = 0 0

M3 = 0 0

  	ITINERARIO NAPOLI – BARI RADDOPPIO TRATTA CANCELLO – BENEVENTO I° LOTTO FUNZIONALE CANCELLO - FRASSO TELESINO E VARIANTE ALLA LINEA ROMA-NAPOLI VIA CASSINO NEL COMUNE DI MADDALONI – PROGETTO ESECUTIVO					
	Pila 04: Relazione di calcolo	COMMESSA IF1N	LOTTO 01 E ZZ	CODIFICA CL	DOCUMENTO VI0605 004	REV. B

6.3.2.5 DISPOSIZIONE DI CARICO 5 (Q25)

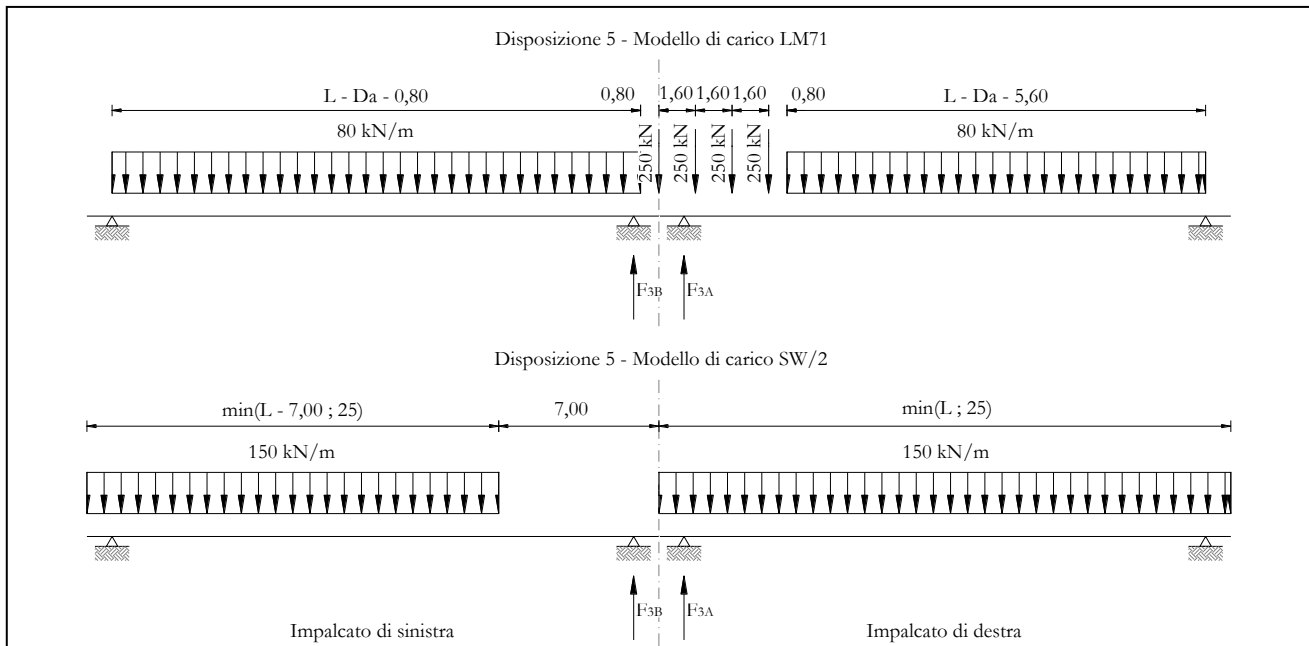


Figura 27 – Disposizione di carico 5

	IMPALCATO-SX		IMPALCATO-DX	
	Reazioni vincolari B		Reazioni vincolari A	
Avviamento LM71				
f avv =	33,00	kN/m	33,00	kN/m
α =	1,10		1,10	
L caricata =	25,00	m	25,00	m
F avv (max 1000 kN) =	825,00	kN	825,00	kN
F1 =	907,50	kN	907,50	kN
Avviamento SW/2				
f avv =	33,00	kN/m	33,00	kN/m
α =	1,00		1,00	
L caricata =	18,00	m	25,00	m
F avv (max 1000 kN) =	594,00	kN	825,00	kN
F1 =	594,00	kN	825,00	kN

  	ITINERARIO NAPOLI – BARI RADDOPPIO TRATTA CANCELLO – BENEVENTO I° LOTTO FUNZIONALE CANCELLO - FRASSO TELESINO E VARIANTE ALLA LINEA ROMA-NAPOLI VIA CASSINO NEL COMUNE DI MADDALONI – PROGETTO ESECUTIVO												
Pila 04: Relazione di calcolo	<table border="1"> <thead> <tr> <th>COMMESSA</th> <th>LOTTO</th> <th>CODIFICA</th> <th>DOCUMENTO</th> <th>REV.</th> <th>FOGLIO</th> </tr> </thead> <tbody> <tr> <td>IF1N</td> <td>01 E ZZ</td> <td>CL</td> <td>VI0605 004</td> <td>B</td> <td>58 di 137</td> </tr> </tbody> </table>	COMMESSA	LOTTO	CODIFICA	DOCUMENTO	REV.	FOGLIO	IF1N	01 E ZZ	CL	VI0605 004	B	58 di 137
COMMESSA	LOTTO	CODIFICA	DOCUMENTO	REV.	FOGLIO								
IF1N	01 E ZZ	CL	VI0605 004	B	58 di 137								

Frenatura LM71

f fren =	20,00	kN/m	20,00	kN/m
α =	1,10		1,10	
L caricata =	25,00	m	25,00	m
F fren (max 6000 kN) =	500,00	kN	500,00	kN
F1 =	550,00	kN	550,00	kN

Frenatura SW/2

f fren =	35,00	kN/m	35,00	kN/m
α =	1,00		1,00	
L caricata =	18,00	m	25,00	m
F fren =	630,00	kN	875,00	kN
F1 =	630,00	kN	875,00	kN

ahp interazione semplificata

ahp frenatura per LM71 =	1,60		1,60	
ahp frenatura per SW/2 =	1,30		1,30	
ahp avviam. per LM71 SW/2 =	1,12		1,12	

Forza totale di avviamento e frenatura

F1 =	1835,40	kN	2153,90	kN
h rispetto a intradosso imp. =	3,28	m	3,28	m
tipologia vincolo =	UL		F	

Risultanti reazioni vincolari

F1 =	0	kN	-2154	kN
F2 =	0		0	
F3 =	264	kN	-310	kN
M1 =	0		0	
M2 =	0		0	
M3 =	0		0	

Pila 04: Relazione di calcolo

COMMESSA	LOTTO	CODIFICA	DOCUMENTO	REV.	FOGLIO
IF1N	01 E ZZ	CL	VI0605 004	B	59 di 137

6.3.2.6 DISPOSIZIONE DI CARICO 6 (Q26)

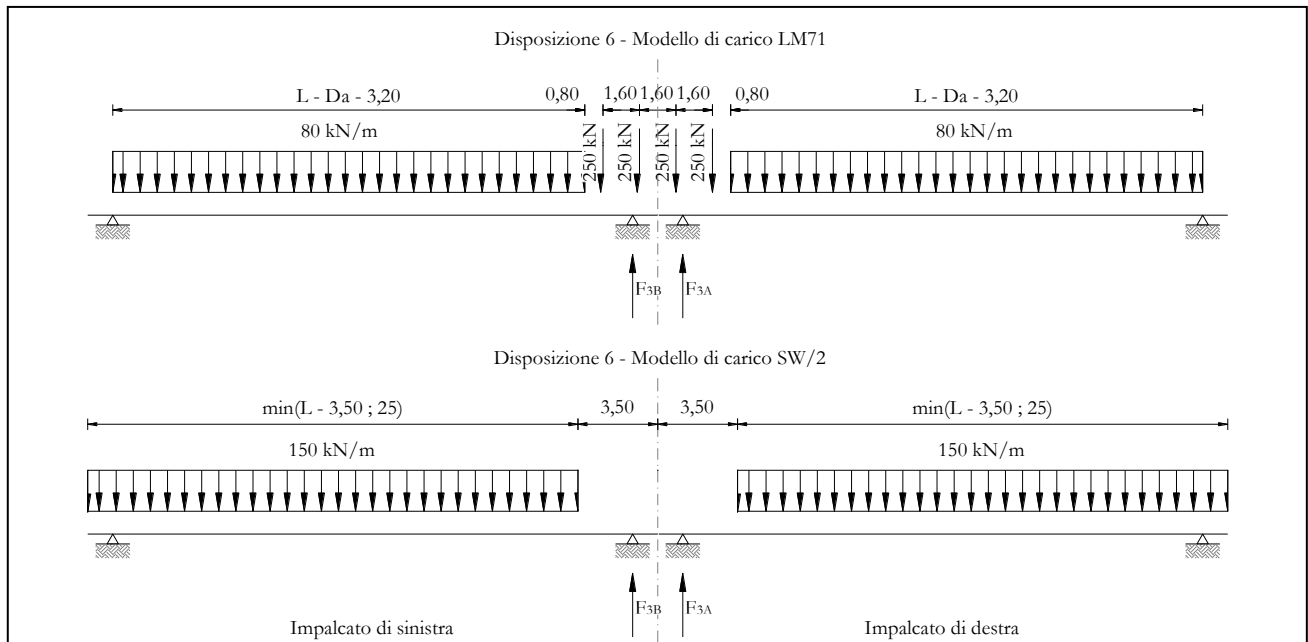


Figura 28 – Disposizione di carico 6

IMPALCATO-SX

Reazioni vincolari B

IMPALCATO-DX

Reazioni vincolari A

Avviamento LM71

$f_{avv} =$	33,00	kN/m	33,00	kN/m
$\alpha =$	1,10		1,10	
L caricata =	25,00	m	25,00	m
$F_{avv} (\max 1000 \text{ kN}) =$	825,00	kN	825,00	kN
F1 =	907,50	kN	907,50	kN

Avviamento SW/2

$f_{avv} =$	33,00	kN/m	33,00	kN/m
$\alpha =$	1,00		1,00	
L caricata =	21,50	m	21,50	m
$F_{avv} (\max 1000 \text{ kN}) =$	709,50	kN	709,50	kN
F1 =	709,50	kN	709,50	kN

  	ITINERARIO NAPOLI – BARI RADDOPPIO TRATTA CANCELLO – BENEVENTO I° LOTTO FUNZIONALE CANCELLO - FRASSO TELESINO E VARIANTE ALLA LINEA ROMA-NAPOLI VIA CASSINO NEL COMUNE DI MADDALONI – PROGETTO ESECUTIVO												
Pila 04: Relazione di calcolo	<table border="1"> <thead> <tr> <th>COMMESSA</th> <th>LOTTO</th> <th>CODIFICA</th> <th>DOCUMENTO</th> <th>REV.</th> <th>FOGLIO</th> </tr> </thead> <tbody> <tr> <td>IF1N</td> <td>01 E ZZ</td> <td>CL</td> <td>VI0605 004</td> <td>B</td> <td>60 di 137</td> </tr> </tbody> </table>	COMMESSA	LOTTO	CODIFICA	DOCUMENTO	REV.	FOGLIO	IF1N	01 E ZZ	CL	VI0605 004	B	60 di 137
COMMESSA	LOTTO	CODIFICA	DOCUMENTO	REV.	FOGLIO								
IF1N	01 E ZZ	CL	VI0605 004	B	60 di 137								

Frenatura LM71

f fren =	20,00	kN/m	20,00	kN/m
α =	1,10		1,10	
L caricata =	25,00	m	25,00	m
F fren (max 6000 kN) =	500,00	kN	500,00	kN
F1 =	550,00	kN	550,00	kN

Frenatura SW/2

f fren =	35,00	kN/m	35,00	kN/m
α =	1,00		1,00	
L caricata =	21,50	m	21,50	m
F fren =	752,50	kN	752,50	kN
F1 =	752,50	kN	752,50	kN

ahp interazione semplificata

ahp frenatura per LM71 =	1,60		1,60	
ahp frenatura per SW/2 =	1,30		1,30	
ahp avviam. per LM71 SW/2 =	1,12		1,12	

Forza totale di avviamento e frenatura

F1 =	1994,65	kN	1994,65	kN
h rispetto a intradosso imp. =	3,28	m	3,28	m
tipologia vincolo =	UL		F	

Risultanti reazioni vincolari

F1 =	0	kN	-1995	kN
F2 =	0		0	
F3 =	287	kN	-287	kN
M1 =	0		0	
M2 =	0		0	
M3 =	0		0	

Pila 04: Relazione di calcolo

COMMESSA	LOTTO	CODIFICA	DOCUMENTO	REV.	FOGLIO
IF1N	01 E ZZ	CL	VI0605 004	B	61 di 137

6.3.2.7 DISPOSIZIONE DI CARICO 7 (Q27)

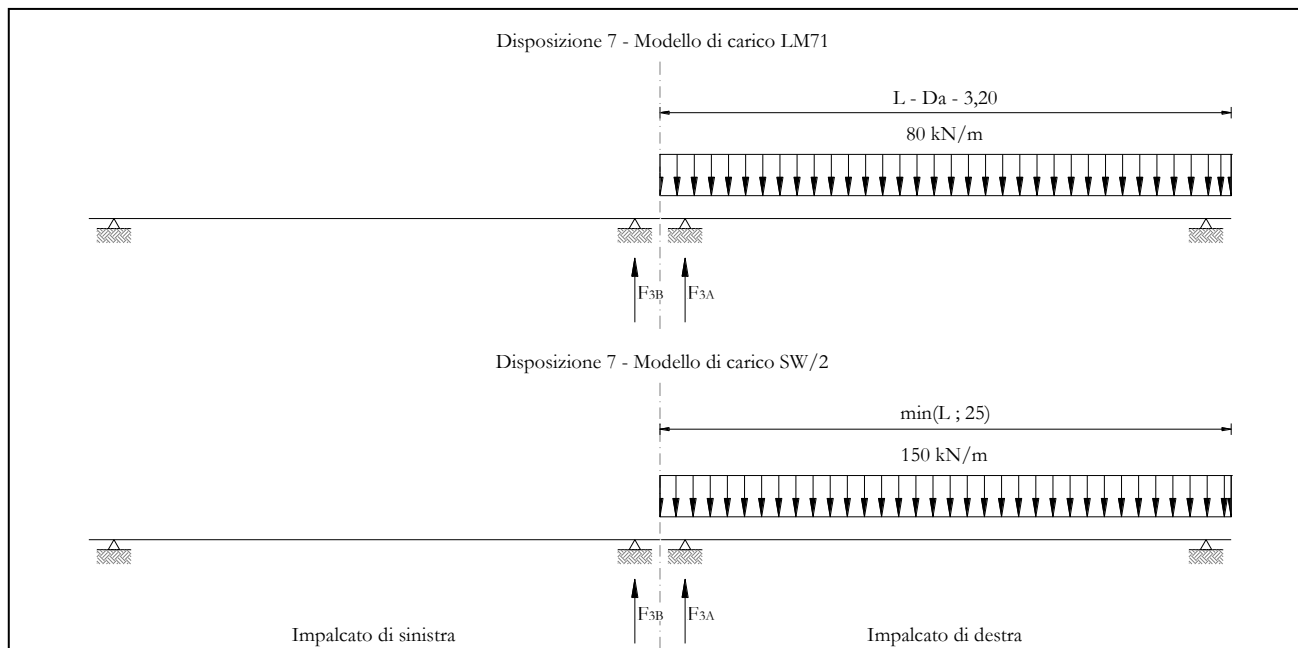


Figura 29 – Disposizione di carico 7

IMPALCATO-SX

Reazioni vincolari B

IMPALCATO-DX

Reazioni vincolari A

Avviamento LM71

$f_{avv} =$	33,00	kN/m	33,00	kN/m
$\alpha =$	1,10		1,10	
L caricata =	0,00	m	25,00	m
F avv (max 1000 kN) =	0,00	kN	825,00	kN
F1 =	0,00	kN	907,50	kN

Avviamento SW/2

$f_{avv} =$	33,00	kN/m	33,00	kN/m
$\alpha =$	1,00		1,00	
L caricata =	0,00	m	25,00	m
F avv (max 1000 kN) =	0,00	kN	825,00	kN
F1 =	0,00	kN	825,00	kN

  	ITINERARIO NAPOLI – BARI RADDOPPIO TRATTA CANCELLO – BENEVENTO I° LOTTO FUNZIONALE CANCELLO - FRASSO TELESINO E VARIANTE ALLA LINEA ROMA-NAPOLI VIA CASSINO NEL COMUNE DI MADDALONI – PROGETTO ESECUTIVO												
Pila 04: Relazione di calcolo	<table border="1"> <thead> <tr> <th>COMMESSA</th> <th>LOTTO</th> <th>CODIFICA</th> <th>DOCUMENTO</th> <th>REV.</th> <th>FOGLIO</th> </tr> </thead> <tbody> <tr> <td>IF1N</td> <td>01 E ZZ</td> <td>CL</td> <td>VI0605 004</td> <td>B</td> <td>62 di 137</td> </tr> </tbody> </table>	COMMESSA	LOTTO	CODIFICA	DOCUMENTO	REV.	FOGLIO	IF1N	01 E ZZ	CL	VI0605 004	B	62 di 137
COMMESSA	LOTTO	CODIFICA	DOCUMENTO	REV.	FOGLIO								
IF1N	01 E ZZ	CL	VI0605 004	B	62 di 137								

Frenatura LM71

f fren =	20,00	kN/m	20,00	kN/m
α =	1,10		1,10	
L caricata =	25,00	m	25,00	m
F fren (max 6000 kN) =	500,00	kN	500,00	kN
F1 =	550,00	kN	550,00	kN

Frenatura SW/2

f fren =	35,00	kN/m	35,00	kN/m
α =	1,00		1,00	
L caricata =	0,00	m	25,00	m
F fren =	0,00	kN	875,00	kN
F1 =	0,00	kN	875,00	kN

ahp interazione semplificata

ahp frenatura per LM71 =	1,60		1,60	
ahp frenatura per SW/2 =	1,30		1,30	
ahp avviam. per LM71 SW/2 =	1,12		1,12	

Forza totale di avviamento e frenatura

F1 =	880,00	kN	2153,90	kN
h rispetto a intradosso imp. =	3,28	m	3,28	m
tipologia vincolo =	UL		F	

Risultanti reazioni vincolari

F1 =	0	kN	-2154	kN
F2 =	0		0	
F3 =	127	kN	-310	kN
M1 =	0		0	
M2 =	0		0	
M3 =	0		0	

  	ITINERARIO NAPOLI – BARI RADDOPPIO TRATTA CANCELLO – BENEVENTO I° LOTTO FUNZIONALE CANCELLO - FRASSO TELESINO E VARIANTE ALLA LINEA ROMA-NAPOLI VIA CASSINO NEL COMUNE DI MADDALONI – PROGETTO ESECUTIVO												
Pila 04: Relazione di calcolo	<table border="1"> <thead> <tr> <th>COMMESSA</th> <th>LOTTO</th> <th>CODIFICA</th> <th>DOCUMENTO</th> <th>REV.</th> <th>FOGLIO</th> </tr> </thead> <tbody> <tr> <td>IF1N</td> <td>01 E ZZ</td> <td>CL</td> <td>VI0605 004</td> <td>B</td> <td>63 di 137</td> </tr> </tbody> </table>	COMMESSA	LOTTO	CODIFICA	DOCUMENTO	REV.	FOGLIO	IF1N	01 E ZZ	CL	VI0605 004	B	63 di 137
COMMESSA	LOTTO	CODIFICA	DOCUMENTO	REV.	FOGLIO								
IF1N	01 E ZZ	CL	VI0605 004	B	63 di 137								

6.3.3 FORZA CENTRIFUGA (Q3)

L'azione centrifuga è schematizzata come una forza agente in direzione orizzontale perpendicolarmente al binario e verso l'esterno della curva, applicata ad 1,80 m al di sopra del p.f.. Il valore caratteristico della forza centrifuga si determina in accordo con la seguente espressione:

$$Q_{tk} = V^2 \cdot f \cdot (\alpha \cdot Q_{vk}) / (127 \cdot R)$$

dove

V	velocità di progetto espressa in km/h
Q _{vk}	valore caratteristico dei carichi verticali
R	raggio di curvatura in m
f	fattore di riduzione (rif. §1.4.3.1 [3])

Per il modello di carico LM71 e per velocità di progetto superiori a 120 km/h, si considerano i seguenti 2 casi:

- modello di carico LM71 e forza centrifuga per V = 120 km/h e f = 1;
- modello di carico LM71 e forza centrifuga calcolata per la massima velocità di progetto.

Per i modelli di carico SW si assume una velocità massima di 100 km/h.

La forza centrifuga non deve essere incrementata dei coefficienti dinamici.

Nei sottoparagrafi che seguono si riportano i risultati delle reazioni vincolari per le diverse disposizioni di carico considerate e descritte precedentemente nel §6.3.

Pila 04: Relazione di calcolo

COMMESSA	LOTTO	CODIFICA	DOCUMENTO	REV.	FOGLIO
IF1N	01 E ZZ	CL	VI0605 004	B	64 di 137

6.3.3.1 DISPOSIZIONE DI CARICO 1 (Q31)

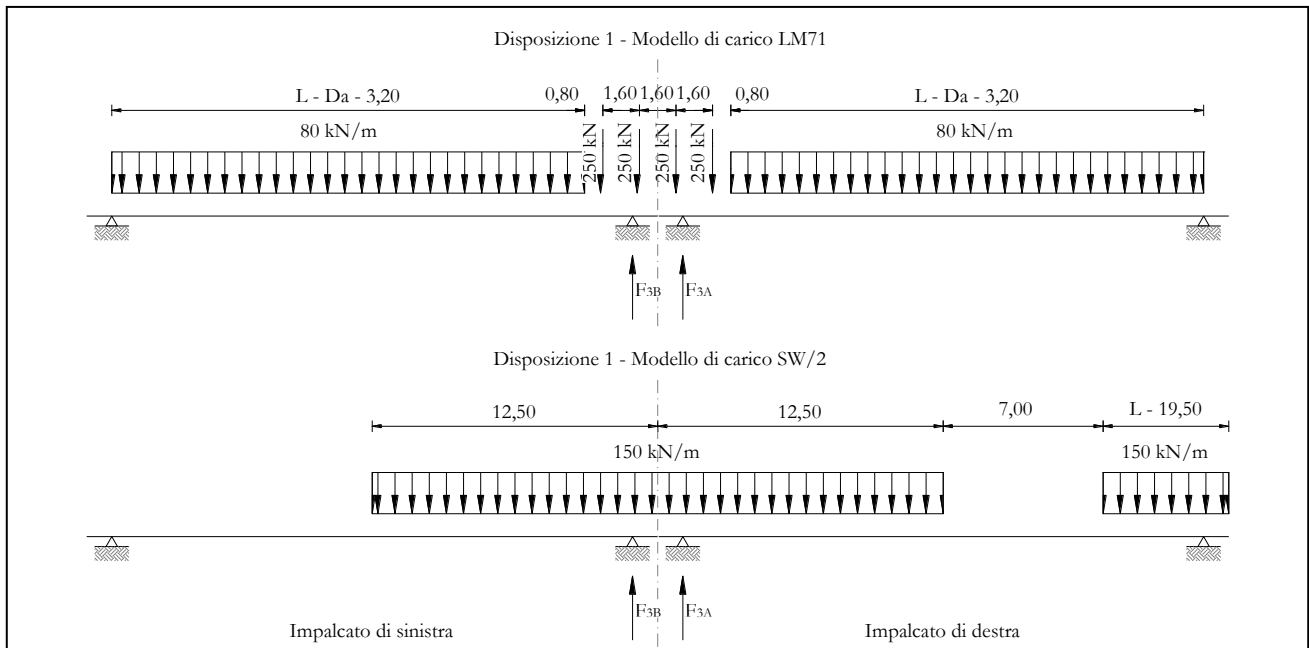


Figura 30 – Disposizione di carico 1

IMPALCATO-SX

Reazioni vincolari B

IMPALCATO-DX

Reazioni vincolari A

Centrifuga LM71v = v_{max}

Raggio minimo =	1500,00	m	1500,00	m
Velocità massima =	180,00	km/h	180,00	km/h
L _f =	25,00	m	25,00	m
f =	0,75		0,75	
Q _v =	1240,77	kN	1240,77	kN
Q _h =	158,57	kN	158,57	kN

v = 120 km/h

Raggio minimo =	1500,00	m	1500,00	m
Velocità (120 km/h) =	120,00	km/h	120,00	km/h
f (1) =	1,00		1,00	
Q _v =	1364,85	kN	1364,85	kN

  	ITINERARIO NAPOLI – BARI RADDOPPIO TRATTA CANCELLO – BENEVENTO I° LOTTO FUNZIONALE CANCELLO - FRASSO TELESINO E VARIANTE ALLA LINEA ROMA-NAPOLI VIA CASSINO NEL COMUNE DI MADDALONI – PROGETTO ESECUTIVO												
Pila 04: Relazione di calcolo	<table border="1"> <thead> <tr> <th>COMMESSA</th> <th>LOTTO</th> <th>CODIFICA</th> <th>DOCUMENTO</th> <th>REV.</th> <th>FOGLIO</th> </tr> </thead> <tbody> <tr> <td>IF1N</td> <td>01 E ZZ</td> <td>CL</td> <td>VI0605 004</td> <td>B</td> <td>65 di 137</td> </tr> </tbody> </table>	COMMESSA	LOTTO	CODIFICA	DOCUMENTO	REV.	FOGLIO	IF1N	01 E ZZ	CL	VI0605 004	B	65 di 137
COMMESSA	LOTTO	CODIFICA	DOCUMENTO	REV.	FOGLIO								
IF1N	01 E ZZ	CL	VI0605 004	B	65 di 137								

Qh = 103,17 kN 103,17 kN

Qh,max = 158,57 kN 158,57 kN

Centrifuga SW/2

v max = 100 km/h

Raggio minimo = 1500,00 m 1500,00 m

Velocità (100 km/h) = 100,00 km/h 100,00 km/h

f (1) = 1,00 1,00

Qv = 1451,48 kN 1511,18 kN

Qh,max = 76,19 kN 79,33 kN

Forza centrifuga sull appoggio

F2 = 234,76 kN 237,89 kN

h rispetto a intradosso imp. = 5,08 m 5,08 m

Risultanti reazioni vincolari

F1 = 0 0

F2 = -235 kN -238 kN

F3 = 0 0

M1 = 1193 kNm 1209 kNm

M2 = 0 0

M3 = 0 0

Pila 04: Relazione di calcolo

COMMESSA	LOTTO	CODIFICA	DOCUMENTO	REV.	FOGLIO
IF1N	01 E ZZ	CL	VI0605 004	B	66 di 137

6.3.3.2 DISPOSIZIONE DI CARICO 2 (Q32)

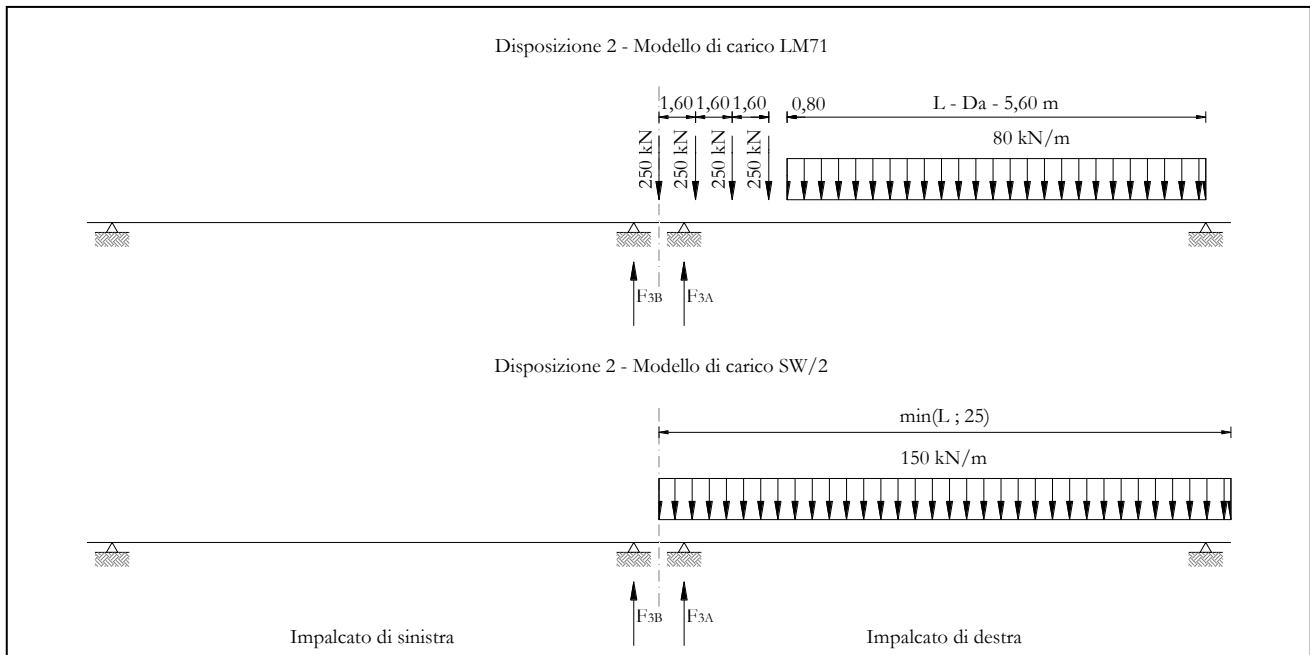


Figura 31 – Disposizione di carico 2

IMPALCATO-SX

Reazioni vincolari B

IMPALCATO-DX

Reazioni vincolari A

Centrifuga LM71v = v_{max}

Raggio minimo =	1500,00	m	1500,00	m
Velocità massima =	180,00	km/h	180,00	km/h
L _f =	25,00	m	25,00	m
f =	0,75		0,75	
Q _v =	0,00	kN	1530,51	kN
Q _h =	0,00	kN	195,59	kN

v = 120 km/h

Raggio minimo =	1500,00	m	1500,00	m
Velocità (120 km/h) =	120,00	km/h	120,00	km/h
f (1) =	1,00		1,00	
Q _v =	0,00	kN	1683,56	kN

  	ITINERARIO NAPOLI – BARI RADDOPPIO TRATTA CANCELLO – BENEVENTO I° LOTTO FUNZIONALE CANCELLO - FRASSO TELESINO E VARIANTE ALLA LINEA ROMA-NAPOLI VIA CASSINO NEL COMUNE DI MADDALONI – PROGETTO ESECUTIVO												
Pila 04: Relazione di calcolo	<table border="1"> <thead> <tr> <th>COMMESSA</th> <th>LOTTO</th> <th>CODIFICA</th> <th>DOCUMENTO</th> <th>REV.</th> <th>FOGLIO</th> </tr> </thead> <tbody> <tr> <td>IF1N</td> <td>01 E ZZ</td> <td>CL</td> <td>VI0605 004</td> <td>B</td> <td>67 di 137</td> </tr> </tbody> </table>	COMMESSA	LOTTO	CODIFICA	DOCUMENTO	REV.	FOGLIO	IF1N	01 E ZZ	CL	VI0605 004	B	67 di 137
COMMESSA	LOTTO	CODIFICA	DOCUMENTO	REV.	FOGLIO								
IF1N	01 E ZZ	CL	VI0605 004	B	67 di 137								

Qh = 0,00 kN 127,26 kN

Qh,max = 0,00 kN 195,59 kN

Centrifuga SW/2

v max = 100 km/h

Raggio minimo = 1500,00 m 1500,00 m

Velocità (100 km/h) = 100,00 km/h 100,00 km/h

f = 1,00 1,00

Qv = 0,00 kN 1875,00 kN

Qh,max = 0,00 kN 98,43 kN

Forza centrifuga sull appoggio

F2 = 0,00 kN 294,02 kN

h rispetto a intradosso imp. = 5,08 m 5,08 m

Risultanti reazioni vincolari

F1 = 0 0

F2 = 0 kN -294 kN

F3 = 0 0

M1 = 0 kNm 1494 kNm

M2 = 0 0

M3 = 0 0

  	ITINERARIO NAPOLI – BARI RADDOPPIO TRATTA CANCELLO – BENEVENTO I° LOTTO FUNZIONALE CANCELLO - FRASSO TELESINO E VARIANTE ALLA LINEA ROMA-NAPOLI VIA CASSINO NEL COMUNE DI MADDALONI – PROGETTO ESECUTIVO					
	Pila 04: Relazione di calcolo	COMMESSA IF1N	LOTTO 01 E ZZ	CODIFICA CL	DOCUMENTO VI0605 004	REV. B

6.3.3.3 DISPOSIZIONE DI CARICO 3 (Q33)

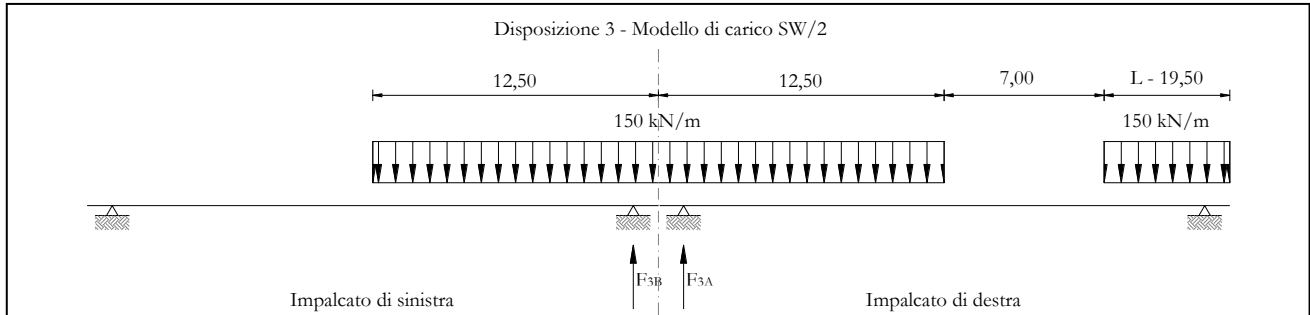


Figura 32 – Disposizione di carico 3

IMPALCATO-SX

Reazioni vincolari B

IMPALCATO-DX

Reazioni vincolari A

Centrifuga LM71

$v = v_{max}$

Raggio minimo =	1500,00	m	1500,00	m
Velocità massima =	180,00	km/h	180,00	km/h
$L_f =$	25,00	m	25,00	m
$f =$	0,75		0,75	
$Q_v =$	0,00	kN	0,00	kN
$Q_h =$	0,00	kN	0,00	kN

$v = 120 \text{ km/h}$

Raggio minimo =	1500,00	m	1500,00	m
Velocità (120 km/h) =	120,00	km/h	120,00	km/h
$f(1) =$	1,00		1,00	
$Q_v =$	0,00	kN	0,00	kN
$Q_h =$	0,00	kN	0,00	kN

$Q_{h,max} =$	0,00	kN	0,00	kN
---------------	------	----	------	----

Centrifuga SW/2

$v_{max} = 100 \text{ km/h}$

Raggio minimo =	1500,00	m	1500,00	m
-----------------	---------	---	---------	---

  	ITINERARIO NAPOLI – BARI RADDOPPIO TRATTA CANCELLO – BENEVENTO I° LOTTO FUNZIONALE CANCELLO - FRASSO TELESINO E VARIANTE ALLA LINEA ROMA-NAPOLI VIA CASSINO NEL COMUNE DI MADDALONI – PROGETTO ESECUTIVO												
Pila 04: Relazione di calcolo	<table border="1"> <thead> <tr> <th>COMMESSA</th> <th>LOTTO</th> <th>CODIFICA</th> <th>DOCUMENTO</th> <th>REV.</th> <th>FOGLIO</th> </tr> </thead> <tbody> <tr> <td>IF1N</td> <td>01 E ZZ</td> <td>CL</td> <td>VI0605 004</td> <td>B</td> <td>69 di 137</td> </tr> </tbody> </table>	COMMESSA	LOTTO	CODIFICA	DOCUMENTO	REV.	FOGLIO	IF1N	01 E ZZ	CL	VI0605 004	B	69 di 137
COMMESSA	LOTTO	CODIFICA	DOCUMENTO	REV.	FOGLIO								
IF1N	01 E ZZ	CL	VI0605 004	B	69 di 137								

Velocità (100 km/h) = 100,00 km/h 100,00 km/h

f = 1,00 1,00

Qv = 1451,48 kN 1511,18 kN

Qh,max = 76,19 kN 79,33 kN

Forza centrifuga sull'appoggio

F2 = 76,19 kN 79,33 kN

h rispetto a intradosso imp. = 5,08 m 5,08 m

Risultanti reazioni vincolari

F1 = 0 0

F2 = -76 kN -79 kN

F3 = 0 0

M1 = 387 kNm 403 kNm

M2 = 0 0

M3 = 0 0

  	ITINERARIO NAPOLI – BARI RADDOPPIO TRATTA CANCELLO – BENEVENTO I° LOTTO FUNZIONALE CANCELLO - FRASSO TELESINO E VARIANTE ALLA LINEA ROMA-NAPOLI VIA CASSINO NEL COMUNE DI MADDALONI – PROGETTO ESECUTIVO					
	Pila 04: Relazione di calcolo	COMMESSA IF1N	LOTTO 01 E ZZ	CODIFICA CL	DOCUMENTO VI0605 004	REV. B

6.3.3.4 DISPOSIZIONE DI CARICO 4 (Q34)

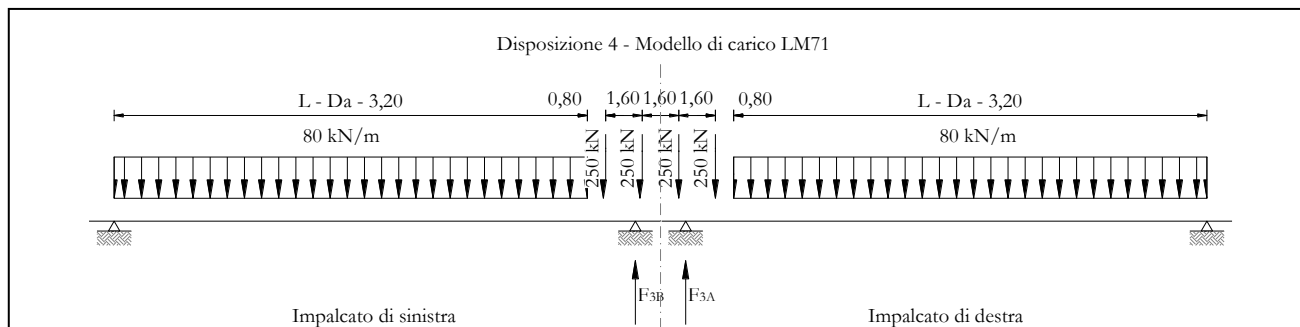


Figura 33 – Disposizione di carico 4

IMPALCATO-SX

Reazioni vincolari B

IMPALCATO-DX

Reazioni vincolari A

Centrifuga LM71

v = v_{max}

Raggio minimo =	1500,00	m	1500,00	m
Velocità massima =	180,00	km/h	180,00	km/h
L _f =	25,00	m	25,00	m
f =	0,75		0,75	
Q _v =	1240,77	kN	1240,77	kN
Q _h =	158,57	kN	158,57	kN

v = 120 km/h

Raggio minimo =	1500,00	m	1500,00	m
Velocità (120 km/h) =	120,00	km/h	120,00	km/h
f (1) =	1,00		1,00	
Q _v =	1364,85	kN	1364,85	kN
Q _h =	103,17	kN	103,17	kN

Q_{h,max} = 158,57 kN 158,57 kN

Centrifuga SW/2

v max = 100 km/h

  	ITINERARIO NAPOLI – BARI RADDOPPIO TRATTA CANCELLO – BENEVENTO I° LOTTO FUNZIONALE CANCELLO - FRASSO TELESINO E VARIANTE ALLA LINEA ROMA-NAPOLI VIA CASSINO NEL COMUNE DI MADDALONI – PROGETTO ESECUTIVO												
Pila 04: Relazione di calcolo	<table border="1"> <thead> <tr> <th>COMMESSA</th> <th>LOTTO</th> <th>CODIFICA</th> <th>DOCUMENTO</th> <th>REV.</th> <th>FOGLIO</th> </tr> </thead> <tbody> <tr> <td>IF1N</td> <td>01 E ZZ</td> <td>CL</td> <td>VI0605 004</td> <td>B</td> <td>71 di 137</td> </tr> </tbody> </table>	COMMESSA	LOTTO	CODIFICA	DOCUMENTO	REV.	FOGLIO	IF1N	01 E ZZ	CL	VI0605 004	B	71 di 137
COMMESSA	LOTTO	CODIFICA	DOCUMENTO	REV.	FOGLIO								
IF1N	01 E ZZ	CL	VI0605 004	B	71 di 137								

Raggio minimo =	1500,00	m	1500,00	m
Velocità (100 km/h) =	100,00	km/h	100,00	km/h
f =	1,00		1,00	
Qv =	0,00	kN	0,00	kN
Qh,max =	0,00	kN	0,00	kN

Forza centrifuga sull appoggio

F2 =	158,57	kN	158,57	kN
h rispetto a intradosso imp. =	5,08	m	5,08	m

Risultanti reazioni vincolari

F1 =	0		0	
F2 =	-159	kN	-159	kN
F3 =	0		0	
M1 =	806	kNm	806	kNm
M2 =	0		0	
M3 =	0		0	

  	ITINERARIO NAPOLI – BARI RADDOPPIO TRATTA CANCELLO – BENEVENTO I° LOTTO FUNZIONALE CANCELLO - FRASSO TELESINO E VARIANTE ALLA LINEA ROMA-NAPOLI VIA CASSINO NEL COMUNE DI MADDALONI – PROGETTO ESECUTIVO					
	Pila 04: Relazione di calcolo	COMMESSA IF1N	LOTTO 01 E ZZ	CODIFICA CL	DOCUMENTO VI0605 004	REV. B

6.3.3.5 DISPOSIZIONE DI CARICO 5 (Q35)

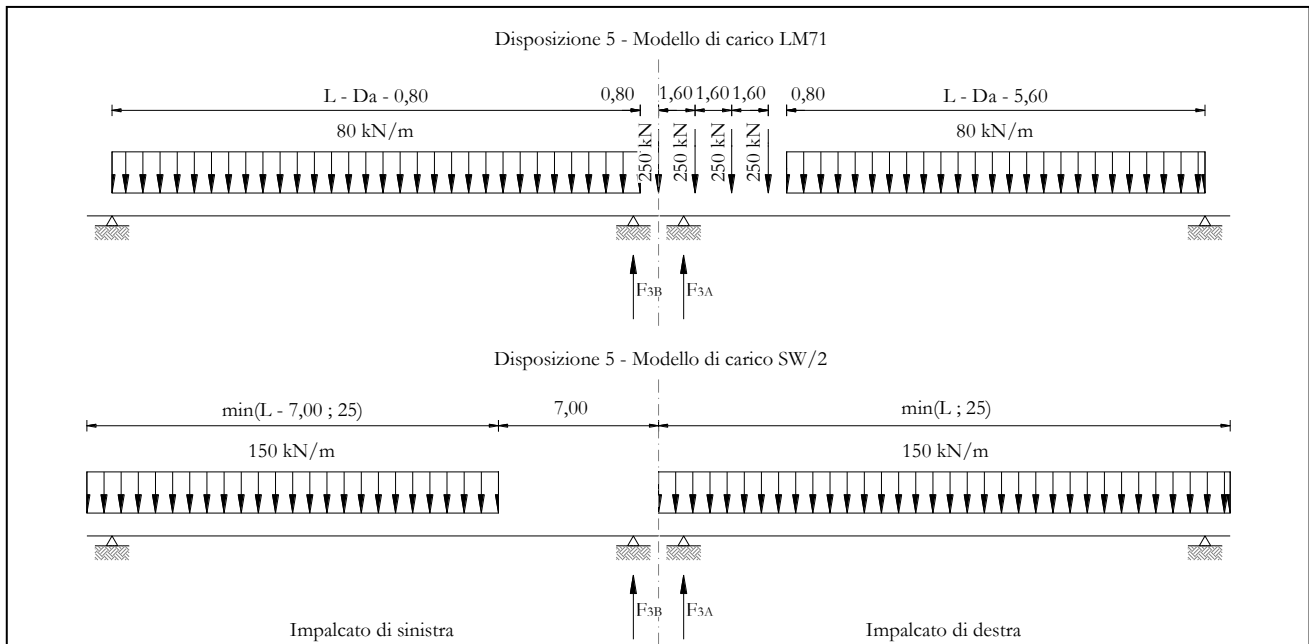


Figura 34 – Disposizione di carico 5

IMPALCATO-SX

Reazioni vincolari B

IMPALCATO-DX

Reazioni vincolari A

Centrifuga LM71

$v = v_{max}$

Raggio minimo =	1500,00	m	1500,00	m
Velocità massima =	180,00	km/h	180,00	km/h
$L_f =$	25,00	m	25,00	m
$f =$	0,75		0,75	
$Q_v =$	936,16	kN	1530,51	kN
$Q_h =$	119,64	kN	195,59	kN

$v = 120 \text{ km/h}$

Raggio minimo =	1500,00	m	1500,00	m
Velocità (120 km/h) =	120,00	km/h	120,00	km/h
$f(1) =$	1,00		1,00	
$Q_v =$	1029,77	kN	1683,56	kN

  	ITINERARIO NAPOLI – BARI RADDOPPIO TRATTA CANCELLO – BENEVENTO I° LOTTO FUNZIONALE CANCELLO - FRASSO TELESINO E VARIANTE ALLA LINEA ROMA-NAPOLI VIA CASSINO NEL COMUNE DI MADDALONI – PROGETTO ESECUTIVO												
Pila 04: Relazione di calcolo	<table border="1"> <thead> <tr> <th>COMMESSA</th> <th>LOTTO</th> <th>CODIFICA</th> <th>DOCUMENTO</th> <th>REV.</th> <th>FOGLIO</th> </tr> </thead> <tbody> <tr> <td>IF1N</td> <td>01 E ZZ</td> <td>CL</td> <td>VI0605 004</td> <td>B</td> <td>73 di 137</td> </tr> </tbody> </table>	COMMESSA	LOTTO	CODIFICA	DOCUMENTO	REV.	FOGLIO	IF1N	01 E ZZ	CL	VI0605 004	B	73 di 137
COMMESSA	LOTTO	CODIFICA	DOCUMENTO	REV.	FOGLIO								
IF1N	01 E ZZ	CL	VI0605 004	B	73 di 137								

Qh = 77,84 kN 127,26 kN

Qh,max = 119,64 kN 195,59 kN

Centrifuga SW/2

v max = 100 km/h

Raggio minimo = 1500,00 m 1500,00 m

Velocità (100 km/h) = 100,00 km/h 100,00 km/h

f = 1,00 1,00

Qv = 935,53 kN 1875,00 kN

Qh,max = 49,11 kN 98,43 kN

Forza centrifuga sull appoggio

F2 = 168,75 kN 294,02 kN

h rispetto a intradosso imp. = 5,08 m 5,08 m

Risultanti reazioni vincolari

F1 = 0 0

F2 = -169 kN -294 kN

F3 = 0 0

M1 = 857 kNm 1494 kNm

M2 = 0 0

M3 = 0 0

  	ITINERARIO NAPOLI – BARI RADDOPPIO TRATTA CANCELLO – BENEVENTO I° LOTTO FUNZIONALE CANCELLO - FRASSO TELESINO E VARIANTE ALLA LINEA ROMA-NAPOLI VIA CASSINO NEL COMUNE DI MADDALONI – PROGETTO ESECUTIVO					
	Pila 04: Relazione di calcolo	COMMESSA IF1N	LOTTO 01 E ZZ	CODIFICA CL	DOCUMENTO VI0605 004	REV. B

6.3.3.6 DISPOSIZIONE DI CARICO 6 (Q36)

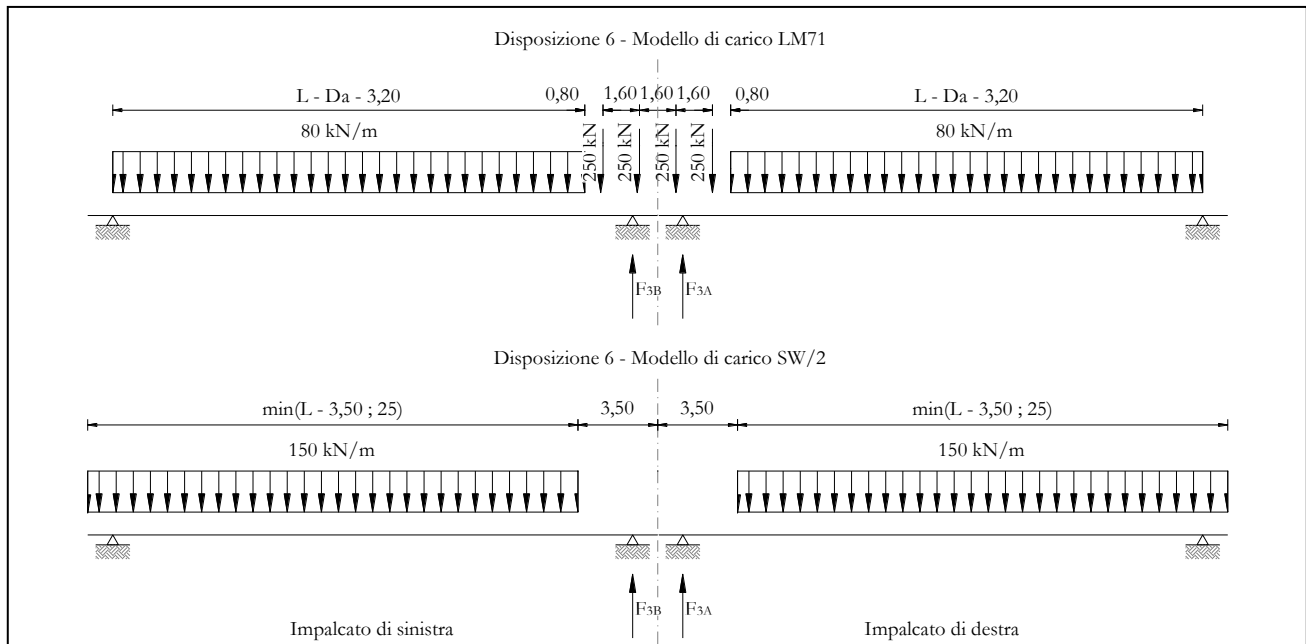


Figura 35 – Disposizione di carico 6

IMPALCATO-SX

Reazioni vincolari B

IMPALCATO-DX

Reazioni vincolari A

Centrifuga LM71

$v = v_{max}$

Raggio minimo =	1500,00	m	1500,00	m
Velocità massima =	180,00	km/h	180,00	km/h
$L_f =$	25,00	m	25,00	m
$f =$	0,75		0,75	
$Q_v =$	1240,77	kN	1240,77	kN
$Q_h =$	158,57	kN	158,57	kN

$v = 120 \text{ km/h}$

Raggio minimo =	1500,00	m	1500,00	m
Velocità (120 km/h) =	120,00	km/h	120,00	km/h
$f(1) =$	1,00		1,00	
$Q_v =$	1364,85	kN	1364,85	kN

  	ITINERARIO NAPOLI – BARI RADDOPPIO TRATTA CANCELLO – BENEVENTO I° LOTTO FUNZIONALE CANCELLO - FRASSO TELESINO E VARIANTE ALLA LINEA ROMA-NAPOLI VIA CASSINO NEL COMUNE DI MADDALONI – PROGETTO ESECUTIVO												
Pila 04: Relazione di calcolo	<table border="1"> <thead> <tr> <th>COMMESSA</th> <th>LOTTO</th> <th>CODIFICA</th> <th>DOCUMENTO</th> <th>REV.</th> <th>FOGLIO</th> </tr> </thead> <tbody> <tr> <td>IF1N</td> <td>01 E ZZ</td> <td>CL</td> <td>VI0605 004</td> <td>B</td> <td>75 di 137</td> </tr> </tbody> </table>	COMMESSA	LOTTO	CODIFICA	DOCUMENTO	REV.	FOGLIO	IF1N	01 E ZZ	CL	VI0605 004	B	75 di 137
COMMESSA	LOTTO	CODIFICA	DOCUMENTO	REV.	FOGLIO								
IF1N	01 E ZZ	CL	VI0605 004	B	75 di 137								

Qh = 103,17 kN 103,17 kN

Qh,max = 158,57 kN 158,57 kN

Centrifuga SW/2

v max = 100 km/h

Raggio minimo = 1500,00 m 1500,00 m

Velocità (100 km/h) = 100,00 km/h 100,00 km/h

f = 1,00 1,00

Qv = 1364,97 kN 1364,97 kN

Qh,max = 71,65 kN 71,65 kN

Forza centrifuga sull appoggio

F2 = 230,22 kN 230,22 kN

h rispetto a intradosso imp. = 5,08 m 5,08 m

Risultanti reazioni vincolari

F1 = 0 0

F2 = -230 kN -230 kN

F3 = 0 0

M1 = 1170 kNm 1170 kNm

M2 = 0 0

M3 = 0 0

	ITINERARIO NAPOLI – BARI RADDOPPIO TRATTA CANCELLO – BENEVENTO I° LOTTO FUNZIONALE CANCELLO - FRASSO TELESINO E VARIANTE ALLA LINEA ROMA-NAPOLI VIA CASSINO NEL COMUNE DI MADDALONI – PROGETTO ESECUTIVO												
Pila 04: Relazione di calcolo	<table border="1"> <tr> <td>COMMESSA</td> <td>LOTTO</td> <td>CODIFICA</td> <td>DOCUMENTO</td> <td>REV.</td> <td>FOGLIO</td> </tr> <tr> <td>IF1N</td> <td>01 E ZZ</td> <td>CL</td> <td>VI0605 004</td> <td>B</td> <td>76 di 137</td> </tr> </table>	COMMESSA	LOTTO	CODIFICA	DOCUMENTO	REV.	FOGLIO	IF1N	01 E ZZ	CL	VI0605 004	B	76 di 137
COMMESSA	LOTTO	CODIFICA	DOCUMENTO	REV.	FOGLIO								
IF1N	01 E ZZ	CL	VI0605 004	B	76 di 137								

6.3.3.7 DISPOSIZIONE DI CARICO 7 (Q37)

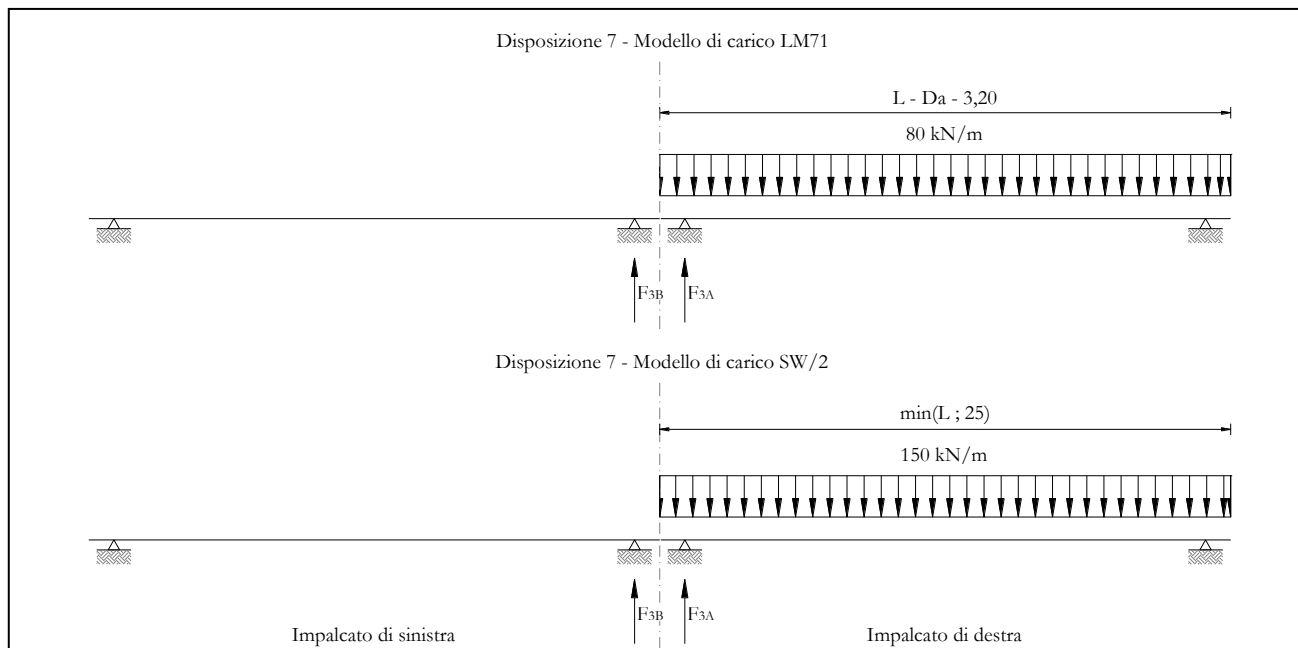


Figura 36 – Disposizione di carico 7

IMPALCATO-SX

Reazioni vincolari B

IMPALCATO-DX

Reazioni vincolari A

Centrifuga LM71

v = vmax

Raggio minimo =	1500,00	m	1500,00	m
Velocità massima =	180,00	km/h	180,00	km/h
Lf =	25,00	m	25,00	m
f =	0,75		0,75	
Qv =	0,00	kN	1002,12	kN
Qh =	0,00	kN	128,07	kN

v = 120 km/h

Raggio minimo =	1500,00	m	1500,00	m
Velocità (120 km/h) =	120,00	km/h	120,00	km/h
f (1) =	1,00		1,00	
Qv =	0,00	kN	1102,34	kN

  	ITINERARIO NAPOLI – BARI RADDOPPIO TRATTA CANCELLO – BENEVENTO I° LOTTO FUNZIONALE CANCELLO - FRASSO TELESINO E VARIANTE ALLA LINEA ROMA-NAPOLI VIA CASSINO NEL COMUNE DI MADDALONI – PROGETTO ESECUTIVO												
Pila 04: Relazione di calcolo	<table border="1"> <thead> <tr> <th>COMMESSA</th> <th>LOTTO</th> <th>CODIFICA</th> <th>DOCUMENTO</th> <th>REV.</th> <th>FOGLIO</th> </tr> </thead> <tbody> <tr> <td>IF1N</td> <td>01 E ZZ</td> <td>CL</td> <td>VI0605 004</td> <td>B</td> <td>77 di 137</td> </tr> </tbody> </table>	COMMESSA	LOTTO	CODIFICA	DOCUMENTO	REV.	FOGLIO	IF1N	01 E ZZ	CL	VI0605 004	B	77 di 137
COMMESSA	LOTTO	CODIFICA	DOCUMENTO	REV.	FOGLIO								
IF1N	01 E ZZ	CL	VI0605 004	B	77 di 137								

Qh = 0,00 kN 83,33 kN

Qh,max = 0,00 kN 128,07 kN

Centrifuga SW/2

v max = 100 km/h

Raggio minimo = 1500,00 m 1500,00 m

Velocità (100 km/h) = 100,00 km/h 100,00 km/h

f = 1,00 1,00

Qv = 0,00 kN 1875,00 kN

Qh,max = 0,00 kN 98,43 kN

Forza centrifuga sull appoggio

F2 = 0,00 kN 226,49 kN

h rispetto a intradosso imp. = 5,08 m 5,08 m

Risultanti reazioni vincolari

F1 = 0 0

F2 = 0 kN -226 kN

F3 = 0 0

M1 = 0 kNm 1151 kNm

M2 = 0 0

M3 = 0 0

  	ITINERARIO NAPOLI – BARI RADDOPPIO TRATTA CANCELLO – BENEVENTO I° LOTTO FUNZIONALE CANCELLO - FRASSO TELESINO E VARIANTE ALLA LINEA ROMA-NAPOLI VIA CASSINO NEL COMUNE DI MADDALONI – PROGETTO ESECUTIVO												
Pila 04: Relazione di calcolo	<table border="1"> <tr> <td>COMMESSA</td> <td>LOTTO</td> <td>CODIFICA</td> <td>DOCUMENTO</td> <td>REV.</td> <td>FOGLIO</td> </tr> <tr> <td>IF1N</td> <td>01 E ZZ</td> <td>CL</td> <td>VI0605 004</td> <td>B</td> <td>78 di 137</td> </tr> </table>	COMMESSA	LOTTO	CODIFICA	DOCUMENTO	REV.	FOGLIO	IF1N	01 E ZZ	CL	VI0605 004	B	78 di 137
COMMESSA	LOTTO	CODIFICA	DOCUMENTO	REV.	FOGLIO								
IF1N	01 E ZZ	CL	VI0605 004	B	78 di 137								

6.3.4 SERPEGGIO (Q4)

La forza laterale indotta dal serpeggio si schematizza come una forza concentrata agente orizzontalmente perpendicolarmente all'asse del binario.

Il valore caratteristico di tale forza è assunto pari a 100 kN. Tale valore deve essere moltiplicato per α ma non per il coefficiente di amplificazione dinamica.

Nei sottoparagrafi che seguono si riportano i risultati delle reazioni vincolari per le diverse disposizioni di carico considerate e descritte precedentemente nel §6.3.

6.3.4.1 DISPOSIZIONE DI CARICO 1 (Q41)

	<u>IMPALCATO-SX</u>		<u>IMPALCATO-DX</u>	
	Reazioni vincolari B		Reazioni vincolari A	

Serpeggio LM71

Forza serpeggio =	100,00	kN	100,00	kN
α =	1,10		1,10	

Serpeggio SW/2

Forza serpeggio =	100,00	kN	100,00	kN
α =	1,00		1,00	

Forza totale serpeggio

F2 =	210,00	kN	210,00	kN
h rispetto a intradosso imp. =	3,28	m	3,28	m

Risultanti reazioni vincolari

F1 =	0		0	
F2 =	-105	kN	-105	kN
F3 =	0		0	
M1 =	344	kNm	344	kNm
M2 =	0		0	
M3 =	0		0	

  	ITINERARIO NAPOLI – BARI RADDOPPIO TRATTA CANCELLO – BENEVENTO I° LOTTO FUNZIONALE CANCELLO - FRASSO TELESINO E VARIANTE ALLA LINEA ROMA-NAPOLI VIA CASSINO NEL COMUNE DI MADDALONI – PROGETTO ESECUTIVO												
Pila 04: Relazione di calcolo	<table border="1"> <tr> <td>COMMESSA</td> <td>LOTTO</td> <td>CODIFICA</td> <td>DOCUMENTO</td> <td>REV.</td> <td>FOGLIO</td> </tr> <tr> <td>IF1N</td> <td>01 E ZZ</td> <td>CL</td> <td>VI0605 004</td> <td>B</td> <td>79 di 137</td> </tr> </table>	COMMESSA	LOTTO	CODIFICA	DOCUMENTO	REV.	FOGLIO	IF1N	01 E ZZ	CL	VI0605 004	B	79 di 137
COMMESSA	LOTTO	CODIFICA	DOCUMENTO	REV.	FOGLIO								
IF1N	01 E ZZ	CL	VI0605 004	B	79 di 137								

6.3.4.2 DISPOSIZIONE DI CARICO 2 (Q42)

	<u>IMPALCATO-SX</u>		<u>IMPALCATO-DX</u>	
	Reazioni vincolari B		Reazioni vincolari A	
<u>Serpeggio LM71</u>				
Forza serpeggio =	100,00	kN	100,00	kN
$\alpha =$	1,10		1,10	
<u>Serpeggio SW/2</u>				
Forza serpeggio =	100,00	kN	100,00	kN
$\alpha =$	1,00		1,00	
<u>Forza totale serpeggio</u>				
F2 =	210,00	kN	210,00	kN
h rispetto a intradosso imp. =	3,28	m	3,28	m
<u>Risultanti reazioni vincolari</u>				
F1 =	0		0	
F2 =	0	kN	-210	kN
F3 =	0		0	
M1 =	0	kNm	689	kNm
M2 =	0		0	
M3 =	0		0	

  	ITINERARIO NAPOLI – BARI RADDOPPIO TRATTA CANCELLO – BENEVENTO I° LOTTO FUNZIONALE CANCELLO - FRASSO TELESINO E VARIANTE ALLA LINEA ROMA-NAPOLI VIA CASSINO NEL COMUNE DI MADDALONI – PROGETTO ESECUTIVO												
Pila 04: Relazione di calcolo	<table border="1"> <tr> <td>COMMESSA</td> <td>LOTTO</td> <td>CODIFICA</td> <td>DOCUMENTO</td> <td>REV.</td> <td>FOGLIO</td> </tr> <tr> <td>IF1N</td> <td>01 E ZZ</td> <td>CL</td> <td>VI0605 004</td> <td>B</td> <td>80 di 137</td> </tr> </table>	COMMESSA	LOTTO	CODIFICA	DOCUMENTO	REV.	FOGLIO	IF1N	01 E ZZ	CL	VI0605 004	B	80 di 137
COMMESSA	LOTTO	CODIFICA	DOCUMENTO	REV.	FOGLIO								
IF1N	01 E ZZ	CL	VI0605 004	B	80 di 137								

6.3.4.3 DISPOSIZIONE DI CARICO 3 (Q43)

	<u>IMPALCATO-SX</u>		<u>IMPALCATO-DX</u>	
	Reazioni vincolari B		Reazioni vincolari A	
<u>Serpeggio LM71</u>				
Forza serpeggio =	0,00	kN	0,00	kN
$\alpha =$	1,10		1,10	
<u>Serpeggio SW/2</u>				
Forza serpeggio =	100,00	kN	100,00	kN
$\alpha =$	1,00		1,00	
<u>Forza totale serpeggio</u>				
F2 =	100,00	kN	100,00	kN
h rispetto a intradosso imp. =	3,28	m	3,28	m
<u>Risultanti reazioni vincolari</u>				
F1 =	0		0	
F2 =	-50	kN	-50	kN
F3 =	0		0	
M1 =	164	kNm	164	kNm
M2 =	0		0	
M3 =	0		0	

  	ITINERARIO NAPOLI – BARI RADDOPPIO TRATTA CANCELLO – BENEVENTO I° LOTTO FUNZIONALE CANCELLO - FRASSO TELESINO E VARIANTE ALLA LINEA ROMA-NAPOLI VIA CASSINO NEL COMUNE DI MADDALONI – PROGETTO ESECUTIVO												
Pila 04: Relazione di calcolo	<table border="1"> <tr> <td>COMMESSA</td> <td>LOTTO</td> <td>CODIFICA</td> <td>DOCUMENTO</td> <td>REV.</td> <td>FOGLIO</td> </tr> <tr> <td>IF1N</td> <td>01 E ZZ</td> <td>CL</td> <td>VI0605 004</td> <td>B</td> <td>81 di 137</td> </tr> </table>	COMMESSA	LOTTO	CODIFICA	DOCUMENTO	REV.	FOGLIO	IF1N	01 E ZZ	CL	VI0605 004	B	81 di 137
COMMESSA	LOTTO	CODIFICA	DOCUMENTO	REV.	FOGLIO								
IF1N	01 E ZZ	CL	VI0605 004	B	81 di 137								

6.3.4.4 DISPOSIZIONE DI CARICO 4 (Q44)

	<u>IMPALCATO-SX</u>		<u>IMPALCATO-DX</u>	
	Reazioni vincolari B		Reazioni vincolari A	
<u>Serpeggio LM71</u>				
Forza serpeggio =	100,00	kN	100,00	kN
$\alpha =$	1,10		1,10	
<u>Serpeggio SW/2</u>				
Forza serpeggio =	0,00	kN	0,00	kN
$\alpha =$	1,00		1,00	
<u>Forza totale serpeggio</u>				
F2 =	110,00	kN	110,00	kN
h rispetto a intradosso imp. =	3,28	m	3,28	m
<u>Risultanti reazioni vincolari</u>				
F1 =	0		0	
F2 =	-55	kN	-55	kN
F3 =	0		0	
M1 =	180	kNm	180	kNm
M2 =	0		0	
M3 =	0		0	

  	ITINERARIO NAPOLI – BARI RADDOPPIO TRATTA CANCELLO – BENEVENTO I° LOTTO FUNZIONALE CANCELLO - FRASSO TELESINO E VARIANTE ALLA LINEA ROMA-NAPOLI VIA CASSINO NEL COMUNE DI MADDALONI – PROGETTO ESECUTIVO												
Pila 04: Relazione di calcolo	<table border="1"> <tr> <td>COMMESSA</td> <td>LOTTO</td> <td>CODIFICA</td> <td>DOCUMENTO</td> <td>REV.</td> <td>FOGLIO</td> </tr> <tr> <td>IF1N</td> <td>01 E ZZ</td> <td>CL</td> <td>VI0605 004</td> <td>B</td> <td>82 di 137</td> </tr> </table>	COMMESSA	LOTTO	CODIFICA	DOCUMENTO	REV.	FOGLIO	IF1N	01 E ZZ	CL	VI0605 004	B	82 di 137
COMMESSA	LOTTO	CODIFICA	DOCUMENTO	REV.	FOGLIO								
IF1N	01 E ZZ	CL	VI0605 004	B	82 di 137								

6.3.4.5 DISPOSIZIONE DI CARICO 5 (Q45)

	<u>IMPALCATO-SX</u>		<u>IMPALCATO-DX</u>	
	Reazioni vincolari B		Reazioni vincolari A	
<u>Serpeggio LM71</u>				
Forza serpeggio =	100,00	kN	100,00	kN
$\alpha =$	1,10		1,10	
<u>Serpeggio SW/2</u>				
Forza serpeggio =	100,00	kN	100,00	kN
$\alpha =$	1,00		1,00	
<u>Forza totale serpeggio</u>				
F2 =	210,00	kN	210,00	kN
h rispetto a intradosso imp. =	3,28	m	3,28	m
<u>Risultanti reazioni vincolari</u>				
F1 =	0		0	
F2 =	-105	kN	-105	kN
F3 =	0		0	
M1 =	344	kNm	344	kNm
M2 =	0		0	
M3 =	0		0	

  	ITINERARIO NAPOLI – BARI RADDOPPIO TRATTA CANCELLO – BENEVENTO I° LOTTO FUNZIONALE CANCELLO - FRASSO TELESINO E VARIANTE ALLA LINEA ROMA-NAPOLI VIA CASSINO NEL COMUNE DI MADDALONI – PROGETTO ESECUTIVO												
Pila 04: Relazione di calcolo	<table border="1"> <tr> <td>COMMESSA</td> <td>LOTTO</td> <td>CODIFICA</td> <td>DOCUMENTO</td> <td>REV.</td> <td>FOGLIO</td> </tr> <tr> <td>IF1N</td> <td>01 E ZZ</td> <td>CL</td> <td>VI0605 004</td> <td>B</td> <td>83 di 137</td> </tr> </table>	COMMESSA	LOTTO	CODIFICA	DOCUMENTO	REV.	FOGLIO	IF1N	01 E ZZ	CL	VI0605 004	B	83 di 137
COMMESSA	LOTTO	CODIFICA	DOCUMENTO	REV.	FOGLIO								
IF1N	01 E ZZ	CL	VI0605 004	B	83 di 137								

6.3.4.6 DISPOSIZIONE DI CARICO 6 (Q46)

	<u>IMPALCATO-SX</u>		<u>IMPALCATO-DX</u>	
	Reazioni vincolari B		Reazioni vincolari A	
<u>Serpeggio LM71</u>				
Forza serpeggio =	100,00	kN	100,00	kN
$\alpha =$	1,10		1,10	
<u>Serpeggio SW/2</u>				
Forza serpeggio =	100,00	kN	100,00	kN
$\alpha =$	1,00		1,00	
<u>Forza totale serpeggio</u>				
F2 =	210,00	kN	210,00	kN
h rispetto a intradosso imp. =	3,28	m	3,28	m
<u>Risultanti reazioni vincolari</u>				
F1 =	0		0	
F2 =	-105	kN	-105	kN
F3 =	0		0	
M1 =	344	kNm	344	kNm
M2 =	0		0	
M3 =	0		0	

  	ITINERARIO NAPOLI – BARI RADDOPPIO TRATTA CANCELLO – BENEVENTO I° LOTTO FUNZIONALE CANCELLO - FRASSO TELESINO E VARIANTE ALLA LINEA ROMA-NAPOLI VIA CASSINO NEL COMUNE DI MADDALONI – PROGETTO ESECUTIVO												
Pila 04: Relazione di calcolo	<table border="1"> <tr> <td>COMMESSA</td> <td>LOTTO</td> <td>CODIFICA</td> <td>DOCUMENTO</td> <td>REV.</td> <td>FOGLIO</td> </tr> <tr> <td>IF1N</td> <td>01 E ZZ</td> <td>CL</td> <td>VI0605 004</td> <td>B</td> <td>84 di 137</td> </tr> </table>	COMMESSA	LOTTO	CODIFICA	DOCUMENTO	REV.	FOGLIO	IF1N	01 E ZZ	CL	VI0605 004	B	84 di 137
COMMESSA	LOTTO	CODIFICA	DOCUMENTO	REV.	FOGLIO								
IF1N	01 E ZZ	CL	VI0605 004	B	84 di 137								

6.3.4.7 DISPOSIZIONE DI CARICO 7 (Q47)

	<u>IMPALCATO-SX</u>		<u>IMPALCATO-DX</u>	
	Reazioni vincolari B		Reazioni vincolari A	
<u>Serpeggio LM71</u>				
Forza serpeggio =	100,00	kN	100,00	kN
$\alpha =$	1,10		1,10	
<u>Serpeggio SW/2</u>				
Forza serpeggio =	100,00	kN	100,00	kN
$\alpha =$	1,00		1,00	
<u>Forza totale serpeggio</u>				
F2 =	210,00	kN	210,00	kN
h rispetto a intradosso imp. =	3,28	m	3,28	m
<u>Risultanti reazioni vincolari</u>				
F1 =	0		0	
F2 =	0	kN	-210	kN
F3 =	0		0	
M1 =	0	kNm	689	kNm
M2 =	0		0	
M3 =	0		0	

  	ITINERARIO NAPOLI – BARI RADDOPPIO TRATTA CANCELLO – BENEVENTO I° LOTTO FUNZIONALE CANCELLO - FRASSO TELESINO E VARIANTE ALLA LINEA ROMA-NAPOLI VIA CASSINO NEL COMUNE DI MADDALONI – PROGETTO ESECUTIVO												
Pila 04: Relazione di calcolo	<table border="1"> <thead> <tr> <th>COMMESSA</th> <th>LOTTO</th> <th>CODIFICA</th> <th>DOCUMENTO</th> <th>REV.</th> <th>FOGLIO</th> </tr> </thead> <tbody> <tr> <td>IF1N</td> <td>01 E ZZ</td> <td>CL</td> <td>VI0605 004</td> <td>B</td> <td>85 di 137</td> </tr> </tbody> </table>	COMMESSA	LOTTO	CODIFICA	DOCUMENTO	REV.	FOGLIO	IF1N	01 E ZZ	CL	VI0605 004	B	85 di 137
COMMESSA	LOTTO	CODIFICA	DOCUMENTO	REV.	FOGLIO								
IF1N	01 E ZZ	CL	VI0605 004	B	85 di 137								

6.4 CARICHI VARIABILI (Q5)

6.4.1 AZIONI DEL VENTO (Q51)

L'azione del vento viene ricondotta ad un'azione statica equivalente costituita da pressioni e depressioni agenti normalmente alle superfici.

La pressione del vento è data dalla seguente espressione:

$$p = q_b \cdot C_e \cdot C_p \cdot C_d$$

dove

- q_b pressione cinetica di riferimento
- C_e coefficiente di esposizione
- C_p coefficiente di forma
- C_d coefficiente dinamico, posto generalmente pari a 1

Di seguito si riporta il dettaglio del calcolo di tali fattori per l'opera in oggetto.

  	ITINERARIO NAPOLI – BARI RADDOPPIO TRATTA CANCELLO – BENEVENTO I° LOTTO FUNZIONALE CANCELLO - FRASSO TELESINO E VARIANTE ALLA LINEA ROMA-NAPOLI VIA CASSINO NEL COMUNE DI MADDALONI – PROGETTO ESECUTIVO												
Pila 04: Relazione di calcolo	<table border="1"> <thead> <tr> <th>COMMESSA</th> <th>LOTTO</th> <th>CODIFICA</th> <th>DOCUMENTO</th> <th>REV.</th> <th>FOGLIO</th> </tr> </thead> <tbody> <tr> <td>IF1N</td> <td>01 E ZZ</td> <td>CL</td> <td>VI0605 004</td> <td>B</td> <td>86 di 137</td> </tr> </tbody> </table>	COMMESSA	LOTTO	CODIFICA	DOCUMENTO	REV.	FOGLIO	IF1N	01 E ZZ	CL	VI0605 004	B	86 di 137
COMMESSA	LOTTO	CODIFICA	DOCUMENTO	REV.	FOGLIO								
IF1N	01 E ZZ	CL	VI0605 004	B	86 di 137								

6.4.1.1 *PRESSIONE CINETICA DI RIFERIMENTO*

La pressione cinetica di riferimento si determina mediante l'espressione:

$$q_b = \frac{1}{2} \cdot \rho \cdot v_b^2 \text{ (in N/m}^2\text{)}$$

dove v_b velocità di riferimento
 ρ densità dell'aria, convenzionalmente posta pari a 1,25 kg/m³

Di seguito si determina la pressione di riferimento sulla base dei parametri caratteristici del sito e il tempo di ritorno dell'opera in oggetto:

Parametri dipendenti dal sito

Zona =	3	
$v_{b,0}$ =	27,00	m/s
a_0 =	500,00	m
k_a =	0,02	1/s

Altitudine del sito

a_s =	80,00	m s.l.m.
v_b =	27,00	m/s

Tempo di ritorno

TR =	75	anni
$\alpha_R(TR)$ =	1,02	
$v_b(TR)$ =	27.63	m/s

Pressione di riferimento

q_b =	477.25	N/m ²
---------	--------	------------------

  	ITINERARIO NAPOLI – BARI RADDOPPIO TRATTA CANCELLO – BENEVENTO I° LOTTO FUNZIONALE CANCELLO - FRASSO TELESINO E VARIANTE ALLA LINEA ROMA-NAPOLI VIA CASSINO NEL COMUNE DI MADDALONI – PROGETTO ESECUTIVO												
Pila 04: Relazione di calcolo	<table border="1"> <thead> <tr> <th>COMMESSA</th> <th>LOTTO</th> <th>CODIFICA</th> <th>DOCUMENTO</th> <th>REV.</th> <th>FOGLIO</th> </tr> </thead> <tbody> <tr> <td>IF1N</td> <td>01 E ZZ</td> <td>CL</td> <td>VI0605 004</td> <td>B</td> <td>87 di 137</td> </tr> </tbody> </table>	COMMESSA	LOTTO	CODIFICA	DOCUMENTO	REV.	FOGLIO	IF1N	01 E ZZ	CL	VI0605 004	B	87 di 137
COMMESSA	LOTTO	CODIFICA	DOCUMENTO	REV.	FOGLIO								
IF1N	01 E ZZ	CL	VI0605 004	B	87 di 137								

6.4.1.2 COEFFICIENTE DI ESPOSIZIONE

Il coefficiente di esposizione c_e dipende dall'altezza z sul suolo del punto considerato, dalla topografia del terreno e dalla categoria di esposizione del sito e si determina mediante l'espressione:

$$c_e(z) = k_r \cdot c_t \cdot \ln(z/z_0) [7 + c_t \cdot \ln(z/z_0)] \quad \text{per } z \geq z_{\min}$$

$$c_e(z) = c_e(z_{\min}) \quad \text{per } z < z_{\min}$$

dove k_r , z_0 , z_{\min} sono parametri che dipendono dalla categoria di esposizione del sito;

c_t è il coefficiente di topografia, posto generalmente pari a 1

Di seguito si determina il coefficiente di esposizione sulla base della classe d'esposizione e l'altezza z del punto considerato, posta pari alla massima quota del complesso impalcato, barriere antirumore, sagoma del treno. A tal proposito il §1.4.4.2 [3] impone di considerare il treno come una superficie piana continua convenzionalmente alta 4,00 m sul p.f..

Categoria di esposizione

Classe di rugosità = D
Distanza dalla costa = < 30 km

Categoria di esposizione = II
 k_r = 0,19
 z_0 = 0,05 m
 z_{\min} = 4,00 m

Quota di riferimento z

H pila fino a intradosso imp. = 8.9 m
H imp. fino a p.f. = 3,28 m
H b.a. su p.f. = 4,67 m
H min b.a. su p.f. = 3,35 m
H treno su p.f. = 4,00 m

 z di riferimento = 16.85 m

Coefficiente di esposizione

c_e = 2.80

Pila 04: Relazione di calcolo

COMMESSA

LOTTO

CODIFICA

DOCUMENTO

REV.

FOGLIO

IF1N

01 E ZZ

CL

VI0605 004

B

88 di 137

6.4.1.3 COEFFICIENTE DI FORMA DELL'IMPALCATO

Il coefficiente di forma dell'impalcato e l'area di riferimento per il calcolo della forza risultante si determinano in base ai criteri enunciati nel §8.3.1 [9].

A tal proposito si riconduce il coefficiente di forma c_p al coefficiente di forza $c_{fx,0}$. Il coefficiente di forza $c_{fx,0}$ si determina in base al rapporto tra larghezza b e altezza totale dell'impalcato d_{tot} .

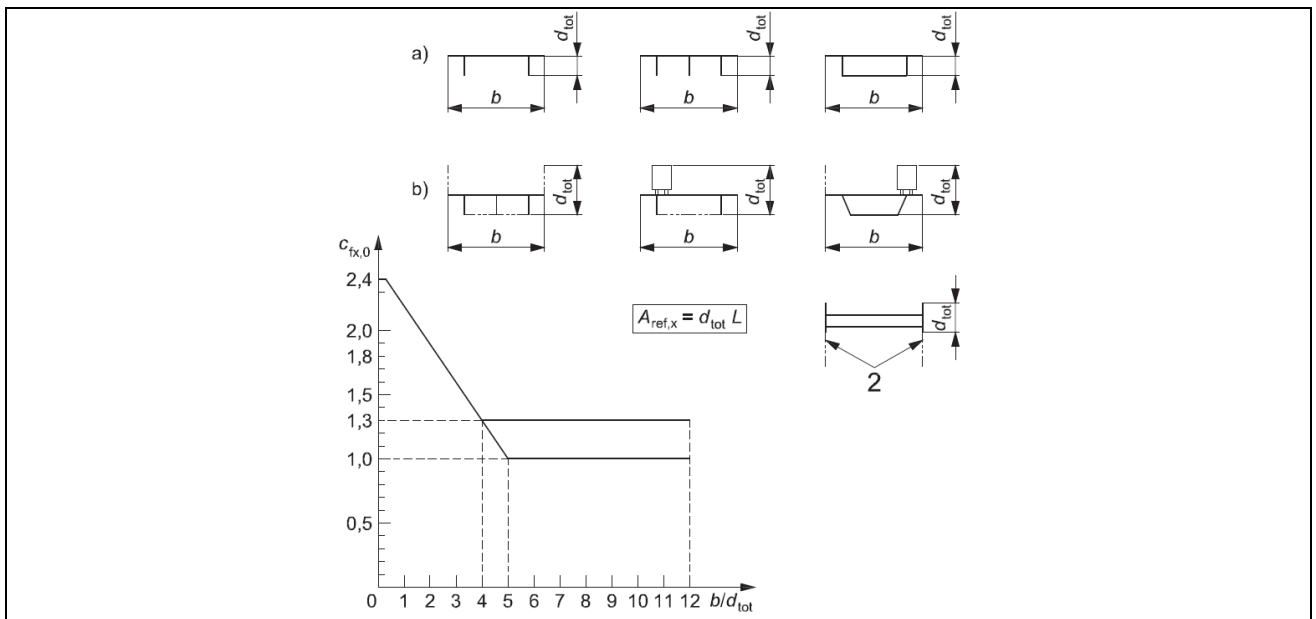


Figura 37 – Correlazione tra il rapporto b/d_{tot} e coefficiente di forma $c_{fx,0}$ (figura 8.3 EC1-4)

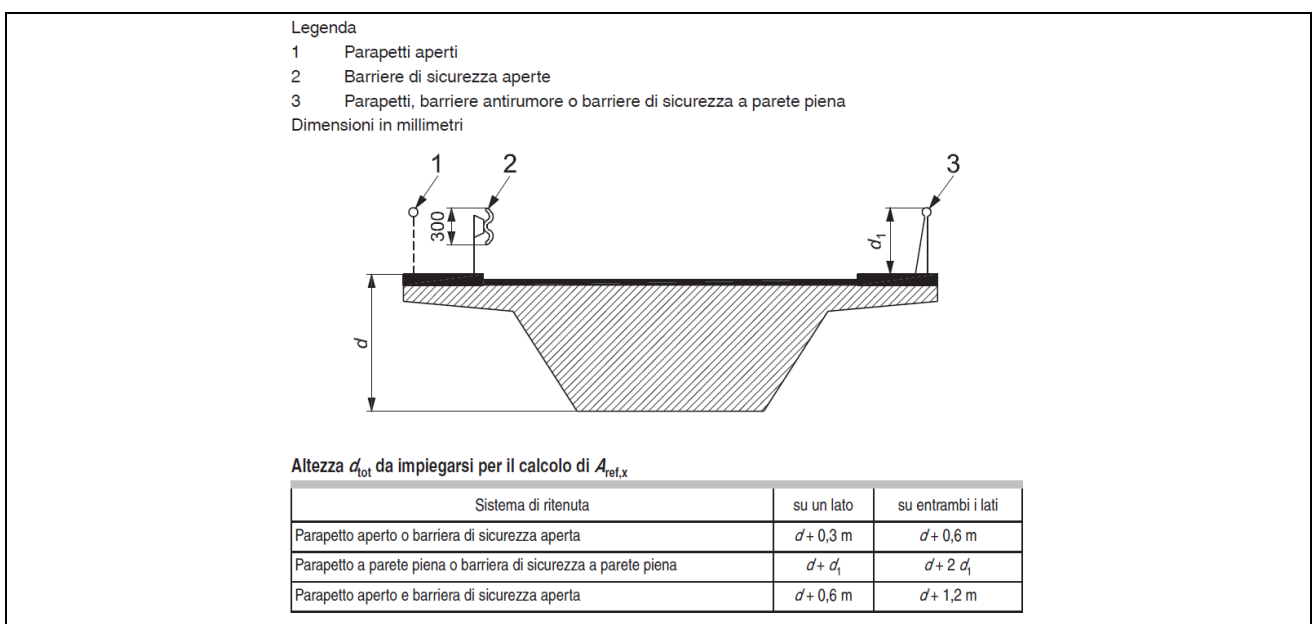


Figura 38 – Criteri per la determinazione dell'area di riferimento (figura 8.5 EC1-4)

  	ITINERARIO NAPOLI – BARI RADDOPPIO TRATTA CANCELLO – BENEVENTO I° LOTTO FUNZIONALE CANCELLO - FRASSO TELESINO E VARIANTE ALLA LINEA ROMA-NAPOLI VIA CASSINO NEL COMUNE DI MADDALONI – PROGETTO ESECUTIVO												
Pila 04: Relazione di calcolo	<table border="1"> <tr> <td>COMMESSA</td> <td>LOTTO</td> <td>CODIFICA</td> <td>DOCUMENTO</td> <td>REV.</td> <td>FOGLIO</td> </tr> <tr> <td>IF1N</td> <td>01 E ZZ</td> <td>CL</td> <td>VI0605 004</td> <td>B</td> <td>89 di 137</td> </tr> </table>	COMMESSA	LOTTO	CODIFICA	DOCUMENTO	REV.	FOGLIO	IF1N	01 E ZZ	CL	VI0605 004	B	89 di 137
COMMESSA	LOTTO	CODIFICA	DOCUMENTO	REV.	FOGLIO								
IF1N	01 E ZZ	CL	VI0605 004	B	89 di 137								

l'area da considerare per il calcolo della risultante di forza si definisce come la somma di tutte le superfici proiettate dall'impalcato nel piano longitudinale, comprese le barriere e la sagoma dei veicoli.

Per il caso in esame si ha:

Caratteristiche geometriche dell'impalcato

	<u>IMPALCATO-SX</u>		<u>IMPALCATO-DX</u>	
b =	13,70	m	13,70	m
H b.a. su p.f. =	4,67	m	4,67	m
dtot =	7,95	m	7,95	m
b/dtot =	1,72		1,72	
cp =	1,98		1,98	

Coefficiente di forma

cp,max =	1,98
----------	------

Area di riferimento

H impalcato da intrad. a p.f. =	3,28	m	3,28	m
H barriera su p.f. sx =	4,67	m	4,67	m
H barriera su p.f. dx =	4,67	m	4,67	m
H b.a. min su p.f. =	3,35	m	3,35	m
H treno su p.f. =	4,00	m	4,00	m
dtot2 =	12,62	m	12,62	m
L impalcato =	25,00	m	25,00	m
Arif =	315,50	m ²	315,50	m ²

  	ITINERARIO NAPOLI – BARI RADDOPPIO TRATTA CANCELLO – BENEVENTO I° LOTTO FUNZIONALE CANCELLO - FRASSO TELESINO E VARIANTE ALLA LINEA ROMA-NAPOLI VIA CASSINO NEL COMUNE DI MADDALONI – PROGETTO ESECUTIVO												
Pila 04: Relazione di calcolo	<table border="1"> <tr> <td>COMMESSA</td> <td>LOTTO</td> <td>CODIFICA</td> <td>DOCUMENTO</td> <td>REV.</td> <td>FOGLIO</td> </tr> <tr> <td>IF1N</td> <td>01 E ZZ</td> <td>CL</td> <td>VI0605 004</td> <td>B</td> <td>90 di 137</td> </tr> </table>	COMMESSA	LOTTO	CODIFICA	DOCUMENTO	REV.	FOGLIO	IF1N	01 E ZZ	CL	VI0605 004	B	90 di 137
COMMESSA	LOTTO	CODIFICA	DOCUMENTO	REV.	FOGLIO								
IF1N	01 E ZZ	CL	VI0605 004	B	90 di 137								

6.4.1.4 AZIONE DEL VENTO SULL'IMPALCATO

Di seguito si procede al calcolo dell'azione del vento sull'impalcato in relazione ai parametri determinati nei paragrafi precedenti.

	<u>IMPALCATO-SX</u>		<u>IMPALCATO-DX</u>	
<u>Pressione del vento</u>				
qb =	477.25	N/m2	477.25	N/m2
ce =	2.80		2.80	
cp =	1,98		1,98	
cd =	1,00		1,00	
qb = qb · ce · cp · cd =	2.65	kN/m2	2.65	kN/m2
<u>Area di riferimento</u>				
Arif =	315,50	m2	315,50	m2
H rispetto a intrad. imp. =	5,62	m	5,62	m
<u>Risultante totale forza del vento</u>				
Fvh =	837.48	kN	837.48	kN
Mvt =	4072.44	kNm	4072.44	kNm
<u>Risultanti reazioni vincolari</u>				
F1 =	0		0	
F2 =	-419	kN	-419	kN
F3 =	0		0	
M1 =	2351	kNm	2351	kNm
M2 =	0		0	
M3 =	0		0	

	ITINERARIO NAPOLI – BARI RADDOPPIO TRATTA CANCELLO – BENEVENTO I° LOTTO FUNZIONALE CANCELLO - FRASSO TELESINO E VARIANTE ALLA LINEA ROMA-NAPOLI VIA CASSINO NEL COMUNE DI MADDALONI – PROGETTO ESECUTIVO					
Pila 04: Relazione di calcolo	COMMESSA IF1N	LOTTO 01 E ZZ	CODIFICA CL	DOCUMENTO VI0605 004	REV. B	FOGLIO 91 di 137

6.4.1.5 COEFFICIENTE DI FORMA DELLA PILA

Nel caso di pila con sezione circolare, il coefficiente di forma della pila e l'area di riferimento per il calcolo della risultante si determinano in base alle indicazioni del §7.9.2 [9].

A tal proposito si riconduce il coefficiente di forma c_p al coefficiente di forza c_f .

Il coefficiente di esposizione c_f si determina mediante l'espressione:

$$c_f = c_{f,0} \cdot \psi_\lambda$$

dove $c_{f,0}$ è il coefficiente di forma in assenza di effetto di estremità;

ψ_λ è il fattore di effetto di estremità, posto cautelativamente pari a 1.

Il valore di $c_{f,0}$ si determina in funzione del numero di Reynolds e della rugosità equivalente mediante l'abaco riportato in Figura 34. Per il caso in questione, a favore di sicurezza, si pone $c_{f,0}$ pari a 1,2 indipendentemente dai valori del numero di Reynolds e della rugosità equivalente.

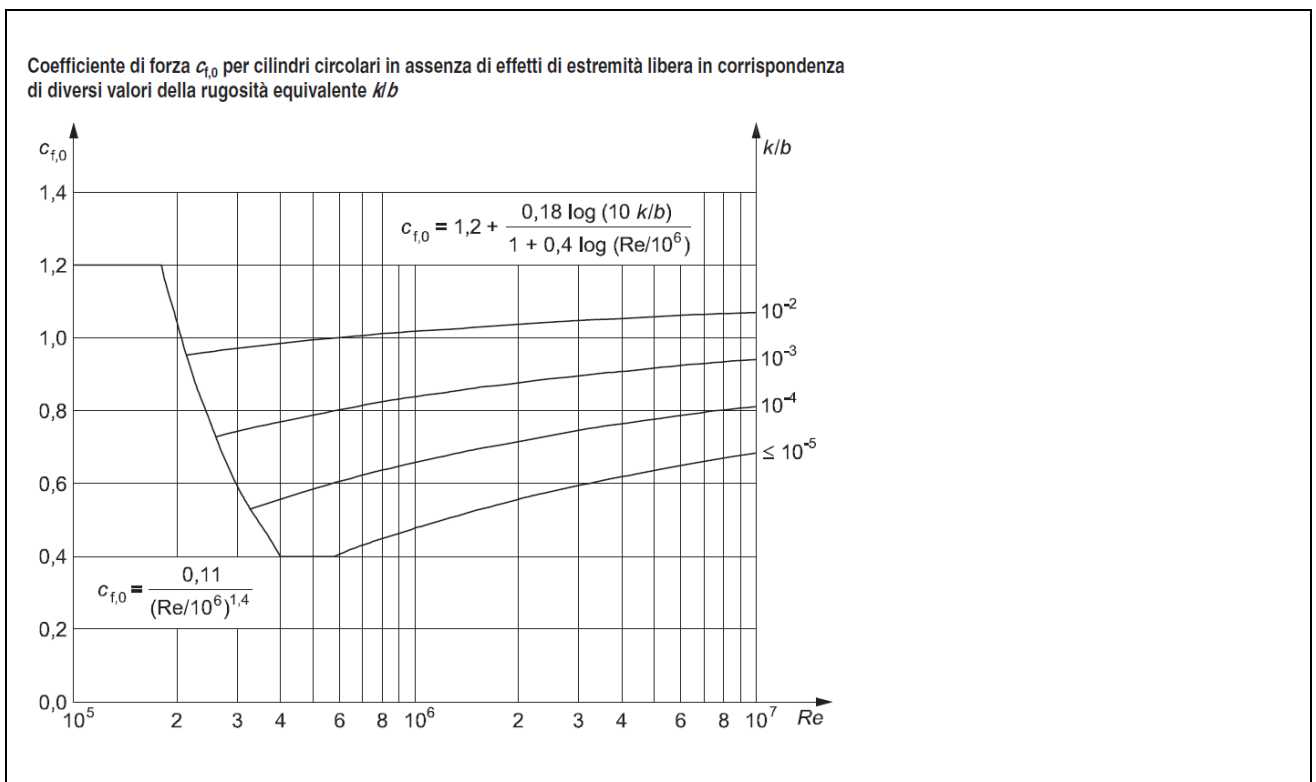


Figura 39 – Correlazione tra numero di Reynolds, la rugosità equivalente e coefficiente di forma $c_{f,0}$ (figura 7.28 EC1-4)

Nel caso di pila con sezione rettangolare, il coefficiente di forma della pila e l'area di riferimento per il calcolo della risultante si determinano in base alle indicazioni del §7.6 [9]. A tal proposito si riconduce il coefficiente di forma c_p al coefficiente di forza c_f .

	ITINERARIO NAPOLI – BARI RADDOPPIO TRATTA CANCELLO – BENEVENTO I° LOTTO FUNZIONALE CANCELLO - FRASSO TELESINO E VARIANTE ALLA LINEA ROMA-NAPOLI VIA CASSINO NEL COMUNE DI MADDALONI – PROGETTO ESECUTIVO					
Pila 04: Relazione di calcolo	COMMESSA IF1N	LOTTO 01 E ZZ	CODIFICA CL	DOCUMENTO VI0605 004	REV. B	FOGLIO 92 di 137

Il coefficiente di esposizione c_f si determina mediante l'espressione:

$$c_f = c_{f,0} \cdot \psi_r \cdot \psi_\lambda$$

- dove
- $c_{f,0}$ è il coefficiente di forma in assenza di effetto di estremità;
 - ψ_r è il fattore riduttivo per sezioni con spigoli arrotondati;
 - ψ_λ è il fattore di effetto di estremità, posto cautelativamente pari a 1.

I valori di $c_{f,0}$ e ψ_r si determinano in funzione del rapporto tra le dimensioni in sezione dell'elemento investito, secondo gli abachi riportati nella Figura 35.

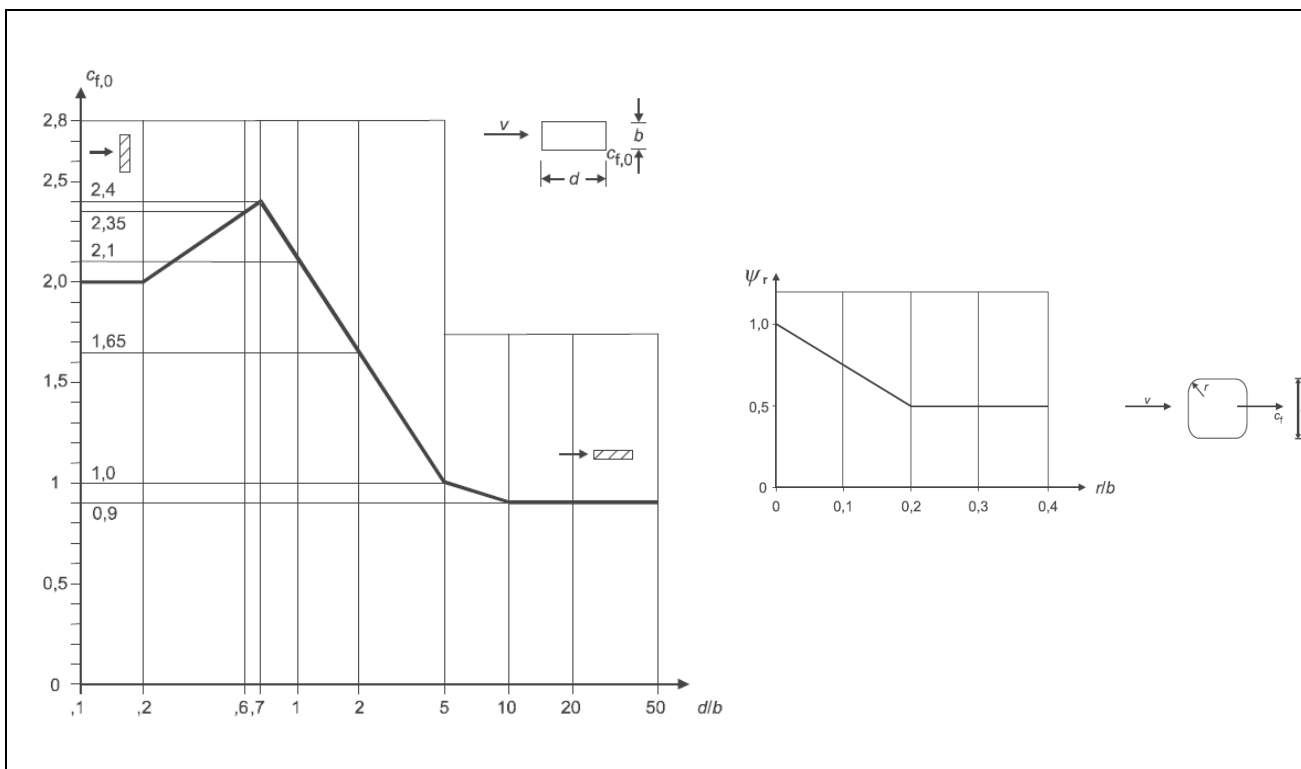


Figura 40 – Correlazione tra dimensioni in sezione dell'elemento e il coefficiente di forma $c_{f,0}$ (figura 7.23 EC1-4) e correlazione tra il raggio di arrotondamento dello spigolo e il fattore riduttivo ψ_r (figura 7.24 EC1-4)

  	ITINERARIO NAPOLI – BARI RADDOPPIO TRATTA CANCELLO – BENEVENTO I° LOTTO FUNZIONALE CANCELLO - FRASSO TELESINO E VARIANTE ALLA LINEA ROMA-NAPOLI VIA CASSINO NEL COMUNE DI MADDALONI – PROGETTO ESECUTIVO												
Pila 04: Relazione di calcolo	<table border="1"> <thead> <tr> <th>COMMESSA</th> <th>LOTTO</th> <th>CODIFICA</th> <th>DOCUMENTO</th> <th>REV.</th> <th>FOGLIO</th> </tr> </thead> <tbody> <tr> <td>IF1N</td> <td>01 E ZZ</td> <td>CL</td> <td>VI0605 004</td> <td>B</td> <td>93 di 137</td> </tr> </tbody> </table>	COMMESSA	LOTTO	CODIFICA	DOCUMENTO	REV.	FOGLIO	IF1N	01 E ZZ	CL	VI0605 004	B	93 di 137
COMMESSA	LOTTO	CODIFICA	DOCUMENTO	REV.	FOGLIO								
IF1N	01 E ZZ	CL	VI0605 004	B	93 di 137								

L'area da considerare per il calcolo della risultante di forza si definisce come la superficie proiettata dalla pila nel piano longitudinale. Per il caso in esame si ha:

Caratteristiche geometriche della pila

Forma della pila =	Rettangolare cava smussata	
Dimensione proiettata nel piano b =	2.60	m
d =	8.60	m
d/b =	3.31	
cf,0 =	1.29	
r =	1,00	m
r/b =	0.38	
ψr =	0.50	
$\psi \lambda$ =	1.00	

Coefficiente di forma

$c_p = c_f = c_{f,0} \cdot \psi r \cdot \psi \lambda =$	1.00
---	------

Azione del vento sulla pila:

Pressione del vento

qb =	477.25	kN/m ²
ce =	2.80	
cp =	1.00	
cd =	1.00	

$q_b = q_b \cdot c_e \cdot c_p \cdot c_d =$	1.34	kN/m ²
---	------	-------------------

Risultante totale forza del vento

b =	2.60	m
f _{vh} =	3.48	kN/m

L'azione del vento così calcolata viene applicata come una forza uniformemente distribuita sugli elementi che compongono il fusto e il pulvino della pila.

  	ITINERARIO NAPOLI – BARI RADDOPPIO TRATTA CANCELLO – BENEVENTO I° LOTTO FUNZIONALE CANCELLO - FRASSO TELESINO E VARIANTE ALLA LINEA ROMA-NAPOLI VIA CASSINO NEL COMUNE DI MADDALONI – PROGETTO ESECUTIVO												
Pila 04: Relazione di calcolo	<table border="1"> <tr> <td>COMMESSA</td> <td>LOTTO</td> <td>CODIFICA</td> <td>DOCUMENTO</td> <td>REV.</td> <td>FOGLIO</td> </tr> <tr> <td>IF1N</td> <td>01 E ZZ</td> <td>CL</td> <td>VI0605 004</td> <td>B</td> <td>94 di 137</td> </tr> </table>	COMMESSA	LOTTO	CODIFICA	DOCUMENTO	REV.	FOGLIO	IF1N	01 E ZZ	CL	VI0605 004	B	94 di 137
COMMESSA	LOTTO	CODIFICA	DOCUMENTO	REV.	FOGLIO								
IF1N	01 E ZZ	CL	VI0605 004	B	94 di 137								

6.5 AZIONI INDIRETTE (Q6)

6.5.1 RESISTENZE PARASSITE NEI VINCOLI (Q61)

Per la valutazione delle coazioni generate dallo scorrimento dei vincoli, è stato considerato un coefficiente d'attrito f pari a 0,06, applicato alle azioni verticali agenti sugli apparecchi d'appoggio.

Con riferimento a quanto riportato nel §1.6.3 [3] la forza agente sulle pile per impalcati a travate isostatiche, facendo riferimento all'apparecchio d'appoggio maggiormente caricato tra i due presenti sulla pila, si considera pari a:

$$F_a = f (0,2 \cdot V_G + V_Q)$$

dove V_G reazione verticale massima associata ai carichi permanenti

V_Q reazione verticale massima associata ai carichi mobili dinamizzati

IMPALCATO-SX

IMPALCATO-DX

Reazioni verticali massime

$$V_G = F_3 (G_1 + G_2) = \quad 5826,14 \quad \text{kN} \quad \quad 5826,14 \quad \text{kN}$$

$$V_Q = F_3 (Q_{1\max}) = \quad 3558,56 \quad \text{kN} \quad \quad 3558,56 \quad \text{kN}$$

Forza d'attrito risultante per il singolo impalcato

$$f = \quad 0,06 \quad \quad 0,06$$

$$F_1 = \quad 283,43 \quad \text{kN} \quad \quad 283,43 \quad \text{kN}$$

Risultante azione parassita nei vincoli

$$F_{1\max} = \quad 283,43 \quad \text{kN}$$

Risultanti reazioni vincolari

$$F_1 = \quad 0 \quad \text{kN} \quad \quad -283 \quad \text{kN}$$

$$F_2 = \quad 0 \quad \quad 0$$

$$F_3 = \quad 0 \quad \quad 0$$

$$M_1 = \quad 0 \quad \quad 0$$

$$M_2 = \quad 0 \quad \quad 0$$

$$M_3 = \quad 0 \quad \quad 0$$

  	ITINERARIO NAPOLI – BARI RADDOPPIO TRATTA CANCELLO – BENEVENTO I° LOTTO FUNZIONALE CANCELLO - FRASSO TELESINO E VARIANTE ALLA LINEA ROMA-NAPOLI VIA CASSINO NEL COMUNE DI MADDALONI – PROGETTO ESECUTIVO												
Pila 04: Relazione di calcolo	<table border="1"> <tr> <td>COMMESSA</td> <td>LOTTO</td> <td>CODIFICA</td> <td>DOCUMENTO</td> <td>REV.</td> <td>FOGLIO</td> </tr> <tr> <td>IF1N</td> <td>01 E ZZ</td> <td>CL</td> <td>VI0605 004</td> <td>B</td> <td>95 di 137</td> </tr> </table>	COMMESSA	LOTTO	CODIFICA	DOCUMENTO	REV.	FOGLIO	IF1N	01 E ZZ	CL	VI0605 004	B	95 di 137
COMMESSA	LOTTO	CODIFICA	DOCUMENTO	REV.	FOGLIO								
IF1N	01 E ZZ	CL	VI0605 004	B	95 di 137								

6.6 EFFETTI D'INTERAZIONE (Q7)

Ove non applicabile il metodo semplificato per la valutazione delle azioni dovute agli effetti di interazione binario-struttura secondo quanto previsto nell'Allegato 3 delle specifiche RFI [3] si rimanda allo specifico elaborato:

IF0F.01.D.09.CL.VI0000.001 – *Viadotti ferroviari – Relazione di interazione treno-binario-struttura.*

6.6.1 VARIAZIONI TERMICHE DELL'IMPALCATO (Q71)

La presente azione si considera applicata in corrispondenza del piano ferro.

Di seguito si considera come prima pila la pila accostata alla spalla munita di appoggi fissi, si considera pertanto come ultima pila la pila accostata alla spalla munita di appoggi scorrevoli.

Dal §3.1 dell'Allegato 3 delle Specifiche RFI [3] si desume:

$$F_{ts} = \beta \cdot \alpha_{ts1} \cdot \alpha_{ts2} \cdot \alpha_{ts3} \cdot L \cdot q \cdot n$$

dove α_{ts1} 0,70 nel caso di $\Delta t = 30$ °C (valore massimo)

α_{ts2} 1,00 (rigidezza massima della spalla)

α_{ts3} 0,80 nel caso di viadotto con un numero di campate ≥ 3

L luce della campata

q resistenza allo scorrimento longitudinale del binario scarico, posto generalmente pari a 20,00 kN/m

n numero di binari

β 0,40 nel caso dell'ultima pila

β 0,20 nel caso della penultima e della prima pila

β 0,00 nel caso delle pile intermedie

Cautelativamente si pone β pari al suo valore massimo, ossia 0,4.

IMPALCATO-SX

IMPALCATO-DX

Reazione per variazioni termiche dell'impalcato

$\Delta T =$	30.00	°C	30.00	°C
L impalcato =	25.00	kN	25.00	kN
q =	20.00	kN/m	20.00	kN/m
n binari =	2.00		2.00	
$\alpha_{tp1} =$	0.70		0.70	
$\alpha_{tp2} =$	1.00		1.00	
$\alpha_{tp3} =$	1.00		1.00	
$F_{t,spalla} =$	700.00	kN	700.00	kN
$F_{t,pila} =$	280.00	kN	280.00	kN

  	ITINERARIO NAPOLI – BARI RADDOPPIO TRATTA CANCELLO – BENEVENTO I° LOTTO FUNZIONALE CANCELLO - FRASSO TELESINO E VARIANTE ALLA LINEA ROMA-NAPOLI VIA CASSINO NEL COMUNE DI MADDALONI – PROGETTO ESECUTIVO												
Pila 04: Relazione di calcolo	<table border="1"> <thead> <tr> <th>COMMESSA</th> <th>LOTTO</th> <th>CODIFICA</th> <th>DOCUMENTO</th> <th>REV.</th> <th>FOGLIO</th> </tr> </thead> <tbody> <tr> <td>IF1N</td> <td>01 E ZZ</td> <td>CL</td> <td>VI0605 004</td> <td>B</td> <td>96 di 137</td> </tr> </tbody> </table>	COMMESSA	LOTTO	CODIFICA	DOCUMENTO	REV.	FOGLIO	IF1N	01 E ZZ	CL	VI0605 004	B	96 di 137
COMMESSA	LOTTO	CODIFICA	DOCUMENTO	REV.	FOGLIO								
IF1N	01 E ZZ	CL	VI0605 004	B	96 di 137								

Tipo di vincolo = UL F
Moltiplicatore = 0.00 1.00

Forza risultante

F1 = 0.00 kN 280.00 kN

Risultanti reazioni vincolari

F1 = 0 kN -280 kN
F2 = 0
F3 = 0
M1 = 0
M2 = 0
M3 = 0

6.6.2 AZIONI DI FRENATURA E AVVIAMENTO

Gli effetti di interazione relativi alle azioni di frenatura e avviamento si tengono conto applicando ai valori della risultante un coefficiente α_n che tiene conto del rapporto di rigidità tra le pile del viadotto.

Cautelativamente si prendono in considerazione le condizioni più sfavorevoli, ossia:

- per le azioni di frenatura del modello di carico LM71 : $\alpha_{hp} = \alpha_{hp3} = 1,60$
- per le azioni di frenatura del modello di carico SW/2 : $\alpha_{hp} = \alpha_{hp3} = 1,30$
- per le azioni di avviamento di entrambi i modelli di carico : $\alpha_{hp} = \alpha_{hp3} \cdot \alpha_{hp4} = 1,60 \cdot 0,70 = 1,12$

6.6.3 INFLESSIONE DELL'IMPALCATO DOVUTA AI CARICHI VERTICALI DA TRAFFICO

Le azioni longitudinali da inflessione impalcato esercitano delle spinte che si contrappongono alle flessioni generate dall'eccentricità dei carichi verticali. Per questo motivo a vantaggio di sicurezza tali azioni vengono trascurate nei calcoli successivi.

  	ITINERARIO NAPOLI – BARI RADDOPPIO TRATTA CANCELLO – BENEVENTO I° LOTTO FUNZIONALE CANCELLO - FRASSO TELESINO E VARIANTE ALLA LINEA ROMA-NAPOLI VIA CASSINO NEL COMUNE DI MADDALONI – PROGETTO ESECUTIVO												
Pila 04: Relazione di calcolo	<table border="1"> <tr> <td>COMMESSA</td> <td>LOTTO</td> <td>CODIFICA</td> <td>DOCUMENTO</td> <td>REV.</td> <td>FOGLIO</td> </tr> <tr> <td>IF1N</td> <td>01 E ZZ</td> <td>CL</td> <td>VI0605 004</td> <td>B</td> <td>97 di 137</td> </tr> </table>	COMMESSA	LOTTO	CODIFICA	DOCUMENTO	REV.	FOGLIO	IF1N	01 E ZZ	CL	VI0605 004	B	97 di 137
COMMESSA	LOTTO	CODIFICA	DOCUMENTO	REV.	FOGLIO								
IF1N	01 E ZZ	CL	VI0605 004	B	97 di 137								

6.7 AZIONI SISMICHE (E)

L'azione sismica di progetto è rappresentata da spettri di risposta definiti in base alla pericolosità sismica di base del sito ove sorge l'opera in oggetto, la vita di riferimento e le caratteristiche del sottosuolo.

Di seguito si riportano i parametri di input utilizzati per la definizione degli spettri di progetto orizzontali e verticali e i grafici degli stessi. Gli spettri di progetto così definiti vengono utilizzati nel modello di calcolo per la definizione di casi di analisi di tipo "dinamica lineare con spettro di risposta".

I valori del fattore di struttura q , adottati per la definizione delle azioni sismiche e per il dimensionamento degli elementi secondo i criteri della gerarchia delle resistenze, sono stati definiti in base ai criteri di seguito esplicitati.

Il valore del fattore di struttura q assunto per il dimensionamento delle fondazioni è pari a 1,5, in accordo con quanto indicato nel §1.8.3.3 [3] per le fondazioni su pali.

Per le strutture in elevazione, in accordo con quanto indicato nel §7.9.2.1 [1] per pile verticali inflesse in c.a. e progettazione in CD"B", si assume un fattore di struttura q_0 pari a 1,5 (vedi Tabella 1).

Per elementi duttili in c.a. i valori di q_0 riportati in Tabella 1, valgono se la sollecitazione di compressione normalizzata v_k non eccede il valore 0,3. Per valori di v_k compresi tra 0,3 e 0,6 (v_k non può eccedere 0,6) q_0 si ottiene dalla relazione seguente:

$$q_0(v_k) = q_0 - (v_k/0,3 - 1) \cdot (q_0 - 1)$$

Infine il fattore di struttura q da adottare nelle analisi si ottiene moltiplicando il q_0 così ottenuto per il coefficiente riduttivo K_R che dipende dalle caratteristiche di regolarità della struttura.

In generale il requisito di regolarità e quindi il valore di K_R si determinano a posteriori secondo il procedimento indicato nel §7.9.2.1 [1]. Per il caso in esame si ipotizza un K_R pari a 1.

$$q_0(v_k) = q_0 = 1,5$$

$$q = q_0(v_k) \cdot K_R = 1,5.$$

Tipi di elementi duttili	q_0	
	CD"B"	CD"A"
Pile in cemento armato		
Pile verticali inflesse	1,5	3,5 λ
Elementi di sostegno inclinati inflessi	1,2	2,1 λ
Pile in acciaio:		
Pile verticali inflesse	1,5	3,5
Elementi di sostegno inclinati inflessi	1,2	2,0
Pile con controventi concentrici	1,5	2,5
Pile con controventi eccentrici	-	3,5
Spalle rigidamente connesse con l'impalcato		
In generale	1,5	1,5
Strutture che si muovono col terreno ⁷	1,0	1,0
Archi	1,2	2,0

⁷ Le strutture che si muovono con il terreno non subiscono amplificazione dell'accelerazione del suolo. Esse sono caratterizzate da periodi naturali di vibrazione in direzione orizzontale molto bassi ($T \leq 0,03$ s). Appartengono a questa categoria le spalle connesse, mediante collegamenti flessibili, all'impalcato.

Tabella 1 – Valori del fattore struttura q_0 per differenti tipologie di pile e spalle - tabella 7.9.1 [1]

  	ITINERARIO NAPOLI – BARI RADDOPPIO TRATTA CANCELLO – BENEVENTO I° LOTTO FUNZIONALE CANCELLO - FRASSO TELESINO E VARIANTE ALLA LINEA ROMA-NAPOLI VIA CASSINO NEL COMUNE DI MADDALONI – PROGETTO ESECUTIVO												
Pila 04: Relazione di calcolo	<table border="1"> <tr> <td>COMMESSA</td> <td>LOTTO</td> <td>CODIFICA</td> <td>DOCUMENTO</td> <td>REV.</td> <td>FOGLIO</td> </tr> <tr> <td>IF1N</td> <td>01 E ZZ</td> <td>CL</td> <td>VI0605 004</td> <td>B</td> <td>98 di 137</td> </tr> </table>	COMMESSA	LOTTO	CODIFICA	DOCUMENTO	REV.	FOGLIO	IF1N	01 E ZZ	CL	VI0605 004	B	98 di 137
COMMESSA	LOTTO	CODIFICA	DOCUMENTO	REV.	FOGLIO								
IF1N	01 E ZZ	CL	VI0605 004	B	98 di 137								

6.7.1 SPETTRI DI PROGETTO ALLO SLV

Coordinate geografiche della pila:

PILA	Latitudine [°]	Longitudine [°]
P04	41.09905	14.43344

Strategia di progettazione

Vita nominale VN =	75	anni
Coefficiente d'uso cu =	1.5	
Vita di riferimento VR =	112.5	anni
Categoria di sottosuolo =	B	
Categoria topografica =	T1	

Per la definizione della categoria di suolo si rimanda all'elaborato progettuale "IF1N.0.1.E.ZZ.RB.GE.00.0.5.001.A - Relazione geotecnica generale di linea delle opere all'aperto".

$q_0 =$	1,50
$K_r =$	1,00

Il valore di v_k è pari a :

0.05

Fattore di struttura $q =$	1,50	
Smorzamento $\xi =$	5,00	%

  	ITINERARIO NAPOLI – BARI RADDOPPIO TRATTA CANCELLO – BENEVENTO I° LOTTO FUNZIONALE CANCELLO - FRASSO TELESINO E VARIANTE ALLA LINEA ROMA-NAPOLI VIA CASSINO NEL COMUNE DI MADDALONI – PROGETTO ESECUTIVO												
Pila 04: Relazione di calcolo	<table border="1"> <thead> <tr> <th>COMMESSA</th> <th>LOTTO</th> <th>CODIFICA</th> <th>DOCUMENTO</th> <th>REV.</th> <th>FOGLIO</th> </tr> </thead> <tbody> <tr> <td>IF1N</td> <td>01 E ZZ</td> <td>CL</td> <td>VI0605 004</td> <td>B</td> <td>99 di 137</td> </tr> </tbody> </table>	COMMESSA	LOTTO	CODIFICA	DOCUMENTO	REV.	FOGLIO	IF1N	01 E ZZ	CL	VI0605 004	B	99 di 137
COMMESSA	LOTTO	CODIFICA	DOCUMENTO	REV.	FOGLIO								
IF1N	01 E ZZ	CL	VI0605 004	B	99 di 137								

6.7.1.1 PARAMETRI PER LA DEFINIZIONE DELLO SPETTRO ORIZZONTALE

Tr	1068	anni
ag0	0.194	g
Fo	2.525	
S	1.200	
TB	0.189	sec
TC	0.566	sec
TD	2.377	sec

6.7.1.2 PARAMETRI PER LA DEFINIZIONE DELLO SPETTRO VERTICALE

Tr	1068	anni
ag0	0.116	g
Fv	2.525	
S	1.000	
TB	0.050	sec
TC	0.150	sec
TD	1.000	sec

  	ITINERARIO NAPOLI – BARI RADDOPPIO TRATTA CANCELLO – BENEVENTO 1° LOTTO FUNZIONALE CANCELLO - FRASSO TELESINO E VARIANTE ALLA LINEA ROMA-NAPOLI VIA CASSINO NEL COMUNE DI MADDALONI – PROGETTO ESECUTIVO												
Pila 04: Relazione di calcolo	<table border="1"> <thead> <tr> <th>COMMESSA</th> <th>LOTTO</th> <th>CODIFICA</th> <th>DOCUMENTO</th> <th>REV.</th> <th>FOGLIO</th> </tr> </thead> <tbody> <tr> <td>IF1N</td> <td>01 E ZZ</td> <td>CL</td> <td>VI0605 004</td> <td>B</td> <td>100 di 137</td> </tr> </tbody> </table>	COMMESSA	LOTTO	CODIFICA	DOCUMENTO	REV.	FOGLIO	IF1N	01 E ZZ	CL	VI0605 004	B	100 di 137
COMMESSA	LOTTO	CODIFICA	DOCUMENTO	REV.	FOGLIO								
IF1N	01 E ZZ	CL	VI0605 004	B	100 di 137								

Spettri di risposta (componenti orizz. e vert.) per lo stato limite: SLV

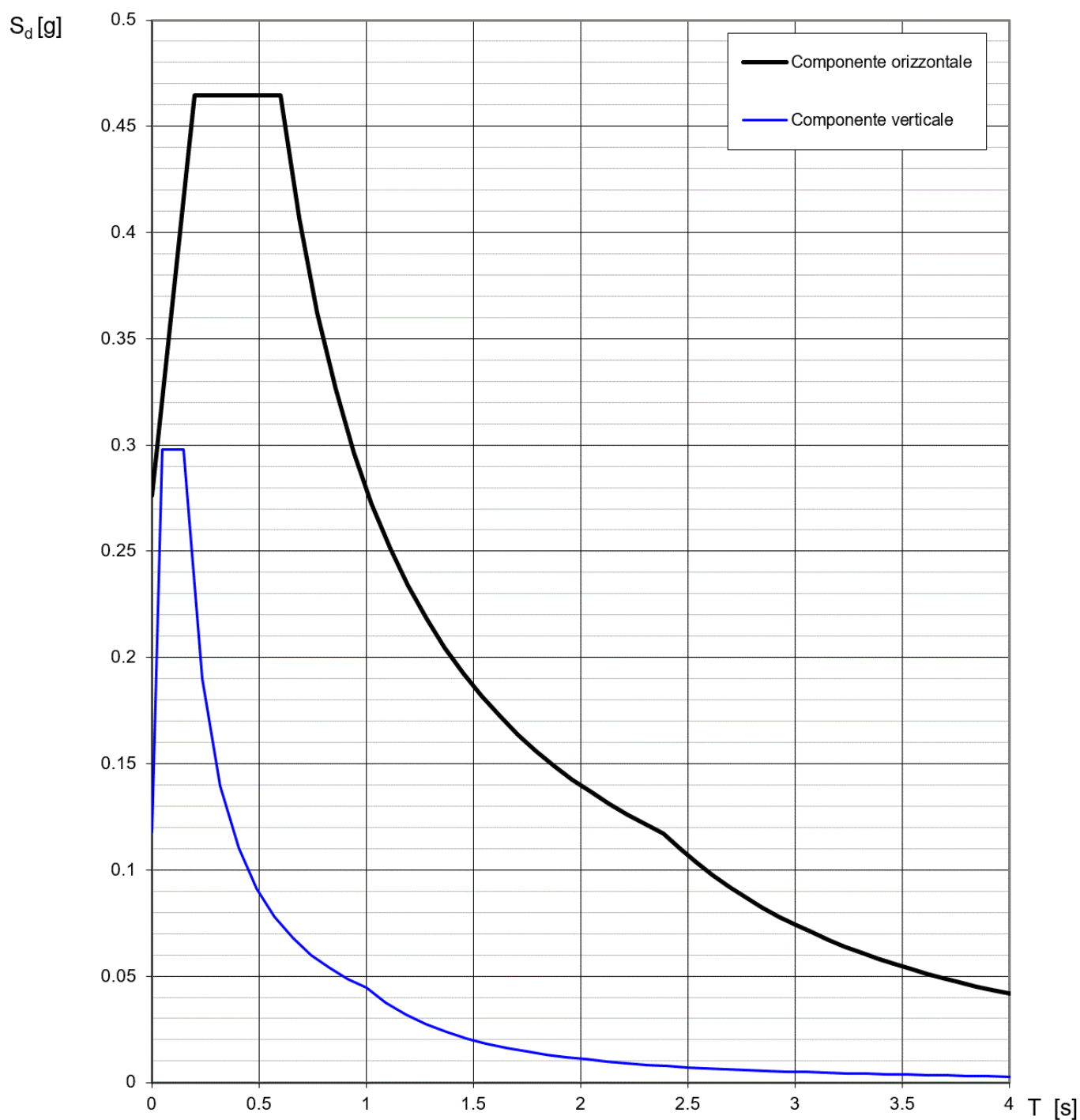


Figura 41 – Spettro elastico di progetto allo SLV – Componente orizzontale e verticale

  	ITINERARIO NAPOLI – BARI RADDOPPIO TRATTA CANCELLO – BENEVENTO I° LOTTO FUNZIONALE CANCELLO - FRASSO TELESINO E VARIANTE ALLA LINEA ROMA-NAPOLI VIA CASSINO NEL COMUNE DI MADDALONI – PROGETTO ESECUTIVO												
Pila 04: Relazione di calcolo	<table style="width: 100%; border-collapse: collapse;"> <tr> <td style="text-align: center;">COMMESSA</td> <td style="text-align: center;">LOTTO</td> <td style="text-align: center;">CODIFICA</td> <td style="text-align: center;">DOCUMENTO</td> <td style="text-align: center;">REV.</td> <td style="text-align: center;">FOGLIO</td> </tr> <tr> <td style="text-align: center;">IF1N</td> <td style="text-align: center;">01 E ZZ</td> <td style="text-align: center;">CL</td> <td style="text-align: center;">VI0605 004</td> <td style="text-align: center;">B</td> <td style="text-align: center;">101 di 137</td> </tr> </table>	COMMESSA	LOTTO	CODIFICA	DOCUMENTO	REV.	FOGLIO	IF1N	01 E ZZ	CL	VI0605 004	B	101 di 137
COMMESSA	LOTTO	CODIFICA	DOCUMENTO	REV.	FOGLIO								
IF1N	01 E ZZ	CL	VI0605 004	B	101 di 137								

7 COMBINAZIONI DI CARICO

Di seguito vengono riportate le tabelle che riepilogano le condizioni di carico elementari (C.C.E.) considerate.

	C.C.E.	Descrizione
G - Permanenti	G1	Pesi propri
	G21	Ballast
	G22	Permanenti non strutturali
Q1 - Variabili verticali	Q11	Disposizione 1 (massimizza N)
	Q12	Disposizione 2 (massimizza M2)
	Q13	Disposizione 3 (massimizza M1)
	Q14	Disposizione 4 (massimizza M1)
	Q15	Disposizione 5 (massimizza N+M2)
	Q16	Disposizione 6 (massimizza N)
	Q17	Disposizione 7 (minimizza N)
Q2 - Avviamento e frenatura	Q21	Disposizione 1 (massimizza N)
	Q22	Disposizione 2 (massimizza M2)
	Q23	Disposizione 3 (massimizza M1)
	Q24	Disposizione 4 (massimizza M1)
	Q25	Disposizione 5 (massimizza N+M2)
	Q26	Disposizione 6 (massimizza N)
	Q27	Disposizione 7 (minimizza N)
Q3 - Centrifuga	Q31	Disposizione 1 (massimizza N)
	Q32	Disposizione 2 (massimizza M2)
	Q33	Disposizione 3 (massimizza M1)
	Q34	Disposizione 4 (massimizza M1)
	Q35	Disposizione 5 (massimizza N+M2)
	Q36	Disposizione 6 (massimizza N)
	Q37	Disposizione 7 (minimizza N)
Q4 - Serpeggio	Q41	Disposizione 1 (massimizza N)
	Q42	Disposizione 2 (massimizza M2)
	Q43	Disposizione 3 (massimizza M1)
	Q44	Disposizione 4 (massimizza M1)
	Q45	Disposizione 5 (massimizza N+M2)
	Q46	Disposizione 6 (massimizza N)
	Q47	Disposizione 7 (minimizza N)
Variabili	Q51	Vento
Azioni interne	Q61	Attrito su vincoli
Effetti d'interazione	Q71	Variazioni termiche
E - Azioni sismiche	E1	Sisma x
	E2	Sisma y
	E3	Sisma z

  	ITINERARIO NAPOLI – BARI RADDOPPIO TRATTA CANCELLO – BENEVENTO I° LOTTO FUNZIONALE CANCELLO - FRASSO TELESINO E VARIANTE ALLA LINEA ROMA-NAPOLI VIA CASSINO NEL COMUNE DI MADDALONI – PROGETTO ESECUTIVO					
	Pila 04: Relazione di calcolo	COMMESSA IF1N	LOTTO 01 E ZZ	CODIFICA CL	DOCUMENTO VI0605 004	REV. B

Le combinazioni di calcolo sono state definite sulla base dei criteri enunciati nei §1.8.2.3 [3], §1.8.3.1 [3] e §1.8.3.2 [3] di cui si riportano di seguito alcuni stralci.

TIPO DI CARICO	Azioni verticali		Azioni orizzontali			Commenti
	Carico verticale (1)	Treno scarico	Frenatura e avviamento	Centrifuga	Serpeggio	
Gruppo 1 (2)	1,00	-	0,5 (0,0)	1,0 (0,0)	1,0 (0,0)	massima azione verticale e laterale
Gruppo 2 (2)	-	1,00	0,00	1,0 (0,0)	1,0(0,0)	stabilità laterale
Gruppo 3 (2)	1,0 (0,5)	-	1,00	0,5 (0,0)	0,5 (0,0)	massima azione longitudinale
Gruppo 4	0,8 (0,6; 0,4)	-	0,8 (0,6; 0,4)	0,8 (0,6; 0,4)	0,8 (0,6; 0,4)	fessurazione

Azione dominante
(1) Includendo tutti i fattori ad essi relativi (Φ, α , ecc...)
(2) La simultaneità di due o tre valori caratteristici interi (assunzione di diversi coefficienti pari ad 1), sebbene improbabile, è stata considerata come semplificazione per i gruppi di carico 1, 2, 3 senza che ciò abbia significative conseguenze progettuali.

Tabella 2 – Definizione dei gruppi di carico

		Coefficiente	EQU ⁽¹⁾	A1 STR	A2 GEO	Combinazione eccezionale	Combinazione Sismica
Carichi permanenti	favorevoli	γ_{G1}	0,90	1,00	1,00	1,00	1,00
	sfavorevoli		1,10	1,35	1,00	1,00	1,00
Carichi permanenti non strutturali ⁽²⁾	favorevoli	γ_{G2}	0,00	0,00	0,00	1,00	1,00
	sfavorevoli		1,50	1,50	1,30	1,00	1,00
Ballast ⁽³⁾	favorevoli	γ_B	0,90	1,00	1,00	1,00	1,00
	sfavorevoli		1,50	1,50	1,30	1,00	1,00
Carichi variabili da traffico ⁽⁴⁾	favorevoli	γ_Q	0,00	0,00	0,00	0,00	0,00
	sfavorevoli		1,45	1,45	1,25	0,20 ⁽⁵⁾	0,20 ⁽⁵⁾
Carichi variabili	favorevoli	γ_{Qi}	0,00	0,00	0,00	0,00	0,00
	sfavorevoli		1,50	1,50	1,30	1,00	0,00
Precompressione	favorevole	γ_P	0,90	1,00	1,00	1,00	1,00
	sfavorevole		1,00 ⁽⁶⁾	1,00 ⁽⁷⁾	1,00	1,00	1,00

⁽¹⁾ Equilibrio che non coinvolga i parametri di deformabilità e resistenza del terreno; altrimenti si applicano i valori di GEO.
⁽²⁾ Nel caso in cui i carichi permanenti non strutturali (ad es. carichi permanenti portati) siano compiutamente definiti si potranno adottare gli stessi coefficienti validi per le azioni permanenti.
⁽³⁾ Quando si prevedano variazioni significative del carico dovuto al ballast, se ne dovrà tener conto esplicitamente nelle verifiche.
⁽⁴⁾ Le componenti delle azioni da traffico sono introdotte in combinazione considerando uno dei gruppi di carico gr della Tab. 5.2.IV.
⁽⁵⁾ Aliquota di carico da traffico da considerare.
⁽⁶⁾ 1,30 per instabilità in strutture con precompressione esterna
⁽⁷⁾ 1,20 per effetti locali

Tabella 3 – Coefficienti parziali di sicurezza per le combinazioni agli SLU

  	ITINERARIO NAPOLI – BARI RADDOPPIO TRATTA CANCELLO – BENEVENTO I° LOTTO FUNZIONALE CANCELLO - FRASSO TELESINO E VARIANTE ALLA LINEA ROMA-NAPOLI VIA CASSINO NEL COMUNE DI MADDALONI – PROGETTO ESECUTIVO												
Pila 04: Relazione di calcolo	<table border="1" style="width: 100%; border-collapse: collapse;"> <tr> <td style="text-align: center;">COMMESSA</td> <td style="text-align: center;">LOTTO</td> <td style="text-align: center;">CODIFICA</td> <td style="text-align: center;">DOCUMENTO</td> <td style="text-align: center;">REV.</td> <td style="text-align: center;">FOGLIO</td> </tr> <tr> <td style="text-align: center;">IF1N</td> <td style="text-align: center;">01 E ZZ</td> <td style="text-align: center;">CL</td> <td style="text-align: center;">VI0605 004</td> <td style="text-align: center;">B</td> <td style="text-align: center;">103 di 137</td> </tr> </table>	COMMESSA	LOTTO	CODIFICA	DOCUMENTO	REV.	FOGLIO	IF1N	01 E ZZ	CL	VI0605 004	B	103 di 137
COMMESSA	LOTTO	CODIFICA	DOCUMENTO	REV.	FOGLIO								
IF1N	01 E ZZ	CL	VI0605 004	B	103 di 137								

Azioni		Ψ_0	Ψ_1	Ψ_2
Azioni singole da traffico	Carico sul rilevato a tergo delle spalle	0,80	0,50	0,0
	Azioni aerodinamiche generate dal transito dei convogli	0,80	0,50	0,0
Gruppi di carico	σ_1	0,80 ⁽²⁾	0,80 ⁽¹⁾	0,0
	σ_2	0,80 ⁽²⁾	0,80 ⁽¹⁾	-
	σ_3	0,80 ⁽²⁾	0,80 ⁽¹⁾	0,0
	σ_4	1,00	1,00 ⁽¹⁾	0,0
Azioni del vento	F_{Wk}	0,60	0,50	0,0
Azioni da neve	in fase di esecuzione	0,80	0,0	0,0
	SLU e SLE	0,0	0,0	0,0
Azioni termiche	T_k	0,60	0,60	0,50

(1) 0,80 se è carico solo un binario, 0,60 se sono carichi due binari e 0,40 se sono carichi tre o più binari.

(2) Quando come azione di base venga assunta quella del vento, i coefficienti Ψ_0 relativi ai gruppi di carico delle azioni da traffico vanno assunti pari a 0,0.

	Azioni	Ψ_0	Ψ_1	Ψ_2
Azioni singole da traffico	Treno di carico LM 71	0,80 ⁽³⁾	(1)	0,0
	Treno di carico SW /0	0,80 ⁽³⁾	0,80	0,0
	Treno di carico SW/2	0,0 ⁽³⁾	0,80	0,0
	Treno scarico	1,00 ⁽³⁾	-	-
	Centrifuga	(2) (3)	(2)	(2)
	Azione laterale (serpeggio)	1,00 ⁽³⁾	0,80	0,0

(1) 0,80 se è carico solo un binario, 0,60 se sono carichi due binari e 0,40 se sono carichi tre o più binari.

(2) Si usano gli stessi coefficienti Ψ adottati per i carichi che provocano dette azioni.

(3) Quando come azione di base venga assunta quella del vento, i coefficienti Ψ_0 relativi ai gruppi di carico delle azioni da traffico vanno assunti pari a 0,0.

Tabella 4 – Coefficienti di combinazione ψ delle azioni

Le combinazioni di carico (C.C.C.) definite e considerate nei calcoli successivi sono riportate nell'allegato 1 alla presente relazione.

  	ITINERARIO NAPOLI – BARI RADDOPPIO TRATTA CANCELLO – BENEVENTO I° LOTTO FUNZIONALE CANCELLO - FRASSO TELESINO E VARIANTE ALLA LINEA ROMA-NAPOLI VIA CASSINO NEL COMUNE DI MADDALONI – PROGETTO ESECUTIVO												
Pila 04: Relazione di calcolo	<table border="1"> <tr> <td>COMMESSA</td> <td>LOTTO</td> <td>CODIFICA</td> <td>DOCUMENTO</td> <td>REV.</td> <td>FOGLIO</td> </tr> <tr> <td>IF1N</td> <td>01 E ZZ</td> <td>CL</td> <td>VI0605 004</td> <td>B</td> <td>104 di 137</td> </tr> </table>	COMMESSA	LOTTO	CODIFICA	DOCUMENTO	REV.	FOGLIO	IF1N	01 E ZZ	CL	VI0605 004	B	104 di 137
COMMESSA	LOTTO	CODIFICA	DOCUMENTO	REV.	FOGLIO								
IF1N	01 E ZZ	CL	VI0605 004	B	104 di 137								

Si riporta un quadro sintetico delle combinazioni prese in considerazione:

Gruppo	Num.
SLU-STR	70 combinazioni
SLU-GEO (appr. A2)	70 combinazioni
SIS-SLV	202 combinazioni
SLE-RAR/FRE	105 combinazioni
SLE-QP	2 combinazioni

  	ITINERARIO NAPOLI – BARI RADDOPPIO TRATTA CANCELLO – BENEVENTO I° LOTTO FUNZIONALE CANCELLO - FRASSO TELESINO E VARIANTE ALLA LINEA ROMA-NAPOLI VIA CASSINO NEL COMUNE DI MADDALONI – PROGETTO ESECUTIVO												
Pila 04: Relazione di calcolo	<table border="1"> <thead> <tr> <th>COMMESSA</th> <th>LOTTO</th> <th>CODIFICA</th> <th>DOCUMENTO</th> <th>REV.</th> <th>FOGLIO</th> </tr> </thead> <tbody> <tr> <td>IF1N</td> <td>01 E ZZ</td> <td>CL</td> <td>VI0605 004</td> <td>B</td> <td>105 di 137</td> </tr> </tbody> </table>	COMMESSA	LOTTO	CODIFICA	DOCUMENTO	REV.	FOGLIO	IF1N	01 E ZZ	CL	VI0605 004	B	105 di 137
COMMESSA	LOTTO	CODIFICA	DOCUMENTO	REV.	FOGLIO								
IF1N	01 E ZZ	CL	VI0605 004	B	105 di 137								

8 ANALISI DELLE SOLLECITAZIONI

8.1 MODELLO DI CALCOLO E.F.

Il calcolo delle sollecitazioni lungo il fusto viene effettuato mediante una schematizzazione a mensola. Per gli scarichi in fondazione e la ripartizione degli sforzi sui pali si è ipotizzata una platea infinitamente rigida.

8.2 MASSE E FORZE SISMICHE

Secondo le indicazioni del §7.9.4.1 delle NTC2008 [1], nel caso di ponte a travate semplicemente appoggiate, i requisiti necessari per applicare l'analisi statica lineare possono ritenersi soddisfatti nel seguente caso:

- per entrambe le direzioni longitudinale e trasversale, purché la massa efficace di ciascuna pila non sia superiore ad 1/5 della massa di impalcato da essa portata (per pile a sezione costante, la massa efficace può essere assunta pari alla massa della metà superiore della pila).

Nel presente caso tale requisito risulta soddisfatto.

Per la determinazione delle sollecitazioni sui diversi elementi costituenti la pila si procede dunque con un'analisi statica lineare con spettro di risposta su oscillatore semolice.

Nel caso in esame si ha che:

- in direzione X la massa sismica è rappresentata dalle masse afferenti all'impalcato vincolato alla pila mediante gli apparecchi d'appoggio fissi; tale massa si considera agente alla quota degli apparecchi d'appoggio stessi;
- in direzione Y la massa sismica è rappresentata della metà della massa afferente a ciascun impalcato; tale massa si considera agente alla quota baricentrica degli impalcati stessi;
- in direzione Z la massa sismica è rappresentata della metà della massa di ciascun impalcato; tale massa si considera agente nel centro geometrico degli apparecchi d'appoggio degli impalcati stessi.

  	ITINERARIO NAPOLI – BARI RADDOPPIO TRATTA CANCELLO – BENEVENTO I° LOTTO FUNZIONALE CANCELLO - FRASSO TELESINO E VARIANTE ALLA LINEA ROMA-NAPOLI VIA CASSINO NEL COMUNE DI MADDALONI – PROGETTO ESECUTIVO												
Pila 04: Relazione di calcolo	<table border="1"> <thead> <tr> <th>COMMESSA</th> <th>LOTTO</th> <th>CODIFICA</th> <th>DOCUMENTO</th> <th>REV.</th> <th>FOGLIO</th> </tr> </thead> <tbody> <tr> <td>IF1N</td> <td>01 E ZZ</td> <td>CL</td> <td>VI0605 004</td> <td>B</td> <td>106 di 137</td> </tr> </tbody> </table>	COMMESSA	LOTTO	CODIFICA	DOCUMENTO	REV.	FOGLIO	IF1N	01 E ZZ	CL	VI0605 004	B	106 di 137
COMMESSA	LOTTO	CODIFICA	DOCUMENTO	REV.	FOGLIO								
IF1N	01 E ZZ	CL	VI0605 004	B	106 di 137								

IMPALCATO-SX

IMPALCATO-DX

Masse sismiche afferenti agli impalcati

Massa impalcato =	11652	kN	11652	kN
Carico max traffico LM71 =	2807	kN	2807	kN
Carico max traffico SW/2 =	3750	kN	3750	kN
Carico max traffico LM71+SW/2 =	6557	kN	6557	kN
Massa traffico (psi=0.2) =	1311	kN	1311	kN
Massa impalcato (perm+treni) =	12963	kN	12963	kN
tipologia vincolo =	UL		F	
Massa imp. longitudinale =	0	kN	12963	kN
Massa imp. trasversale =	6482	kN	6482	kN
Massa imp. totale longitudinale =	12963	kN		
Massa imp. totale trasversale =	12963	kN		

Masse sismiche afferenti alla pila

Massa pulvino =	1226	kN
Massa fusto =	1824	kN
Massa efficace pila (M*) =	1949	kN

Requisito analisi statica lineare

Massa efficace pila (M*) =	1949	kN
1/5 M impalcato (min[trasv;long]) =	2593	kN
M* < 1/5 Mimp. Il requisito per l'analisi statica lineare è soddisfatto.		

Massa totale

M tot longitudinale =	14913	kN
M tot trasversale =	14913	kN
M tot verticale =	14913	kN

  	ITINERARIO NAPOLI – BARI RADDOPPIO TRATTA CANCELLO – BENEVENTO I° LOTTO FUNZIONALE CANCELLO - FRASSO TELESINO E VARIANTE ALLA LINEA ROMA-NAPOLI VIA CASSINO NEL COMUNE DI MADDALONI – PROGETTO ESECUTIVO												
Pila 04: Relazione di calcolo	<table border="1"> <thead> <tr> <th>COMMESSA</th> <th>LOTTO</th> <th>CODIFICA</th> <th>DOCUMENTO</th> <th>REV.</th> <th>FOGLIO</th> </tr> </thead> <tbody> <tr> <td>IF1N</td> <td>01 E ZZ</td> <td>CL</td> <td>VI0605 004</td> <td>B</td> <td>107 di 137</td> </tr> </tbody> </table>	COMMESSA	LOTTO	CODIFICA	DOCUMENTO	REV.	FOGLIO	IF1N	01 E ZZ	CL	VI0605 004	B	107 di 137
COMMESSA	LOTTO	CODIFICA	DOCUMENTO	REV.	FOGLIO								
IF1N	01 E ZZ	CL	VI0605 004	B	107 di 137								

Analisi statica lineare

Ac	10.425	m ²
H1	7.00	m
H2	1.45	m
H3	0.45	m
Hpila	8.90	m
yg_imp	2.08	m

Ecm	33643	N*/mm ²
	33643000	kN/m ²

Dir. longitudinale

llong	9.4	m ⁴
Wlong	14913	kN/m
Mlong	1520	ton
Lvlong	8.9	m
Klong	1.3E+06	kN/m
Tlong	0.211	sec
Sdlong	0.392	g

Flong **5848** kN

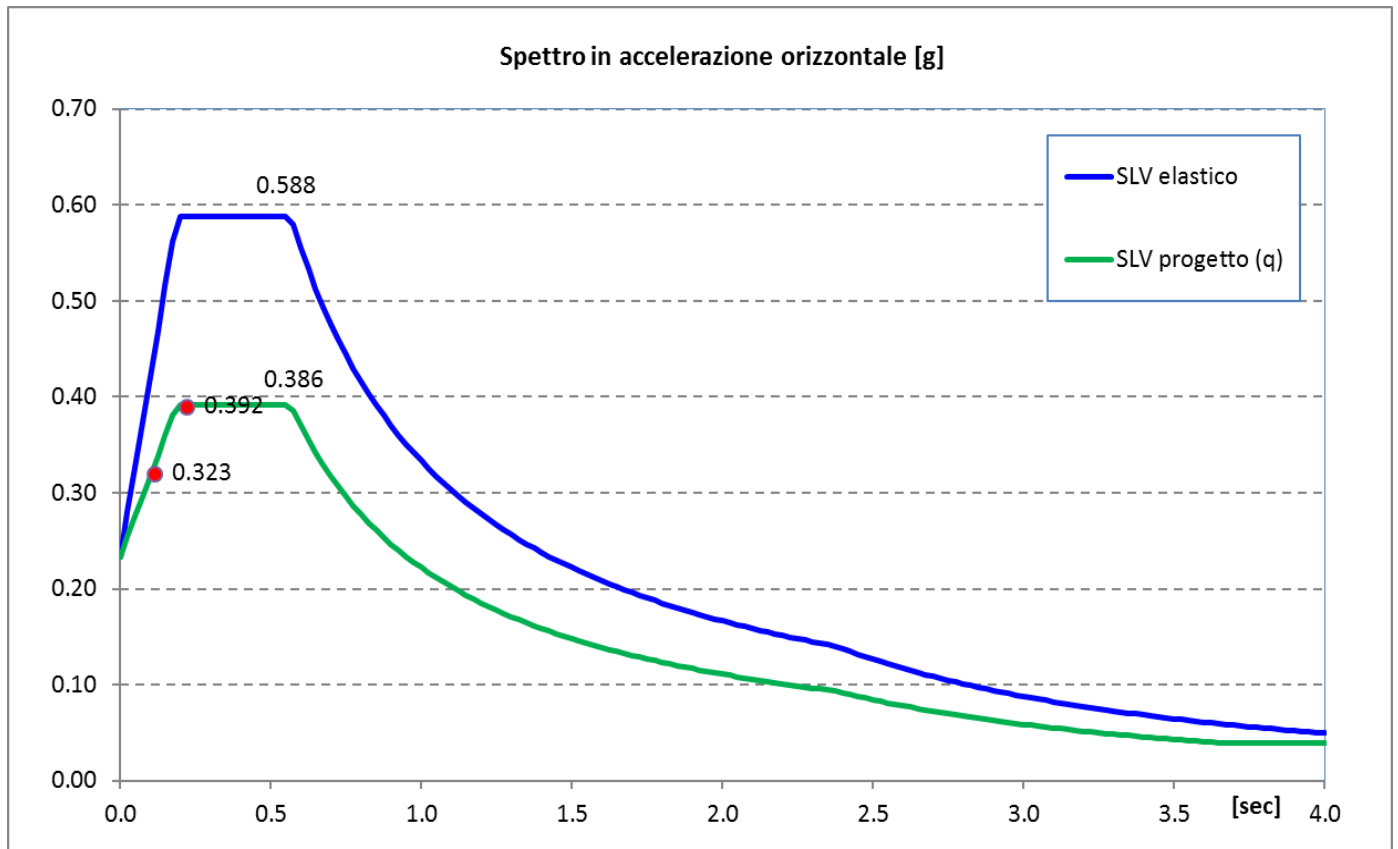
Dir. trasversale

ltrasv	69.8	mm ⁴
Wtrasv	14913	ton
Mtrasv	1520	ton
Lvtrasv	11.0	m
Ktrasv	5.3E+06	kN/m
Tlong	0.106	sec
Sdtrasv	0.323	g

Ftrasv **4810** kN

  	ITINERARIO NAPOLI – BARI RADDOPPIO TRATTA CANCELLO – BENEVENTO I° LOTTO FUNZIONALE CANCELLO - FRASSO TELESINO E VARIANTE ALLA LINEA ROMA-NAPOLI VIA CASSINO NEL COMUNE DI MADDALONI – PROGETTO ESECUTIVO												
Pila 04: Relazione di calcolo	<table border="1"> <thead> <tr> <th>COMMESSA</th> <th>LOTTO</th> <th>CODIFICA</th> <th>DOCUMENTO</th> <th>REV.</th> <th>FOGLIO</th> </tr> </thead> <tbody> <tr> <td>IF1N</td> <td>01 E ZZ</td> <td>CL</td> <td>VI0605 004</td> <td>B</td> <td>108 di 137</td> </tr> </tbody> </table>	COMMESSA	LOTTO	CODIFICA	DOCUMENTO	REV.	FOGLIO	IF1N	01 E ZZ	CL	VI0605 004	B	108 di 137
COMMESSA	LOTTO	CODIFICA	DOCUMENTO	REV.	FOGLIO								
IF1N	01 E ZZ	CL	VI0605 004	B	108 di 137								

Nel seguente diagramma sono evidenziate le coordinate spettrali SLV corrispondenti ai valori dei periodi T_{long} [sec] e T_{trasv} [sec] calcolati in precedenza.



  	ITINERARIO NAPOLI – BARI RADDOPPIO TRATTA CANCELLO – BENEVENTO I° LOTTO FUNZIONALE CANCELLO - FRASSO TELESINO E VARIANTE ALLA LINEA ROMA-NAPOLI VIA CASSINO NEL COMUNE DI MADDALONI – PROGETTO ESECUTIVO												
Pila 04: Relazione di calcolo	<table border="1"> <tr> <td>COMMESSA</td> <td>LOTTO</td> <td>CODIFICA</td> <td>DOCUMENTO</td> <td>REV.</td> <td>FOGLIO</td> </tr> <tr> <td>IF1N</td> <td>01 E ZZ</td> <td>CL</td> <td>VI0605 004</td> <td>B</td> <td>109 di 137</td> </tr> </table>	COMMESSA	LOTTO	CODIFICA	DOCUMENTO	REV.	FOGLIO	IF1N	01 E ZZ	CL	VI0605 004	B	109 di 137
COMMESSA	LOTTO	CODIFICA	DOCUMENTO	REV.	FOGLIO								
IF1N	01 E ZZ	CL	VI0605 004	B	109 di 137								

Il §7.9.3 [1] raccomanda di assumere un'eccentricità accidentale nel posizionamento delle masse sismiche riferite all'impalcato, pari a 0,03 volte la dimensione dell'impalcato stesso misurata perpendicolarmente alla direzione dell'azione sismica.

Per la pila in oggetto si avrebbe:

§7.9.3 [1] - Eccentricità accidentale nel posizionamento delle masse sismiche

	<u>IMP. SX</u>		<u>IMP. DX</u>	
b =	13.7	m	13.7	m
L =	25.0	m	25.0	m
Sisma long (X): $e_y = 0,03 \cdot b =$	0.411	m	0.411	m
Sisma trasv (Y): $e_x = 0,03 \cdot L =$	0.75	m	0.75	m

  	ITINERARIO NAPOLI – BARI RADDOPPIO TRATTA CANCELLO – BENEVENTO I° LOTTO FUNZIONALE CANCELLO - FRASSO TELESINO E VARIANTE ALLA LINEA ROMA-NAPOLI VIA CASSINO NEL COMUNE DI MADDALONI – PROGETTO ESECUTIVO												
Pila 04: Relazione di calcolo	<table border="1"> <tr> <td>COMMESSA</td> <td>LOTTO</td> <td>CODIFICA</td> <td>DOCUMENTO</td> <td>REV.</td> <td>FOGLIO</td> </tr> <tr> <td>IF1N</td> <td>01 E ZZ</td> <td>CL</td> <td>VI0605 004</td> <td>B</td> <td>111 di 137</td> </tr> </table>	COMMESSA	LOTTO	CODIFICA	DOCUMENTO	REV.	FOGLIO	IF1N	01 E ZZ	CL	VI0605 004	B	111 di 137
COMMESSA	LOTTO	CODIFICA	DOCUMENTO	REV.	FOGLIO								
IF1N	01 E ZZ	CL	VI0605 004	B	111 di 137								

Q43	Disposizione 3 (massimizza M1)	0	50	0	-164	0	0
Q44	Disposizione 4 (massimizza M1)	0	55	0	-180	0	0
Q45	Disposizione 5 (massimizza N+M2)	0	105	0	-344	0	0
Q46	Disposizione 6 (massimizza N)	0	105	0	-344	0	0
Q47	Disposizione 7 (minimizza N)	0	0	0	0	0	0
Q5 - Variabili							
Q51	Vento	0	419	0	-2351	0	0
Q6 - Azioni indirette							
Q61	Attrito su vincoli	0	0	0	0	0	0
Q7 - Effetti d'interazione							
Q71	Variazioni termiche	0	0	0	0	0	0
E - Azioni sismiche							
E1	Sisma x	0	0	0	0	0	0
E2	Sisma y	0	2405	0	-5002	0	1804
E3	Sisma z	0	0	-1892	-777	1419	0

  	ITINERARIO NAPOLI – BARI RADDOPPIO TRATTA CANCELLO – BENEVENTO I° LOTTO FUNZIONALE CANCELLO - FRASSO TELESINO E VARIANTE ALLA LINEA ROMA-NAPOLI VIA CASSINO NEL COMUNE DI MADDALONI – PROGETTO ESECUTIVO
Pila 04: Relazione di calcolo	COMMESSA LOTTO CODIFICA DOCUMENTO REV. FOGLIO IF1N 01 E ZZ CL VI0605 004 B 112 di 137

8.3.1.2 SCARICHI IMPALCATO DX RISPETTO A BARICENTRO APPOGGI:

IMPALCATO 4 CASSONCINI DA 25 m							
SCARICHI IMPALCATO DX RISPETTO A BARICENTRO APPOGGI							
C.C.E.	Descrizione	F1	F2	F3	M1	M2	M3
		kN	kN	kN	kNm	kNm	kNm
G - Permanenti							
G1	Pesi propri	0	0	-3303	0	0	0
G2	Ballast	0	0	-1750	0	0	0
G2	Permanenti non strutturali	0	0	-774	0	0	0
Q1 - Variabili verticali							
Q11	Disposizione 1 (massimizza N)	0	0	-2876	-402	0	0
Q12	Disposizione 2 (massimizza M2)	0	0	-3559	-518	0	0
Q13	Disposizione 3 (massimizza M1)	0	0	-1511	-3022	0	0
Q14	Disposizione 4 (massimizza M1)	0	0	-1365	-2839	0	0
Q15	Disposizione 5 (massimizza N+M2)	0	0	-3559	-518	0	0
Q16	Disposizione 6 (massimizza N)	0	0	-2730	-109	0	0
Q17	Disposizione 7 (minimizza N)	0	0	-2977	-1634	0	0
Q2 - Avviamento e frenatura							
Q21	Disposizione 1 (massimizza N)	1835	0	0	0	0	0
Q22	Disposizione 2 (massimizza M2)	2154	0	0	0	0	0
Q23	Disposizione 3 (massimizza M1)	819	0	0	0	0	0
Q24	Disposizione 4 (massimizza M1)	1016	0	0	0	0	0
Q25	Disposizione 5 (massimizza N+M2)	2154	0	0	0	0	0
Q26	Disposizione 6 (massimizza N)	1995	0	0	0	0	0
Q27	Disposizione 7 (minimizza N)	2154	0	0	0	0	0
Q3 - Centrifuga							
Q31	Disposizione 1 (massimizza N)	0	238	0	-1209	0	0
Q32	Disposizione 2 (massimizza M2)	0	294	0	-1494	0	0
Q33	Disposizione 3 (massimizza M1)	0	79	0	-403	0	0
Q34	Disposizione 4 (massimizza M1)	0	159	0	-806	0	0
Q35	Disposizione 5 (massimizza N+M2)	0	294	0	-1494	0	0
Q36	Disposizione 6 (massimizza N)	0	230	0	-1170	0	0
Q37	Disposizione 7 (minimizza N)	0	226	0	-1151	0	0
Q4 - Serpeggio							
Q41	Disposizione 1 (massimizza N)	0	105	0	-344	0	0
Q42	Disposizione 2 (massimizza M2)	0	210	0	-689	0	0
Q43	Disposizione 3 (massimizza M1)	0	50	0	-164	0	0
Q44	Disposizione 4 (massimizza M1)	0	55	0	-180	0	0
Q45	Disposizione 5 (massimizza N+M2)	0	105	0	-344	0	0
Q46	Disposizione 6 (massimizza N)	0	105	0	-344	0	0

  	ITINERARIO NAPOLI – BARI RADDOPPIO TRATTA CANCELLO – BENEVENTO I° LOTTO FUNZIONALE CANCELLO - FRASSO TELESINO E VARIANTE ALLA LINEA ROMA-NAPOLI VIA CASSINO NEL COMUNE DI MADDALONI – PROGETTO ESECUTIVO												
Pila 04: Relazione di calcolo	<table border="1"> <tr> <td>COMMESSA</td> <td>LOTTO</td> <td>CODIFICA</td> <td>DOCUMENTO</td> <td>REV.</td> <td>FOGLIO</td> </tr> <tr> <td>IF1N</td> <td>01 E ZZ</td> <td>CL</td> <td>VI0605 004</td> <td>B</td> <td>113 di 137</td> </tr> </table>	COMMESSA	LOTTO	CODIFICA	DOCUMENTO	REV.	FOGLIO	IF1N	01 E ZZ	CL	VI0605 004	B	113 di 137
COMMESSA	LOTTO	CODIFICA	DOCUMENTO	REV.	FOGLIO								
IF1N	01 E ZZ	CL	VI0605 004	B	113 di 137								

Q47	Disposizione 7 (minimizza N)	0	210	0	-689	0	0
Q5 - Variabili							
Q51	Vento	0	419	0	-2351	0	0
Q6 - Azioni indirette							
Q61	Attrito su vincoli	283	0	0	0	0	0
Q7 - Effetti d'interazione							
Q71	Variazioni termiche	280	0	0	0	0	0
E - Azioni sismiche							
E1	Sisma x	5848	0	0	0	0	2403
E2	Sisma y	0	2405	0	-5002	0	1804
E3	Sisma z	0	0	-1892	-777	1419	0

  	ITINERARIO NAPOLI – BARI RADDOPPIO TRATTA CANCELLO – BENEVENTO I° LOTTO FUNZIONALE CANCELLO - FRASSO TELESINO E VARIANTE ALLA LINEA ROMA-NAPOLI VIA CASSINO NEL COMUNE DI MADDALONI – PROGETTO ESECUTIVO												
Pila 04: Relazione di calcolo	<table border="1"> <thead> <tr> <th>COMMESSA</th> <th>LOTTO</th> <th>CODIFICA</th> <th>DOCUMENTO</th> <th>REV.</th> <th>FOGLIO</th> </tr> </thead> <tbody> <tr> <td>IF1N</td> <td>01 E ZZ</td> <td>CL</td> <td>VI0605 004</td> <td>B</td> <td>114 di 137</td> </tr> </tbody> </table>	COMMESSA	LOTTO	CODIFICA	DOCUMENTO	REV.	FOGLIO	IF1N	01 E ZZ	CL	VI0605 004	B	114 di 137
COMMESSA	LOTTO	CODIFICA	DOCUMENTO	REV.	FOGLIO								
IF1N	01 E ZZ	CL	VI0605 004	B	114 di 137								

8.4 SOLLECITAZIONI DI CALCOLO

8.4.1 SOLLECITAZIONI ALLA BASE DEL FUSTO PILA

Le sollecitazioni di calcolo riferite alla sezione di base del fusto della pila avente maggiore altezza tra quelle prese in considerazione nella presente relazione, sono riportate in forma completa nel secondo allegato alla presente relazione.

Le sollecitazioni di calcolo ottenute in condizione sismica per le strutture in elevazione devono essere ulteriormente elaborate per tener conto delle indicazioni del §7.9 [1] e dei principi della gerarchia delle resistenze.

8.4.1.1 SOLLECITAZIONI FLETTENTI IN ZONA CRITICA

Secondo le indicazioni del §7.9.4 [1] nelle zone critiche, gli effetti delle non linearità geometriche possono essere tenute in conto mediante l'espressione semplificata:

$$\Delta M = d_{Ed} \cdot N_{Ed}$$

con d_{Ed} valutato secondo il §7.3.3.3, ossia pari a $\mu_d \cdot d_{Ee}$ dove:

d_{Ee} è lo spostamento derivante dall'analisi lineare

$$\mu_d = q \quad \text{per } T_1 \geq T_C$$

$$\mu_d = 1 + (q - 1) \cdot T_C / T_1 \quad \text{per } T_1 < T_C \quad \text{in ogni caso } \mu_d \leq 5 \cdot q - 4$$

Per il caso in esame si ha:

d_{Ee_long}	4.4 mm	d_{Ee_trasv}	0.9 mm
μ_{d_long}	2.34	μ_{d_trasv}	3.50
d_{Ed_long}	10.2 mm	d_{Ed_trasv}	3.2 mm

8.4.1.2 SOLLECITAZIONI FLETTENTI FUORI DALLA ZONA CRITICA

Il §7.9.5.1 [1] definisce il fattore di "sovreresistenza" γ_{Rd} che viene calcolato mediante l'espressione:

$$\gamma_{Rd} = 0.7 + 0.2 q \geq 1$$

nella quale q è il fattore di struttura utilizzato nei calcoli.

Nel caso in cui la compressione normalizzata $v_k = N_{Ed} / (A_c \cdot f_{ck})$ (rif. §7.9.2.1 delle NTC2008 [1]), ecceda il valore 0,1 tale fattore deve essere moltiplicato per $f = 1 + 2 \cdot (v_k - 0,1)^2$.

  	ITINERARIO NAPOLI – BARI RADDOPPIO TRATTA CANCELLO – BENEVENTO I° LOTTO FUNZIONALE CANCELLO - FRASSO TELESINO E VARIANTE ALLA LINEA ROMA-NAPOLI VIA CASSINO NEL COMUNE DI MADDALONI – PROGETTO ESECUTIVO												
Pila 04: Relazione di calcolo	<table border="1"> <thead> <tr> <th>COMMESSA</th> <th>LOTTO</th> <th>CODIFICA</th> <th>DOCUMENTO</th> <th>REV.</th> <th>FOGLIO</th> </tr> </thead> <tbody> <tr> <td>IF1N</td> <td>01 E ZZ</td> <td>CL</td> <td>VI0605 004</td> <td>B</td> <td>115 di 137</td> </tr> </tbody> </table>	COMMESSA	LOTTO	CODIFICA	DOCUMENTO	REV.	FOGLIO	IF1N	01 E ZZ	CL	VI0605 004	B	115 di 137
COMMESSA	LOTTO	CODIFICA	DOCUMENTO	REV.	FOGLIO								
IF1N	01 E ZZ	CL	VI0605 004	B	115 di 137								

Nel caso in esame il fattore γ_{Rd} assume il valore:

Dir. Longitudinale:

qlong	1.50
NEd	17325 kN
fck	32 Mpa
vk	0.05
f	1.005
γ_{Rd}	1.00

Dir. Trasversale:

qtrav	1.50
NEd	17325 kN
fck	32 Mpa
vk	0.05
f	1.005
γ_{Rd}	1.00

Definite “zone di cerniera plastica” o “zone critiche” le zone dove si progetta di localizzare le plasticizzazioni che conferiranno la duttilità richiesta alla struttura soggetta all’evento sismico, nel caso delle pile tali zone si identificano come la zona compresa tra la sezione di incastro alla base e la sezione posta ad una distanza L_h dall’incastro, dove L_h assume il massimo tra i seguenti valori (rif §7.9.6.2):

- la profondità della sezione in direzione ortogonale all’asse di rotazione delle cerniere;
- la distanza tra la sezione di momento massimo e la sezione in cui il momento si riduce del 20%.

Nelle sezioni comprese nella zona critica deve risultare:

$$M_{Ed} \leq M_{Rd}$$

Nelle sezioni al di fuori della zona critica tenendo conto del criterio della gerarchia delle resistenze deve risultare:

$$M_{gr} \leq M_{Rd}$$

I valori di M_{gr} lungo lo sviluppo dell’elemento si ottengono scalando il diagramma delle sollecitazioni flettenti ponendo nella sezione critica un momento agente pari a $\gamma_{Rd} \cdot M_{Rd}$.

Nel caso in esame si ha una altezza della zona critica pari alla dimensione della sezione in direzione longitudinale:

$$L_h \text{ zona critica} = 2.60 \quad \text{m}$$

8.4.1.3 SOLLECITAZIONI DI TAGLIO

Le sollecitazioni di taglio si ottengono con il criterio della gerarchia delle resistenze, il quale conduce ad adottare come sollecitazione di calcolo:

$$V_{gr} = V_{Ed} \cdot \gamma_{Rd} \cdot M_{Rd}/M_{Ed} \leq q \cdot V_{Ed}$$

  	ITINERARIO NAPOLI – BARI RADDOPPIO TRATTA CANCELLO – BENEVENTO I° LOTTO FUNZIONALE CANCELLO - FRASSO TELESINO E VARIANTE ALLA LINEA ROMA-NAPOLI VIA CASSINO NEL COMUNE DI MADDALONI – PROGETTO ESECUTIVO												
Pila 04: Relazione di calcolo	<table border="1"> <thead> <tr> <th>COMMESSA</th> <th>LOTTO</th> <th>CODIFICA</th> <th>DOCUMENTO</th> <th>REV.</th> <th>FOGLIO</th> </tr> </thead> <tbody> <tr> <td>IF1N</td> <td>01 E ZZ</td> <td>CL</td> <td>VI0605 004</td> <td>B</td> <td>116 di 137</td> </tr> </tbody> </table>	COMMESSA	LOTTO	CODIFICA	DOCUMENTO	REV.	FOGLIO	IF1N	01 E ZZ	CL	VI0605 004	B	116 di 137
COMMESSA	LOTTO	CODIFICA	DOCUMENTO	REV.	FOGLIO								
IF1N	01 E ZZ	CL	VI0605 004	B	116 di 137								

I valori di resistenza a taglio degli elementi in c.a. devono inoltre essere divisi per un coefficiente di sicurezza aggiuntivo nei confronti della rottura fragile γ_{Bd} valutato mediante la seguente espressione:

$$1 \leq \gamma_{Bd} = 1.25 + 1 - q \cdot V_{Ed}/V_{gr} \leq 1.25$$

La valutazione delle sollecitazioni di taglio da GR viene condotto nei paragrafi successivi relativi alle verifiche a taglio, a fronte dei valori resistenti ottenuti dalle successive verifiche a pressoflessione.

  	ITINERARIO NAPOLI – BARI RADDOPPIO TRATTA CANCELLO – BENEVENTO I° LOTTO FUNZIONALE CANCELLO - FRASSO TELESINO E VARIANTE ALLA LINEA ROMA-NAPOLI VIA CASSINO NEL COMUNE DI MADDALONI – PROGETTO ESECUTIVO												
Pila 04: Relazione di calcolo	<table border="1"> <thead> <tr> <th>COMMESSA</th> <th>LOTTO</th> <th>CODIFICA</th> <th>DOCUMENTO</th> <th>REV.</th> <th>FOGLIO</th> </tr> </thead> <tbody> <tr> <td>IF1N</td> <td>01 E ZZ</td> <td>CL</td> <td>VI0605 004</td> <td>B</td> <td>117 di 137</td> </tr> </tbody> </table>	COMMESSA	LOTTO	CODIFICA	DOCUMENTO	REV.	FOGLIO	IF1N	01 E ZZ	CL	VI0605 004	B	117 di 137
COMMESSA	LOTTO	CODIFICA	DOCUMENTO	REV.	FOGLIO								
IF1N	01 E ZZ	CL	VI0605 004	B	117 di 137								

8.4.2 SOLLECITAZIONI ALL'INTRADOSSO DEL PLINTO DI FONDAZIONE

Le sollecitazioni di calcolo relative alle combinazioni sismiche devono essere elaborate per tener conto delle indicazioni del §7.2.5[1]. Per gli elementi di fondazione il criterio della gerarchia delle resistenze si applica incrementando le azioni derivanti dagli elementi soprastanti di un fattore γ_{Rd} pari a 1.1.

(In accordo con quanto prescritto nel §7.2.5 [1], per le strutture progettate in CD"B", il dimensionamento delle strutture di fondazione deve essere eseguito per valori di taglio e momento flettente pari ai valori resistenti degli elementi soprastanti. Tali valori hanno come limite superiore le sollecitazioni derivanti dalle analisi amplificate con un γ_{Rd} pari a 1,1 in CD"B" e comunque non maggiori di quelle derivanti da un'analisi elastica della struttura eseguita con q pari a 1. A tal proposito per semplificazione e favore di sicurezza si assumono come valori di calcolo le sollecitazioni derivanti dall'analisi incrementate del coefficiente γ_{Rd} pari a 1,1).

Rispetto alle sollecitazioni calcolate alla sezione di base del fusto pila, le sollecitazioni riportate all'intradosso del plinto di fondazione sono incrementate dei seguenti contributi:

- P_{pl} peso proprio del plinto di fondazione [kN]
- P_{terr} peso proprio del terreno di ricoprimento presente all'estradosso del plinto [kN]
- $I_{pl,hor}$ forza di inerzia associata alla massa del plinto sul piano orizzontale ($I_{pl,hor} = P_{pl} * PGA$) [kN]
- $I_{pl,vert}$ forza di inerzia associata alla massa del plinto in direzione verticale ($I_{pl,vert} = P_{pl} * a_{gv}$) [kN]

Nel secondo allegato alla presente relazione si riportano (in forma di tabelle) le sollecitazioni di calcolo riferite all'intradosso del plinto di fondazione. In particolare, tali valori sono riferiti alla fondazione della pila avente altezza maggiore all'interno del gruppo di sottostrutture preso in considerazione nella presente relazione.

8.4.1 SOLLECITAZIONI DISTRIBUITE IN TESTA AI PALI DI FONDAZIONE

Le caratteristiche di sollecitazione sul singolo palo sono state determinate a partire dalle sollecitazioni riportate all'intradosso del plinto di fondazione, secondo le seguenti relazioni (*distribuzione rigida delle sollecitazioni*):

$$N_{max} = F_3 / n_{pali} + ass(M_1) / W_{1palificata} + ass(M_2) / W_{2palificata}$$

$$N_{min} = F_3 / n_{pali} - ass(M_1) / W_{1palificata} - ass(M_2) / W_{2palificata}$$

$$H = \sqrt{((F_1 / n_{pali})^2 + (F_2 / n_{pali})^2)}$$

I valori del taglio sul palo così ottenuti, compresi quelli relativi alle combinazioni non sismiche, vengono inoltre ulteriormente incrementati di un fattore pari a 1,1 per tenere conto dell'effetto gruppo.

Nel secondo allegato alla presente relazione si riportano (in forma di tabelle) le sollecitazioni di calcolo distribuite in testa ai pali di fondazione. In particolare, tali valori sono riferiti alla fondazione della pila avente altezza maggiore all'interno del gruppo di sottostrutture preso in considerazione nella presente relazione.

	ITINERARIO NAPOLI – BARI RADDOPPIO TRATTA CANCELLO – BENEVENTO 1° LOTTO FUNZIONALE CANCELLO - FRASSO TELESINO E VARIANTE ALLA LINEA ROMA-NAPOLI VIA CASSINO NEL COMUNE DI MADDALONI – PROGETTO ESECUTIVO												
Pila 04: Relazione di calcolo	<table border="1"> <thead> <tr> <th>COMMESSA</th> <th>LOTTO</th> <th>CODIFICA</th> <th>DOCUMENTO</th> <th>REV.</th> <th>FOGLIO</th> </tr> </thead> <tbody> <tr> <td>IF1N</td> <td>01 E ZZ</td> <td>CL</td> <td>VI0605 004</td> <td>B</td> <td>118 di 137</td> </tr> </tbody> </table>	COMMESSA	LOTTO	CODIFICA	DOCUMENTO	REV.	FOGLIO	IF1N	01 E ZZ	CL	VI0605 004	B	118 di 137
COMMESSA	LOTTO	CODIFICA	DOCUMENTO	REV.	FOGLIO								
IF1N	01 E ZZ	CL	VI0605 004	B	118 di 137								

9 VERIFICHE STRUTTURALI DEL FUSTO PILA

9.1 GEOMETRIA DELLA SEZIONE DI VERIFICA E ARMATURA

Si riporta a seguire una figura che illustra la geometria della sezione di verifica, nella quale è rappresentata un'armatura tipologica.

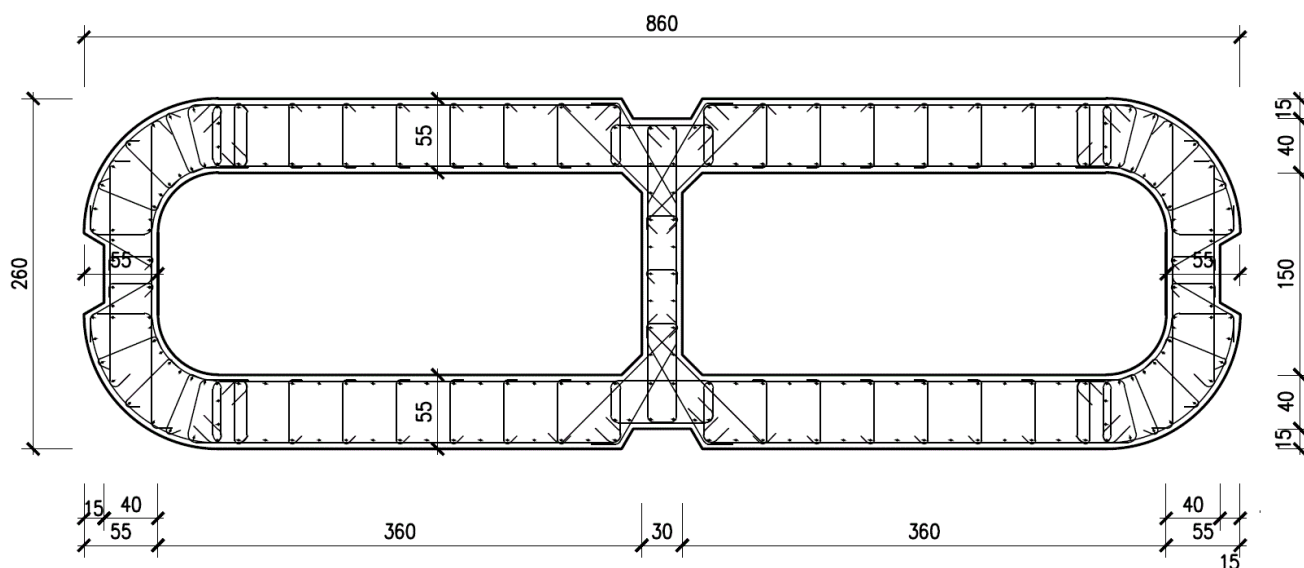


Figura 42 – Geometria della sezione trasversale della pila [cm]

9.1.1 ARMATURA LONGITUDINALE

A seguire è indicata l'armatura flessionale prevista nella sezione di base del fusto pila, in termini di numero di barre presenti nello strato esterno (1° str.) e nello strato interno (2° str.) e loro diametro f_i [mm].

n barre (1° str.)	124
f_i barre (1° str.)	26
n barre (2° str.)	122
f_i barre (2° str.)	26

9.1.2 ARMATURA TRASVERSALE

A seguire è indicata l'armatura a taglio prevista nella sezione di base del fusto pila, all'interno della zona critica.

  	ITINERARIO NAPOLI – BARI RADDOPPIO TRATTA CANCELLO – BENEVENTO I° LOTTO FUNZIONALE CANCELLO - FRASSO TELESINO E VARIANTE ALLA LINEA ROMA-NAPOLI VIA CASSINO NEL COMUNE DI MADDALONI – PROGETTO ESECUTIVO												
Pila 04: Relazione di calcolo	<table border="1"> <tr> <td>COMMESSA</td> <td>LOTTO</td> <td>CODIFICA</td> <td>DOCUMENTO</td> <td>REV.</td> <td>FOGLIO</td> </tr> <tr> <td>IF1N</td> <td>01 E ZZ</td> <td>CL</td> <td>VI0605 004</td> <td>B</td> <td>119 di 137</td> </tr> </table>	COMMESSA	LOTTO	CODIFICA	DOCUMENTO	REV.	FOGLIO	IF1N	01 E ZZ	CL	VI0605 004	B	119 di 137
COMMESSA	LOTTO	CODIFICA	DOCUMENTO	REV.	FOGLIO								
IF1N	01 E ZZ	CL	VI0605 004	B	119 di 137								

Direzione longitudinale

Staffe:		Spille:		Spille:	
$\varnothing w$	16 mm	$\varnothing w$	8 mm	$\varnothing w$	16 mm
A1b	200.96 mm ²	A1b	50.24 mm ²	A1b	200.96 mm ²
passo	100 mm	passo	100 mm	passo	100 mm
bracci	6	bracci	16	bracci	6

Direzione trasversale

Staffe:		Spille:		Spille:	
$\varnothing w$	16 mm	$\varnothing w$	8 mm	$\varnothing w$	16 mm
A1b	200.96 mm ²	A1b	50.24 mm ²	A1b	200.96 mm ²
passo	100 mm	passo	100 mm	passo	100 mm
bracci	4	bracci	6	bracci	2

9.1.3 VERIFICA DELL'ARMATURA MINIMA

Le armature del fusto pila devono soddisfare le quantità minime indicate dalla normativa e che vengono riepilogate di seguito.

Armatura minima longitudinale:

- $\rho_{\min} = 0,60 \%$ (rif. §2.2.6 [3])

Armatura minima trasversale nelle zone critiche:

Secondo le indicazioni del §7.9.6.2 [1], nelle sezioni piene, le armature di confinamento per la duttilità nelle zone critiche non devono rispettare i limiti di normativa nei seguenti casi:

- se la sollecitazione ridotta risulta $v_k \leq 0,08$;
- nel caso di sezioni a pareti sottili purché risulti $v_k \leq 0,2$, se è possibile raggiungere una duttilità in curvatura non inferiore a $\mu_c = 12$ senza che la deformazione nel conglomerato superi il valore 0,0035;
- se il fattore di struttura non supera il valore 1,5.

In caso contrario è necessario disporre le seguenti quantità minime di armatura a confinamento:

- $\omega_{wd,r} = 0,33 \cdot A_c/A_{cc} v_k - 0,07 \geq 0,12$ per sezioni rettangolari
- $\omega_{wd,c} = 1,4 \cdot \omega_{wd,r}$ per sezioni circolari

La percentuale meccanica è definita dalle espressioni:

- $\omega_{wd,r} = A_{sw}/(s \cdot b) \cdot f_{yd}/f_{cd}$ per sezioni rettangolari
- $\omega_{wd,c} = 4 A_{sp}/(D_{sp} \cdot s) \cdot f_{yd}/f_{cd}$ per sezioni circolari

  	ITINERARIO NAPOLI – BARI RADDOPPIO TRATTA CANCELLO – BENEVENTO I° LOTTO FUNZIONALE CANCELLO - FRASSO TELESINO E VARIANTE ALLA LINEA ROMA-NAPOLI VIA CASSINO NEL COMUNE DI MADDALONI – PROGETTO ESECUTIVO												
Pila 04: Relazione di calcolo	<table border="1"> <thead> <tr> <th>COMMESSA</th> <th>LOTTO</th> <th>CODIFICA</th> <th>DOCUMENTO</th> <th>REV.</th> <th>FOGLIO</th> </tr> </thead> <tbody> <tr> <td>IF1N</td> <td>01 E ZZ</td> <td>CL</td> <td>VI0605 004</td> <td>B</td> <td>120 di 137</td> </tr> </tbody> </table>	COMMESSA	LOTTO	CODIFICA	DOCUMENTO	REV.	FOGLIO	IF1N	01 E ZZ	CL	VI0605 004	B	120 di 137
COMMESSA	LOTTO	CODIFICA	DOCUMENTO	REV.	FOGLIO								
IF1N	01 E ZZ	CL	VI0605 004	B	120 di 137								

Secondo le indicazioni del §2.2.6 [3] invece deve verificarsi:

- $A_{sw}/(s \cdot b) \cdot f_{yd}/f_{cd} \geq \zeta$ per sezioni rettangolari
- $\rho_w \cdot f_{yd}/f_{cd} \geq 1,40 \cdot \zeta$ per sezioni circolari

con:

$\rho_w = V_{sc}/V_{cc}$ rapporto tra il volume complessivo delle armature di confinamento V_{sc} e volume di calcestruzzo confinato V_{cc} ;

$\zeta = 0,07$ per $a_g \geq 0,35 g$;

$\zeta = 0,05$ per $a_g \geq 0,25 g$;

$\zeta = 0,04$ per $a_g \geq 0,15 g$;

$\zeta = 0,03$ per $a_g < 0,15 g$.

  	ITINERARIO NAPOLI – BARI RADDOPPIO TRATTA CANCELLO – BENEVENTO I° LOTTO FUNZIONALE CANCELLO - FRASSO TELESINO E VARIANTE ALLA LINEA ROMA-NAPOLI VIA CASSINO NEL COMUNE DI MADDALONI – PROGETTO ESECUTIVO												
Pila 04: Relazione di calcolo	<table border="1"> <thead> <tr> <th>COMMESSA</th> <th>LOTTO</th> <th>CODIFICA</th> <th>DOCUMENTO</th> <th>REV.</th> <th>FOGLIO</th> </tr> </thead> <tbody> <tr> <td>IF1N</td> <td>01 E ZZ</td> <td>CL</td> <td>VI0605 004</td> <td>B</td> <td>121 di 137</td> </tr> </tbody> </table>	COMMESSA	LOTTO	CODIFICA	DOCUMENTO	REV.	FOGLIO	IF1N	01 E ZZ	CL	VI0605 004	B	121 di 137
COMMESSA	LOTTO	CODIFICA	DOCUMENTO	REV.	FOGLIO								
IF1N	01 E ZZ	CL	VI0605 004	B	121 di 137								

Verifica armatura minima longitudinale secondo §2.2.6 [3]

$\rho_{min} =$	0.60%	
$A_c =$	10425000	mm ²
$A_{s,min} =$	62550	mm ²
n barre (1° str.)	124	
f _i barre (1° str.)	26	
n barre (2° str.)	122	
f _i barre (2° str.)	26	
A_s	130542	mm ²
ρ	1.25%	<i>requisito soddisfatto</i>

Verifica armatura minima trasversale secondo §2.2.6 [3]

$a_g =$	0.194	g
$\zeta =$	0.04	
$\omega_{wd,r min} =$	0.04	

Armatura in dir. longitudinale

$A_{sw/s staffe} =$	0.0121	m ² /m
$A_{sw/s spille} =$	0.0201	m ² /m
$b =$	8.60	m
$f_{yd} =$	391	MPa
$f_{cd} =$	18.13	MPa
$\omega_{wd,r} =$	0.081	<i>requisito soddisfatto</i>

Armatura in dir. trasversale

$A_{sw/s staffe} =$	0.0080	m ² /m
$A_{sw/s spille} =$	0.0070	m ² /m
$b =$	2.60	m
$f_{yd} =$	391	MPa
$f_{cd} =$	18.13	MPa
$\omega_{wd,r} =$	0.125	<i>requisito soddisfatto</i>

L'armatura longitudinale di calcolo e l'armatura trasversale di calcolo rispettano le quantità minime indicate dalla normativa.

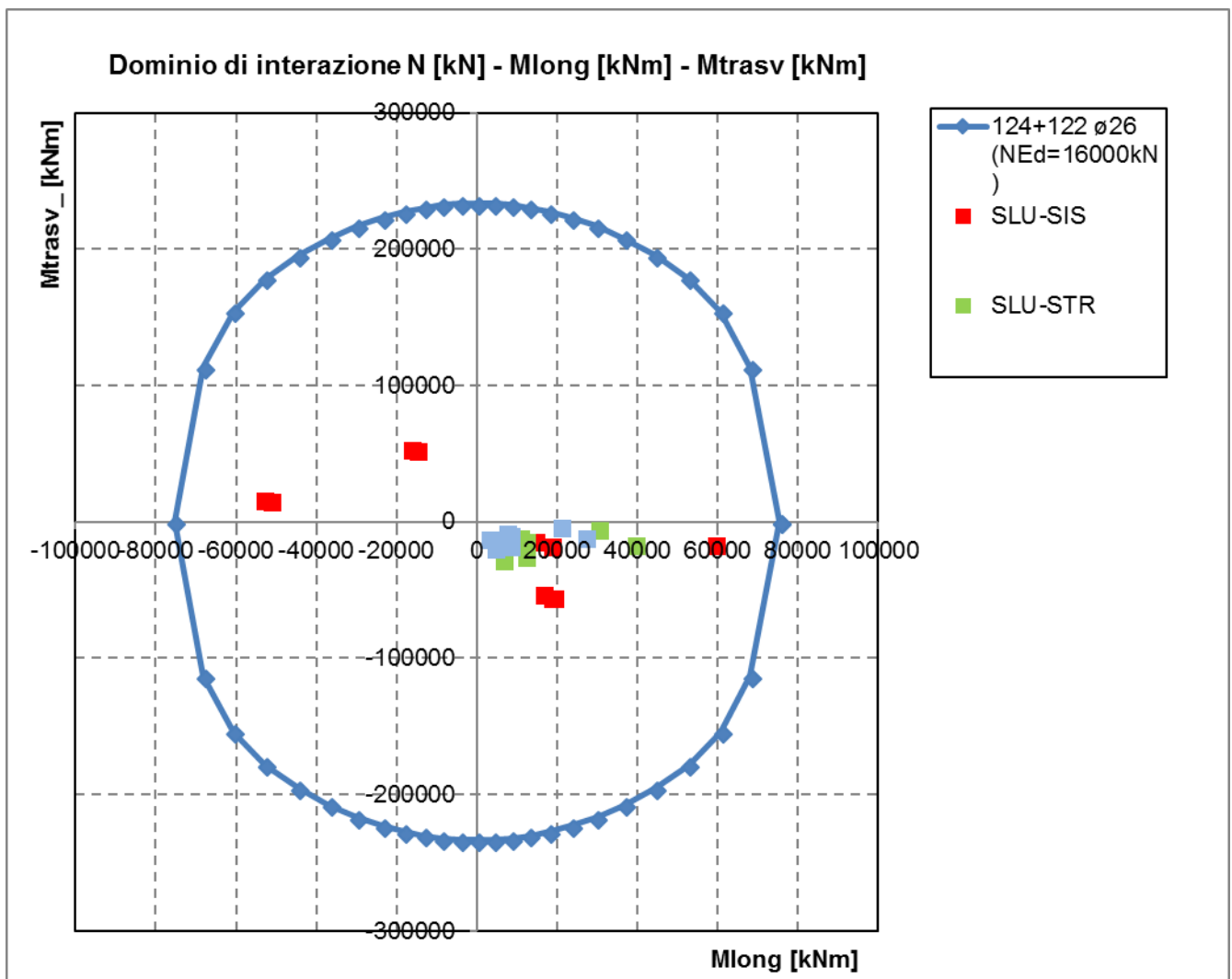
Pila 04: Relazione di calcolo

COMMESSA	LOTTO	CODIFICA	DOCUMENTO	REV.	FOGLIO
IF1N	01 E ZZ	CL	VI0605 004	B	122 di 137

9.2 VERIFICA SLU A FLESSIONE

Sono riportate a seguire le verifiche SLU della sezione di base della pila, espresse in forma sintetica mediante il diagramma di interazione M_{long} - M_{trasv} , valutato per una forza assiale corrispondente alla condizione di verifica più severa.

Le verifiche riportate a seguire sono riferite alla pila avente maggiore altezza tra quelle comprese nel gruppo di sottostrutture considerato nella presente relazione.



La verifica SLU di tipo flessionale nelle sezioni critiche si effettua verificando che:

$$FS = (M_{Rd,long}^2 + M_{Rd,trasv}^2)^{0.5} / (M_{Ed,long}^2 + M_{Ed,trasv}^2)^{0.5} \geq 1$$

  	ITINERARIO NAPOLI – BARI RADDOPPIO TRATTA CANCELLO – BENEVENTO I° LOTTO FUNZIONALE CANCELLO - FRASSO TELESINO E VARIANTE ALLA LINEA ROMA-NAPOLI VIA CASSINO NEL COMUNE DI MADDALONI – PROGETTO ESECUTIVO												
Pila 04: Relazione di calcolo	<table border="1"> <thead> <tr> <th>COMMESSA</th> <th>LOTTO</th> <th>CODIFICA</th> <th>DOCUMENTO</th> <th>REV.</th> <th>FOGLIO</th> </tr> </thead> <tbody> <tr> <td>IF1N</td> <td>01 E ZZ</td> <td>CL</td> <td>VI0605 004</td> <td>B</td> <td>123 di 137</td> </tr> </tbody> </table>	COMMESSA	LOTTO	CODIFICA	DOCUMENTO	REV.	FOGLIO	IF1N	01 E ZZ	CL	VI0605 004	B	123 di 137
COMMESSA	LOTTO	CODIFICA	DOCUMENTO	REV.	FOGLIO								
IF1N	01 E ZZ	CL	VI0605 004	B	123 di 137								

Il valore minimo del fattore di sicurezza FS è pari a

FS **1.26**

La verifica è soddisfatta, in quanto $FS > 1$.

Nel secondo allegato alla presente relazione sono riportate le verifiche in forma completa relative alla pila con altezza maggiore tra quelle appartenenti al gruppo di sottostrutture considerato nella presente relazione.

  	ITINERARIO NAPOLI – BARI RADDOPPIO TRATTA CANCELLO – BENEVENTO I° LOTTO FUNZIONALE CANCELLO - FRASSO TELESINO E VARIANTE ALLA LINEA ROMA-NAPOLI VIA CASSINO NEL COMUNE DI MADDALONI – PROGETTO ESECUTIVO												
Pila 04: Relazione di calcolo	<table border="1"> <thead> <tr> <th>COMMESSA</th> <th>LOTTO</th> <th>CODIFICA</th> <th>DOCUMENTO</th> <th>REV.</th> <th>FOGLIO</th> </tr> </thead> <tbody> <tr> <td>IF1N</td> <td>01 E ZZ</td> <td>CL</td> <td>VI0605 004</td> <td>B</td> <td>124 di 137</td> </tr> </tbody> </table>	COMMESSA	LOTTO	CODIFICA	DOCUMENTO	REV.	FOGLIO	IF1N	01 E ZZ	CL	VI0605 004	B	124 di 137
COMMESSA	LOTTO	CODIFICA	DOCUMENTO	REV.	FOGLIO								
IF1N	01 E ZZ	CL	VI0605 004	B	124 di 137								

9.3 VERIFICA SLU A TAGLIO

Nel caso di sezioni rettangolari la verifica viene effettuata distintamente per le due direzioni longitudinale e trasversale.

Nel caso si sezione circolare si esegue la verifica per un valore del taglio pari a:

$$V = \sqrt{(F1^2 + F2^2)}$$

Per quanto riguarda le combinazioni sismiche, con riferimento ai criteri della GR e a quanto precedentemente dichiarato nel §8.3.2, si procede al calcolo del taglio agente di calcolo sulla base dei risultati delle verifiche flessionali.

$$V_{gr} = V_{Ed} \cdot \gamma_{Rd} \cdot M_{Rd}/M_{Ed} \leq q \cdot V_{Ed}$$

Il valore resistente a taglio della sezione si determina secondo le indicazioni del §4.1.2.1.3.2 [1]:

$$V_{Rd} = \min(V_{Rcd}; V_{Rsd})$$

$$V_{Rcd} = 0,9 \cdot d \cdot b_w \cdot \alpha_c \cdot f_{cd}' \cdot (\text{ctg } \alpha + \text{ctg } \theta) / (1 + \text{ctg}^2 \theta)$$

$$V_{Rsd} = 0,9 \cdot d \cdot A_{sw}/s \cdot f_{yd} \cdot (\text{ctg } \alpha + \text{ctg } \theta) \cdot \sin \alpha \quad \text{in cui}$$

d altezza utile della sezione

b_w larghezza minima della sezione

A_{sw} area dell'armatura trasversale

s interasse tra due armature trasversali consecutive

θ inclinazione delle bielle di calcestruzzo

α angolo di inclinazione dell'armatura trasversale rispetto all'asse dell'elemento

f_{cd}' resistenza a compressione ridotta (pari a 0,5 f_{cd})

α_c coefficiente maggiorativo che tiene conto della compressione

Nel caso di sezione circolare, le dimensioni della sezione rettangolare equivalente da utilizzare per il calcolo della resistenza a taglio della sezione si determinano secondo le indicazioni del §7.9.5.2.2 [1]:

$$d = r + 2 \cdot r_s / \pi$$

$$b = 0,9 \cdot 2 \cdot r$$

I valori di resistenza a taglio degli elementi in c.a. devono inoltre essere divisi per un coefficiente di sicurezza aggiuntivo nei confronti della rottura fragile γ_{Bd} valutato mediante la seguente espressione:

$$1 \leq \gamma_{Bd} = 1,25 + 1 - q \cdot V_{Ed} / V_{gr} \leq 1,25$$

Si riporta a seguire in forma sintetica la verifica più severa della sezione di base del fusto della pila avente maggiore altezza tra quelle comprese nel gruppo di sottostrutture considerato nella presente relazione.

Il minimo valore del fattore di sicurezza FS = V_{Rd} / V_{Ed} è pari a

FS 1.80

La verifica è soddisfatta in quanto FS > 1.

Nel secondo allegato alla presente relazione sono riportate le verifiche in forma completa relative alla pila con altezza maggiore tra quelle appartenenti al gruppo considerato nella presente relazione.

  	ITINERARIO NAPOLI – BARI RADDOPPIO TRATTA CANCELLO – BENEVENTO I° LOTTO FUNZIONALE CANCELLO - FRASSO TELESINO E VARIANTE ALLA LINEA ROMA-NAPOLI VIA CASSINO NEL COMUNE DI MADDALONI – PROGETTO ESECUTIVO												
Pila 04: Relazione di calcolo	<table border="1"> <thead> <tr> <th>COMMESSA</th> <th>LOTTO</th> <th>CODIFICA</th> <th>DOCUMENTO</th> <th>REV.</th> <th>FOGLIO</th> </tr> </thead> <tbody> <tr> <td>IF1N</td> <td>01 E ZZ</td> <td>CL</td> <td>VI0605 004</td> <td>B</td> <td>125 di 137</td> </tr> </tbody> </table>	COMMESSA	LOTTO	CODIFICA	DOCUMENTO	REV.	FOGLIO	IF1N	01 E ZZ	CL	VI0605 004	B	125 di 137
COMMESSA	LOTTO	CODIFICA	DOCUMENTO	REV.	FOGLIO								
IF1N	01 E ZZ	CL	VI0605 004	B	125 di 137								

9.4 VERIFICA SLE TENSIONALE

La verifica SLE di tipo tensionale si effettua verificando che le massime tensioni agenti nella sezione risultino inferiori ai seguenti valori limite:

per le combinazioni SLE-RAR:

- tensione limite nel calcestruzzo: $\sigma_c = 0.55 f_{ck} = 18.3 \text{ MPa}$
- tensione limite nelle barre: $\sigma_s = 0.75 f_{yk} = 337.5 \text{ MPa}$

per le combinazioni SLE-QPE:

- tensione limite nel calcestruzzo: $\sigma_c = 0.40 f_{ck} = 13.3 \text{ MPa}$

Si riporta a seguire in forma sintetica la verifica più severa (in combinazione SLE-RAR) della sezione di base del fusto della pila avente maggiore altezza tra quelle comprese nel gruppo considerato nella presente relazione.

$$\sigma_c = -6.3 \text{ MPa}$$

$$\sigma_s = 108 \text{ MPa}$$

La verifica è soddisfatta.

Nel secondo allegato alla presente relazione sono riportate le verifiche in forma completa.

9.5 VERIFICA SLE A FESSURAZIONE

La verifica SLE a fessurazione si effettua verificando che il massimo valore di apertura delle fessure risulti inferiore ai seguenti valori limite:

per le combinazioni SLE-RAR:

- apertura fessure limite: $w_{lim} = w_1 = 0,20 \text{ mm}$

Si riporta a seguire in forma sintetica la verifica più severa (in combinazione SLE-RAR) della sezione di base del fusto della pila avente maggiore altezza tra quelle comprese nel gruppo di sottostrutture considerato nella presente relazione.

L'ampiezza massima delle fessure calcolata è pari a

$$w_k = 0.145 \text{ mm}$$

Nel secondo allegato alla presente relazione sono riportate le verifiche in forma completa.

9.6 VERIFICA DEGLI SPOSTAMENTI

Nel secondo allegato alla presente relazione sono riportate le verifiche in forma completa relative alla pila avente maggiore altezza tra quelle comprese nel gruppo di sottostrutture considerato nella presente relazione.

  	ITINERARIO NAPOLI – BARI RADDOPPIO TRATTA CANCELLO – BENEVENTO I° LOTTO FUNZIONALE CANCELLO - FRASSO TELESINO E VARIANTE ALLA LINEA ROMA-NAPOLI VIA CASSINO NEL COMUNE DI MADDALONI – PROGETTO ESECUTIVO												
Pila 04: Relazione di calcolo	<table border="1"> <thead> <tr> <th>COMMESSA</th> <th>LOTTO</th> <th>CODIFICA</th> <th>DOCUMENTO</th> <th>REV.</th> <th>FOGLIO</th> </tr> </thead> <tbody> <tr> <td>IF1N</td> <td>01 E ZZ</td> <td>CL</td> <td>VI0605 004</td> <td>B</td> <td>126 di 137</td> </tr> </tbody> </table>	COMMESSA	LOTTO	CODIFICA	DOCUMENTO	REV.	FOGLIO	IF1N	01 E ZZ	CL	VI0605 004	B	126 di 137
COMMESSA	LOTTO	CODIFICA	DOCUMENTO	REV.	FOGLIO								
IF1N	01 E ZZ	CL	VI0605 004	B	126 di 137								

10 VERIFICHE STRUTTURALI DEI PALI DI FONDAZIONE

10.1 GEOMETRIA DELLA SEZIONE DI VERIFICA E ARMATURA

Nelle tabelle seguenti sono descritte le caratteristiche geometriche della sezione di verifica dei pali di fondazione, nonché le caratteristiche di resistenza dei materiali.

<u>GEOMETRIA DELLA SEZIONE</u>		
Diametro del palo =	1500	mm
Copriferro netto c =	60	mm
Classe di resistenza calcestruzzo =	C25/30	Mpa
Classe di resistenza delle barre =	B450C	MPa

Nella seguente tabella sono descritte le caratteristiche geometriche dell'armatura flessionale e a taglio dei pali, con riferimento ad un tratto di lunghezza pari a $10 \varnothing$ dalla sezione di testa. Sono inoltre verificati i requisiti minimi in termini di armatura flessionale a taglio.

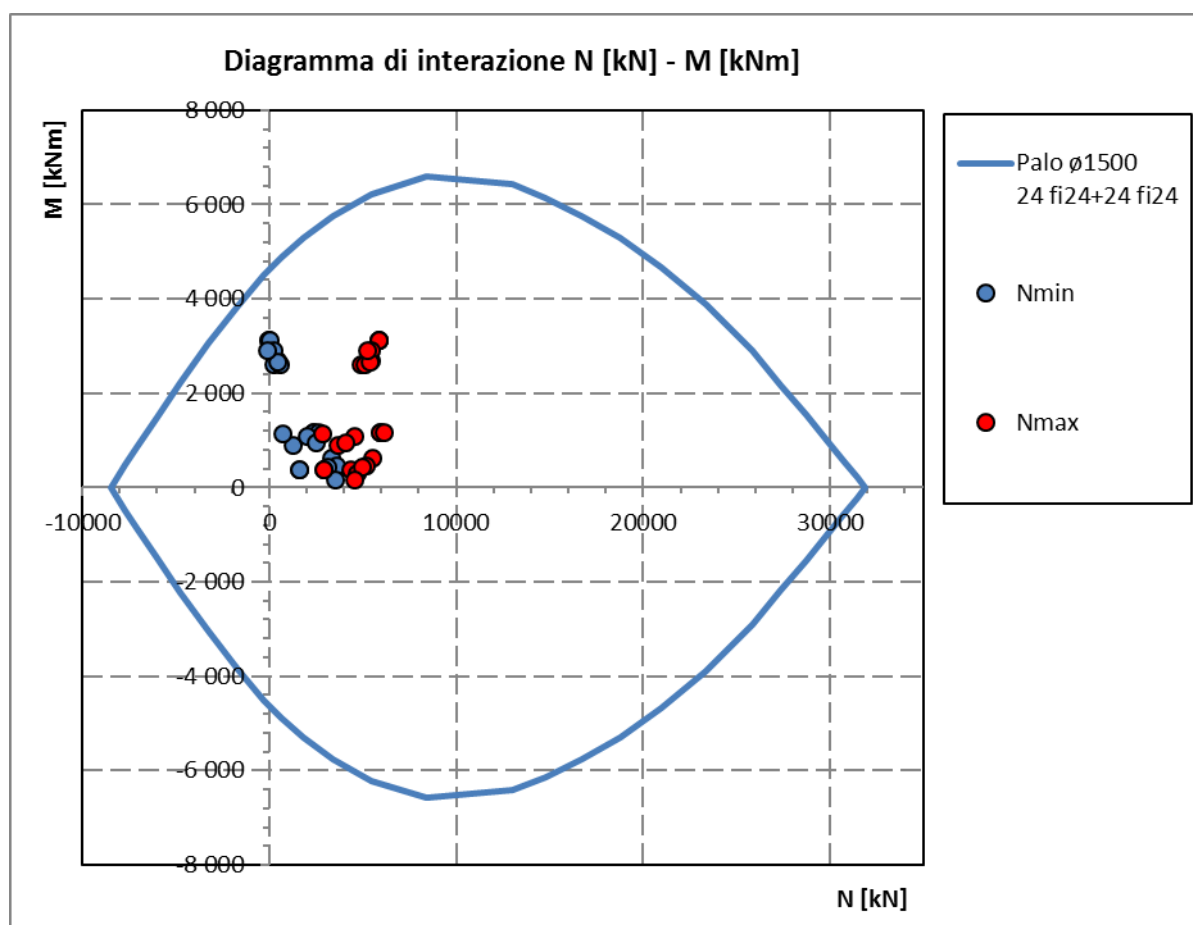
<u>ARMATURA PER I PRIMI $10 \varnothing$</u>		
<i>1° strato di armatura longitudinale</i>		
Numero barre long.	24	-
Diametro barre long.	24	mm
Copriferro baricentrico arm. long. c' =	86	mm
<i>2° strato di armatura longitudinale</i>		
Numero barre long.	24	-
Diametro barre long.	24	mm
Copriferro baricentrico arm. long. c' =	135	mm
<i>Armatura trasversale</i>		
Diametro barre trasv.	14	mm
Passo arm. trasv.	150	mm
Diametro corona esterna =	1366	mm
<u>VERIFICA ARMATURA MINIMA LONG.</u>		
ρ_{min} =	1.00%	
A_c =	1767146	mm ²
$A_{s,min}$ =	17671	mm ²
Armatura long. tot $A_{s,tot}$ =	21715	mm ²
ρ_l =	1.23%	

  	ITINERARIO NAPOLI – BARI RADDOPPIO TRATTA CANCELLO – BENEVENTO I° LOTTO FUNZIONALE CANCELLO - FRASSO TELESINO E VARIANTE ALLA LINEA ROMA-NAPOLI VIA CASSINO NEL COMUNE DI MADDALONI – PROGETTO ESECUTIVO												
Pila 04: Relazione di calcolo	<table border="1"> <thead> <tr> <th>COMMESSA</th> <th>LOTTO</th> <th>CODIFICA</th> <th>DOCUMENTO</th> <th>REV.</th> <th>FOGLIO</th> </tr> </thead> <tbody> <tr> <td>IF1N</td> <td>01 E ZZ</td> <td>CL</td> <td>VI0605 004</td> <td>B</td> <td>127 di 137</td> </tr> </tbody> </table>	COMMESSA	LOTTO	CODIFICA	DOCUMENTO	REV.	FOGLIO	IF1N	01 E ZZ	CL	VI0605 004	B	127 di 137
COMMESSA	LOTTO	CODIFICA	DOCUMENTO	REV.	FOGLIO								
IF1N	01 E ZZ	CL	VI0605 004	B	127 di 137								

10.2 VERIFICA SLU A PRESSOFLESSIONE

Sono riportate a seguire le verifiche SLU della sezione di sommità del palo maggiormente sollecitato, espresse in forma sintetica mediante il diagramma di interazione N [kN] – M [kNm].

Le verifiche riportate a seguire sono riferite alla pila avente maggiore altezza tra quelle comprese nel gruppo di sottostrutture considerato nella presente relazione.



La verifica è soddisfatta in quanto le coppie N-M delle sollecitazioni agenti nella sezione di verifica sono interne al dominio di resistenza per ogni condizione di carico indagata.

Nel secondo allegato alla presente relazione sono riportate le verifiche in forma completa relative alla pila con altezza maggiore tra quelle appartenenti al gruppo di sottostrutture considerato nella presente relazione.

  	ITINERARIO NAPOLI – BARI RADDOPPIO TRATTA CANCELLO – BENEVENTO I° LOTTO FUNZIONALE CANCELLO - FRASSO TELESINO E VARIANTE ALLA LINEA ROMA-NAPOLI VIA CASSINO NEL COMUNE DI MADDALONI – PROGETTO ESECUTIVO												
Pila 04: Relazione di calcolo	<table border="1"> <thead> <tr> <th>COMMESSA</th> <th>LOTTO</th> <th>CODIFICA</th> <th>DOCUMENTO</th> <th>REV.</th> <th>FOGLIO</th> </tr> </thead> <tbody> <tr> <td>IF1N</td> <td>01 E ZZ</td> <td>CL</td> <td>VI0605 004</td> <td>B</td> <td>128 di 137</td> </tr> </tbody> </table>	COMMESSA	LOTTO	CODIFICA	DOCUMENTO	REV.	FOGLIO	IF1N	01 E ZZ	CL	VI0605 004	B	128 di 137
COMMESSA	LOTTO	CODIFICA	DOCUMENTO	REV.	FOGLIO								
IF1N	01 E ZZ	CL	VI0605 004	B	128 di 137								

10.3 VERIFICA SLU A TAGLIO

Nel caso di sezione circolare si esegue la verifica per un valore del taglio pari a:

$$V = \sqrt{(F1^2 + F2^2)}$$

Per quanto riguarda le combinazioni sismiche, con riferimento ai criteri della GR e a quanto precedentemente dichiarato nel §8.3.2, si procede al calcolo del taglio agente di calcolo sulla base dei risultati delle verifiche flessionali.

$$V_{gr} = V_{Ed} \cdot \gamma_{Rd} \cdot M_{Rd}/M_{Ed} \leq q \cdot V_{Ed}$$

Il valore resistente a taglio della sezione si determina secondo le indicazioni del §4.1.2.1.3.2 [1]:

$$V_{Rd} = \min(V_{Rcd}; V_{Rsd})$$

$$V_{Rcd} = 0,9 \cdot d \cdot b_w \cdot \alpha_c \cdot f_{cd}' \cdot (\text{ctg } \alpha + \text{ctg } \theta) / (1 + \text{ctg}^2 \theta)$$

$$V_{Rsd} = 0,9 \cdot d \cdot A_{sw}/s \cdot f_{yd} \cdot (\text{ctg } \alpha + \text{ctg } \theta) \cdot \sin \alpha$$

in cui

- d altezza utile della sezione
- b_w larghezza minima della sezione
- A_{sw} area dell'armatura trasversale
- s interasse tra due armature trasversali consecutive
- θ inclinazione delle bielle di calcestruzzo
- α angolo di inclinazione dell'armatura trasversale rispetto all'asse dell'elemento
- f_{cd}' resistenza a compressione ridotta (pari a $0,5 f_{cd}$)
- α_c coefficiente maggiorativo che tiene conto della compressione

Nel caso di sezione circolare, le dimensioni della sezione rettangolare equivalente da utilizzare per il calcolo della resistenza a taglio della sezione si determinano secondo le indicazioni del §7.9.5.2.2 [1]:

$$d = r + 2 \cdot r_s / \pi$$

$$b = 0,9 \cdot 2 \cdot r$$

Si riporta a seguire in forma sintetica la verifica più severa (in combinazione SLV-SIS) relativa alla pila avente maggiore altezza tra quelle comprese nel gruppo considerato nella presente relazione.

Il minimo valore del fattore di sicurezza $FS = V_{Rd} / V_{Ed}$ è pari a

FS **2.25**

La verifica è soddisfatta, in quanto $FS > 1$.

Negli allegati alla presente relazione sono riportate le verifiche in forma completa relative alla pila con altezza maggiore tra quelle appartenenti al gruppo considerato.

  	ITINERARIO NAPOLI – BARI RADDOPPIO TRATTA CANCELLO – BENEVENTO I° LOTTO FUNZIONALE CANCELLO - FRASSO TELESINO E VARIANTE ALLA LINEA ROMA-NAPOLI VIA CASSINO NEL COMUNE DI MADDALONI – PROGETTO ESECUTIVO												
Pila 04: Relazione di calcolo	<table border="1"> <thead> <tr> <th>COMMESSA</th> <th>LOTTO</th> <th>CODIFICA</th> <th>DOCUMENTO</th> <th>REV.</th> <th>FOGLIO</th> </tr> </thead> <tbody> <tr> <td>IF1N</td> <td>01 E ZZ</td> <td>CL</td> <td>VI0605 004</td> <td>B</td> <td>129 di 137</td> </tr> </tbody> </table>	COMMESSA	LOTTO	CODIFICA	DOCUMENTO	REV.	FOGLIO	IF1N	01 E ZZ	CL	VI0605 004	B	129 di 137
COMMESSA	LOTTO	CODIFICA	DOCUMENTO	REV.	FOGLIO								
IF1N	01 E ZZ	CL	VI0605 004	B	129 di 137								

10.4 VERIFICA SLE TENSIONALE

La verifica SLE di tipo tensionale si effettua verificando che le massime tensioni agenti nella sezione risultino inferiori ai seguenti valori limite:

per le combinazioni SLE-RAR:

- tensione limite nel calcestruzzo: $\sigma_c = 0.55 f_{ck} = 13.7 \text{ MPa}$
- tensione limite nelle barre: $\sigma_s = 0.75 f_{yk} = 337.5 \text{ MPa}$

per le combinazioni SLE-QP:

- tensione limite nel calcestruzzo: $\sigma_c = 0.40 f_{ck} = 10.0 \text{ MPa}$

Si riporta a seguire in forma sintetica la verifica più severa (in combinazione SLE-RAR) relativa alla pila avente maggiore altezza tra quelle comprese nel gruppo considerato nella presente relazione.

σ_c **-3.3** MPa
 σ_s **31.5** MPa

La verifica è soddisfatta.

Negli allegati alla presente relazione sono riportate le verifiche in forma completa.

10.5 VERIFICA SLE A FESSURAZIONE

La verifica SLE a fessurazione si effettua verificando che il massimo valore di apertura delle fessure risulti inferiore ai seguenti valori limite:

per le combinazioni SLE-RAR:

- apertura fessure limite: $w_{lim} = w_1 = 0.30 \text{ mm}$

Si riporta a seguire in forma sintetica la verifica più severa (in combinazione SLE-RAR) relativa alla pila avente maggiore altezza tra quelle comprese nel gruppo considerato nella presente relazione.

L'ampiezza massima delle fessure calcolata è pari a

w_k **0.045** mm

Negli allegati alla presente relazione sono riportate le verifiche in forma completa.

	ITINERARIO NAPOLI – BARI RADDOPPIO TRATTA CANCELLO – BENEVENTO I° LOTTO FUNZIONALE CANCELLO - FRASSO TELESINO E VARIANTE ALLA LINEA ROMA-NAPOLI VIA CASSINO NEL COMUNE DI MADDALONI – PROGETTO ESECUTIVO												
Pila 04: Relazione di calcolo	<table border="1"> <thead> <tr> <th>COMMESSA</th> <th>LOTTO</th> <th>CODIFICA</th> <th>DOCUMENTO</th> <th>REV.</th> <th>FOGLIO</th> </tr> </thead> <tbody> <tr> <td>IF1N</td> <td>01 E ZZ</td> <td>CL</td> <td>VI0605 004</td> <td>B</td> <td>130 di 137</td> </tr> </tbody> </table>	COMMESSA	LOTTO	CODIFICA	DOCUMENTO	REV.	FOGLIO	IF1N	01 E ZZ	CL	VI0605 004	B	130 di 137
COMMESSA	LOTTO	CODIFICA	DOCUMENTO	REV.	FOGLIO								
IF1N	01 E ZZ	CL	VI0605 004	B	130 di 137								

11 VERIFICHE STRUTTURALI DEL PLINTO DI FONDAZIONE

11.1 VERIFICHE SLU-SLE CON MECCANISMO TIRANTE-PUNTONE

La verifica strutturale del plinto viene condotta a seguire impiegando un modello tirante-puntone, come quello rappresentato nella figura seguente, tratta da §C4.1.2.1.5 [2].

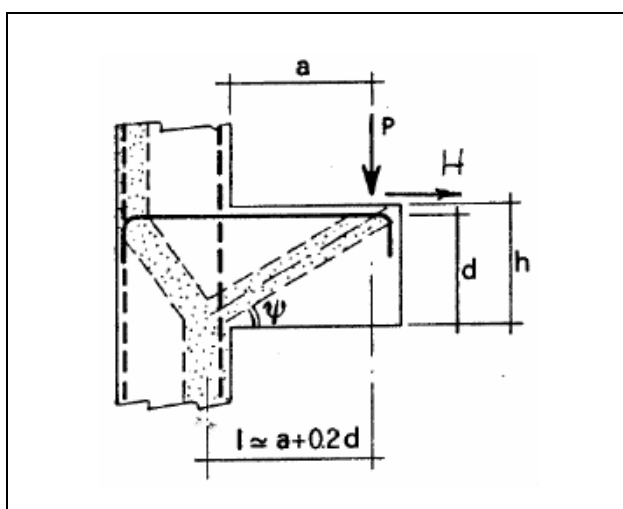


Figura 43 – Meccanismo tirante puntone della mensola tozza

Si distinguono due meccanismi di tipo tirante-puntone principali nel plinto di fondazione, illustrati nelle figure seguenti e descritti a seguire:

- un primo meccanismo è innescato dalle azioni trasmesse al plinto dai pali centrali e coinvolge un tirante-puntone parallelo alla direzione longitudinale (evidenziato in verde). Tale meccanismo coinvolge la sola armatura longitudinale inferiore del plinto.
- un secondo meccanismo coinvolge i pali di spigolo ed innesca un tirante-puntone con direzione diagonale (evidenziato in rosso), individuata da un angolo α misurato rispetto alla direzione trasversale. Tale meccanismo coinvolge sia l'armatura longitudinale inferiore del plinto che l'armatura trasversale, pertanto, ai fini delle verifiche del tirante di armatura e della biella di calcestruzzo, si considera composto dalla somma vettoriale di due meccanismi ortogonali disaccoppiati.

Pila 04: Relazione di calcolo

COMMESSA	LOTTO	CODIFICA	DOCUMENTO	REV.	FOGLIO
IF1N	01 E ZZ	CL	VI0605 004	B	131 di 137

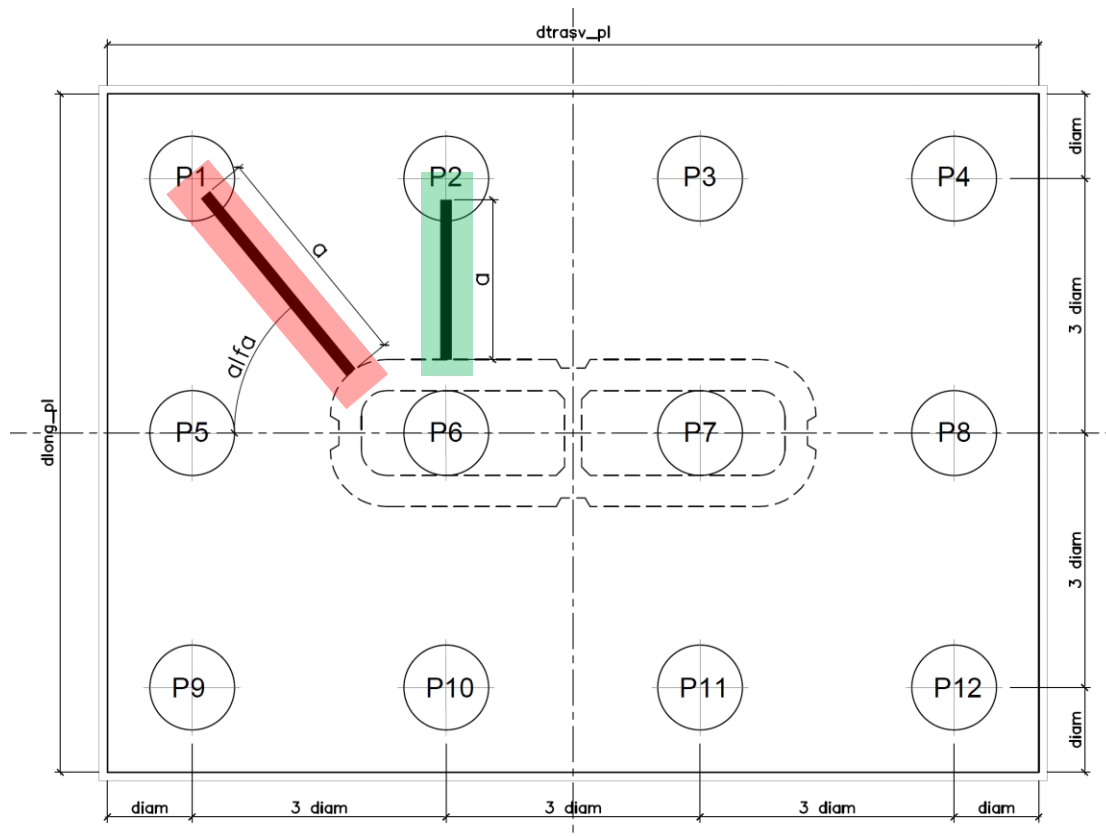


Figura 44 – Vista in pianta - Tirante-puntone longitudinale (verde) e diagonale (rosso)

A seguire si riporta una immagine che illustra, in una vista in sezione, la geometria di un generico meccanismo tirante puntone che si innesca nel plinto per azione dei carichi concentrati trasmessi dai pali di fondazione

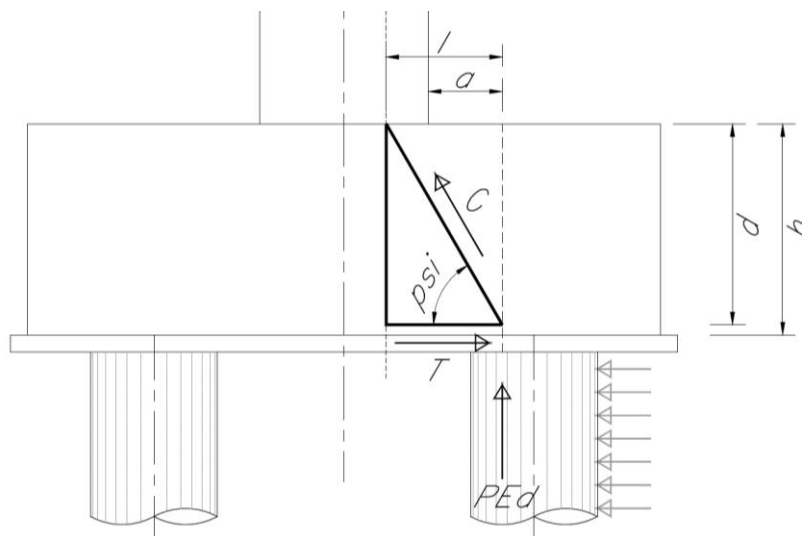


Figura 45 –Tirante puntone - Biella compressa di calcestruzzo C e tirante di armatura T

  	ITINERARIO NAPOLI – BARI RADDOPPIO TRATTA CANCELLO – BENEVENTO I° LOTTO FUNZIONALE CANCELLO - FRASSO TELESINO E VARIANTE ALLA LINEA ROMA-NAPOLI VIA CASSINO NEL COMUNE DI MADDALONI – PROGETTO ESECUTIVO												
Pila 04: Relazione di calcolo	<table border="1"> <thead> <tr> <th>COMMESSA</th> <th>LOTTO</th> <th>CODIFICA</th> <th>DOCUMENTO</th> <th>REV.</th> <th>FOGLIO</th> </tr> </thead> <tbody> <tr> <td>IF1N</td> <td>01 E ZZ</td> <td>CL</td> <td>VI0605 004</td> <td>B</td> <td>132 di 137</td> </tr> </tbody> </table>	COMMESSA	LOTTO	CODIFICA	DOCUMENTO	REV.	FOGLIO	IF1N	01 E ZZ	CL	VI0605 004	B	132 di 137
COMMESSA	LOTTO	CODIFICA	DOCUMENTO	REV.	FOGLIO								
IF1N	01 E ZZ	CL	VI0605 004	B	132 di 137								

La forza di taglio di calcolo H_{Ed} agente alla testa del palo si trascura in via conservativa, in quanto il suo effetto ridurrebbe la trazione nel tirante inferiore d'armatura, essendo tale azione di taglio indotta dalla reazione del terreno.

Ai fini delle successive verifiche, le azioni concentrate P_{Ed} [kN] trasmesse dai pali al plinto sono assunte pari alle forze assiali agenti in testa al palo N_{max} [kN], ridotte della quota parte spettante ad ogni palo del peso del plinto P_{pl} [kN] e del peso del rinterro P_{terr} [kN] presente all'estradosso del plinto:

$$P_{Ed} = N_{max} - (P_{pl} + P_{terr}) / n_{pali}$$

La larghezza della sezione resistente del tirante di armatura e della biella compressa (B_{eff} = larghezza efficace) viene assunta pari a:

- per i pali centrali all'interasse pali i ($B_{eff} = i = 3 \text{ diam}$);
- per i pali di bordo a metà interasse pali i più la distanza dal bordo d_b ($B_{eff} = i / 2 + d_b = 2.5 \text{ diam}$).

L'altezza della sezione della biella compressa viene assunta pari a

$$h_c = 0.4 c d \sin \psi \text{ (si assume } c = 1)$$

in conformità a quanto riportato in §C4.1.2.1.5 [2].

11.1.1 GEOMETRIA DEL TIRANTE-PUNTONE

11.1.1.1 TIRANTE – PUNTONE IN DIREZIONE DIAGONALE

a	4.05 m
h	2.50 m
d = h-cferro	2.39 m
l	4.53 m

tan psi	0.48
psi	25.4 °

11.1.1.2 TIRANTE – PUNTONE IN DIREZIONE LONGITUDINALE

a	2.85 m
h	2.50 m
d = h-cferro	2.39 m
l	3.33 m

tan psi	0.75
psi	37.1 °

  	ITINERARIO NAPOLI – BARI RADDOPPIO TRATTA CANCELLO – BENEVENTO 1° LOTTO FUNZIONALE CANCELLO - FRASSO TELESINO E VARIANTE ALLA LINEA ROMA-NAPOLI VIA CASSINO NEL COMUNE DI MADDALONI – PROGETTO ESECUTIVO					
	Pila 04: Relazione di calcolo	COMMESSA IF1N	LOTTO 01 E ZZ	CODIFICA CL	DOCUMENTO VI0605 004	REV. B

11.1.2 SEZIONE DEL TIRANTE DI ARMATURA E DELLA BIELLA COMPRESSA

Con riferimento alla figura seguente, l'armatura prevista nel plinto di fondazione è descritta a seguire:

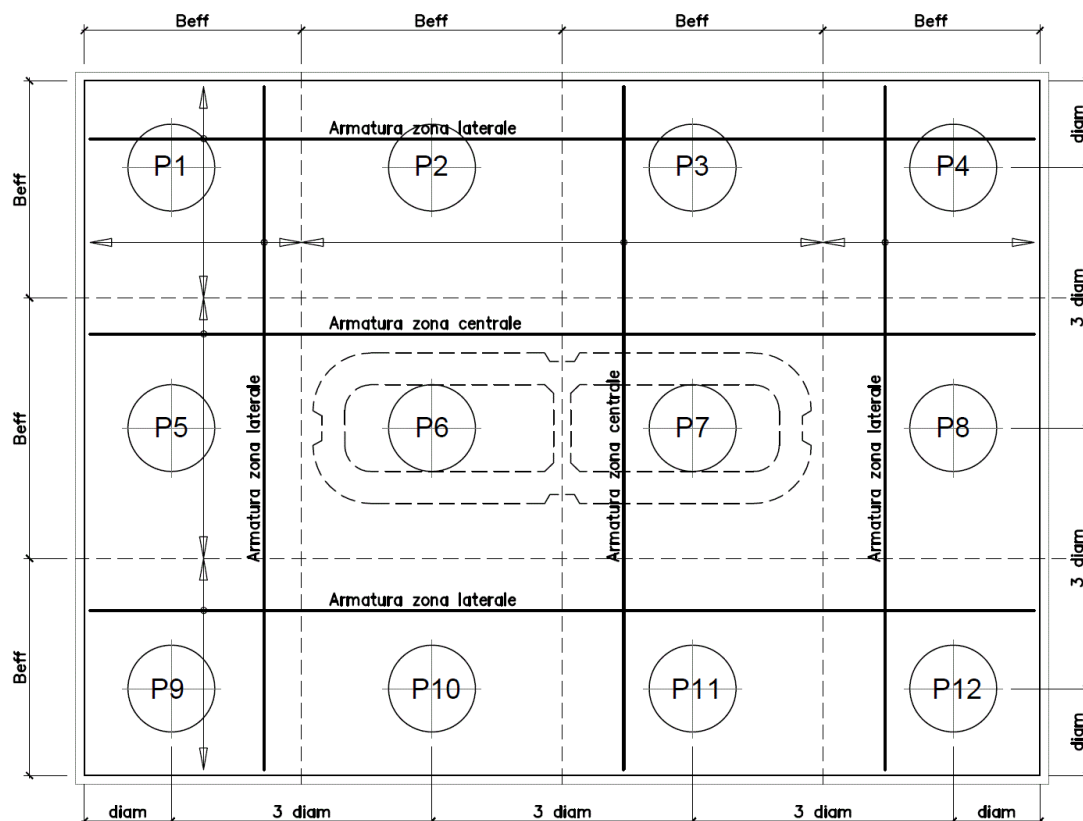


Figura 46 – Plinto di fondazione – Armatura longitudinale inferiore e superiore

Il tirante d'armatura impiegato nelle verifiche è descritto nella tabella seguente.

	Armatura inferiore di verifica			Armatura superiore di verifica			
	Zona laterale		Zona centrale	Zona laterale		Zona centrale	
	dir. Long.	dir. Trasv.	dir. Long.	dir. Long.	dir. Trasv.	dir. Long.	
B_{eff}	3.75	3.75	4.5	3.75	3.75	4.5	[m]
\varnothing_{barre}	2.80	2.80	2.80	2.20	2.20	2.20	[cm]
l_{barre}	0.15	0.15	0.15	0.20	0.20	0.20	[m]
n_{strati}	2.00	2.00	1.50	1.50	1.50	1.00	
n_{barre}	50	50	45	28	28	22	
A_{1b}	6.15	6.15	6.15	3.80	3.80	3.80	[cm ²]
A_{tot}	308	308	277	106	106	84	[cm ²]

  	ITINERARIO NAPOLI – BARI RADDOPPIO TRATTA CANCELLO – BENEVENTO I° LOTTO FUNZIONALE CANCELLO - FRASSO TELESINO E VARIANTE ALLA LINEA ROMA-NAPOLI VIA CASSINO NEL COMUNE DI MADDALONI – PROGETTO ESECUTIVO												
Pila 04: Relazione di calcolo	<table style="width: 100%; border-collapse: collapse;"> <tr> <td style="text-align: center;">COMMESSA</td> <td style="text-align: center;">LOTTO</td> <td style="text-align: center;">CODIFICA</td> <td style="text-align: center;">DOCUMENTO</td> <td style="text-align: center;">REV.</td> <td style="text-align: center;">FOGLIO</td> </tr> <tr> <td style="text-align: center;">IF1N</td> <td style="text-align: center;">01 E ZZ</td> <td style="text-align: center;">CL</td> <td style="text-align: center;">VI0605 004</td> <td style="text-align: center;">B</td> <td style="text-align: center;">134 di 137</td> </tr> </table>	COMMESSA	LOTTO	CODIFICA	DOCUMENTO	REV.	FOGLIO	IF1N	01 E ZZ	CL	VI0605 004	B	134 di 137
COMMESSA	LOTTO	CODIFICA	DOCUMENTO	REV.	FOGLIO								
IF1N	01 E ZZ	CL	VI0605 004	B	134 di 137								

La sezione della biella compressa di calcestruzzo impiegata nelle verifiche è descritta nella tabella seguente.

	Biella inferiore di verifica		Biella superiore di verifica		
	Zona laterale	Zona centrale	Zona laterale	Zona centrale	
	dir. Long.	dir. Long.	dir. Long.	dir. Long.	
B _c	5.61	4.50	5.61	4.50	[m]
h _c	0.41	0.58	0.41	0.58	[m]
A _c	2.30	2.59	2.30	2.59	[m ²]

11.1.3 VERIFICHE SLU DELLE TENSIONI NORMALI

La verifica SLE di tipo tensionale si effettua verificando che le massime tensioni agenti nella sezione risultino inferiori ai seguenti valori limite:

per le combinazioni SLU e SLV:

- tensione limite nel calcestruzzo: $\sigma_c = f_{cd}' = 0.5 f_{cd} = 8.2 \text{ MPa}$
- tensione limite nelle barre: $\sigma_s = f_{yd} = 391 \text{ MPa}$

Si riportano a seguire in forma sintetica le verifiche più severe dei meccanismi tirante-puntone che si innescano nel plinto della pila avente maggiore altezza tra quelle comprese nel gruppo di sottostrutture considerato nella presente relazione.

	Nmax	PEd	T	σ_{s_long}	σ_{s_trasv}	< f _{yd}	C	σ_c	< f _{cd} '
SIS-SLV	5734	4410	9283	234	190	VERO	10277	4.5	VERO
	kN	kN	kN	Mpa	Mpa		kN	Mpa	

Negli allegati alla presente relazione sono riportate le verifiche in forma completa relative al plinto della pila con altezza maggiore tra quelle appartenenti al gruppo considerato.

11.1.4 VERIFICHE SLE DELLE TENSIONI NORMALI

La verifica SLE di tipo tensionale si effettua verificando che le massime tensioni agenti nella sezione risultino inferiori ai seguenti valori limite:

per le combinazioni SLE-RAR:

- tensione limite nel calcestruzzo: $\sigma_c = 0.55 f_{ck} = 16.0 \text{ MPa}$
- tensione limite nelle barre: $\sigma_s = 0.75 f_{yk} = 337.5 \text{ MPa}$

per le combinazioni SLE-QPE:

- tensione limite nel calcestruzzo: $\sigma_c = 0.40 f_{ck} = 11.6 \text{ MPa}$

  	ITINERARIO NAPOLI – BARI RADDOPPIO TRATTA CANCELLO – BENEVENTO I° LOTTO FUNZIONALE CANCELLO - FRASSO TELESINO E VARIANTE ALLA LINEA ROMA-NAPOLI VIA CASSINO NEL COMUNE DI MADDALONI – PROGETTO ESECUTIVO												
Pila 04: Relazione di calcolo	<table border="1"> <tr> <td>COMMESSA</td> <td>LOTTO</td> <td>CODIFICA</td> <td>DOCUMENTO</td> <td>REV.</td> <td>FOGLIO</td> </tr> <tr> <td>IF1N</td> <td>01 E ZZ</td> <td>CL</td> <td>VI0605 004</td> <td>B</td> <td>135 di 137</td> </tr> </table>	COMMESSA	LOTTO	CODIFICA	DOCUMENTO	REV.	FOGLIO	IF1N	01 E ZZ	CL	VI0605 004	B	135 di 137
COMMESSA	LOTTO	CODIFICA	DOCUMENTO	REV.	FOGLIO								
IF1N	01 E ZZ	CL	VI0605 004	B	135 di 137								

Si riportano a seguire in forma sintetica le verifiche più severe dei meccanismi tirante-puntone che si innescano nel plinto della pila avente maggiore altezza tra quelle comprese nel gruppo di sottostrutture considerato nella presente relazione.

	Nmax	PEd	T	σs_long	σs_trasv	< 0.75 fyk	C	σc	< 0.40 fck'
SLE-RAR	4215	2891	6086	154	124	VERO	6738	2.9	VERO
	kN	kN	kN	Mpa	Mpa		kN	Mpa	

Negli allegati alla presente relazione sono riportate le verifiche in forma completa relative al plinto della pila con altezza maggiore tra quelle appartenenti al gruppo considerato.

11.2 VERIFICA SLU A PUNZONAMENTO

Il valore resistente a taglio-punzonamento della sezione si determina secondo le indicazioni del §4.1.2.1.3.1 e 4 [1]:

$$V_{Rd,c} = V_{Rd,c} / u \quad \text{in cui}$$

$$V_{Rd,c} = (0.18 k (100 \rho_l f_{ck})^{1/3} / \gamma_c + 0.15 \sigma_{cp}) b_w d \geq (v_{min} + 0.15 \sigma_{cp}) b_w d$$

u = perimetro efficace per la verifica a taglio-punzonamento

d = altezza utile della sezione

b_w = larghezza minima della sezione

$$k = 1 + (200/d)^{1/2} \leq 2$$

$$v_{min} = 0.035 k^{3/2} f_{ck}^{1/2}$$

$$\rho_l = A_{sl} / (b_w d)$$

$$\sigma_{cp} = N_{Ed} / A_c$$

Conservativamente, la verifica è stata sempre riferita al palo di bordo maggiormente sollecitato e lo sviluppo del perimetro efficace u è stato definito considerando una distanza dall'impronta caricata (coincidente con la sezione di testa del palo) pari a $d = a * 0.9 * H_{pl}$ (H_{pl} = altezza plinto, $a < 2$), come illustrato nella seguente figura.

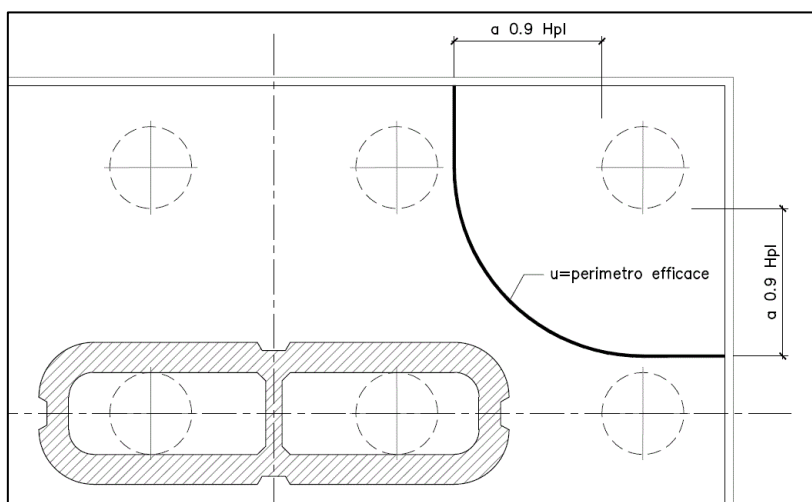


Figura 47 – Perimetro efficace per la verifica a taglio punzonamento

  	ITINERARIO NAPOLI – BARI RADDOPPIO TRATTA CANCELLO – BENEVENTO I° LOTTO FUNZIONALE CANCELLO - FRASSO TELESINO E VARIANTE ALLA LINEA ROMA-NAPOLI VIA CASSINO NEL COMUNE DI MADDALONI – PROGETTO ESECUTIVO												
Pila 04: Relazione di calcolo	<table border="1"> <thead> <tr> <th>COMMESSA</th> <th>LOTTO</th> <th>CODIFICA</th> <th>DOCUMENTO</th> <th>REV.</th> <th>FOGLIO</th> </tr> </thead> <tbody> <tr> <td>IF1N</td> <td>01 E ZZ</td> <td>CL</td> <td>VI0605 004</td> <td>B</td> <td>136 di 137</td> </tr> </tbody> </table>	COMMESSA	LOTTO	CODIFICA	DOCUMENTO	REV.	FOGLIO	IF1N	01 E ZZ	CL	VI0605 004	B	136 di 137
COMMESSA	LOTTO	CODIFICA	DOCUMENTO	REV.	FOGLIO								
IF1N	01 E ZZ	CL	VI0605 004	B	136 di 137								

Si riporta a seguire in forma sintetica la verifica più severa (in combinazione SLV-SIS) a a taglio-punzonamento della pila avente maggiore altezza tra quelle comprese nel gruppo di sottostrutture considerato nella presente relazione.

V_{Ed}	4654	kN
a	1.0	
u	7.7	m
V_{Ed}	0.253	MPa
$V_{Rd,c}$	0.354	MPa

Negli allegati alla presente relazione sono riportate le verifiche in forma completa.

11.3 VERIFICA SLE A FESSURAZIONE

La verifica SLE a fessurazione si effettua verificando che il massimo valore di apertura delle fessure risulti inferiore ai seguenti valori limite:

per le combinazioni SLE-RAR:

- apertura fessure limite: $w_{lim} = w_1 = 0.30 \text{ mm}$

Si riporta a seguire in forma sintetica la verifica più severa (in combinazione SLE-RAR) della pila avente maggiore altezza tra quelle comprese nel gruppo di sottostrutture considerato nella presente relazione.

L'ampiezza massima delle fessure calcolata è pari a

w_k	0.267	mm
-------	--------------	----

Negli allegati alla presente relazione sono riportate le verifiche in forma completa.

  	ITINERARIO NAPOLI – BARI RADDOPPIO TRATTA CANCELLO – BENEVENTO I° LOTTO FUNZIONALE CANCELLO - FRASSO TELESINO E VARIANTE ALLA LINEA ROMA-NAPOLI VIA CASSINO NEL COMUNE DI MADDALONI – PROGETTO ESECUTIVO												
Pila 04: Relazione di calcolo	<table border="1"> <thead> <tr> <th>COMMESSA</th> <th>LOTTO</th> <th>CODIFICA</th> <th>DOCUMENTO</th> <th>REV.</th> <th>FOGLIO</th> </tr> </thead> <tbody> <tr> <td>IF1N</td> <td>01 E ZZ</td> <td>CL</td> <td>VI0605 004</td> <td>B</td> <td>137 di 137</td> </tr> </tbody> </table>	COMMESSA	LOTTO	CODIFICA	DOCUMENTO	REV.	FOGLIO	IF1N	01 E ZZ	CL	VI0605 004	B	137 di 137
COMMESSA	LOTTO	CODIFICA	DOCUMENTO	REV.	FOGLIO								
IF1N	01 E ZZ	CL	VI0605 004	B	137 di 137								

12 INCIDENZE

Incidenza pulvino: 120 kg/m³
 Incidenza fusto: 250 kg/m³
 Incidenza platea: 90 kg/m³
 Incidenza pali: 100 kg/m³

ALLEGATO 1

NOME COMB.	G - Permanenti			Q1 - Variabili verticali							Q2 - Avviamento e frenatura							Q3 - Centrifuga							Q4 - Serpeggio							Q5 - Variabili Q6 - Azioni interne Q7 - Effetti d'interazione			E - Azioni sismiche			Descrizione										
	G1	G21	G22	Q11	Q12	Q13	Q14	Q15	Q16	Q17	Q21	Q22	Q23	Q24	Q25	Q26	Q27	Q31	Q32	Q33	Q34	Q35	Q36	Q37	Q41	Q42	Q43	Q44	Q45	Q46	Q47	Q51	Q61	Q71	E1	E2	E3											
SLU-STR-038	1,35	1,5	1,5	1,45	0	0	0	0	0	0	1,45	0	0	0	0	0	0,73	0	0	0	0	0	0	0,73	0	0	0	0	0	0	0	1,45	0	0	0	0	0	0	0	0	0	0	Q11	gruppo 3				
SLU-STR-039	1,35	1,5	1,5	0	1,45	0	0	0	0	0	0	1,45	0	0	0	0	0	0,73	0	0	0	0	0	0	0,73	0	0	0	0	0	0	0	1,45	0	0	0	0	0	0	0	0	0	0	Q12	gruppo 3			
SLU-STR-040	1,35	1,5	1,5	0	0	1,45	0	0	0	0	0	0	1,45	0	0	0	0	0	0,73	0	0	0	0	0	0	0,73	0	0	0	0	0	1,45	0	0	0	0	0	0	0	0	0	0	0	Q13	gruppo 3			
SLU-STR-041	1,35	1,5	1,5	0	0	0	1,45	0	0	0	0	0	1,45	0	0	0	0	0	0	0,73	0	0	0	0	0	0	0,73	0	0	0	0	1,45	0	0	0	0	0	0	0	0	0	0	0	Q14	gruppo 3			
SLU-STR-042	1,35	1,5	1,5	0	0	0	0	1,45	0	0	0	0	1,45	0	0	0	0	0	0	0	0	0,73	0	0	0	0	0	0	0,73	0	0	1,45	0	0	0	0	0	0	0	0	0	0	0	Q15	gruppo 3			
SLU-STR-043	1,35	1,5	1,5	0	0	0	0	0	0	1,45	0	0	0	0	1,45	0	0	0	0	0	0	0	0,73	0	0	0	0	0	0	0,73	0	1,45	0	0	0	0	0	0	0	0	0	0	0	Q16	gruppo 3			
SLU-STR-044	1	1	0	0	0	0	0	0	0	0	0,73	0	0	0	0	0	1,45	0	0	0	0	0	0	0	0	0,73	0	0	0	0	0	0	0	0	0	0,73	0	1,45	0	0	0	0	0	Q27	gruppo 3-2			
SLU-STR-045	1,35	1,5	1,5	1,45	0	0	0	0	0	0	0	0,73	0	0	0	0	0	1,45	0	0	0	0	0	0	1,45	0	0	0	0	0	0	0	0	0	0,9	0	0	0	0	0	0	0	0	0	Q11	gruppo 1		
SLU-STR-046	1,35	1,5	1,5	0	1,45	0	0	0	0	0	0	0	0,73	0	0	0	0	1,45	0	0	0	0	0	0	0	1,45	0	0	0	0	0	0	0	0,9	0	0	0	0	0	0	0	0	0	0	Q12	gruppo 1		
SLU-STR-047	1,35	1,5	1,5	0	0	1,45	0	0	0	0	0	0	0	0,73	0	0	0	0	1,45	0	0	0	0	0	0	0	1,45	0	0	0	0	0	0,9	0	0	0	0	0	0	0	0	0	0	0	Q13	gruppo 1		
SLU-STR-048	1,35	1,5	1,5	0	0	0	1,45	0	0	0	0	0	0	0,73	0	0	0	0	1,45	0	0	0	0	0	0	1,45	0	0	0	0	0	0,9	0	0	0	0	0	0	0	0	0	0	0	0	Q14	gruppo 1		
SLU-STR-049	1,35	1,5	1,5	0	0	0	0	1,45	0	0	0	0	0	0,73	0	0	0	0	1,45	0	0	0	0	1,45	0	0	0	0	1,45	0	0	0	0,9	0	0	0	0	0	0	0	0	0	0	0	Q15	gruppo 1		
SLU-STR-050	1,35	1,5	1,5	0	0	0	0	0	1,45	0	0	0	0	0	0,73	0	0	0	0	1,45	0	0	0	0	1,45	0	0	0	0	1,45	0	0	0,9	0	0	0	0	0	0	0	0	0	0	0	Q16	gruppo 1		
SLU-STR-051	1,35	1,5	1,5	1,45	0	0	0	0	0	0	1,45	0	0	0	0	0	0,73	0	0	0	0	0	0	0,73	0	0	0	0	0	0	0	0	0,9	0	0	0	0	0	0	0	0	0	0	0	Q11	gruppo 3		
SLU-STR-052	1,35	1,5	1,5	0	1,45	0	0	0	0	0	0	0	1,45	0	0	0	0	0	0,73	0	0	0	0	0	0	0,73	0	0	0	0	0	0	0,9	0	0	0	0	0	0	0	0	0	0	0	0	Q12	gruppo 3	
SLU-STR-053	1,35	1,5	1,5	0	0	1,45	0	0	0	0	0	0	0	1,45	0	0	0	0	0	0,73	0	0	0	0	0	0	0,73	0	0	0	0	0	0,9	0	0	0	0	0	0	0	0	0	0	0	0	Q13	gruppo 3	
SLU-STR-054	1,35	1,5	1,5	0	0	0	1,45	0	0	0	0	0	0	1,45	0	0	0	0	0	0,73	0	0	0	0	0	0	0,73	0	0	0	0	0	0,9	0	0	0	0	0	0	0	0	0	0	0	0	Q14	gruppo 3	
SLU-STR-055	1,35	1,5	1,5	0	0	0	0	1,45	0	0	0	0	1,45	0	0	0	0	0	0	0,73	0	0	0	0	0,73	0	0	0	0	0	0	0,9	0	0	0	0	0	0	0	0	0	0	0	0	Q15	gruppo 3		
SLU-STR-056	1,35	1,5	1,5	0	0	0	0	0	1,45	0	0	0	0	1,45	0	0	0	0	0	0	0,73	0	0	0	0	0,73	0	0	0	0	0	0,9	0	0	0	0	0	0	0	0	0	0	0	0	Q16	gruppo 3		
SLU-STR-057	1	1	0	0	0	0	0	0	0	0	0,73	0	0	0	0	0	1,45	0	0	0	0	0	0	0	0,73	0	0	0	0	0	0	0,9	0	0	0	0	0	0	0	0	0	0	0	0	Q27	gruppo 3-2		
SLU-STR-058	1,35	1,5	1,5	1,45	0	0	0	0	0	0	0	0,73	0	0	0	0	0	1,45	0	0	0	0	0	0	1,45	0	0	0	0	0	0,9	1,45	0,9	0	0	0	0	0	0	0	0	0	0	0	0	Q11	gruppo 1	
SLU-STR-059	1,35	1,5	1,5	0	1,45	0	0	0	0	0	0	0	0,73	0	0	0	0	1,45	0	0	0	0	0	0	0	1,45	0	0	0	0	0,9	1,45	0,9	0	0	0	0	0	0	0	0	0	0	0	0	Q12	gruppo 1	
SLU-STR-060	1,35	1,5	1,5	0	0	1,45	0	0	0	0	0	0	0	0,73	0	0	0	0	1,45	0	0	0	0	0	0	1,45	0	0	0	0,9	1,45	0,9	0	0	0	0	0	0	0	0	0	0	0	0	0	Q13	gruppo 1	
SLU-STR-061	1,35	1,5	1,5	0	0	0	1,45	0	0	0	0	0	0	0,73	0	0	0	0	1,45	0	0	0	0	0	0	1,45	0	0	0	0,9	1,45	0,9	0	0	0	0	0	0	0	0	0	0	0	0	0	Q14	gruppo 1	
SLU-STR-062	1,35	1,5	1,5	0	0	0	0	1,45	0	0	0	0	0	0,73	0	0	0	0	1,45	0	0	0	0	1,45	0	0	0	0	1,45	0	0,9	1,45	0,9	0	0	0	0	0	0	0	0	0	0	0	0	Q15	gruppo 1	
SLU-STR-063	1,35	1,5	1,5	0	0	0	0	0	1,45	0	0	0	0	0,73	0	0	0	0	1,45	0	0	0	0	0	1,45	0	0	0	1,45	0	0,9	1,45	0,9	0	0	0	0	0	0	0	0	0	0	0	0	Q16	gruppo 1	
SLU-STR-064	1,35	1,5	1,5	1,45	0	0	0	0	0	0	1,45	0	0	0	0	0	0,73	0	0	0	0	0	0	0,73	0	0	0	0	0	0,9	1,45	0,9	0	0	0	0	0	0	0	0	0	0	0	0	0	Q11	gruppo 3	
SLU-STR-065	1,35	1,5	1,5	0	1,45	0	0	0	0	0	0	0	1,45	0	0	0	0	0	0,73	0	0	0	0	0	0	0,73	0	0	0	0	0,9	1,45	0,9	0	0	0	0	0	0	0	0	0	0	0	0	0	Q12	gruppo 3
SLU-STR-066	1,35	1,5	1,5	0	0	1,45	0	0	0	0	0	0	0	1,45	0	0	0	0	0	0,73	0	0	0	0	0	0	0,73	0	0	0,9	1,45	0,9	0	0	0	0	0	0	0	0	0	0	0	0	0	0	Q13	gruppo 3
SLU-STR-067	1,35	1,5	1,5	0	0	0	1,45	0	0	0	0	0	0	1,45	0	0	0	0	0	0,73	0	0	0	0	0	0	0,73	0	0	0,9	1,45	0,9	0	0	0	0	0	0	0	0	0	0	0	0	0	Q14	gruppo 3	
SLU-STR-068	1,35	1,5	1,5	0	0	0	0	1,45	0	0	0	0	1,45	0	0	0	0	0	0	0,73	0	0	0	0	0,73	0	0	0	0,9	1,45	0,9	0	0	0	0	0	0	0	0	0	0	0	0	0	0	Q15	gruppo 3	
SLU-STR-069	1,35	1,5	1,5	0	0	0	0	0	1,45	0	0	0	0	1,45	0	0	0	0	0	0	0,73	0	0	0	0	0	0,73	0	0,9	1,45	0,9	0	0	0	0	0	0	0	0	0	0	0	0	0	0	0	Q16	gruppo 3
SLU-STR-070	1	1	0	0	0	0	0	0	0	0	0,73	0	0	0	0	0	1,45	0	0	0	0	0	0	0,73	0	0	0	0	0	0,9	1,45	0,9	0	0	0	0	0	0	0	0	0	0	0	0	0	Q27	gruppo 3-2	
SLU-GEO-001	1	1,3	1,3	0	0	0	0	0	0	0	0	0	0	0	0	0	0	0	0	0	0	0	0	0	0	0	0	0	0	0	0	0	0	0	0	0	0	0	0	0	0	0	0	0	G1+G2	solo perm		
SLU-GEO-002	1	1,3	1,3	0	0	0	0	0	0	0	0	0	0	0	0	0	0	0	0	0	0	0	0	0	0	0	0	0	0	0	0	0	0	0	0	0	0	0	0	0	0	0	0	0	0	Q51	vento	
SLU-GEO-003	1	1,3	1,3	0	0	0	0	0	0	0	0	0	0	0	0	0	0	0	0	0	0	0	0	0	0	0	0	0	0	0	0	0	0	0	0	0	0	0	0	0	0	0	0	0	0	Q71	termica	

NOME COMB.	G - Permanenti			Q1 - Variabili verticali							Q2 - Avviamento e frenatura							Q3 - Centrifuga							Q4 - Serpeggio							Q5 - Variabili Q6 - Azioni interne Q7 - Effetti d'interazione			E - Azioni sismiche			Descrizione													
	G1	G2	G22	Q11	Q12	Q13	Q14	Q15	Q16	Q17	Q21	Q22	Q23	Q24	Q25	Q26	Q27	Q31	Q32	Q33	Q34	Q35	Q36	Q37	Q41	Q42	Q43	Q44	Q45	Q46	Q47	Q51	Q61	Q71	E1	E2	E3														
SLU-GEO-041	1	1,3	1,3	0	0	0	1,25	0	0	0	0	0	0	0	0	0	0	0	0	0,63	0	0	0	0	0	0	0,63	0	0	0	0	0	0	0	0	1,25	0	0	0	0	0	0	Q14	gruppo 3							
SLU-GEO-042	1	1,3	1,3	0	0	0	0	1,25	0	0	0	0	0	0	0	0	0	0	0	0	0,63	0	0	0	0	0	0	0	0,63	0	0	0	0	0	0	0	1,25	0	0	0	0	0	0	Q15	gruppo 3						
SLU-GEO-043	1	1,3	1,3	0	0	0	0	0	0	1,25	0	0	0	0	0	0	0	0	0	0	0	0,63	0	0	0	0	0	0	0	0,63	0	0	0	0	0	0	0	1,25	0	0	0	0	0	0	Q16	gruppo 3					
SLU-GEO-044	1	1	0	0	0	0	0	0	0	0	0,63	0	0	0	0	0	1,25	0	0	0	0	0	0	0	0	0	0	0	0	0	0	0	0	0	0	0	0	0	0,63	0	1,25	0	0	0	0	Q27	gruppo 3-2				
SLU-GEO-045	1	1,3	1,3	1,25	0	0	0	0	0	0	0	0,63	0	0	0	0	0	1,25	0	0	0	0	0	0	0	0	1,25	0	0	0	0	0	0	0	0	0	0	0	0	0	0,78	0	0	0	Q11	gruppo 1					
SLU-GEO-046	1	1,3	1,3	0	1,25	0	0	0	0	0	0	0	0,63	0	0	0	0	0	1,25	0	0	0	0	0	0	0	1,25	0	0	0	0	0	0	0	0	0	0	0	0	0	0,78	0	0	0	Q12	gruppo 1					
SLU-GEO-047	1	1,3	1,3	0	0	1,25	0	0	0	0	0	0	0	0	0	0	0	0	0	1,25	0	0	0	0	0	0	0	1,25	0	0	0	0	0	0	0	0	0	0	0	0	0,78	0	0	0	Q13	gruppo 1					
SLU-GEO-048	1	1,3	1,3	0	0	0	1,25	0	0	0	0	0	0	0	0	0	0	0	0	0	1,25	0	0	0	0	0	0	1,25	0	0	0	0	0	0	0	0	0	0	0	0	0,78	0	0	0	Q14	gruppo 1					
SLU-GEO-049	1	1,3	1,3	0	0	0	0	1,25	0	0	0	0	0	0,63	0	0	0	0	0	0	0	1,25	0	0	0	0	0	1,25	0	0	0	0	0	0	0	0	0	0	0	0	0,78	0	0	0	Q15	gruppo 1					
SLU-GEO-050	1	1,3	1,3	0	0	0	0	0	0	1,25	0	0	0	0	0,63	0	0	0	0	0	0	0	1,25	0	0	0	0	0	1,25	0	0	0	0	0	0	0	0	0	0	0	0,78	0	0	0	Q16	gruppo 1					
SLU-GEO-051	1	1,3	1,3	1,25	0	0	0	0	0	0	0	1,25	0	0	0	0	0	0,63	0	0	0	0	0	0	0	0,63	0	0	0	0	0	0	0	0	0	0	0	0	0	0	0,78	0	0	0	Q11	gruppo 3					
SLU-GEO-052	1	1,3	1,3	0	1,25	0	0	0	0	0	0	0	1,25	0	0	0	0	0	0,63	0	0	0	0	0	0	0	0,63	0	0	0	0	0	0	0	0	0	0	0	0	0	0,78	0	0	0	Q12	gruppo 3					
SLU-GEO-053	1	1,3	1,3	0	0	1,25	0	0	0	0	0	0	0	1,25	0	0	0	0	0	0,63	0	0	0	0	0	0	0	0,63	0	0	0	0	0	0	0	0	0	0	0	0	0,78	0	0	0	Q13	gruppo 3					
SLU-GEO-054	1	1,3	1,3	0	0	0	1,25	0	0	0	0	0	0	0	0	0	0	0	0	0	0,63	0	0	0	0	0	0	0,63	0	0	0	0	0	0	0	0	0	0	0	0	0,78	0	0	0	Q14	gruppo 3					
SLU-GEO-055	1	1,3	1,3	0	0	0	0	1,25	0	0	0	0	0	0	1,25	0	0	0	0	0	0	0,63	0	0	0	0	0	0,63	0	0	0	0	0	0	0	0	0	0	0	0	0,78	0	0	0	Q15	gruppo 3					
SLU-GEO-056	1	1,3	1,3	0	0	0	0	0	0	1,25	0	0	0	0	0	1,25	0	0	0	0	0	0	0,63	0	0	0	0	0	0,63	0	0	0	0	0	0	0	0	0	0	0	0,78	0	0	0	Q16	gruppo 3					
SLU-GEO-057	1	1	0	0	0	0	0	0	0	0	0,63	0	0	0	0	0	1,25	0	0	0	0	0	0	0	0	0	0	0	0	0	0	0	0	0	0	0	0	0,63	0	0	0,78	0	0	0	Q27	gruppo 3-2					
SLU-GEO-058	1	1,3	1,3	1,25	0	0	0	0	0	0	0	0,63	0	0	0	0	0	1,25	0	0	0	0	0	0	0	1,25	0	0	0	0	0	0	0	0	0	0	0	0	0	0,78	1,25	0,78	0	0	0	0	Q11	gruppo 1			
SLU-GEO-059	1	1,3	1,3	0	1,25	0	0	0	0	0	0	0	0,63	0	0	0	0	0	1,25	0	0	0	0	0	0	0	1,25	0	0	0	0	0	0	0	0	0	0	0	0	0	0,78	1,25	0,78	0	0	0	0	Q12	gruppo 1		
SLU-GEO-060	1	1,3	1,3	0	0	1,25	0	0	0	0	0	0	0	0	0	0	0	0	0	1,25	0	0	0	0	0	0	0	1,25	0	0	0	0	0	0	0	0	0	0	0	0	0,78	1,25	0,78	0	0	0	0	Q13	gruppo 1		
SLU-GEO-061	1	1,3	1,3	0	0	0	1,25	0	0	0	0	0	0	0	0,63	0	0	0	0	0	1,25	0	0	0	0	0	0	1,25	0	0	0	0	0	0	0	0	0	0	0	0	0,78	1,25	0,78	0	0	0	0	Q14	gruppo 1		
SLU-GEO-062	1	1,3	1,3	0	0	0	0	1,25	0	0	0	0	0	0,63	0	0	0	0	0	0	0	1,25	0	0	0	0	0	1,25	0	0	0	0	0	0	0	0	0	0	0	0	0,78	1,25	0,78	0	0	0	0	Q15	gruppo 1		
SLU-GEO-063	1	1,3	1,3	0	0	0	0	0	0	1,25	0	0	0	0	0,63	0	0	0	0	0	0	0	1,25	0	0	0	0	0	1,25	0	0	0	0	0	0	0	0	0	0	0	0,78	1,25	0,78	0	0	0	0	Q16	gruppo 1		
SLU-GEO-064	1	1,3	1,3	1,25	0	0	0	0	0	0	0	1,25	0	0	0	0	0	0,63	0	0	0	0	0	0	0	0,63	0	0	0	0	0	0	0	0	0	0	0	0	0	0	0,78	1,25	0,78	0	0	0	0	Q11	gruppo 3		
SLU-GEO-065	1	1,3	1,3	0	1,25	0	0	0	0	0	0	0	1,25	0	0	0	0	0	0,63	0	0	0	0	0	0	0	0,63	0	0	0	0	0	0	0	0	0	0	0	0	0	0,78	1,25	0,78	0	0	0	0	Q12	gruppo 3		
SLU-GEO-066	1	1,3	1,3	0	0	1,25	0	0	0	0	0	0	0	1,25	0	0	0	0	0	0,63	0	0	0	0	0	0	0	0,63	0	0	0	0	0	0	0	0	0	0	0	0	0,78	1,25	0,78	0	0	0	0	Q13	gruppo 3		
SLU-GEO-067	1	1,3	1,3	0	0	0	1,25	0	0	0	0	0	0	0	0	0	0	0	0	0	0,63	0	0	0	0	0	0	0,63	0	0	0	0	0	0	0	0	0	0	0	0	0,78	1,25	0,78	0	0	0	0	Q14	gruppo 3		
SLU-GEO-068	1	1,3	1,3	0	0	0	0	1,25	0	0	0	0	0	0	1,25	0	0	0	0	0	0	0,63	0	0	0	0	0	0,63	0	0	0	0	0	0	0	0	0	0	0	0	0,78	1,25	0,78	0	0	0	0	Q15	gruppo 3		
SLU-GEO-069	1	1,3	1,3	0	0	0	0	0	0	1,25	0	0	0	0	0	1,25	0	0	0	0	0	0	0	0	0	0	0,63	0	0	0	0	0	0	0	0	0	0	0	0	0	0,78	1,25	0,78	0	0	0	0	Q16	gruppo 3		
SLU-GEO-070	1	1	0	0	0	0	0	0	0	0	0,63	0	0	0	0	0	1,25	0	0	0	0	0	0	0	0	0	0,63	0	0	0	0	0	0	0	0	0	0	0	0	0,63	0,78	1,25	0,78	0	0	0	0	Q27	gruppo 3-2		
SLU-SIS-001	1	1	1	0	0	0	0	0	0	0	0	0	0	0	0	0	0	0	0	0	0	0	0	0	0	0	0	0	0	0	0	0	0	0	0	0	0	0	0	0	0	0	0	0	0	0	0	0	0	E1	solo perm
SLU-SIS-002	1	1	1	0	0	0	0	0	0	0	0	0	0	0	0	0	0	0	0	0	0	0	0	0	0	0	0	0	0	0	0	0	0	0	0	0	0	0	0	0	0,2	0,5	1	0,3	0,3	0	0	E1	termica		
SLU-SIS-003	1	1	0	0	0	0	0	0	0	0	0	0	0	0	0	0	0	0	0	0	0	0	0	0	0	0	0	0	0	0	0	0	0	0	0	0	0	0	0	0,2	0,5	1	0,3	0,3	0	0	E1	termica			
SLU-SIS-004	1	1	1	0,2	0	0	0	0	0	0	0	0,1	0	0	0	0	0	0	0	0	0	0	0	0	0	0,2	0	0	0	0	0	0	0	0	0	0	0	0	0	0,2	0,5	1	0,3	0,3	0	0	E1	gruppo 1			
SLU-SIS-005	1	1	1	0	0,2	0	0	0	0	0	0	0	0,1	0	0	0	0	0	0	0	0	0	0	0	0	0	0,2	0	0	0	0	0	0	0	0	0	0	0	0	0,2	0,5	1	0,3	0,3	0	0	E1	gruppo 1			
SLU-SIS-006	1	1	1	0	0	0,2	0	0	0	0	0	0	0	0,1	0	0	0	0	0	0	0	0	0	0	0	0	0	0,2	0	0	0	0	0	0	0	0	0	0	0	0,2	0,5	1	0,3	0,3	0	0	E1	gruppo 1			

NOME COMB.	G - Permanenti			Q1 - Variabili verticali							Q2 - Avviamento e frenatura							Q3 - Centrifuga							Q4 - Serpeggio							Q5 - Variabili Q6 - Azioni interne Q7 - Effetti d'interazione			E - Azioni sismiche			Descrizione				
	G1	G21	G22	Q11	Q12	Q13	Q14	Q15	Q16	Q17	Q21	Q22	Q23	Q24	Q25	Q26	Q27	Q31	Q32	Q33	Q34	Q35	Q36	Q37	Q41	Q42	Q43	Q44	Q45	Q46	Q47	Q51	Q61	Q71	E1	E2	E3					
SLU-SIS-007	1	1	1	0	0	0	0,2	0	0	0	0	0	0	0	0	0	0	0	0	0,2	0	0	0	0	0	0	0	0,2	0	0	0	0	0	0,2	0,2	0,5	1	0,3	0,3	E1	gruppo 1	
SLU-SIS-008	1	1	1	0	0	0	0	0,2	0	0	0	0	0	0,1	0	0	0	0	0	0	0	0,2	0	0	0	0	0	0	0	0,2	0	0	0	0	0,2	0,2	0,5	1	0,3	0,3	E1	gruppo 1
SLU-SIS-009	1	1	1	0	0	0	0	0	0	0,2	0	0	0	0	0,1	0	0	0	0	0	0	0	0,2	0	0	0	0	0	0	0	0,2	0	0	0,2	0,2	0,5	1	0,3	0,3	E1	gruppo 1	
SLU-SIS-010	1	1	1	0,2	0	0	0	0	0	0	0	0,2	0	0	0	0	0	0,1	0	0	0	0	0	0	0	0,1	0	0	0	0	0	0	0	0,2	0,2	0,5	1	0,3	0,3	E1	gruppo 3	
SLU-SIS-011	1	1	1	0	0,2	0	0	0	0	0	0	0	0,2	0	0	0	0	0,1	0	0	0	0	0	0	0	0	0,1	0	0	0	0	0	0	0,2	0,2	0,5	1	0,3	0,3	E1	gruppo 3	
SLU-SIS-012	1	1	1	0	0	0,2	0	0	0	0	0	0	0,2	0	0	0	0	0	0,1	0	0	0	0	0	0	0	0	0,1	0	0	0	0	0	0	0,2	0,2	0,5	1	0,3	0,3	E1	gruppo 3
SLU-SIS-013	1	1	1	0	0	0	0,2	0	0	0	0	0	0,2	0	0	0	0	0	0	0	0,1	0	0	0	0	0	0	0	0,1	0	0	0	0	0	0,2	0,2	0,5	1	0,3	0,3	E1	gruppo 3
SLU-SIS-014	1	1	1	0	0	0	0	0,2	0	0	0	0	0,2	0	0	0	0	0	0	0	0	0,1	0	0	0	0	0	0	0,1	0	0	0	0	0,2	0,2	0,5	1	0,3	0,3	E1	gruppo 3	
SLU-SIS-015	1	1	1	0	0	0	0	0	0	0,2	0	0	0	0	0,2	0	0	0	0	0	0	0	0,1	0	0	0	0	0	0,1	0	0	0	0	0,2	0,2	0,5	1	0,3	0,3	E1	gruppo 3	
SLU-SIS-016	1	1	0	0	0	0	0	0	0	0	0	0	0	0	0	0,2	0	0	0	0	0	0	0	0,1	0	0	0	0	0	0	0	0	0,1	0	0,2	0,2	0,5	1	0,3	0,3	E1	gruppo 3-2
SLU-SIS-017	1	1	1	0	0	0	0	0	0	0	0	0	0	0	0	0	0	0	0	0	0	0	0	0	0	0	0	0	0	0	0	0	0	0	0	0	1	0,3	-0,3	E1	solo perm	
SLU-SIS-018	1	1	1	0	0	0	0	0	0	0	0	0	0	0	0	0	0	0	0	0	0	0	0	0	0	0	0	0	0	0	0	0	0	0	0,2	0,2	0,5	1	0,3	-0,3	E1	termica
SLU-SIS-019	1	1	0	0	0	0	0	0	0	0	0	0	0	0	0	0	0	0	0	0	0	0	0	0	0	0	0	0	0	0	0	0	0	0,2	0,2	0,5	1	0,3	-0,3	E1	termica	
SLU-SIS-020	1	1	1	0,2	0	0	0	0	0	0	0	0	0	0	0	0	0	0	0	0	0	0	0	0	0	0	0	0	0	0	0	0	0	0	0	0	1	0,3	-0,3	E1	solo vert	
SLU-SIS-021	1	1	1	0,2	0	0	0	0	0	0	0	0	0	0	0	0	0	0,2	0	0	0	0	0	0	0	0	0,2	0	0	0	0	0	0	0,2	0,2	0,5	1	0,3	-0,3	E1	gruppo 1	
SLU-SIS-022	1	1	1	0	0,2	0	0	0	0	0	0	0	0	0	0	0	0	0	0,2	0	0	0	0	0	0	0	0	0,2	0	0	0	0	0	0	0,2	0,2	0,5	1	0,3	-0,3	E1	gruppo 1
SLU-SIS-023	1	1	1	0	0	0,2	0	0	0	0	0	0	0	0	0	0	0	0	0	0,2	0	0	0	0	0	0	0	0,2	0	0	0	0	0	0,2	0,2	0,5	1	0,3	-0,3	E1	gruppo 1	
SLU-SIS-024	1	1	1	0	0	0	0,2	0	0	0	0	0	0	0	0	0	0	0	0	0	0,2	0	0	0	0	0	0	0,2	0	0	0	0	0	0,2	0,2	0,5	1	0,3	-0,3	E1	gruppo 1	
SLU-SIS-025	1	1	1	0	0	0	0	0,2	0	0	0	0	0	0	0,1	0	0	0	0	0	0	0,2	0	0	0	0	0	0,2	0	0	0	0	0,2	0,2	0,5	1	0,3	-0,3	E1	gruppo 1		
SLU-SIS-026	1	1	1	0	0	0	0	0	0	0,2	0	0	0	0	0,1	0	0	0	0	0	0	0	0,2	0	0	0	0	0,2	0	0	0	0	0,2	0,2	0,5	1	0,3	-0,3	E1	gruppo 1		
SLU-SIS-027	1	1	1	0,2	0	0	0	0	0	0	0	0,2	0	0	0	0	0,1	0	0	0	0	0	0	0	0	0,1	0	0	0	0	0	0	0	0,2	0,2	0,5	1	0,3	-0,3	E1	gruppo 3	
SLU-SIS-028	1	1	1	0	0,2	0	0	0	0	0	0	0	0	0	0	0	0	0,1	0	0	0	0	0	0	0	0	0,1	0	0	0	0	0	0	0,2	0,2	0,5	1	0,3	-0,3	E1	gruppo 3	
SLU-SIS-029	1	1	1	0	0	0,2	0	0	0	0	0	0	0	0	0	0	0	0	0,1	0	0	0	0	0	0	0	0,1	0	0	0	0	0	0	0,2	0,2	0,5	1	0,3	-0,3	E1	gruppo 3	
SLU-SIS-030	1	1	1	0	0	0	0,2	0	0	0	0	0	0	0	0	0	0	0	0	0	0,1	0	0	0	0	0	0	0,1	0	0	0	0	0,2	0,2	0,5	1	0,3	-0,3	E1	gruppo 3		
SLU-SIS-031	1	1	1	0	0	0	0	0,2	0	0	0	0	0,2	0	0	0	0	0	0	0	0	0,1	0	0	0	0	0,1	0	0	0	0	0	0,2	0,2	0,5	1	0,3	-0,3	E1	gruppo 3		
SLU-SIS-032	1	1	1	0	0	0	0	0	0	0,2	0	0	0	0	0,2	0	0	0	0	0	0	0	0,1	0	0	0	0	0,1	0	0	0	0	0,2	0,2	0,5	1	0,3	-0,3	E1	gruppo 3		
SLU-SIS-033	1	1	0	0	0	0	0	0	0	0	0	0	0	0	0	0,2	0	0	0	0	0	0	0	0,1	0	0	0	0	0	0	0	0,1	0	0,2	0,2	0,5	1	0,3	-0,3	E1	gruppo 3-2	
SLU-SIS-034	1	1	1	0	0	0	0	0	0	0	0	0	0	0	0	0	0	0	0	0	0	0	0	0	0	0	0	0	0	0	0	0	0	0	0	0,3	1	0,3	E2	solo perm		
SLU-SIS-035	1	1	1	0	0	0	0	0	0	0	0	0	0	0	0	0	0	0	0	0	0	0	0	0	0	0	0	0	0	0	0	0	0,2	0,2	0,5	0,3	1	0,3	E2	termica		
SLU-SIS-036	1	1	0	0	0	0	0	0	0	0	0	0	0	0	0	0	0	0	0	0	0	0	0	0	0	0	0	0	0	0	0	0,2	0,2	0,5	0,3	1	0,3	E2	termica			
SLU-SIS-037	1	1	1	0,2	0	0	0	0	0	0	0	0	0	0	0	0	0	0	0	0	0	0	0	0	0	0	0	0	0	0	0	0	0	0	0	0,3	1	0,3	E2	solo vert		
SLU-SIS-038	1	1	1	0,2	0	0	0	0	0	0	0	0	0	0	0	0	0,2	0	0	0	0	0	0	0	0	0,2	0	0	0	0	0	0,2	0,2	0,5	0,3	1	0,3	E2	gruppo 1			
SLU-SIS-039	1	1	1	0	0,2	0	0	0	0	0	0	0	0	0	0	0	0	0,2	0	0	0	0	0	0	0	0	0,2	0	0	0	0	0,2	0,2	0,5	0,3	1	0,3	E2	gruppo 1			
SLU-SIS-040	1	1	1	0	0	0,2	0	0	0	0	0	0	0	0	0	0	0	0	0	0,2	0	0	0	0	0	0	0	0,2	0	0	0	0	0,2	0,2	0,5	0,3	1	0,3	E2	gruppo 1		
SLU-SIS-041	1	1	1	0	0	0	0,2	0	0	0	0	0	0	0	0	0	0	0	0	0	0,2	0	0	0	0	0	0	0,2	0	0	0	0	0,2	0,2	0,5	0,3	1	0,3	E2	gruppo 1		
SLU-SIS-042	1	1	1	0	0	0	0	0,2	0	0	0	0	0	0,1	0	0	0	0	0	0	0	0	0	0	0	0,2	0	0	0	0	0,2	0,2	0,5	0,3	1	0,3	E2	gruppo 1				
SLU-SIS-043	1	1	1	0	0	0	0	0	0	0,2	0	0	0	0	0,1	0	0	0	0	0	0	0	0	0	0	0,2	0	0	0	0	0,2	0,2	0,5	0,3	1	0,3	E2	gruppo 1				

NOME COMB.	G - Permanenti			Q1 - Variabili verticali							Q2 - Avviamento e frenatura							Q3 - Centrifuga							Q4 - Serpeggio							Q5 - Variabili Q6 - Azioni interne Q7 - Effetti d'interazione			E - Azioni sismiche			Descrizione			
	G1	G21	G22	Q11	Q12	Q13	Q14	Q15	Q16	Q17	Q21	Q22	Q23	Q24	Q25	Q26	Q27	Q31	Q32	Q33	Q34	Q35	Q36	Q37	Q41	Q42	Q43	Q44	Q45	Q46	Q47	Q51	Q61	Q71	E1	E2	E3				
SLU-SIS-044	1	1	1	0,2	0	0	0	0	0	0	0,2	0	0	0	0	0	0,1	0	0	0	0	0	0	0,1	0	0	0	0	0	0	0	0,2	0,2	0,3	1	0,3	E2	gruppo 3			
SLU-SIS-045	1	1	1	0	0,2	0	0	0	0	0	0	0,2	0	0	0	0	0	0,1	0	0	0	0	0	0	0	0,1	0	0	0	0	0	0	0	0,2	0,2	0,3	1	0,3	E2	gruppo 3	
SLU-SIS-046	1	1	1	0	0	0,2	0	0	0	0	0	0	0,2	0	0	0	0	0	0,1	0	0	0	0	0	0	0	0,1	0	0	0	0	0	0	0,2	0,2	0,3	1	0,3	E2	gruppo 3	
SLU-SIS-047	1	1	1	0	0	0	0,2	0	0	0	0	0	0,2	0	0	0	0	0	0	0,1	0	0	0	0	0	0	0	0,1	0	0	0	0	0	0,2	0,2	0,3	1	0,3	E2	gruppo 3	
SLU-SIS-048	1	1	1	0	0	0	0	0,2	0	0	0	0	0	0,2	0	0	0	0	0	0	0	0,1	0	0	0	0	0	0	0	0,1	0	0	0	0,2	0,2	0,3	1	0,3	E2	gruppo 3	
SLU-SIS-049	1	1	1	0	0	0	0	0	0	0,2	0	0	0	0	0,2	0	0	0	0	0	0	0	0,1	0	0	0	0	0	0	0	0,1	0	0	0,2	0,2	0,3	1	0,3	E2	gruppo 3	
SLU-SIS-050	1	1	0	0	0	0	0	0	0	0	0,1	0	0	0	0	0	0,2	0	0	0	0	0	0	0	0	0,1	0	0	0	0	0	0	0,1	0	0,2	0,2	0,3	1	0,3	E2	gruppo 3-2
SLU-SIS-051	1	1	1	0	0	0	0	0	0	0	0	0	0	0	0	0	0	0	0	0	0	0	0	0	0	0	0	0	0	0	0	0	0	0	0	0,3	1	-0,3	E2	solo perm	
SLU-SIS-052	1	1	1	0	0	0	0	0	0	0	0	0	0	0	0	0	0	0	0	0	0	0	0	0	0	0	0	0	0	0	0	0	0	0	0,2	0,5	0,3	1	-0,3	E2	termica
SLU-SIS-053	1	1	0	0	0	0	0	0	0	0	0	0	0	0	0	0	0	0	0	0	0	0	0	0	0	0	0	0	0	0	0	0	0	0,2	0,5	0,3	1	-0,3	E2	termica	
SLU-SIS-054	1	1	1	0,2	0	0	0	0	0	0	0	0	0	0	0	0	0	0	0	0	0	0	0	0	0	0	0	0	0	0	0	0	0	0	0	0,3	1	-0,3	E2	solo vert	
SLU-SIS-055	1	1	1	0,2	0	0	0	0	0	0	0	0	0	0	0	0	0,2	0	0	0	0	0	0	0	0	0,2	0	0	0	0	0	0	0	0,2	0,2	0,3	1	-0,3	E2	gruppo 1	
SLU-SIS-056	1	1	1	0	0,2	0	0	0	0	0	0	0	0	0	0	0	0	0,2	0	0	0	0	0	0	0	0	0,2	0	0	0	0	0	0	0,2	0,2	0,3	1	-0,3	E2	gruppo 1	
SLU-SIS-057	1	1	1	0	0	0,2	0	0	0	0	0	0	0	0	0	0	0	0	0,2	0	0	0	0	0	0	0	0	0,2	0	0	0	0	0	0,2	0,2	0,3	1	-0,3	E2	gruppo 1	
SLU-SIS-058	1	1	1	0	0	0	0,2	0	0	0	0	0	0	0	0	0	0	0	0	0,2	0	0	0	0	0	0	0	0,2	0	0	0	0	0	0,2	0,2	0,3	1	-0,3	E2	gruppo 1	
SLU-SIS-059	1	1	1	0	0	0	0	0,2	0	0	0	0	0	0,1	0	0	0	0	0	0	0	0,2	0	0	0	0	0	0,2	0	0	0	0	0,2	0,2	0,3	1	-0,3	E2	gruppo 1		
SLU-SIS-060	1	1	1	0	0	0	0	0	0	0,2	0	0	0	0	0,1	0	0	0	0	0	0	0	0	0,2	0	0	0	0	0,2	0	0	0,2	0,2	0,3	1	-0,3	E2	gruppo 1			
SLU-SIS-061	1	1	1	0,2	0	0	0	0	0	0	0	0	0	0	0	0	0,1	0	0	0	0	0	0	0	0	0,1	0	0	0	0	0	0	0,2	0,2	0,3	1	-0,3	E2	gruppo 3		
SLU-SIS-062	1	1	1	0	0,2	0	0	0	0	0	0	0	0	0	0	0	0	0,1	0	0	0	0	0	0	0	0	0,1	0	0	0	0	0	0,2	0,2	0,3	1	-0,3	E2	gruppo 3		
SLU-SIS-063	1	1	1	0	0	0,2	0	0	0	0	0	0	0	0	0	0	0	0	0,1	0	0	0	0	0	0	0	0,1	0	0	0	0	0	0,2	0,2	0,3	1	-0,3	E2	gruppo 3		
SLU-SIS-064	1	1	1	0	0	0	0,2	0	0	0	0	0	0	0	0	0	0	0	0	0,1	0	0	0	0	0	0	0	0,1	0	0	0	0	0,2	0,2	0,3	1	-0,3	E2	gruppo 3		
SLU-SIS-065	1	1	1	0	0	0	0	0,2	0	0	0	0	0	0	0,2	0	0	0	0	0	0	0	0,1	0	0	0	0	0,1	0	0	0	0,2	0,2	0,3	1	-0,3	E2	gruppo 3			
SLU-SIS-066	1	1	1	0	0	0	0	0	0	0,2	0	0	0	0	0,2	0	0	0	0	0	0	0	0,1	0	0	0	0	0,1	0	0	0,2	0,2	0,3	1	-0,3	E2	gruppo 3				
SLU-SIS-067	1	1	0	0	0	0	0	0	0	0	0,1	0	0	0	0	0,2	0	0	0	0	0	0	0	0,1	0	0	0	0	0	0	0,1	0	0,2	0,2	0,3	1	-0,3	E2	gruppo 3-2		
SLU-SIS-068	1	1	1	0	0	0	0	0	0	0	0	0	0	0	0	0	0	0	0	0	0	0	0	0	0	0	0	0	0	0	0	0	0	0	0,3	0,3	1	E3	solo perm		
SLU-SIS-069	1	1	1	0	0	0	0	0	0	0	0	0	0	0	0	0	0	0	0	0	0	0	0	0	0	0	0	0	0	0	0	0,2	0,5	0,3	0,3	1	E3	termica			
SLU-SIS-070	1	1	0	0	0	0	0	0	0	0	0	0	0	0	0	0	0	0	0	0	0	0	0	0	0	0	0	0	0	0	0,2	0,5	0,3	0,3	1	E3	termica				
SLU-SIS-071	1	1	1	0,2	0	0	0	0	0	0	0	0	0	0	0	0	0	0	0	0	0	0	0	0	0	0	0	0	0	0	0	0	0	0	0,3	0,3	1	E3	solo vert		
SLU-SIS-072	1	1	1	0,2	0	0	0	0	0	0	0	0	0	0	0	0	0,2	0	0	0	0	0	0	0	0	0,2	0	0	0	0	0	0,2	0,2	0,3	0,3	1	E3	gruppo 1			
SLU-SIS-073	1	1	1	0	0,2	0	0	0	0	0	0	0	0	0	0	0	0	0,2	0	0	0	0	0	0	0	0	0,2	0	0	0	0	0,2	0,2	0,3	0,3	1	E3	gruppo 1			
SLU-SIS-074	1	1	1	0	0	0,2	0	0	0	0	0	0	0	0	0	0	0	0	0,2	0	0	0	0	0	0	0	0,2	0	0	0	0	0,2	0,2	0,3	0,3	1	E3	gruppo 1			
SLU-SIS-075	1	1	1	0	0	0	0,2	0	0	0	0	0	0	0	0	0	0	0	0	0,2	0	0	0	0	0	0	0,2	0	0	0	0	0,2	0,2	0,3	0,3	1	E3	gruppo 1			
SLU-SIS-076	1	1	1	0	0	0	0	0,2	0	0	0	0	0	0,1	0	0	0	0	0	0	0	0	0,2	0	0	0	0	0,2	0	0	0	0,2	0,2	0,3	0,3	1	E3	gruppo 1			
SLU-SIS-077	1	1	1	0	0	0	0	0	0	0,2	0	0	0	0	0,1	0	0	0	0	0	0	0	0,2	0	0	0	0	0,2	0	0	0,2	0,2	0,3	0,3	1	E3	gruppo 1				
SLU-SIS-078	1	1	1	0,2	0	0	0	0	0	0	0	0	0	0	0	0	0,1	0	0	0	0	0	0	0	0,1	0	0	0	0	0	0,2	0,2	0,3	0,3	1	E3	gruppo 3				
SLU-SIS-079	1	1	1	0	0,2	0	0	0	0	0	0	0	0	0	0	0	0	0,1	0	0	0	0	0	0	0	0	0,1	0	0	0	0	0,2	0,2	0,3	0,3	1	E3	gruppo 3			
SLU-SIS-080	1	1	1	0	0	0,2	0	0	0	0	0	0	0	0	0	0	0	0	0,1	0	0	0	0	0	0	0	0,1	0	0	0	0	0,2	0,2	0,3	0,3	1	E3	gruppo 3			

NOME COMB.	G - Permanenti			Q1 - Variabili verticali							Q2 - Avviamento e frenatura							Q3 - Centrifuga							Q4 - Serpeggio							Q5 - Variabili Q6 - Azioni interne Q7 - Effetti d'interazione			E - Azioni sismiche			Descrizione		
	G1	G2	G22	Q11	Q12	Q13	Q14	Q15	Q16	Q17	Q21	Q22	Q23	Q24	Q25	Q26	Q27	Q31	Q32	Q33	Q34	Q35	Q36	Q37	Q41	Q42	Q43	Q44	Q45	Q46	Q47	Q51	Q61	Q71	E1	E2	E3			
SLU-SIS-081	1	1	1	0	0	0	0,2	0	0	0	0	0	0	0,2	0	0	0	0	0	0,1	0	0	0	0	0	0	0,1	0	0	0	0	0	0,2	0,2	0,2	0,3	0,3	1	E3	gruppo 3
SLU-SIS-082	1	1	1	0	0	0	0	0,2	0	0	0	0	0	0,2	0	0	0	0	0	0	0,1	0	0	0	0	0	0	0,1	0	0	0	0	0,2	0,2	0,2	0,3	0,3	1	E3	gruppo 3
SLU-SIS-083	1	1	1	0	0	0	0	0	0,2	0	0	0	0	0,2	0	0	0	0	0	0	0	0,1	0	0	0	0	0	0,1	0	0	0,2	0,2	0,2	0,3	0,3	1	E3	gruppo 3		
SLU-SIS-084	1	1	0	0	0	0	0	0	0	0,1	0	0	0	0	0	0,2	0	0	0	0	0	0	0,1	0	0	0	0	0	0,1	0	0,2	0,2	0,2	0,3	0,3	1	E3	gruppo 3-2		
SLU-SIS-085	1	1	1	0	0	0	0	0	0	0	0	0	0	0	0	0	0	0	0	0	0	0	0	0	0	0	0	0	0	0	0	0	0	0,3	0,3	-1	E3	solo perm		
SLU-SIS-086	1	1	1	0	0	0	0	0	0	0	0	0	0	0	0	0	0	0	0	0	0	0	0	0	0	0	0	0	0	0,2	0,5	0,3	0,3	-1	E3	termica				
SLU-SIS-087	1	1	0	0	0	0	0	0	0	0	0	0	0	0	0	0	0	0	0	0	0	0	0	0	0	0	0	0	0,2	0,5	0,3	0,3	-1	E3	termica					
SLU-SIS-088	1	1	1	0,2	0	0	0	0	0	0	0	0	0	0	0	0	0	0	0	0	0	0	0	0	0	0	0	0	0	0	0	0,3	0,3	-1	E3	solo vert				
SLU-SIS-089	1	1	1	0,2	0	0	0	0	0	0	0	0	0	0	0	0	0,2	0	0	0	0	0	0	0	0,2	0	0	0	0	0,2	0,2	0,3	0,3	-1	E3	gruppo 1				
SLU-SIS-090	1	1	1	0	0,2	0	0	0	0	0	0	0	0	0	0	0	0	0,2	0	0	0	0	0	0	0	0,2	0	0	0	0	0,2	0,2	0,3	0,3	-1	E3	gruppo 1			
SLU-SIS-091	1	1	1	0	0	0,2	0	0	0	0	0	0	0	0	0	0	0	0	0,2	0	0	0	0	0	0	0,2	0	0	0	0,2	0,2	0,3	0,3	-1	E3	gruppo 1				
SLU-SIS-092	1	1	1	0	0	0	0,2	0	0	0	0	0	0	0	0	0	0	0	0	0,2	0	0	0	0	0	0	0,2	0	0	0,2	0,2	0,3	0,3	-1	E3	gruppo 1				
SLU-SIS-093	1	1	1	0	0	0	0	0,2	0	0	0	0	0	0,1	0	0	0	0	0	0	0	0,2	0	0	0	0	0,2	0	0	0,2	0,2	0,3	0,3	-1	E3	gruppo 1				
SLU-SIS-094	1	1	1	0	0	0	0	0	0,2	0	0	0	0	0	0,1	0	0	0	0	0	0	0	0,2	0	0	0	0	0,2	0	0,2	0,2	0,3	0,3	-1	E3	gruppo 1				
SLU-SIS-095	1	1	1	0,2	0	0	0	0	0	0	0	0	0	0	0	0	0,1	0	0	0	0	0	0	0	0,1	0	0	0	0	0,2	0,2	0,3	0,3	-1	E3	gruppo 3				
SLU-SIS-096	1	1	1	0	0,2	0	0	0	0	0	0	0	0	0	0	0	0	0,1	0	0	0	0	0	0	0	0,1	0	0	0	0,2	0,2	0,3	0,3	-1	E3	gruppo 3				
SLU-SIS-097	1	1	1	0	0	0,2	0	0	0	0	0	0	0	0	0	0	0	0	0,1	0	0	0	0	0	0	0	0,1	0	0	0	0,2	0,2	0,3	0,3	-1	E3	gruppo 3			
SLU-SIS-098	1	1	1	0	0	0	0,2	0	0	0	0	0	0	0	0	0	0	0	0	0,1	0	0	0	0	0	0	0,1	0	0	0	0,2	0,2	0,3	0,3	-1	E3	gruppo 3			
SLU-SIS-099	1	1	1	0	0	0	0	0,2	0	0	0	0	0	0,2	0	0	0	0	0	0	0,1	0	0	0	0	0	0,1	0	0	0,2	0,2	0,3	0,3	-1	E3	gruppo 3				
SLU-SIS-100	1	1	1	0	0	0	0	0	0,2	0	0	0	0	0	0,2	0	0	0	0	0	0	0	0,1	0	0	0	0	0,1	0	0,2	0,2	0,3	0,3	-1	E3	gruppo 3				
SLU-SIS-101	1	1	0	0	0	0	0	0	0	0,1	0	0	0	0	0	0,2	0	0	0	0	0	0	0,1	0	0	0	0	0,1	0	0,2	0,2	0,3	0,3	-1	E3	gruppo 3-2				
SLU-SIS-102	1	1	1	0	0	0	0	0	0	0	0	0	0	0	0	0	0	0	0	0	0	0	0	0	0	0	0	0	0	0	-1	-0,3	0,3	E1	solo perm					
SLU-SIS-103	1	1	1	0	0	0	0	0	0	0	0	0	0	0	0	0	0	0	0	0	0	0	0	0	0	0	0	0	0,2	0,5	-1	-0,3	0,3	E1	termica					
SLU-SIS-104	1	1	0	0	0	0	0	0	0	0	0	0	0	0	0	0	0	0	0	0	0	0	0	0	0	0	0	0	0,2	0,5	-1	-0,3	0,3	E1	termica					
SLU-SIS-105	1	1	1	0,2	0	0	0	0	0	0	0	0	0	0	0	0	0,2	0	0	0	0	0	0	0	0,2	0	0	0	0,2	0,5	-1	-0,3	0,3	E1	gruppo 1					
SLU-SIS-106	1	1	1	0	0,2	0	0	0	0	0	0	0	0	0	0	0	0	0,2	0	0	0	0	0	0	0	0,2	0	0	0,2	0,5	-1	-0,3	0,3	E1	gruppo 1					
SLU-SIS-107	1	1	1	0	0	0,2	0	0	0	0	0	0	0	0	0	0	0	0	0,2	0	0	0	0	0	0	0,2	0	0	0,2	0,5	-1	-0,3	0,3	E1	gruppo 1					
SLU-SIS-108	1	1	1	0	0	0	0,2	0	0	0	0	0	0	0	0	0	0	0	0	0,2	0	0	0	0	0	0,2	0	0	0,2	0,5	-1	-0,3	0,3	E1	gruppo 1					
SLU-SIS-109	1	1	1	0	0	0	0	0,2	0	0	0	0	0,1	0	0	0	0	0	0	0	0	0,2	0	0	0	0	0,2	0	0,2	0,5	-1	-0,3	0,3	E1	gruppo 1					
SLU-SIS-110	1	1	1	0	0	0	0	0	0,2	0	0	0	0	0,1	0	0	0	0	0	0	0	0,2	0	0	0	0	0,2	0	0,2	0,5	-1	-0,3	0,3	E1	gruppo 1					
SLU-SIS-111	1	1	1	0,2	0	0	0	0	0	0	0	0	0	0	0	0	0,1	0	0	0	0	0	0	0	0,1	0	0	0	0,2	0,5	-1	-0,3	0,3	E1	gruppo 3					
SLU-SIS-112	1	1	1	0	0,2	0	0	0	0	0	0	0	0	0	0	0	0	0,1	0	0	0	0	0	0	0	0,1	0	0	0,2	0,5	-1	-0,3	0,3	E1	gruppo 3					
SLU-SIS-113	1	1	1	0	0	0,2	0	0	0	0	0	0	0	0	0	0	0	0,1	0	0	0	0	0	0	0	0,1	0	0	0,2	0,5	-1	-0,3	0,3	E1	gruppo 3					
SLU-SIS-114	1	1	1	0	0	0	0,2	0	0	0	0	0	0	0	0	0	0	0	0	0,1	0	0	0	0	0	0,1	0	0	0,2	0,5	-1	-0,3	0,3	E1	gruppo 3					
SLU-SIS-115	1	1	1	0	0	0	0	0,2	0	0	0	0	0	0,2	0	0	0	0	0	0	0,1	0	0	0	0	0,1	0	0	0,2	0,5	-1	-0,3	0,3	E1	gruppo 3					
SLU-SIS-116	1	1	1	0	0	0	0	0	0,2	0	0	0	0	0,2	0	0	0	0	0	0	0	0,1	0	0	0	0	0,1	0	0,2	0,5	-1	-0,3	0,3	E1	gruppo 3					
SLU-SIS-117	1	1	0	0	0	0	0	0	0	0,1	0	0	0	0	0	0,2	0	0	0	0	0	0	0,1	0	0	0	0	0,1	0	0,2	0,5	-1	-0,3	0,3	E1	gruppo 3-2				

NOME COMB.	G - Permanenti			Q1 - Variabili verticali							Q2 - Avviamento e frenatura							Q3 - Centrifuga							Q4 - Serpeggio							Q5 - Variabili Q6 - Azioni interne Q7 - Effetti d'interazione			E - Azioni sismiche			Descrizione			
	G1	G2	G22	Q11	Q12	Q13	Q14	Q15	Q16	Q17	Q21	Q22	Q23	Q24	Q25	Q26	Q27	Q31	Q32	Q33	Q34	Q35	Q36	Q37	Q41	Q42	Q43	Q44	Q45	Q46	Q47	Q51	Q61	Q71	E1	E2	E3				
SLU-SIS-118	1	1	1	0	0	0	0	0	0	0	0	0	0	0	0	0	0	0	0	0	0	0	0	0	0	0	0	0	0	0	0	0	0	0	0	-1	-0,3	-0,3	E1	solo perm	
SLU-SIS-119	1	1	1	0	0	0	0	0	0	0	0	0	0	0	0	0	0	0	0	0	0	0	0	0	0	0	0	0	0	0	0	0	0	0	0,2	0,5	-1	-0,3	-0,3	E1	termica
SLU-SIS-120	1	1	0	0	0	0	0	0	0	0	0	0	0	0	0	0	0	0	0	0	0	0	0	0	0	0	0	0	0	0	0	0	0	0,2	0,5	-1	-0,3	-0,3	E1	termica	
SLU-SIS-121	1	1	1	0,2	0	0	0	0	0	0	0	0	0	0	0	0	0	0	0	0	0	0	0	0	0	0	0	0	0	0	0	0	0	0	0	-1	-0,3	-0,3	E1	solo vert	
SLU-SIS-122	1	1	1	0,2	0	0	0	0	0	0	0	0,1	0	0	0	0	0	0,2	0	0	0	0	0	0	0	0,2	0	0	0	0	0	0	0	0,2	0,2	-1	-0,3	-0,3	E1	gruppo 1	
SLU-SIS-123	1	1	1	0	0,2	0	0	0	0	0	0	0	0,1	0	0	0	0	0	0,2	0	0	0	0	0	0	0	0,2	0	0	0	0	0	0	0,2	0,2	-1	-0,3	-0,3	E1	gruppo 1	
SLU-SIS-124	1	1	1	0	0	0,2	0	0	0	0	0	0	0	0,1	0	0	0	0	0	0,2	0	0	0	0	0	0	0	0,2	0	0	0	0	0,2	0,2	-1	-0,3	-0,3	E1	gruppo 1		
SLU-SIS-125	1	1	1	0	0	0	0,2	0	0	0	0	0	0	0	0,1	0	0	0	0	0,2	0	0	0	0	0	0	0	0,2	0	0	0	0	0,2	0,2	-1	-0,3	-0,3	E1	gruppo 1		
SLU-SIS-126	1	1	1	0	0	0	0	0,2	0	0	0	0	0	0	0,1	0	0	0	0	0	0,2	0	0	0	0	0	0,2	0	0	0	0	0,2	0,2	-1	-0,3	-0,3	E1	gruppo 1			
SLU-SIS-127	1	1	1	0	0	0	0	0	0	0,2	0	0	0	0	0	0,1	0	0	0	0	0	0	0	0	0,2	0	0	0	0,2	0	0	0,2	0,2	-1	-0,3	-0,3	E1	gruppo 1			
SLU-SIS-128	1	1	1	0,2	0	0	0	0	0	0	0	0,2	0	0	0	0	0	0,1	0	0	0	0	0	0	0	0,1	0	0	0	0	0	0	0,2	0,2	-1	-0,3	-0,3	E1	gruppo 3		
SLU-SIS-129	1	1	1	0	0,2	0	0	0	0	0	0	0	0,2	0	0	0	0	0	0,1	0	0	0	0	0	0	0	0,1	0	0	0	0	0	0,2	0,2	-1	-0,3	-0,3	E1	gruppo 3		
SLU-SIS-130	1	1	1	0	0	0,2	0	0	0	0	0	0	0	0,2	0	0	0	0	0,1	0	0	0	0	0	0	0	0,1	0	0	0	0	0	0,2	0,2	-1	-0,3	-0,3	E1	gruppo 3		
SLU-SIS-131	1	1	1	0	0	0	0,2	0	0	0	0	0	0	0	0	0	0	0	0	0,1	0	0	0	0	0	0	0,1	0	0	0	0	0	0,2	0,2	-1	-0,3	-0,3	E1	gruppo 3		
SLU-SIS-132	1	1	1	0	0	0	0	0,2	0	0	0	0	0	0,2	0	0	0	0	0	0	0	0,1	0	0	0	0	0,1	0	0	0	0	0,2	0,2	-1	-0,3	-0,3	E1	gruppo 3			
SLU-SIS-133	1	1	1	0	0	0	0	0	0	0,2	0	0	0	0	0,2	0	0	0	0	0	0	0	0,1	0	0	0	0	0,1	0	0	0,2	0,2	-1	-0,3	-0,3	E1	gruppo 3				
SLU-SIS-134	1	1	0	0	0	0	0	0	0	0	0,1	0	0	0	0	0	0,2	0	0	0	0	0	0	0	0,1	0	0	0	0	0,1	0	0,2	0,2	-1	-0,3	-0,3	E1	gruppo 3-2			
SLU-SIS-135	1	1	1	0	0	0	0	0	0	0	0	0	0	0	0	0	0	0	0	0	0	0	0	0	0	0	0	0	0	0	0	0	0	0	-0,3	-1	0,3	E2	solo perm		
SLU-SIS-136	1	1	1	0	0	0	0	0	0	0	0	0	0	0	0	0	0	0	0	0	0	0	0	0	0	0	0	0	0	0	0	0,2	0,5	-0,3	-1	0,3	E2	termica			
SLU-SIS-137	1	1	0	0	0	0	0	0	0	0	0	0	0	0	0	0	0	0	0	0	0	0	0	0	0	0	0	0	0	0	0,2	0,5	-0,3	-1	0,3	E2	termica				
SLU-SIS-138	1	1	1	0,2	0	0	0	0	0	0	0	0	0	0	0	0	0	0	0	0	0	0	0	0	0	0	0	0	0	0	0	0	0	0	-0,3	-1	0,3	E2	solo vert		
SLU-SIS-139	1	1	1	0,2	0	0	0	0	0	0	0	0,1	0	0	0	0	0	0,2	0	0	0	0	0	0	0	0,2	0	0	0	0	0	0,2	0,2	-0,3	-1	0,3	E2	gruppo 1			
SLU-SIS-140	1	1	1	0	0,2	0	0	0	0	0	0	0	0,1	0	0	0	0	0	0,2	0	0	0	0	0	0	0	0,2	0	0	0	0	0,2	0,2	-0,3	-1	0,3	E2	gruppo 1			
SLU-SIS-141	1	1	1	0	0	0,2	0	0	0	0	0	0	0	0	0	0	0	0	0,2	0	0	0	0	0	0	0	0,2	0	0	0	0	0,2	0,2	-0,3	-1	0,3	E2	gruppo 1			
SLU-SIS-142	1	1	1	0	0	0	0,2	0	0	0	0	0	0	0	0	0	0	0	0	0,2	0	0	0	0	0	0	0,2	0	0	0	0,2	0,2	-0,3	-1	0,3	E2	gruppo 1				
SLU-SIS-143	1	1	1	0	0	0	0	0,2	0	0	0	0	0,1	0	0	0	0	0	0	0	0,2	0	0	0	0	0	0,2	0	0	0	0,2	0,2	-0,3	-1	0,3	E2	gruppo 1				
SLU-SIS-144	1	1	1	0	0	0	0	0	0	0,2	0	0	0	0	0,1	0	0	0	0	0	0	0	0,2	0	0	0	0	0,2	0	0	0,2	0,2	-0,3	-1	0,3	E2	gruppo 1				
SLU-SIS-145	1	1	1	0,2	0	0	0	0	0	0	0	0,2	0	0	0	0	0,1	0	0	0	0	0	0	0	0,1	0	0	0	0	0	0,2	0,2	-0,3	-1	0,3	G1+G2	gruppo 3				
SLU-SIS-146	1	1	1	0	0,2	0	0	0	0	0	0	0	0	0	0	0	0	0,1	0	0	0	0	0	0	0	0	0,1	0	0	0	0	0,2	0,2	-0,3	-1	0,3	G1+G2	gruppo 3			
SLU-SIS-147	1	1	1	0	0	0,2	0	0	0	0	0	0	0	0	0	0	0	0	0,1	0	0	0	0	0	0	0	0,1	0	0	0	0,2	0,2	-0,3	-1	0,3	G1+G2	gruppo 3				
SLU-SIS-148	1	1	1	0	0	0	0,2	0	0	0	0	0	0	0	0	0	0	0	0	0,1	0	0	0	0	0	0	0,1	0	0	0	0,2	0,2	-0,3	-1	0,3	G1+G2	gruppo 3				
SLU-SIS-149	1	1	1	0	0	0	0	0,2	0	0	0	0	0	0,2	0	0	0	0	0	0	0	0,1	0	0	0	0	0,1	0	0	0	0,2	0,2	-0,3	-1	0,3	G1+G2	gruppo 3				
SLU-SIS-150	1	1	1	0	0	0	0	0	0	0,2	0	0	0	0	0,2	0	0	0	0	0	0	0	0,1	0	0	0	0	0,1	0	0	0,2	0,2	-0,3	-1	0,3	G1+G2	gruppo 3				
SLU-SIS-151	1	1	0	0	0	0	0	0	0	0	0,1	0	0	0	0	0	0,2	0	0	0	0	0	0	0,1	0	0	0	0	0	0,1	0	0,2	0,2	-0,3	-1	0,3	E2	gruppo 3-2			
SLU-SIS-152	1	1	1	0	0	0	0	0	0	0	0	0	0	0	0	0	0	0	0	0	0	0	0	0	0	0	0	0	0	0	0	0	0	-0,3	-1	-0,3	E2	solo perm			
SLU-SIS-153	1	1	1	0	0	0	0	0	0	0	0	0	0	0	0	0	0	0	0	0	0	0	0	0	0	0	0	0	0	0	0,2	0,5	-0,3	-1	-0,3	E2	termica				
SLU-SIS-154	1	1	0	0	0	0	0	0	0	0	0	0	0	0	0	0	0	0	0	0	0	0	0	0	0	0	0	0	0	0	0,2	0,5	-0,3	-1	-0,3	E2	termica				

NOME COMB.	G - Permanenti			Q1 - Variabili verticali							Q2 - Avviamento e frenatura							Q3 - Centrifuga							Q4 - Serpeggio							Q5 - Variabili Q6 - Azioni interne Q7 - Effetti d'interazione			E - Azioni sismiche			Descrizione			
	G1	G2	G22	Q11	Q12	Q13	Q14	Q15	Q16	Q17	Q21	Q22	Q23	Q24	Q25	Q26	Q27	Q31	Q32	Q33	Q34	Q35	Q36	Q37	Q41	Q42	Q43	Q44	Q45	Q46	Q47	Q51	Q61	Q71	E1	E2	E3				
SLU-SIS-155	1	1	1	0,2	0	0	0	0	0	0	0	0	0	0	0	0	0	0	0	0	0	0	0	0	0	0	0	0	0	0	0	0	0	0	0	-0,3	-1	-0,3	E2	solo vert	
SLU-SIS-156	1	1	1	0,2	0	0	0	0	0	0	0	0,1	0	0	0	0	0	0,2	0	0	0	0	0	0	0	0,2	0	0	0	0	0	0	0	0,2	0,2	-0,3	-1	-0,3	E2	gruppo 1	
SLU-SIS-157	1	1	1	0	0,2	0	0	0	0	0	0	0	0,1	0	0	0	0	0,2	0	0	0	0	0	0	0	0,2	0	0	0	0	0	0	0,2	0,2	-0,3	-1	-0,3	E2	gruppo 1		
SLU-SIS-158	1	1	1	0	0	0,2	0	0	0	0	0	0	0	0,1	0	0	0	0	0,2	0	0	0	0	0	0	0	0,2	0	0	0	0	0	0,2	0,2	-0,3	-1	-0,3	E2	gruppo 1		
SLU-SIS-159	1	1	1	0	0	0	0,2	0	0	0	0	0	0	0	0,1	0	0	0	0	0,2	0	0	0	0	0	0	0	0,2	0	0	0	0,2	0,2	-0,3	-1	-0,3	E2	gruppo 1			
SLU-SIS-160	1	1	1	0	0	0	0	0,2	0	0	0	0	0	0	0,1	0	0	0	0	0	0	0	0,2	0	0	0	0	0	0,2	0	0	0	0,2	0,2	-0,3	-1	-0,3	E2	gruppo 1		
SLU-SIS-161	1	1	1	0	0	0	0	0	0	0,2	0	0	0	0	0	0,1	0	0	0	0	0	0	0	0	0	0,2	0	0	0	0	0,2	0	0	0,2	0,2	-0,3	-1	-0,3	E2	gruppo 1	
SLU-SIS-162	1	1	1	0,2	0	0	0	0	0	0	0	0	0	0	0	0	0,1	0	0	0	0	0	0	0	0	0	0	0	0	0	0	0	0,2	0,2	-0,3	-1	-0,3	E2	gruppo 3		
SLU-SIS-163	1	1	1	0	0,2	0	0	0	0	0	0	0	0,2	0	0	0	0	0	0,1	0	0	0	0	0	0	0	0	0,1	0	0	0	0	0,2	0,2	-0,3	-1	-0,3	E2	gruppo 3		
SLU-SIS-164	1	1	1	0	0	0,2	0	0	0	0	0	0	0	0	0	0	0	0	0,1	0	0	0	0	0	0	0	0	0,1	0	0	0	0	0,2	0,2	-0,3	-1	-0,3	E2	gruppo 3		
SLU-SIS-165	1	1	1	0	0	0	0,2	0	0	0	0	0	0	0	0	0	0	0	0	0,1	0	0	0	0	0	0	0	0,1	0	0	0	0	0,2	0,2	-0,3	-1	-0,3	E2	gruppo 3		
SLU-SIS-166	1	1	1	0	0	0	0	0,2	0	0	0	0	0	0	0,2	0	0	0	0	0	0	0	0	0,1	0	0	0	0	0,1	0	0	0	0,2	0,2	-0,3	-1	-0,3	E2	gruppo 3		
SLU-SIS-167	1	1	1	0	0	0	0	0	0	0,2	0	0	0	0	0	0,2	0	0	0	0	0	0	0	0	0,1	0	0	0	0	0,1	0	0	0,2	0,2	-0,3	-1	-0,3	E2	gruppo 3		
SLU-SIS-168	1	1	0	0	0	0	0	0	0	0	0	0	0	0	0	0	0,2	0	0	0	0	0	0	0	0	0	0	0	0	0	0	0,1	0,2	0,2	-0,3	-1	-0,3	E2	gruppo 3-2		
SLU-SIS-169	1	1	1	0	0	0	0	0	0	0	0	0	0	0	0	0	0	0	0	0	0	0	0	0	0	0	0	0	0	0	0	0	0	0	0	0	-0,3	-0,3	1	E3	solo perm
SLU-SIS-170	1	1	1	0	0	0	0	0	0	0	0	0	0	0	0	0	0	0	0	0	0	0	0	0	0	0	0	0	0	0	0	0	0,2	0,5	-0,3	-0,3	1	E3	termica		
SLU-SIS-171	1	1	0	0	0	0	0	0	0	0	0	0	0	0	0	0	0	0	0	0	0	0	0	0	0	0	0	0	0	0	0	0	0,2	0,5	-0,3	-0,3	1	E3	termica		
SLU-SIS-172	1	1	1	0,2	0	0	0	0	0	0	0	0	0	0	0	0	0	0	0	0	0	0	0	0	0	0	0	0	0	0	0	0	0	0	0	-0,3	-0,3	1	E3	solo vert	
SLU-SIS-173	1	1	1	0,2	0	0	0	0	0	0	0	0,1	0	0	0	0	0	0,2	0	0	0	0	0	0	0	0	0,2	0	0	0	0	0	0,2	0,2	-0,3	-0,3	1	E3	gruppo 1		
SLU-SIS-174	1	1	1	0	0,2	0	0	0	0	0	0	0	0,1	0	0	0	0	0	0,2	0	0	0	0	0	0	0	0,2	0	0	0	0	0	0,2	0,2	-0,3	-0,3	1	E3	gruppo 1		
SLU-SIS-175	1	1	1	0	0	0,2	0	0	0	0	0	0	0	0	0	0	0	0	0,2	0	0	0	0	0	0	0	0,2	0	0	0	0	0,2	0,2	-0,3	-0,3	1	E3	gruppo 1			
SLU-SIS-176	1	1	1	0	0	0	0,2	0	0	0	0	0	0	0	0	0	0	0	0	0,2	0	0	0	0	0	0	0,2	0	0	0	0	0,2	0,2	-0,3	-0,3	1	E3	gruppo 1			
SLU-SIS-177	1	1	1	0	0	0	0	0,2	0	0	0	0	0	0,1	0	0	0	0	0	0	0	0	0,2	0	0	0	0	0,2	0	0	0	0,2	0,2	-0,3	-0,3	1	E3	gruppo 1			
SLU-SIS-178	1	1	1	0	0	0	0	0	0	0,2	0	0	0	0	0,1	0	0	0	0	0	0	0	0	0,2	0	0	0	0	0,2	0	0	0,2	0,2	-0,3	-0,3	1	E3	gruppo 1			
SLU-SIS-179	1	1	1	0,2	0	0	0	0	0	0	0	0	0	0	0	0	0,1	0	0	0	0	0	0	0	0	0	0,1	0	0	0	0	0	0,2	0,2	-0,3	-0,3	1	E3	gruppo 3		
SLU-SIS-180	1	1	1	0	0,2	0	0	0	0	0	0	0	0,2	0	0	0	0	0,1	0	0	0	0	0	0	0	0	0,1	0	0	0	0	0,2	0,2	-0,3	-0,3	1	E3	gruppo 3			
SLU-SIS-181	1	1	1	0	0	0,2	0	0	0	0	0	0	0	0	0	0	0	0	0,1	0	0	0	0	0	0	0	0,1	0	0	0	0	0,2	0,2	-0,3	-0,3	1	E3	gruppo 3			
SLU-SIS-182	1	1	1	0	0	0	0,2	0	0	0	0	0	0	0	0	0	0	0	0	0,1	0	0	0	0	0	0	0	0,1	0	0	0	0,2	0,2	-0,3	-0,3	1	E3	gruppo 3			
SLU-SIS-183	1	1	1	0	0	0	0	0,2	0	0	0	0	0,2	0	0	0	0	0	0	0	0	0,1	0	0	0	0	0,1	0	0	0	0	0,2	0,2	-0,3	-0,3	1	E3	gruppo 3			
SLU-SIS-184	1	1	1	0	0	0	0	0	0	0,2	0	0	0	0	0,2	0	0	0	0	0	0	0	0,1	0	0	0	0	0,1	0	0	0,2	0,2	-0,3	-0,3	1	E3	gruppo 3				
SLU-SIS-185	1	1	0	0	0	0	0	0	0	0	0	0	0	0	0	0,2	0	0	0	0	0	0	0	0,1	0	0	0	0	0	0	0	0,1	0,2	0,2	-0,3	-0,3	1	E3	gruppo 3-2		
SLU-SIS-186	1	1	1	0	0	0	0	0	0	0	0	0	0	0	0	0	0	0	0	0	0	0	0	0	0	0	0	0	0	0	0	0	0	0	-0,3	-0,3	-1	E3	solo perm		
SLU-SIS-187	1	1	1	0	0	0	0	0	0	0	0	0	0	0	0	0	0	0	0	0	0	0	0	0	0	0	0	0	0	0	0	0,2	0,5	-0,3	-0,3	-1	E3	termica			
SLU-SIS-188	1	1	0	0	0	0	0	0	0	0	0	0	0	0	0	0	0	0	0	0	0	0	0	0	0	0	0	0	0	0	0	0,2	0,5	-0,3	-0,3	-1	E3	termica			
SLU-SIS-189	1	1	1	0,2	0	0	0	0	0	0	0	0	0	0	0	0	0	0	0	0	0	0	0	0	0	0	0	0	0	0	0	0	0	0	-0,3	-0,3	-1	E3	solo vert		
SLU-SIS-190	1	1	1	0,2	0	0	0	0	0	0	0	0,1	0	0	0	0	0	0,2	0	0	0	0	0	0	0	0	0,2	0	0	0	0	0,2	0,2	-0,3	-0,3	-1	E3	gruppo 1			
SLU-SIS-191	1	1	1	0	0,2	0	0	0	0	0	0	0	0,1	0	0	0	0	0,2	0	0	0	0	0	0	0	0	0,2	0	0	0	0	0,2	0,2	-0,3	-0,3	-1	E3	gruppo 1			

NOME COMB.	G - Permanenti			Q1 - Variabili verticali							Q2 - Avviamento e frenatura							Q3 - Centrifuga							Q4 - Serpeggio							Q5 - Variabili Q6 - Azioni interne Q7 - Effetti d'interazione			E - Azioni sismiche			Descrizione							
	G1	G2	G22	Q11	Q12	Q13	Q14	Q15	Q16	Q17	Q21	Q22	Q23	Q24	Q25	Q26	Q27	Q31	Q32	Q33	Q34	Q35	Q36	Q37	Q41	Q42	Q43	Q44	Q45	Q46	Q47	Q51	Q61	Q71	E1	E2	E3								
SLU-SIS-192	1	1	1	0	0	0,2	0	0	0	0	0	0	0	0,1	0	0	0	0	0,2	0	0	0	0	0	0	0	0,2	0	0	0	0	0,2	0,2	0,2	-0,3	-0,3	-1	E3	gruppo 1						
SLU-SIS-193	1	1	1	0	0	0	0,2	0	0	0	0	0	0	0	0	0	0	0	0	0,2	0	0	0	0	0	0	0	0,2	0	0	0	0	0,2	0,2	0,2	-0,3	-0,3	-1	E3	gruppo 1					
SLU-SIS-194	1	1	1	0	0	0	0	0,2	0	0	0	0	0	0,1	0	0	0	0	0	0	0,2	0	0	0	0	0	0	0,2	0	0	0	0,2	0,2	0,2	-0,3	-0,3	-1	E3	gruppo 1						
SLU-SIS-195	1	1	1	0	0	0	0	0	0,2	0	0	0	0	0	0,1	0	0	0	0	0	0	0,2	0	0	0	0	0	0,2	0	0	0,2	0,2	0,2	-0,3	-0,3	-1	E3	gruppo 1							
SLU-SIS-196	1	1	1	0,2	0	0	0	0	0	0	0	0	0	0	0	0	0,1	0	0	0	0	0	0	0	0	0,1	0	0	0	0	0	0,2	0,2	0,2	-0,3	-0,3	-1	E3	gruppo 3						
SLU-SIS-197	1	1	1	0	0,2	0	0	0	0	0	0	0	0	0	0	0	0	0,1	0	0	0	0	0	0	0	0	0,1	0	0	0	0	0	0,2	0,2	0,2	-0,3	-0,3	-1	E3	gruppo 3					
SLU-SIS-198	1	1	1	0	0	0,2	0	0	0	0	0	0	0	0	0	0	0	0	0,1	0	0	0	0	0	0	0	0	0,1	0	0	0	0	0,2	0,2	0,2	-0,3	-0,3	-1	E3	gruppo 3					
SLU-SIS-199	1	1	1	0	0	0	0,2	0	0	0	0	0	0	0	0	0	0	0	0	0,1	0	0	0	0	0	0	0	0,1	0	0	0	0	0,2	0,2	0,2	-0,3	-0,3	-1	E3	gruppo 3					
SLU-SIS-200	1	1	1	0	0	0	0	0,2	0	0	0	0	0	0,2	0	0	0	0	0	0	0,1	0	0	0	0	0	0	0,1	0	0	0	0,2	0,2	0,2	-0,3	-0,3	-1	E3	gruppo 3						
SLU-SIS-201	1	1	1	0	0	0	0	0	0	0,2	0	0	0	0	0,2	0	0	0	0	0	0	0,1	0	0	0	0	0	0,1	0	0	0,2	0,2	0,2	-0,3	-0,3	-1	E3	gruppo 3							
SLU-SIS-202	1	1	0	0	0	0	0	0	0	0	0	0	0	0	0	0,2	0	0	0	0	0	0	0	0,1	0	0	0	0	0	0	0,1	0,2	0,2	0,2	-0,3	-0,3	-1	E3	gruppo 3-2						
SLE-RAR-001	1	1	1	0	0	0	0	0	0	0	0	0	0	0	0	0	0	0	0	0	0	0	0	0	0	0	0	0	0	0	0	0	0	0	0	0	0	G1+G2	solo perm						
SLE-RAR-002	1	1	1	0	0	0	0	0	0	0	0	0	0	0	0	0	0	0	0	0	0	0	0	0	0	0	0	0	0	0	0	0	0	0	0	0	0	Q51	vento						
SLE-RAR-003	1	1	1	0	0	0	0	0	0	0	0	0	0	0	0	0	0	0	0	0	0	0	0	0	0	0	0	0	0	0	0	0	0	0	0	0	0	0	Q61	termica					
SLE-RAR-004	1	1	0	0	0	0	0	0	0	0	0	0	0	0	0	0	0	0	0	0	0	0	0	0	0	0	0	0	0	0	0	0	0	0	0	0	0	0	Q51	vento					
SLE-RAR-005	1	1	0	0	0	0	0	0	0	0	0	0	0	0	0	0	0	0	0	0	0	0	0	0	0	0	0	0	0	0	0	0	0	0	0	0	0	0	Q61	termica					
SLE-RAR-006	1	1	1	1	0	0	0	0	0	0	0	0	0	0	0	0	0	1	0	0	0	0	0	0	0	0	1	0	0	0	0	0	0	0	0	0	0	0	0	Q11	gruppo 1				
SLE-RAR-007	1	1	1	0	1	0	0	0	0	0	0	0	0	0	0,5	0	0	0	1	0	0	0	0	0	0	0	0	1	0	0	0	0	0	0	0	0	0	0	0	Q12	gruppo 1				
SLE-RAR-008	1	1	1	0	0	1	0	0	0	0	0	0	0	0	0	0	0	0	0	1	0	0	0	0	0	0	0	0	1	0	0	0	0	0	0	0	0	0	0	Q13	gruppo 1				
SLE-RAR-009	1	1	1	0	0	0	1	0	0	0	0	0	0	0	0	0	0	0	0	0	1	0	0	0	0	0	0	0	0	1	0	0	0	0	0	0	0	0	0	0	Q14	gruppo 1			
SLE-RAR-010	1	1	1	0	0	0	0	0	1	0	0	0	0	0	0,5	0	0	0	0	0	0	0	0	0	0	0	0	0	0	0	0	0	0	0	0	0	0	0	0	0	Q15	gruppo 1			
SLE-RAR-011	1	1	1	0	0	0	0	0	0	1	0	0	0	0	0,5	0	0	0	0	0	0	0	0	0	0	0	0	0	0	0	0	0	0	0	0	0	0	0	0	0	Q16	gruppo 1			
SLE-RAR-012	1	1	1	1	0	0	0	0	0	0	0	0	0	0	0	0	0	0,5	0	0	0	0	0	0	0	0	0,5	0	0	0	0	0	0	0	0	0	0	0	0	0	0	Q11	gruppo 3		
SLE-RAR-013	1	1	1	0	1	0	0	0	0	0	0	0	0	0	0	0	0	0	0,5	0	0	0	0	0	0	0	0	0,5	0	0	0	0	0	0	0	0	0	0	0	0	0	0	Q12	gruppo 3	
SLE-RAR-014	1	1	1	0	0	1	0	0	0	0	0	0	0	0	0	0	0	0	0	0,5	0	0	0	0	0	0	0	0,5	0	0	0	0	0	0	0	0	0	0	0	0	0	0	Q13	gruppo 3	
SLE-RAR-015	1	1	1	0	0	0	1	0	0	0	0	0	0	0	0	0	0	0	0	0	0,5	0	0	0	0	0	0	0,5	0	0	0	0	0	0	0	0	0	0	0	0	0	0	Q14	gruppo 3	
SLE-RAR-016	1	1	1	0	0	0	0	0	1	0	0	0	0	0	0	0	0	0	0	0	0	0,5	0	0	0	0	0	0,5	0	0	0	0	0	0	0	0	0	0	0	0	0	0	Q15	gruppo 3	
SLE-RAR-017	1	1	1	0	0	0	0	0	0	1	0	0	0	0	0	0	0	0	0	0	0	0	0,5	0	0	0	0	0	0,5	0	0	0	0	0	0	0	0	0	0	0	0	0	Q16	gruppo 3	
SLE-RAR-018	1	1	0	0	0	0	0	0	0	0	0,5	0	0	0	0	0	0	1	0	0	0	0	0	0	0	0	0	0	0	0	0	0	0	0	0	0	0	0	0	0	0	0	Q27	gruppo 3-2	
SLE-RAR-019	1	1	1	1	0	0	0	0	0	0	0	0	0	0	0	0	0	1	0	0	0	0	0	0	0	0	1	0	0	0	0	0	0	0	0	0	0	0	0	0	0	0	Q11	gruppo 1	
SLE-RAR-020	1	1	1	0	1	0	0	0	0	0	0	0	0	0	0	0	0	0	0	1	0	0	0	0	0	0	0	1	0	0	0	0	0	0	0	0	0	0	0	0	0	0	Q12	gruppo 1	
SLE-RAR-021	1	1	1	0	0	1	0	0	0	0	0	0	0	0	0	0	0	0	0	1	0	0	0	0	0	0	0	1	0	0	0	0	0	0	0	0	0	0	0	0	0	0	Q13	gruppo 1	
SLE-RAR-022	1	1	1	0	0	0	1	0	0	0	0	0	0	0	0	0	0	0	0	0	1	0	0	0	0	0	0	1	0	0	0	0	0	0	0	0	0	0	0	0	0	0	Q14	gruppo 1	
SLE-RAR-023	1	1	1	0	0	0	0	0	1	0	0	0	0	0,5	0	0	0	0	0	0	0	0	0	0	0	0	0	0	0	0	0	0	0	0	0	0	0	0	0	0	0	0	Q15	gruppo 1	
SLE-RAR-024	1	1	1	0	0	0	0	0	0	1	0	0	0	0	0,5	0	0	0	0	0	0	0	0	0	0	0	0	0	0	0	0	0	0	0	0	0	0	0	0	0	0	0	Q16	gruppo 1	
SLE-RAR-025	1	1	1	1	0	0	0	0	0	0	0	0	0	0	0	0	0	0,5	0	0	0	0	0	0	0	0	0,5	0	0	0	0	0	0	0	0	0	0	0	0	0	0	0	0	Q11	gruppo 3

NOME COMB.	G - Permanenti			Q1 - Variabili verticali							Q2 - Avviamento e frenatura							Q3 - Centrifuga							Q4 - Serpeggio							Q5 - Variabili Q6 - Azioni interne Q7 - Effetti d'interazione			E - Azioni sismiche			Descrizione	
	G1	G2	G22	Q11	Q12	Q13	Q14	Q15	Q16	Q17	Q21	Q22	Q23	Q24	Q25	Q26	Q27	Q31	Q32	Q33	Q34	Q35	Q36	Q37	Q41	Q42	Q43	Q44	Q45	Q46	Q47	Q51	Q61	Q71	E1	E2	E3		
SLE-RAR-063	1	1	1	0	0	0	0	0	1	0	0	0	0	0	0,5	0	0	0	0	0	0	1	0	0	0	0	0	0	1	0	0,6	1	0,6	0	0	0	Q16	gruppo 1	
SLE-RAR-064	1	1	1	1	0	0	0	0	0	0	1	0	0	0	0	0	0	0,5	0	0	0	0	0	0	0,5	0	0	0	0	0	0	0,6	1	0,6	0	0	0	Q11	gruppo 3
SLE-RAR-065	1	1	1	0	1	0	0	0	0	0	0	1	0	0	0	0	0	0,5	0	0	0	0	0	0	0	0,5	0	0	0	0	0	0,6	1	0,6	0	0	0	Q12	gruppo 3
SLE-RAR-066	1	1	1	0	0	1	0	0	0	0	0	0	1	0	0	0	0	0	0,5	0	0	0	0	0	0	0	0,5	0	0	0	0,6	1	0,6	0	0	0	Q13	gruppo 3	
SLE-RAR-067	1	1	1	0	0	0	1	0	0	0	0	0	1	0	0	0	0	0	0	0,5	0	0	0	0	0	0	0	0,5	0	0	0,6	1	0,6	0	0	0	Q14	gruppo 3	
SLE-RAR-068	1	1	1	0	0	0	0	1	0	0	0	0	0	1	0	0	0	0	0	0	0	0,5	0	0	0	0	0	0	0,5	0	0	0,6	1	0,6	0	0	0	Q15	gruppo 3
SLE-RAR-069	1	1	1	0	0	0	0	0	1	0	0	0	0	0	1	0	0	0	0	0	0	0	0,5	0	0	0	0	0	0,5	0	0	0,6	1	0,6	0	0	0	Q16	gruppo 3
SLE-RAR-070	1	1	0	0	0	0	0	0	0	0,5	0	0	0	0	0	1	0	0	0	0	0	0	0,5	0	0	0	0	0	0,5	0,6	1	0,6	0	0	0	Q27	gruppo 3-2		
SLE-RAR-071	1	1	1	0,6	0	0	0	0	0	0	0,6	0	0	0	0	0	0,6	0	0	0	0	0	0	0	0,6	0	0	0	0	0	0	0	0	0	0	0	Q11	gruppo 4	
SLE-RAR-072	1	1	1	0	0,6	0	0	0	0	0	0	0,6	0	0	0	0	0	0,6	0	0	0	0	0	0	0	0,6	0	0	0	0	0	0	0	0	0	0	Q12	gruppo 4	
SLE-RAR-073	1	1	1	0	0	0,8	0	0	0	0	0	0	0,8	0	0	0	0	0	0,8	0	0	0	0	0	0	0	0,8	0	0	0	0	0	0	0	0	0	Q13	gruppo 4	
SLE-RAR-074	1	1	1	0	0	0	0,8	0	0	0	0	0	0	0,8	0	0	0	0	0	0	0,8	0	0	0	0	0	0	0,8	0	0	0	0	0	0	0	0	Q14	gruppo 4	
SLE-RAR-075	1	1	1	0	0	0	0	0,6	0	0	0	0	0	0	0,6	0	0	0	0	0	0	0,6	0	0	0	0	0,6	0	0	0	0	0	0	0	0	0	Q15	gruppo 4	
SLE-RAR-076	1	1	1	0	0	0	0	0	0,6	0	0	0	0	0	0,6	0	0	0	0	0	0	0,6	0	0	0	0	0,6	0	0	0	0	0	0	0	0	0	Q16	gruppo 4	
SLE-RAR-077	1	1	0	0	0	0	0	0	0	0,6	0	0	0	0	0	0,6	0	0	0	0	0	0	0,6	0	0	0	0	0,6	0	0	0	0	0	0	0	0	Q17	gruppo 4	
SLE-RAR-078	1	1	1	0,6	0	0	0	0	0	0	0,6	0	0	0	0	0	0,6	0	0	0	0	0	0	0	0,6	0	0	0	0	0	0	0	0	0	0	0	Q11	gruppo 4	
SLE-RAR-079	1	1	1	0	0,6	0	0	0	0	0	0	0,6	0	0	0	0	0	0,6	0	0	0	0	0	0	0	0,6	0	0	0	0	0	0	0	0	0	0	Q12	gruppo 4	
SLE-RAR-080	1	1	1	0	0	0,8	0	0	0	0	0	0	0,8	0	0	0	0	0	0,8	0	0	0	0	0	0	0	0,8	0	0	0	0	0	0	0	0	0	Q13	gruppo 4	
SLE-RAR-081	1	1	1	0	0	0	0,8	0	0	0	0	0	0	0,8	0	0	0	0	0	0,8	0	0	0	0	0	0	0,8	0	0	0	0	0	0	0	0	0	Q14	gruppo 4	
SLE-RAR-082	1	1	1	0	0	0	0	0,6	0	0	0	0	0	0	0,6	0	0	0	0	0	0	0,6	0	0	0	0	0,6	0	0	0	0	0	0	0	0	0	Q15	gruppo 4	
SLE-RAR-083	1	1	1	0	0	0	0	0	0,6	0	0	0	0	0	0,6	0	0	0	0	0	0	0,6	0	0	0	0	0,6	0	0	0	0	0	0	0	0	0	Q16	gruppo 4	
SLE-RAR-084	1	1	0	0	0	0	0	0	0	0,6	0	0	0	0	0	0,6	0	0	0	0	0	0	0,6	0	0	0	0	0,6	0	0	0	0	0	0	0	0	Q17	gruppo 4	
SLE-RAR-085	1	1	1	0,6	0	0	0	0	0	0	0,6	0	0	0	0	0	0,6	0	0	0	0	0	0	0	0,6	0	0	0	0	0	0	1	0	0	0	Q61	gruppo 4		
SLE-RAR-086	1	1	1	0	0,6	0	0	0	0	0	0	0,6	0	0	0	0	0	0,6	0	0	0	0	0	0	0	0,6	0	0	0	0	0	1	0	0	0	Q61	gruppo 4		
SLE-RAR-087	1	1	1	0	0	0,8	0	0	0	0	0	0	0,8	0	0	0	0	0	0,8	0	0	0	0	0	0	0	0,8	0	0	0	0	1	0	0	0	Q61	gruppo 4		
SLE-RAR-088	1	1	1	0	0	0	0,8	0	0	0	0	0	0	0,8	0	0	0	0	0	0,8	0	0	0	0	0	0	0,8	0	0	0	0	1	0	0	0	Q61	gruppo 4		
SLE-RAR-089	1	1	1	0	0	0	0	0,6	0	0	0	0	0	0	0,6	0	0	0	0	0	0	0,6	0	0	0	0	0,6	0	0	0	0	1	0	0	0	Q61	gruppo 4		
SLE-RAR-090	1	1	1	0	0	0	0	0	0,6	0	0	0	0	0	0,6	0	0	0	0	0	0	0	0,6	0	0	0	0	0,6	0	0	0	1	0	0	0	Q61	gruppo 4		
SLE-RAR-091	1	1	0	0	0	0	0	0	0	0,6	0	0	0	0	0	0,6	0	0	0	0	0	0	0,6	0	0	0	0	0,6	0	0	0	1	0	0	0	Q61	gruppo 4		
SLE-RAR-092	1	1	1	0,6	0	0	0	0	0	0	0,6	0	0	0	0	0	0,6	0	0	0	0	0	0	0	0,6	0	0	0	0	0	0	0,6	0	0	0	Q11	gruppo 4		
SLE-RAR-093	1	1	1	0	0,6	0	0	0	0	0	0	0,6	0	0	0	0	0	0,6	0	0	0	0	0	0	0	0,6	0	0	0	0	0	0,6	0	0	0	Q12	gruppo 4		
SLE-RAR-094	1	1	1	0	0	0,8	0	0	0	0	0	0	0,8	0	0	0	0	0	0,8	0	0	0	0	0	0	0	0,8	0	0	0	0	0	0,6	0	0	Q13	gruppo 4		
SLE-RAR-095	1	1	1	0	0	0	0,8	0	0	0	0	0	0	0,8	0	0	0	0	0	0,8	0	0	0	0	0	0	0,8	0	0	0	0	0	0,6	0	0	Q14	gruppo 4		
SLE-RAR-096	1	1	1	0	0	0	0	0,6	0	0	0	0	0	0	0,6	0	0	0	0	0	0	0,6	0	0	0	0	0,6	0	0	0	0	0	0,6	0	0	Q15	gruppo 4		
SLE-RAR-097	1	1	1	0	0	0	0	0	0,6	0	0	0	0	0	0,6	0	0	0	0	0	0	0,6	0	0	0	0	0,6	0	0	0	0	0	0,6	0	0	Q16	gruppo 4		
SLE-RAR-098	1	1	0	0	0	0	0	0	0	0,6	0	0	0	0	0	0,6	0	0	0	0	0	0	0,6	0	0	0	0	0,6	0	0	0	0,6	0	0	0	Q17	gruppo 4		
SLE-RAR-099	1	1	1	0,6	0	0	0	0	0	0	0,6	0	0	0	0	0	0,6	0	0	0	0	0	0	0	0,6	0	0	0	0	0	0	1	0,6	0	0	Q61	gruppo 4		

NOME COMB.	G - Permanenti			Q1 - Variabili verticali							Q2 - Avviamento e frenatura							Q3 - Centrifuga							Q4 - Serpeggio							Q5 - Variabili Q6 - Azioni interne Q7 - Effetti d'interazione			E - Azioni sismiche			Descrizione		
	G1	G21	G22	Q11	Q12	Q13	Q14	Q15	Q16	Q17	Q21	Q22	Q23	Q24	Q25	Q26	Q27	Q31	Q32	Q33	Q34	Q35	Q36	Q37	Q41	Q42	Q43	Q44	Q45	Q46	Q47	Q51	Q61	Q71	E1	E2	E3			
SLE-RAR-100	1	1	1	0	0,6	0	0	0	0	0	0	0,6	0	0	0	0	0	0,6	0	0	0	0	0	0	0,6	0	0	0	0	0	0,6	1	0,6	0	0	0	Q61	gruppo 4		
SLE-RAR-101	1	1	1	0	0	0,8	0	0	0	0	0	0	0,8	0	0	0	0	0	0	0,8	0	0	0	0	0	0	0,8	0	0	0	0	0	0,6	1	0,6	0	0	0	Q61	gruppo 4
SLE-RAR-102	1	1	1	0	0	0	0,8	0	0	0	0	0	0,8	0	0	0	0	0	0	0,8	0	0	0	0	0	0	0,8	0	0	0	0	0	0,6	1	0,6	0	0	0	Q61	gruppo 4
SLE-RAR-103	1	1	1	0	0	0	0	0,6	0	0	0	0	0	0,6	0	0	0	0	0	0	0,6	0	0	0	0	0	0,6	0	0	0	0,6	1	0,6	0	0	0	Q61	gruppo 4		
SLE-RAR-104	1	1	1	0	0	0	0	0	0,6	0	0	0	0	0	0,6	0	0	0	0	0	0	0,6	0	0	0	0	0	0,6	0	0	0,6	1	0,6	0	0	0	Q61	gruppo 4		
SLE-RAR-105	1	1	0	0	0	0	0	0	0	0,6	0	0	0	0	0	0,6	0	0	0	0	0	0	0,6	0	0	0	0	0	0,6	0	0	0,6	1	0,6	0	0	0	Q61	gruppo 4	
SLE-QPE-001	1	1	1	0	0	0	0	0	0	0	0	0	0	0	0	0	0	0	0	0	0	0	0	0	0	0	0	0	0	0	0	0	0	0	0	0	0	G1+G2	solo perm	
SLE-QPE-002	1	1	1	0	0	0	0	0	0	0	0	0	0	0	0	0	0	0	0	0	0	0	0	0	0	0	0	0	0	0	0	0	1	1	0	0	0	Q61	termica	

ALLEGATO 2
VI06 – PILA 04

1 SOLLECITAZIONI ELEMENTARI A BASE PILA

C.C.E.	Descrizione	F1	F2	F3	M1	M2	M3
		kN	kN	kN	kNm	kNm	kNm
G1	Pesi propri	0	0	-9656	0	0	0
G2	Ballast	0	0	-3500	0	0	0
G2	Permanententi non strutturali	0	0	-1548	0	0	0
Q11	Disposizione 1 (massimizza N)	0	0	-5692	-684	66	0
Q12	Disposizione 2 (massimizza M2)	0	0	-3559	-518	3915	0
Q13	Disposizione 3 (massimizza M1)	0	0	-2962	-5925	66	0
Q14	Disposizione 4 (massimizza M1)	0	0	-2730	-5678	0	0
Q15	Disposizione 5 (massimizza N+M2)	0	0	-5524	-789	1753	0
Q16	Disposizione 6 (massimizza N)	0	0	-5460	-218	0	0
Q17	Disposizione 7 (minimizza N)	0	0	-2977	-1634	3275	0
Q21	Disposizione 1 (massimizza N)	1835	0	0	0	16332	0
Q22	Disposizione 2 (massimizza M2)	2154	0	0	0	19171	0
Q23	Disposizione 3 (massimizza M1)	819	0	0	0	7289	0
Q24	Disposizione 4 (massimizza M1)	1016	0	0	0	9042	0
Q25	Disposizione 5 (massimizza N+M2)	2154	0	0	0	19171	0
Q26	Disposizione 6 (massimizza N)	1995	0	0	0	17756	0
Q27	Disposizione 7 (minimizza N)	2154	0	0	0	19171	0
Q31	Disposizione 1 (massimizza N)	0	473	0	-6612	0	0
Q32	Disposizione 2 (massimizza M2)	0	294	0	-4111	0	0
Q33	Disposizione 3 (massimizza M1)	0	155	0	-2170	0	0
Q34	Disposizione 4 (massimizza M1)	0	318	0	-4442	0	0
Q35	Disposizione 5 (massimizza N+M2)	0	463	0	-6472	0	0
Q36	Disposizione 6 (massimizza N)	0	460	0	-6434	0	0
Q37	Disposizione 7 (minimizza N)	0	226	0	-3162	0	0
Q41	Disposizione 1 (massimizza N)	0	210	0	-2557	0	0
Q42	Disposizione 2 (massimizza M2)	0	210	0	-2558	0	0
Q43	Disposizione 3 (massimizza M1)	0	100	0	-1218	0	0
Q44	Disposizione 4 (massimizza M1)	0	110	0	-1339	0	0
Q45	Disposizione 5 (massimizza N+M2)	0	210	0	-2557	0	0
Q46	Disposizione 6 (massimizza N)	0	210	0	-2557	0	0
Q47	Disposizione 7 (minimizza N)	0	210	0	-2558	0	0
Q51	Vento	0	883	0	-12358	0	0
Q61	Attrito su vincoli	283	0	0	0	2519	0
Q71	Variazioni termiche	280	0	0	0	2492	0
E1	Sisma x	5848	0	0	0	52044	2403
E2	Sisma y	0	4810	0	-52814	0	3608
E3	Sisma z	0	0	-4696	-1555	2837	0

2 SPOSTAMENTI ELEMENTARI IN TESTA PILA

C.C.E.	Descrizione	d1,1	d2,1	d3,1	φ1,1	φ2,1	φ3,1
		mm	mm	mm	1/mm	1/mm	1/mm
G1	Pesi propri	0.00	0.00	-0.25	0.00	0.00	0.00
G2	Ballast	0.00	0.00	-0.09	0.00	0.00	0.00
G2	Permanenti non strutturali	0.00	0.00	-0.04	0.00	0.00	0.00
Q11	Disposizione 1 (massimizza N)	0.00	0.00	-0.14	0.00	0.00	0.00
Q12	Disposizione 2 (massimizza M2)	0.00	0.00	-0.09	0.00	0.00	0.00
Q13	Disposizione 3 (massimizza M1)	0.00	0.00	-0.08	0.00	0.00	0.00
Q14	Disposizione 4 (massimizza M1)	0.00	0.00	-0.07	0.00	0.00	0.00
Q15	Disposizione 5 (massimizza N+M2)	0.00	0.00	-0.14	0.00	0.00	0.00
Q16	Disposizione 6 (massimizza N)	0.00	0.00	-0.14	0.00	0.00	0.00
Q17	Disposizione 7 (minimizza N)	0.00	0.00	-0.08	0.00	0.00	0.00
Q21	Disposizione 1 (massimizza N)	1.37	0.00	0.00	0.00	0.15	0.00
Q22	Disposizione 2 (massimizza M2)	1.60	0.00	0.00	0.00	0.18	0.00
Q23	Disposizione 3 (massimizza M1)	0.61	0.00	0.00	0.00	0.07	0.00
Q24	Disposizione 4 (massimizza M1)	0.76	0.00	0.00	0.00	0.09	0.00
Q25	Disposizione 5 (massimizza N+M2)	1.60	0.00	0.00	0.00	0.18	0.00
Q26	Disposizione 6 (massimizza N)	1.49	0.00	0.00	0.00	0.17	0.00
Q27	Disposizione 7 (minimizza N)	1.60	0.00	0.00	0.00	0.18	0.00
Q31	Disposizione 1 (massimizza N)	0.00	0.09	0.00	0.01	0.00	0.00
Q32	Disposizione 2 (massimizza M2)	0.00	0.06	0.00	0.01	0.00	0.00
Q33	Disposizione 3 (massimizza M1)	0.00	0.03	0.00	0.00	0.00	0.00
Q34	Disposizione 4 (massimizza M1)	0.00	0.06	0.00	0.01	0.00	0.00
Q35	Disposizione 5 (massimizza N+M2)	0.00	0.09	0.00	0.01	0.00	0.00
Q36	Disposizione 6 (massimizza N)	0.00	0.09	0.00	0.01	0.00	0.00
Q37	Disposizione 7 (minimizza N)	0.00	0.04	0.00	0.00	0.00	0.00
Q41	Disposizione 1 (massimizza N)	0.00	0.04	0.00	0.00	0.00	0.00
Q42	Disposizione 2 (massimizza M2)	0.00	0.04	0.00	0.00	0.00	0.00
Q43	Disposizione 3 (massimizza M1)	0.00	0.02	0.00	0.00	0.00	0.00
Q44	Disposizione 4 (massimizza M1)	0.00	0.02	0.00	0.00	0.00	0.00
Q45	Disposizione 5 (massimizza N+M2)	0.00	0.04	0.00	0.00	0.00	0.00
Q46	Disposizione 6 (massimizza N)	0.00	0.04	0.00	0.00	0.00	0.00
Q47	Disposizione 7 (minimizza N)	0.00	0.04	0.00	0.00	0.00	0.00
Q51	Vento	0.00	0.17	0.00	0.02	0.00	0.00
Q61	Attrito su vincoli	0.21	0.00	0.00	0.00	0.02	0.00
Q71	Variazioni termiche	0.21	0.00	0.00	0.00	0.02	0.00
E1	Sisma x	10.19	0.00	0.00	0.00	1.14	0.00
E2	Sisma y	0.00	3.17	0.00	0.36	0.00	0.00
E3	Sisma z	0.00	0.00	-0.12	0.00	0.00	0.00

3 SOLLECITAZIONI COMBinate A BASE PILA

Si riportano a seguire i valori delle sollecitazioni di calcolo combinate secondo i coefficienti di combinazione riportati nell'allegato 1 della presente relazione. I valori seguenti tengono conto degli effetti del secondo ordine indotti dagli spostamenti elementari.

Per ogni gruppo di combinazioni di carico considerato (SLU-STR SLU-GEO, SLV-SIS, SLE-RAR e SLE-QP), sono riportati a seguire i valori delle sollecitazioni corrispondenti alle combinazioni che massimizzano ognuna delle componenti di sollecitazione (F1, F2, F3, M1, M2 e M3).

F1	Forza di taglio in direzione longitudinale [kN]
F2	Forza di taglio in direzione trasversale [kN]
F3	Forza assiale verticale [kN]
M1	Momento flettente attorno all'asse 1 (trasversale)
M2	Momento flettente attorno all'asse 2 (longitudinale)
M3	Momento flettente attorno all'asse 3 (toocente)

SLU-STR	max	Combo.	F1	F2	F3	M1	M2	M3
			kN	kN	kN	kNm	kNm	kNm
<i>max</i>	F1	SLU-STR-065	3786	1162	-25769	-16747	39442	0
<i>max</i>	F2	SLU-STR-019	1340	1785	-28862	-25419	12047	0
<i>max</i>	F3	SLU-STR-004	507	1324	-13156	-18541	4515	0
<i>max</i>	M1	SLU-STR-018	3123	318	-15330	-5370	30224	0
<i>max</i>	M2	SLU-STR-065	3786	1162	-25769	-16747	39442	0
<i>max</i>	M3	SLU-STR-002	507	1324	-20608	-18542	4517	0

SLU-STR	min	Combo.	F1	F2	F3	M1	M2	M3
			kN	kN	kN	kNm	kNm	kNm
<i>min</i>	F1	SLU-STR-002	507	1324	-20608	-18542	4517	0
<i>min</i>	F2	SLU-STR-014	1188	186	-24903	-11065	10687	0
<i>min</i>	F3	SLU-STR-006	1340	990	-28862	-14292	12047	0
<i>min</i>	M1	SLU-STR-022	742	1415	-24567	-27745	6615	0
<i>min</i>	M2	SLU-STR-004	507	1324	-13156	-18541	4515	0
<i>min</i>	M3	SLU-STR-002	507	1324	-20608	-18542	4517	0

SLU-GEO	max	Combo.	F1	F2	F3	M1	M2	M3
			kN	kN	kN	kNm	kNm	kNm
<i>max</i>	F1	SLU-GEO-065	3265	1006	-20668	-14492	33999	0
<i>max</i>	F2	SLU-GEO-019	1156	1542	-23334	-21962	10391	0
<i>max</i>	F3	SLU-GEO-004	439	1147	-13156	-16069	3913	0
<i>max</i>	M1	SLU-GEO-018	2693	275	-15032	-4634	26056	0
<i>max</i>	M2	SLU-GEO-065	3265	1006	-20668	-14492	33999	0
<i>max</i>	M3	SLU-GEO-002	439	1147	-16219	-16069	3914	0

SLU-GEO	min	Combo.	F1	F2	F3	M1	M2	M3
			kN	kN	kN	kNm	kNm	kNm
<i>min</i>	F1	SLU-GEO-002	439	1147	-16219	-16069	3914	0
<i>min</i>	F2	SLU-GEO-014	1024	161	-19921	-9541	9209	0
<i>min</i>	F3	SLU-GEO-006	1156	854	-23334	-12320	10391	0
<i>min</i>	M1	SLU-GEO-022	640	1223	-19631	-23968	5706	0
<i>min</i>	M2	SLU-GEO-004	439	1147	-13156	-16069	3913	0
<i>min</i>	M3	SLU-GEO-002	439	1147	-16219	-16069	3914	0

SLU-SIS	max	Combo.	F1	F2	F3	M1	M2	M3
			kN	kN	kN	kNm	kNm	kNm
<i>max</i>	F1	SLU-SIS-011	6475	1493	-16825	-17097	59441	3486
<i>max</i>	F2	SLU-SIS-038	2050	4947	-17251	-55306	19169	4329
<i>max</i>	F3	SLU-SIS-087	1951	1443	-8461	-14297	14553	1803
<i>max</i>	M1	SLU-SIS-152	-1754	-4810	-13296	53323	-16505	-4329
<i>max</i>	M2	SLU-SIS-011	6475	1493	-16825	-17097	59441	3486
<i>max</i>	M3	SLU-SIS-034	1754	4810	-16113	-53332	16514	4329

SLU-SIS	min	Combo.	F1	F2	F3	M1	M2	M3
			kN	kN	kN	kNm	kNm	kNm
<i>min</i>	F1	SLU-SIS-102	-5848	-1443	-16113	15393	-51357	-3486
<i>min</i>	F2	SLU-SIS-135	-1754	-4810	-16113	52399	-14811	-4329
<i>min</i>	F3	SLU-SIS-071	1754	1443	-20538	-17555	18526	1803
<i>min</i>	M1	SLU-SIS-041	1968	4896	-16659	-55625	18424	4329
<i>min</i>	M2	SLU-SIS-118	-5848	-1443	-13296	16323	-53031	-3486
<i>min</i>	M3	SLU-SIS-135	-1754	-4810	-16113	52399	-14811	-4329

SLE-RAR	max	Combo.	F1	F2	F3	M1	M2	M3
			kN	kN	kN	kNm	kNm	kNm
<i>max</i>	F1	SLE-RAR-065	2605	782	-18263	-11270	27135	0
<i>max</i>	F2	SLE-RAR-019	918	1213	-20396	-17272	8246	0
<i>max</i>	F3	SLE-RAR-004	338	883	-13156	-12360	3010	0
<i>max</i>	M1	SLE-RAR-018	2154	218	-14645	-3678	20831	0
<i>max</i>	M2	SLE-RAR-065	2605	782	-18263	-11270	27135	0
<i>max</i>	M3	SLE-RAR-002	338	883	-14704	-12361	3010	0

SLE-RAR	min	Combo.	F1	F2	F3	M1	M2	M3
			kN	kN	kN	kNm	kNm	kNm
<i>min</i>	F1	SLE-RAR-002	338	883	-14704	-12361	3010	0
<i>min</i>	F2	SLE-RAR-014	819	128	-17666	-7619	7366	0
<i>min</i>	F3	SLE-RAR-006	918	683	-20396	-9855	8246	0
<i>min</i>	M1	SLE-RAR-022	508	958	-17434	-18877	4528	0
<i>min</i>	M2	SLE-RAR-004	338	883	-13156	-12360	3010	0
<i>min</i>	M3	SLE-RAR-002	338	883	-14704	-12361	3010	0

4 SOLLECITAZIONI COMBinate A BASE PLINTO

Le sollecitazioni combinate alla base della pila sono state riportate ad intradosso plinto (in posizione baricentrica) e sono state incrementate per tenere conto del peso del plinto e del terreno di ricoprimento presente al suo estradosso, nonché della forza inerziale (orizzontale e verticale) associata alla massa del plinto stesso e considerata solidale con il terreno (T = 0 sec).

Terreno ricoprimento

dlong	12	m
dtrasv	16.5	m
hterr	1	m
gterr	20	kN/m ³
Wterr	3513	kN

Plinto			Orizzontale			Verticale		
dlong	12	m	ag0	0.194	g	ag0	0.116	g
dtrasv	16.5	m	S	1.200		S	1.000	
hpl	2.5	m	PGA	0.233	g	PGA	0.116	g
gcls	25	kN/m ³	lplinto_h	2883	kN	lplinto_v	1430	kN
Wplinto	12375	kN						

	F1	F2	F3	M1	M2	M3	Ftot
	kN	kN	kN	kNm	kNm	kNm	kN
SLU-STR-001			-42584				
SLU-STR-002	507	1324	-42584	-21852	5784	0	1417
SLU-STR-003	830	794	-42584	-13111	9479	0	1149
SLU-STR-004	507	1324	-25531	-21850	5781	0	1417
SLU-STR-005	830	794	-25531	-13110	9474	0	1149
SLU-STR-006	1340	990	-50837	-16768	15395	0	1666
SLU-STR-007	1572	731	-47744	-12251	23632	0	1734
SLU-STR-008	598	370	-46878	-14429	6923	0	703
SLU-STR-009	742	621	-46542	-18170	8469	0	967
SLU-STR-010	1572	976	-50593	-16681	20502	0	1851
SLU-STR-011	1456	972	-50501	-15787	16633	0	1751
SLU-STR-012	2661	499	-50837	-8934	30485	0	2707
SLU-STR-013	3123	368	-47744	-6541	41342	0	3145
SLU-STR-014	1188	186	-46878	-11530	13656	0	1202
SLU-STR-015	1473	312	-46542	-13236	16821	0	1506
SLU-STR-016	3123	491	-50593	-8966	38215	0	3162
SLU-STR-017	2893	489	-50501	-8105	33039	0	2934
SLU-STR-018	3123	318	-27705	-6165	38032	0	3139

SLU-STR-019	1340	1785	-50837	-29880	15395	0	2231
SLU-STR-020	1572	1525	-47744	-25363	23632	0	2190
SLU-STR-021	598	1164	-46878	-27541	6923	0	1309
SLU-STR-022	742	1415	-46542	-31282	8469	0	1597
SLU-STR-023	1572	1770	-50593	-29793	20502	0	2368
SLU-STR-024	1456	1766	-50501	-28899	16633	0	2289
SLU-STR-025	2661	1293	-50837	-22046	30485	0	2958
SLU-STR-026	3123	1162	-47744	-19653	41342	0	3333
SLU-STR-027	1188	980	-46878	-24642	13656	0	1540
SLU-STR-028	1473	1107	-46542	-26348	16821	0	1843
SLU-STR-029	3123	1286	-50593	-22078	38215	0	3378
SLU-STR-030	2893	1283	-50501	-21217	33039	0	3165
SLU-STR-031	3123	1113	-27705	-19276	38032	0	3316
SLU-STR-032	1750	990	-50837	-16768	20082	0	2011
SLU-STR-033	1983	731	-47744	-12251	28318	0	2113
SLU-STR-034	1008	370	-46878	-14429	11608	0	1074
SLU-STR-035	1152	621	-46542	-18170	13154	0	1309
SLU-STR-036	1983	976	-50593	-16681	25188	0	2210
SLU-STR-037	1867	972	-50501	-15787	21320	0	2104
SLU-STR-038	3071	499	-50837	-8934	35172	0	3111
SLU-STR-039	3534	368	-47744	-6541	46028	0	3553
SLU-STR-040	1598	186	-46878	-11530	18341	0	1609
SLU-STR-041	1884	312	-46542	-13236	21507	0	1909
SLU-STR-042	3534	491	-50593	-8966	42901	0	3568
SLU-STR-043	3303	489	-50501	-8105	37726	0	3339
SLU-STR-044	3534	318	-27705	-6165	42715	0	3548
SLU-STR-045	1592	990	-50837	-16768	18274	0	1875
SLU-STR-046	1824	731	-47744	-12251	26510	0	1965
SLU-STR-047	850	370	-46878	-14429	9800	0	927
SLU-STR-048	994	621	-46542	-18170	11346	0	1172
SLU-STR-049	1824	976	-50593	-16681	23380	0	2069
SLU-STR-050	1708	972	-50501	-15787	19511	0	1965
SLU-STR-051	2913	499	-50837	-8934	33364	0	2955
SLU-STR-052	3375	368	-47744	-6541	44220	0	3395
SLU-STR-053	1440	186	-46878	-11530	16533	0	1452
SLU-STR-054	1725	312	-46542	-13236	19699	0	1753
SLU-STR-055	3375	491	-50593	-8966	41093	0	3411
SLU-STR-056	3145	489	-50501	-8105	35917	0	3183
SLU-STR-057	3375	318	-27705	-6165	40908	0	3390
SLU-STR-058	2002	1785	-50837	-29880	22960	0	2682
SLU-STR-059	2235	1525	-47744	-25363	31196	0	2706
SLU-STR-060	1260	1164	-46878	-27541	14486	0	1716
SLU-STR-061	1404	1415	-46542	-31282	16032	0	1993
SLU-STR-062	2235	1770	-50593	-29793	28066	0	2851
SLU-STR-063	2119	1766	-50501	-28899	24198	0	2758

SLU-STR-064	3323	1293	-50837	-22046	38051	0	3566
SLU-STR-065	3786	1162	-47744	-19653	48906	0	3960
SLU-STR-066	1850	980	-46878	-24642	21219	0	2094
SLU-STR-067	2136	1107	-46542	-26348	24384	0	2405
SLU-STR-068	3786	1286	-50593	-22078	45780	0	3998
SLU-STR-069	3555	1283	-50501	-21217	40604	0	3780
SLU-STR-070	3786	1113	-27705	-19276	45590	0	3946

	F1	F2	F3	M1	M2	M3	Ftot
	kN	kN	kN	kNm	kNm	kNm	kN
SLU-GEO-001			-33160				
SLU-GEO-002	439	1147	-33160	-18937	5012	0	1228
SLU-GEO-003	718	688	-33160	-11362	8191	0	994
SLU-GEO-004	439	1147	-25531	-18937	5011	0	1228
SLU-GEO-005	718	688	-25531	-11362	8189	0	994
SLU-GEO-006	1156	854	-40275	-14454	13282	0	1437
SLU-GEO-007	1357	630	-37609	-10561	20385	0	1496
SLU-GEO-008	516	319	-36863	-12439	5972	0	606
SLU-GEO-009	640	535	-36573	-15663	7306	0	834
SLU-GEO-010	1357	841	-40065	-14379	17685	0	1597
SLU-GEO-011	1257	838	-39985	-13609	14350	0	1510
SLU-GEO-012	2294	430	-40275	-7709	26271	0	2334
SLU-GEO-013	2693	318	-37609	-5644	35630	0	2711
SLU-GEO-014	1024	161	-36863	-9943	11768	0	1036
SLU-GEO-015	1270	270	-36573	-11415	14497	0	1298
SLU-GEO-016	2693	424	-40065	-7736	32933	0	2726
SLU-GEO-017	2494	422	-39985	-6994	28472	0	2529
SLU-GEO-018	2693	275	-27407	-5321	32788	0	2706
SLU-GEO-019	1156	1542	-40275	-25817	13282	0	1927
SLU-GEO-020	1357	1318	-37609	-21924	20385	0	1892
SLU-GEO-021	516	1007	-36863	-23802	5972	0	1132
SLU-GEO-022	640	1223	-36573	-27026	7306	0	1381
SLU-GEO-023	1357	1530	-40065	-25742	17685	0	2045
SLU-GEO-024	1257	1526	-39985	-24972	14350	0	1977
SLU-GEO-025	2294	1119	-40275	-19072	26271	0	2552
SLU-GEO-026	2693	1006	-37609	-17007	35630	0	2874
SLU-GEO-027	1024	849	-36863	-21305	11768	0	1330
SLU-GEO-028	1270	958	-36573	-22778	14497	0	1591
SLU-GEO-029	2693	1112	-40065	-19099	32933	0	2913
SLU-GEO-030	2494	1110	-39985	-18357	28472	0	2730
SLU-GEO-031	2693	963	-27407	-16683	32788	0	2860
SLU-GEO-032	1510	854	-40275	-14454	17320	0	1734

SLU-GEO-033	1711	630	-37609	-10561	24423	0	1823
SLU-GEO-034	870	319	-36863	-12439	10010	0	926
SLU-GEO-035	994	535	-36573	-15663	11344	0	1129
SLU-GEO-036	1711	841	-40065	-14379	21724	0	1906
SLU-GEO-037	1611	838	-39985	-13609	18388	0	1815
SLU-GEO-038	2648	430	-40275	-7709	30310	0	2682
SLU-GEO-039	3046	318	-37609	-5644	39668	0	3063
SLU-GEO-040	1378	161	-36863	-9943	15806	0	1387
SLU-GEO-041	1624	270	-36573	-11415	18535	0	1646
SLU-GEO-042	3046	424	-40065	-7736	36971	0	3076
SLU-GEO-043	2848	422	-39985	-6994	32510	0	2879
SLU-GEO-044	3046	275	-27407	-5321	36824	0	3059
SLU-GEO-045	1374	854	-40275	-14454	15775	0	1618
SLU-GEO-046	1575	630	-37609	-10561	22878	0	1697
SLU-GEO-047	734	319	-36863	-12439	8465	0	801
SLU-GEO-048	858	535	-36573	-15663	9799	0	1012
SLU-GEO-049	1575	841	-40065	-14379	20179	0	1786
SLU-GEO-050	1475	838	-39985	-13609	16843	0	1696
SLU-GEO-051	2512	430	-40275	-7709	28765	0	2549
SLU-GEO-052	2911	318	-37609	-5644	38123	0	2928
SLU-GEO-053	1242	161	-36863	-9943	14261	0	1252
SLU-GEO-054	1488	270	-36573	-11415	16990	0	1513
SLU-GEO-055	2911	424	-40065	-7736	35426	0	2942
SLU-GEO-056	2712	422	-39985	-6994	30965	0	2745
SLU-GEO-057	2911	275	-27407	-5321	35280	0	2924
SLU-GEO-058	1728	1542	-40275	-25817	19814	0	2316
SLU-GEO-059	1929	1318	-37609	-21924	26916	0	2337
SLU-GEO-060	1088	1007	-36863	-23802	12503	0	1483
SLU-GEO-061	1212	1223	-36573	-27026	13837	0	1722
SLU-GEO-062	1929	1530	-40065	-25742	24218	0	2462
SLU-GEO-063	1829	1526	-39985	-24972	20882	0	2382
SLU-GEO-064	2866	1119	-40275	-19072	32804	0	3076
SLU-GEO-065	3265	1006	-37609	-17007	42161	0	3416
SLU-GEO-066	1596	849	-36863	-21305	18299	0	1808
SLU-GEO-067	1842	958	-36573	-22778	21027	0	2076
SLU-GEO-068	3265	1112	-40065	-19099	39465	0	3449
SLU-GEO-069	3066	1110	-39985	-18357	35004	0	3261
SLU-GEO-070	3265	963	-27407	-16683	39317	0	3404

	F1	F2	F3	M1	M2	M3	Ftot
	kN	kN	kN	kNm	kNm	kNm	kN
SLU-SIS-001	9315	2452	-32430	-23008	78050	3486	9633

SLU-SIS-002	9532	2452	-32430	-23008	80518	3486	9842
SLU-SIS-003	9532	2452	-27369	-23006	80500	3486	9842
SLU-SIS-004	9734	2602	-33568	-25553	82849	3486	10075
SLU-SIS-005	9769	2563	-33142	-24867	84091	3486	10099
SLU-SIS-006	9622	2508	-33022	-25198	81567	3486	9943
SLU-SIS-007	9643	2546	-32976	-25765	81800	3486	9974
SLU-SIS-008	9769	2600	-33535	-25540	83620	3486	10109
SLU-SIS-009	9751	2600	-33522	-25404	83035	3486	10092
SLU-SIS-010	9935	2527	-33568	-24356	85153	3486	10252
SLU-SIS-011	10006	2508	-33142	-23995	86796	3486	10315
SLU-SIS-012	9712	2480	-33022	-24755	82596	3486	10024
SLU-SIS-013	9755	2499	-32976	-25012	83075	3486	10070
SLU-SIS-014	10006	2526	-33535	-24361	86325	3486	10320
SLU-SIS-015	9971	2526	-33522	-24231	85539	3486	10286
SLU-SIS-016	10006	2500	-27667	-23936	86271	3486	10313
SLU-SIS-017	9315	2452	-28754	-21979	76146	3486	9633
SLU-SIS-018	9532	2452	-28754	-21979	78613	3486	9842
SLU-SIS-019	9532	2452	-23694	-21977	78596	3486	9842
SLU-SIS-020	9315	2452	-29893	-22131	76173	3486	9633
SLU-SIS-021	9641	2602	-29893	-24524	79890	3486	9986
SLU-SIS-022	9676	2563	-29466	-23838	81132	3486	10010
SLU-SIS-023	9529	2508	-29347	-24169	78608	3486	9854
SLU-SIS-024	9551	2546	-29300	-24736	78840	3486	9885
SLU-SIS-025	9676	2600	-29859	-24510	80661	3486	10020
SLU-SIS-026	9659	2600	-29846	-24375	80075	3486	10002
SLU-SIS-027	9843	2527	-29893	-23327	82193	3486	10162
SLU-SIS-028	9913	2508	-29466	-22966	83836	3486	10225
SLU-SIS-029	9619	2480	-29347	-23726	79636	3486	9934
SLU-SIS-030	9663	2499	-29300	-23982	80116	3486	9981
SLU-SIS-031	9913	2526	-29859	-23332	83365	3486	10230
SLU-SIS-032	9878	2526	-29846	-23201	82580	3486	10196
SLU-SIS-033	9913	2500	-23991	-22907	83312	3486	10224
SLU-SIS-034	2795	8174	-32430	-75496	24070	4329	8639
SLU-SIS-035	3011	8174	-32430	-75496	26538	4329	8711
SLU-SIS-036	3011	8174	-27369	-75491	26533	4329	8711
SLU-SIS-037	2795	8174	-33568	-75651	24089	4329	8639
SLU-SIS-038	3120	8324	-33568	-78044	27806	4329	8890
SLU-SIS-039	3155	8285	-33142	-77357	29052	4329	8866
SLU-SIS-040	3009	8230	-33022	-77687	26529	4329	8763
SLU-SIS-041	3030	8268	-32976	-78255	26761	4329	8806
SLU-SIS-042	3155	8322	-33535	-78031	28578	4329	8900
SLU-SIS-043	3138	8321	-33522	-77895	27992	4329	8893
SLU-SIS-044	3322	8249	-33568	-76847	30110	4329	8893
SLU-SIS-045	3392	8230	-33142	-76485	31756	4329	8901
SLU-SIS-046	3099	8202	-33022	-77245	27557	4329	8768

SLU-SIS-047	3142	8221	-32976	-77501	28037	4329	8801
SLU-SIS-048	3392	8248	-33535	-76852	31282	4329	8918
SLU-SIS-049	3357	8248	-33522	-76721	30497	4329	8905
SLU-SIS-050	3392	8222	-27667	-76421	31247	4329	8894
SLU-SIS-051	2795	8174	-28754	-74460	22188	4329	8639
SLU-SIS-052	3011	8174	-28754	-74460	24656	4329	8711
SLU-SIS-053	3011	8174	-23694	-74455	24650	4329	8711
SLU-SIS-054	2795	8174	-29893	-74615	22207	4329	8639
SLU-SIS-055	3120	8324	-29893	-77008	25923	4329	8890
SLU-SIS-056	3155	8285	-29466	-76321	27169	4329	8866
SLU-SIS-057	3009	8230	-29347	-76651	24646	4329	8763
SLU-SIS-058	3030	8268	-29300	-77219	24879	4329	8806
SLU-SIS-059	3155	8322	-29859	-76994	26695	4329	8900
SLU-SIS-060	3138	8321	-29846	-76859	26109	4329	8893
SLU-SIS-061	3322	8249	-29893	-75811	28227	4329	8893
SLU-SIS-062	3392	8230	-29466	-75449	29872	4329	8901
SLU-SIS-063	3099	8202	-29347	-76209	25674	4329	8768
SLU-SIS-064	3142	8221	-29300	-76465	26154	4329	8801
SLU-SIS-065	3392	8248	-29859	-75816	29398	4329	8918
SLU-SIS-066	3357	8248	-29846	-75685	28614	4329	8905
SLU-SIS-067	3392	8222	-23991	-75385	29364	4329	8894
SLU-SIS-068	2795	2452	-36718	-24209	26266	1803	3718
SLU-SIS-069	3011	2452	-36718	-24209	28735	1803	3883
SLU-SIS-070	3011	2452	-31657	-24207	28729	1803	3883
SLU-SIS-071	2795	2452	-37857	-24360	26285	1803	3718
SLU-SIS-072	3120	2602	-37857	-26754	30003	1803	4063
SLU-SIS-073	3155	2563	-37430	-26068	31248	1803	4065
SLU-SIS-074	3009	2508	-37311	-26398	28725	1803	3917
SLU-SIS-075	3030	2546	-37264	-26966	28958	1803	3958
SLU-SIS-076	3155	2600	-37823	-26740	30774	1803	4089
SLU-SIS-077	3138	2600	-37810	-26605	30189	1803	4075
SLU-SIS-078	3322	2527	-37857	-25557	32307	1803	4174
SLU-SIS-079	3392	2508	-37430	-25196	33953	1803	4219
SLU-SIS-080	3099	2480	-37311	-25956	29753	1803	3969
SLU-SIS-081	3142	2499	-37264	-26212	30233	1803	4015
SLU-SIS-082	3392	2526	-37823	-25562	33479	1803	4230
SLU-SIS-083	3357	2526	-37810	-25431	32694	1803	4201
SLU-SIS-084	3392	2500	-31955	-25136	33444	1803	4214
SLU-SIS-085	2795	2452	-24466	-20778	19993	1803	3718
SLU-SIS-086	3011	2452	-24466	-20778	22460	1803	3883
SLU-SIS-087	3011	2452	-19405	-20777	22454	1803	3883
SLU-SIS-088	2795	2452	-25604	-20930	20011	1803	3718
SLU-SIS-089	3120	2602	-25604	-23323	23727	1803	4063
SLU-SIS-090	3155	2563	-25178	-22637	24972	1803	4065
SLU-SIS-091	3009	2508	-25058	-22968	22450	1803	3917

SLU-SIS-092	3030	2546	-25012	-23535	22682	1803	3958
SLU-SIS-093	3155	2600	-25571	-23310	24498	1803	4089
SLU-SIS-094	3138	2600	-25558	-23174	23913	1803	4075
SLU-SIS-095	3322	2527	-25604	-22126	26030	1803	4174
SLU-SIS-096	3392	2508	-25178	-21765	27675	1803	4219
SLU-SIS-097	3099	2480	-25058	-22525	23478	1803	3969
SLU-SIS-098	3142	2499	-25012	-22782	23957	1803	4015
SLU-SIS-099	3392	2526	-25571	-22131	27201	1803	4230
SLU-SIS-100	3357	2526	-25558	-22001	26416	1803	4201
SLU-SIS-101	3392	2500	-19703	-21706	27167	1803	4214
SLU-SIS-102	-9315	-2452	-32430	21982	-76177	-3486	9633
SLU-SIS-103	-9099	-2452	-32430	21982	-73709	-3486	9424
SLU-SIS-104	-9099	-2452	-27369	21980	-73692	-3486	9424
SLU-SIS-105	-8897	-2302	-33568	19439	-71404	-3486	9190
SLU-SIS-106	-8862	-2341	-33142	20124	-70152	-3486	9166
SLU-SIS-107	-9009	-2396	-33022	19793	-72673	-3486	9322
SLU-SIS-108	-8987	-2358	-32976	19226	-72440	-3486	9292
SLU-SIS-109	-8862	-2304	-33535	19452	-70632	-3486	9157
SLU-SIS-110	-8880	-2305	-33522	19588	-71217	-3486	9174
SLU-SIS-111	-8695	-2377	-33568	20636	-69100	-3486	9015
SLU-SIS-112	-8625	-2397	-33142	20996	-67448	-3486	8952
SLU-SIS-113	-8919	-2424	-33022	20236	-71645	-3486	9243
SLU-SIS-114	-8876	-2405	-32976	19979	-71165	-3486	9196
SLU-SIS-115	-8625	-2378	-33535	20631	-67928	-3486	8947
SLU-SIS-116	-8660	-2379	-33522	20762	-68712	-3486	8981
SLU-SIS-117	-8625	-2404	-27667	21052	-67928	-3486	8954
SLU-SIS-118	-9315	-2452	-28754	23005	-78018	-3486	9633
SLU-SIS-119	-9099	-2452	-28754	23005	-75551	-3486	9424
SLU-SIS-120	-9099	-2452	-23694	23003	-75534	-3486	9424
SLU-SIS-121	-9315	-2452	-29893	22856	-78017	-3486	9633
SLU-SIS-122	-8990	-2302	-29893	20463	-74300	-3486	9280
SLU-SIS-123	-8955	-2341	-29466	21147	-73048	-3486	9256
SLU-SIS-124	-9101	-2396	-29347	20817	-75569	-3486	9412
SLU-SIS-125	-9080	-2358	-29300	20249	-75336	-3486	9381
SLU-SIS-126	-8955	-2304	-29859	20476	-73528	-3486	9246
SLU-SIS-127	-8972	-2305	-29846	20611	-74113	-3486	9263
SLU-SIS-128	-8788	-2377	-29893	21659	-71997	-3486	9104
SLU-SIS-129	-8718	-2397	-29466	22020	-70345	-3486	9041
SLU-SIS-130	-9011	-2424	-29347	21259	-74541	-3486	9332
SLU-SIS-131	-8968	-2405	-29300	21003	-74061	-3486	9285
SLU-SIS-132	-8718	-2378	-29859	21654	-70824	-3486	9036
SLU-SIS-133	-8753	-2379	-29846	21785	-71609	-3486	9070
SLU-SIS-134	-8718	-2404	-23991	22075	-70825	-3486	9043
SLU-SIS-135	-2795	-8174	-32430	74470	-22198	-4329	8639
SLU-SIS-136	-2578	-8174	-32430	74470	-19730	-4329	8571

SLU-SIS-137	-2578	-8174	-27369	74465	-19725	-4329	8571
SLU-SIS-138	-2795	-8174	-33568	74323	-22187	-4329	8639
SLU-SIS-139	-2469	-8024	-33568	71930	-18470	-4329	8395
SLU-SIS-140	-2434	-8063	-33142	72614	-17221	-4329	8423
SLU-SIS-141	-2581	-8118	-33022	72283	-19744	-4329	8518
SLU-SIS-142	-2559	-8080	-32976	71715	-19511	-4329	8475
SLU-SIS-143	-2434	-8026	-33535	71943	-17698	-4329	8387
SLU-SIS-144	-2451	-8027	-33522	72079	-18283	-4329	8393
SLU-SIS-145	-2267	-8099	-33568	73127	-16166	-4329	8410
SLU-SIS-146	-2197	-8119	-33142	73486	-14517	-4329	8411
SLU-SIS-147	-2491	-8146	-33022	72726	-18715	-4329	8518
SLU-SIS-148	-2447	-8127	-32976	72469	-18235	-4329	8487
SLU-SIS-149	-2197	-8100	-33535	73122	-14994	-4329	8393
SLU-SIS-150	-2232	-8100	-33522	73252	-15779	-4329	8402
SLU-SIS-151	-2197	-8126	-27667	73537	-15013	-4329	8418
SLU-SIS-152	-2795	-8174	-28754	75486	-24061	-4329	8639
SLU-SIS-153	-2578	-8174	-28754	75486	-21593	-4329	8571
SLU-SIS-154	-2578	-8174	-23694	75481	-21588	-4329	8571
SLU-SIS-155	-2795	-8174	-29893	75340	-24050	-4329	8639
SLU-SIS-156	-2469	-8024	-29893	72947	-20334	-4329	8395
SLU-SIS-157	-2434	-8063	-29466	73630	-19085	-4329	8423
SLU-SIS-158	-2581	-8118	-29347	73299	-21607	-4329	8518
SLU-SIS-159	-2559	-8080	-29300	72732	-21374	-4329	8475
SLU-SIS-160	-2434	-8026	-29859	72960	-19562	-4329	8387
SLU-SIS-161	-2451	-8027	-29846	73095	-20147	-4329	8393
SLU-SIS-162	-2267	-8099	-29893	74143	-18030	-4329	8410
SLU-SIS-163	-2197	-8119	-29466	74503	-16382	-4329	8411
SLU-SIS-164	-2491	-8146	-29347	73742	-20579	-4329	8518
SLU-SIS-165	-2447	-8127	-29300	73485	-20099	-4329	8487
SLU-SIS-166	-2197	-8100	-29859	74138	-16858	-4329	8393
SLU-SIS-167	-2232	-8100	-29846	74269	-17643	-4329	8402
SLU-SIS-168	-2197	-8126	-23991	74553	-16877	-4329	8418
SLU-SIS-169	-2795	-2452	-36718	20788	-20024	-1803	3718
SLU-SIS-170	-2578	-2452	-36718	20788	-17556	-1803	3558
SLU-SIS-171	-2578	-2452	-31657	20786	-17551	-1803	3558
SLU-SIS-172	-2795	-2452	-37857	20639	-20013	-1803	3718
SLU-SIS-173	-2469	-2302	-37857	18245	-16295	-1803	3376
SLU-SIS-174	-2434	-2341	-37430	18930	-15047	-1803	3377
SLU-SIS-175	-2581	-2396	-37311	18599	-17569	-1803	3522
SLU-SIS-176	-2559	-2358	-37264	18032	-17336	-1803	3480
SLU-SIS-177	-2434	-2304	-37823	18259	-15524	-1803	3352
SLU-SIS-178	-2451	-2305	-37810	18394	-16109	-1803	3365
SLU-SIS-179	-2267	-2377	-37857	19442	-13991	-1803	3285
SLU-SIS-180	-2197	-2397	-37430	19802	-12342	-1803	3251
SLU-SIS-181	-2491	-2424	-37311	19042	-16541	-1803	3476

SLU-SIS-182	-2447	-2405	-37264	18786	-16061	-1803	3431
SLU-SIS-183	-2197	-2378	-37823	19437	-12819	-1803	3238
SLU-SIS-184	-2232	-2379	-37810	19568	-13604	-1803	3262
SLU-SIS-185	-2197	-2404	-31955	19858	-12837	-1803	3257
SLU-SIS-186	-2795	-2452	-24466	24199	-26235	-1803	3718
SLU-SIS-187	-2578	-2452	-24466	24199	-23768	-1803	3558
SLU-SIS-188	-2578	-2452	-19405	24197	-23763	-1803	3558
SLU-SIS-189	-2795	-2452	-25604	24050	-26224	-1803	3718
SLU-SIS-190	-2469	-2302	-25604	21656	-22508	-1803	3376
SLU-SIS-191	-2434	-2341	-25178	22341	-21260	-1803	3377
SLU-SIS-192	-2581	-2396	-25058	22010	-23781	-1803	3522
SLU-SIS-193	-2559	-2358	-25012	21443	-23548	-1803	3480
SLU-SIS-194	-2434	-2304	-25571	21670	-21736	-1803	3352
SLU-SIS-195	-2451	-2305	-25558	21805	-22322	-1803	3365
SLU-SIS-196	-2267	-2377	-25604	22853	-20205	-1803	3285
SLU-SIS-197	-2197	-2397	-25178	23213	-18557	-1803	3251
SLU-SIS-198	-2491	-2424	-25058	22453	-22754	-1803	3476
SLU-SIS-199	-2447	-2405	-25012	22197	-22274	-1803	3431
SLU-SIS-200	-2197	-2378	-25571	22848	-19033	-1803	3238
SLU-SIS-201	-2232	-2379	-25558	22979	-19818	-1803	3262
SLU-SIS-202	-2197	-2404	-19703	23269	-19052	-1803	3257

	F1	F2	F3	M1	M2	M3	Ftot
	kN	kN	kN	kNm	kNm	kNm	kN
SLE-RAR-001			-30592				
SLE-RAR-002	338	883	-30592	-14567	3855	0	945
SLE-RAR-003	563	530	-30592	-8740	6424	0	773
SLE-RAR-004	338	883	-25531	-14567	3854	0	945
SLE-RAR-005	563	530	-25531	-8740	6424	0	773
SLE-RAR-006	918	683	-36284	-11563	10539	0	1144
SLE-RAR-007	1077	504	-34151	-8448	16207	0	1189
SLE-RAR-008	410	255	-33554	-9951	4740	0	482
SLE-RAR-009	508	428	-33322	-12531	5798	0	664
SLE-RAR-010	1077	673	-36116	-11503	14047	0	1270
SLE-RAR-011	998	670	-36052	-10887	11386	0	1202
SLE-RAR-012	1835	342	-36284	-6123	21013	0	1867
SLE-RAR-013	2154	252	-34151	-4483	28500	0	2169
SLE-RAR-014	819	128	-33554	-7938	9413	0	829
SLE-RAR-015	1016	214	-33322	-9104	11596	0	1038
SLE-RAR-016	2154	337	-36116	-6146	26341	0	2180
SLE-RAR-017	1995	335	-36052	-5552	22773	0	2023
SLE-RAR-018	2154	218	-27020	-4223	26216	0	2165

SLE-RAR-019	918	1213	-36284	-20304	10539	0	1521
SLE-RAR-020	1077	1034	-34151	-17189	16207	0	1493
SLE-RAR-021	410	785	-33554	-18691	4740	0	885
SLE-RAR-022	508	958	-33322	-21271	5798	0	1084
SLE-RAR-023	1077	1203	-36116	-20243	14047	0	1614
SLE-RAR-024	998	1200	-36052	-19627	11386	0	1560
SLE-RAR-025	1835	871	-36284	-14864	21013	0	2031
SLE-RAR-026	2154	782	-34151	-13224	28500	0	2291
SLE-RAR-027	819	657	-33554	-16678	9413	0	1050
SLE-RAR-028	1016	744	-33322	-17845	11596	0	1259
SLE-RAR-029	2154	866	-36116	-14887	26341	0	2322
SLE-RAR-030	1995	865	-36052	-14293	22773	0	2174
SLE-RAR-031	2154	748	-27020	-12963	26216	0	2280
SLE-RAR-032	1201	683	-36284	-11563	13770	0	1381
SLE-RAR-033	1360	504	-34151	-8448	19437	0	1450
SLE-RAR-034	693	255	-33554	-9951	7970	0	738
SLE-RAR-035	791	428	-33322	-12531	9028	0	899
SLE-RAR-036	1360	673	-36116	-11503	17278	0	1517
SLE-RAR-037	1281	670	-36052	-10887	14617	0	1445
SLE-RAR-038	2118	342	-36284	-6123	24243	0	2145
SLE-RAR-039	2437	252	-34151	-4483	31730	0	2450
SLE-RAR-040	1102	128	-33554	-7938	12643	0	1109
SLE-RAR-041	1299	214	-33322	-9104	14825	0	1317
SLE-RAR-042	2437	337	-36116	-6146	29572	0	2460
SLE-RAR-043	2278	335	-36052	-5552	26003	0	2303
SLE-RAR-044	2437	218	-27020	-4223	29446	0	2447
SLE-RAR-045	1086	683	-36284	-11563	12457	0	1282
SLE-RAR-046	1245	504	-34151	-8448	18125	0	1343
SLE-RAR-047	578	255	-33554	-9951	6657	0	631
SLE-RAR-048	676	428	-33322	-12531	7715	0	800
SLE-RAR-049	1245	673	-36116	-11503	15965	0	1415
SLE-RAR-050	1166	670	-36052	-10887	13304	0	1344
SLE-RAR-051	2003	342	-36284	-6123	22931	0	2032
SLE-RAR-052	2322	252	-34151	-4483	30417	0	2336
SLE-RAR-053	987	128	-33554	-7938	11331	0	995
SLE-RAR-054	1184	214	-33322	-9104	13513	0	1203
SLE-RAR-055	2322	337	-36116	-6146	28259	0	2346
SLE-RAR-056	2163	335	-36052	-5552	24691	0	2189
SLE-RAR-057	2322	218	-27020	-4223	28133	0	2332
SLE-RAR-058	1369	1213	-36284	-20304	15688	0	1828
SLE-RAR-059	1528	1034	-34151	-17189	21355	0	1845
SLE-RAR-060	861	785	-33554	-18691	9887	0	1164
SLE-RAR-061	959	958	-33322	-21271	10945	0	1355
SLE-RAR-062	1528	1203	-36116	-20243	19196	0	1944
SLE-RAR-063	1449	1200	-36052	-19627	16535	0	1881

SLE-RAR-064	2286	871	-36284	-14864	26161	0	2446
SLE-RAR-065	2605	782	-34151	-13224	33647	0	2720
SLE-RAR-066	1270	657	-33554	-16678	14561	0	1430
SLE-RAR-067	1467	744	-33322	-17845	16743	0	1645
SLE-RAR-068	2605	866	-36116	-14887	31490	0	2745
SLE-RAR-069	2446	865	-36052	-14293	27921	0	2594
SLE-RAR-070	2605	748	-27020	-12963	31363	0	2710
SLE-RAR-071	1101	410	-34007	-6938	12606	0	1175
SLE-RAR-072	1292	302	-32728	-5069	17099	0	1327
SLE-RAR-073	655	204	-32962	-7961	7530	0	686
SLE-RAR-074	813	342	-32776	-10024	9276	0	882
SLE-RAR-075	1292	404	-33907	-6901	15803	0	1354
SLE-RAR-076	1197	402	-33868	-6532	13662	0	1263
SLE-RAR-077	1292	262	-27318	-5067	16713	0	1319
SLE-RAR-078	1101	939	-34007	-15678	12606	0	1447
SLE-RAR-079	1292	832	-32728	-13809	17099	0	1537
SLE-RAR-080	655	734	-32962	-16701	7530	0	984
SLE-RAR-081	813	872	-32776	-18765	9276	0	1192
SLE-RAR-082	1292	933	-33907	-15642	15803	0	1594
SLE-RAR-083	1197	932	-33868	-15272	13662	0	1517
SLE-RAR-084	1292	791	-27318	-13808	16713	0	1515
SLE-RAR-085	1384	410	-34007	-6938	15836	0	1443
SLE-RAR-086	1575	302	-32728	-5069	20328	0	1604
SLE-RAR-087	938	204	-32962	-7961	10760	0	960
SLE-RAR-088	1096	342	-32776	-10024	12506	0	1148
SLE-RAR-089	1575	404	-33907	-6901	19033	0	1626
SLE-RAR-090	1480	402	-33868	-6532	16892	0	1534
SLE-RAR-091	1575	262	-27318	-5067	19942	0	1597
SLE-RAR-092	1269	410	-34007	-6938	14523	0	1334
SLE-RAR-093	1460	302	-32728	-5069	19016	0	1491
SLE-RAR-094	823	204	-32962	-7961	9448	0	848
SLE-RAR-095	981	342	-32776	-10024	11193	0	1039
SLE-RAR-096	1460	404	-33907	-6901	17720	0	1515
SLE-RAR-097	1365	402	-33868	-6532	15579	0	1423
SLE-RAR-098	1460	262	-27318	-5067	18630	0	1484
SLE-RAR-099	1552	939	-34007	-15678	17753	0	1814
SLE-RAR-100	1743	832	-32728	-13809	22246	0	1932
SLE-RAR-101	1106	734	-32962	-16701	12678	0	1327
SLE-RAR-102	1264	872	-32776	-18765	14423	0	1535
SLE-RAR-103	1743	933	-33907	-15642	20950	0	1977
SLE-RAR-104	1648	932	-33868	-15272	18809	0	1893
SLE-RAR-105	1743	791	-27318	-13808	21859	0	1914

	F1	F2	F3	M1	M2	M3	Ftot
	kN	kN	kN	kNm	kNm	kNm	kN
SLE-QPE-001	0	0	-30592	0	0	0	0
SLE-QPE-002	563	0	-30592	0	6424	0	563

5 DISTRIBUZIONE DELLE SOLLECITAZIONI IN TESTA PALI

5.1 GEOMETRIA DELLA PALIFICATA DI FONDAZIONE

Diametro dei pali di fondazione e loro numero:

diam **1.5** m

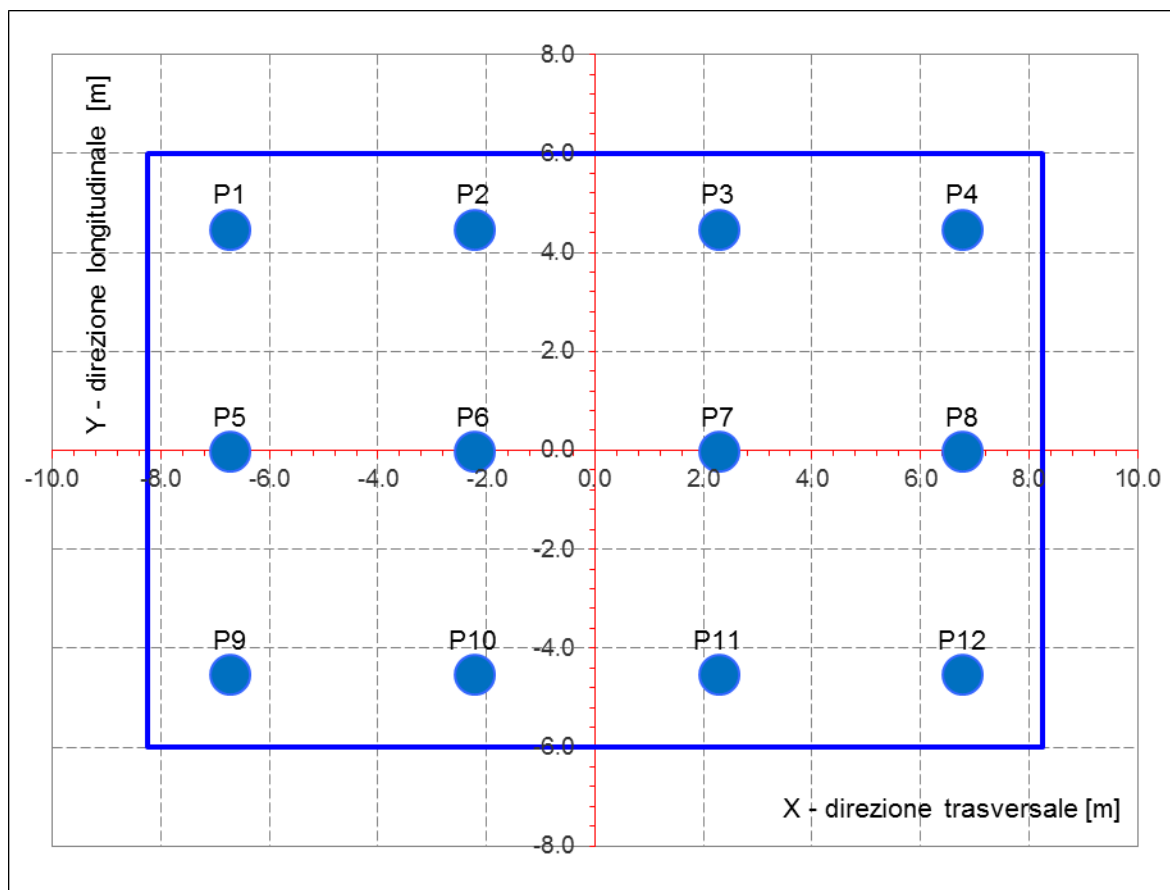
Num tot **12** Numero totale di pali

Geometria del plinto:

dtrasv **16.5** m

dlong **12.0** m

hpl **2.5** m



Le caratteristiche di sollecitazione sul singolo palo sono state determinate a partire dalle sollecitazioni riportate all'intradosso del plinto di fondazione, secondo le seguenti relazioni (*distribuzione rigida delle sollecitazioni*):

$$N_{\max} = F_3 / n_{\text{pali}} + \text{ass}(M_1) / W_{1\text{palificata}} + \text{ass}(M_2) / W_{2\text{palificata}}$$

$$N_{\min} = F_3 / n_{\text{pali}} - \text{ass}(M_1) / W_{1\text{palificata}} - \text{ass}(M_2) / W_{2\text{palificata}}$$

$$H = \sqrt{(F_1 / n_{\text{pali}})^2 + (F_2 / n_{\text{pali}})^2}$$

NB: coordinate riferite al baricentro della palificata

num.	X (trasv)	Y (long)	X2	Y2	WI	Wt
	m	m	m2	m2		
P1	-6.75	4.50	45.6	20.3	3.6E+01	-4.5E+01
P2	-2.25	4.50	5.1	20.3	3.6E+01	-1.4E+02
P3	2.25	4.50	5.1	20.3	3.6E+01	1.4E+02
P4	6.75	4.50	45.6	20.3	3.6E+01	4.5E+01
P5	-6.75	0.00	45.6	0.0	1.0E+99	-4.5E+01
P6	-2.25	0.00	5.1	0.0	1.0E+99	-1.4E+02
P7	2.25	0.00	5.1	0.0	1.0E+99	1.4E+02
P8	6.75	0.00	45.6	0.0	1.0E+99	4.5E+01
P9	-6.75	-4.50	45.6	20.3	-3.6E+01	-4.5E+01
P10	-2.25	-4.50	5.1	20.3	-3.6E+01	-1.4E+02
P11	2.25	-4.50	5.1	20.3	-3.6E+01	1.4E+02
P12	6.75	-4.50	45.6	20.3	-3.6E+01	4.5E+01
P13						
P14						
P15						
P16						
P17						
P18						
P19						
P20						

$\Sigma X2$	$\Sigma Y2$
303.75	162.00
m4	m4

5.2 DISTRIBUZIONE DELLE SOLLECITAZIONI IN TESTA AI PALI

Per ogni palo della fondazione e per ogni combinazione di carico considerata, si riportano a seguire i valori delle forze assiali agenti in testa N_{max} [kN] e N_{min} [kN], il valore del taglio medio incrementato del coefficiente che tiene conto dell'effetto gruppo ($T_{med,gr} = 1.1 * T_{med}$ [kN]), nonché il valore del momento flettente agente alla testa del palo (valore massimo). Per il calcolo di tale valore in funzione del taglio agente alla testa del palo, si rimanda all'elaborato progettuale "IF1N.0.1.E.ZZ.RB.GE.00.0.5.001.A - Relazione geotecnica generale di linea delle opere all'aperto".

D (m)	1.5
kh (kN/m ³)	10000
fck (Mpa)	25
E (Mpa)	31476
J (m ⁴)	0.2485
λ (cm)	675.80

	N_{max}	N_{min}	T_{media}	T_{media_gruppo}	M_{max}
	[kN]	[kN]	[kN]	[kN]	[kNm]
SLU-STR-001	3549	3549	0	0	0
SLU-STR-002	4195	2902	118	130	439
SLU-STR-003	4103	2994	96	105	356
SLU-STR-004	2774	1481	118	130	439
SLU-STR-005	2682	1573	96	105	356
SLU-STR-006	5037	3436	139	153	516
SLU-STR-007	4907	3050	144	159	537
SLU-STR-008	4419	3394	59	64	218
SLU-STR-009	4518	3239	81	89	300
SLU-STR-010	5156	3276	154	170	573
SLU-STR-011	5021	3396	146	160	542
SLU-STR-012	5282	3191	226	248	838
SLU-STR-013	5272	2685	262	288	974
SLU-STR-014	4542	3271	100	110	372
SLU-STR-015	4640	3117	125	138	466
SLU-STR-016	5477	2955	263	290	979
SLU-STR-017	5306	3111	244	269	909
SLU-STR-018	3502	1115	262	288	972
SLU-STR-019	5328	3145	186	205	691
SLU-STR-020	5199	2759	183	201	678
SLU-STR-021	4711	3102	109	120	405
SLU-STR-022	4809	2948	133	146	495
SLU-STR-023	5448	2985	197	217	733
SLU-STR-024	5313	3104	191	210	709

SLU-STR-025	5573	2900		247	271	916
SLU-STR-026	5564	2394		278	305	1032
SLU-STR-027	4833	2980		128	141	477
SLU-STR-028	4931	2826		154	169	571
SLU-STR-029	5768	2664		281	310	1046
SLU-STR-030	5598	2819		264	290	980
SLU-STR-031	3794	824		276	304	1027
SLU-STR-032	5167	3306		168	184	623
SLU-STR-033	5038	2920		176	194	655
SLU-STR-034	4550	3263		89	98	333
SLU-STR-035	4648	3109		109	120	405
SLU-STR-036	5286	3146		184	203	685
SLU-STR-037	5151	3265		175	193	652
SLU-STR-038	5412	3061		259	285	964
SLU-STR-039	5403	2555		296	326	1100
SLU-STR-040	4672	3141		134	147	498
SLU-STR-041	4770	2987		159	175	591
SLU-STR-042	5607	2825		297	327	1105
SLU-STR-043	5436	2980		278	306	1034
SLU-STR-044	3632	985		296	325	1099
SLU-STR-045	5117	3356		156	172	581
SLU-STR-046	4987	2970		164	180	609
SLU-STR-047	4499	3314		77	85	287
SLU-STR-048	4597	3160		98	107	363
SLU-STR-049	5236	3196		172	190	641
SLU-STR-050	5101	3316		164	180	609
SLU-STR-051	5362	3111		246	271	915
SLU-STR-052	5352	2605		283	311	1052
SLU-STR-053	4622	3191		121	133	450
SLU-STR-054	4720	3037		146	161	543
SLU-STR-055	5557	2875		284	313	1056
SLU-STR-056	5386	3031		265	292	986
SLU-STR-057	3582	1035		283	311	1050
SLU-STR-058	5538	2935		223	246	831
SLU-STR-059	5409	2549		225	248	838
SLU-STR-060	4921	2892		143	157	531
SLU-STR-061	5019	2738		166	183	617
SLU-STR-062	5658	2774		238	261	883
SLU-STR-063	5523	2894		230	253	854
SLU-STR-064	5783	2690		297	327	1104
SLU-STR-065	5774	2183		330	363	1227
SLU-STR-066	5044	2770		174	192	648
SLU-STR-067	5141	2616		200	220	745

SLU-STR-068	5978	2454		333	366	1238
SLU-STR-069	5808	2609		315	346	1171
SLU-STR-070	4003	614		329	362	1222

	N_{max}	N_{min}		T_{media}	T_{media_gruppo}	M_{max}
	[kN]	[kN]		[kN]	[kN]	[kNm]
SLU-GEO-001	2763	2763		0	0	0
SLU-GEO-002	3323	2203		102	113	380
SLU-GEO-003	3243	2283		83	91	308
SLU-GEO-004	2688	1568		102	113	380
SLU-GEO-005	2608	1648		83	91	308
SLU-GEO-006	4046	2666		120	132	445
SLU-GEO-007	3935	2333		125	137	463
SLU-GEO-008	3514	2630		51	56	188
SLU-GEO-009	3599	2497		70	76	258
SLU-GEO-010	4150	2528		133	146	495
SLU-GEO-011	4033	2631		126	138	468
SLU-GEO-012	4257	2455		194	214	723
SLU-GEO-013	4249	2019		226	249	840
SLU-GEO-014	3620	2524		86	95	321
SLU-GEO-015	3704	2391		108	119	402
SLU-GEO-016	4425	2252		227	250	844
SLU-GEO-017	4278	2386		211	232	783
SLU-GEO-018	3313	1255		226	248	838
SLU-GEO-019	4299	2414		161	177	597
SLU-GEO-020	4188	2081		158	173	586
SLU-GEO-021	3767	2377		94	104	350
SLU-GEO-022	3851	2244		115	127	428
SLU-GEO-023	4402	2275		170	187	633
SLU-GEO-024	4286	2379		165	181	612
SLU-GEO-025	4510	2203		213	234	790
SLU-GEO-026	4502	1766		240	263	890
SLU-GEO-027	3872	2272		111	122	412
SLU-GEO-028	3957	2139		133	146	493
SLU-GEO-029	4678	2000		243	267	902
SLU-GEO-030	4531	2133		227	250	846
SLU-GEO-031	3565	1002		238	262	886
SLU-GEO-032	4159	2554		145	159	537
SLU-GEO-033	4047	2221		152	167	565
SLU-GEO-034	3626	2517		77	85	287
SLU-GEO-035	3711	2385		94	103	350

SLU-GEO-036	4262	2416		159	175	591
SLU-GEO-037	4145	2519		151	166	562
SLU-GEO-038	4370	2343		224	246	831
SLU-GEO-039	4361	1907		255	281	949
SLU-GEO-040	3732	2412		116	127	430
SLU-GEO-041	3816	2279		137	151	510
SLU-GEO-042	4538	2140		256	282	953
SLU-GEO-043	4391	2274		240	264	892
SLU-GEO-044	3425	1143		255	280	947
SLU-GEO-045	4116	2597		135	148	501
SLU-GEO-046	4004	2264		141	156	526
SLU-GEO-047	3583	2560		67	73	248
SLU-GEO-048	3668	2427		84	93	313
SLU-GEO-049	4219	2459		149	164	553
SLU-GEO-050	4102	2562		141	156	525
SLU-GEO-051	4327	2386		212	234	789
SLU-GEO-052	4318	1950		244	268	907
SLU-GEO-053	3689	2455		104	115	388
SLU-GEO-054	3773	2322		126	139	469
SLU-GEO-055	4495	2183		245	270	911
SLU-GEO-056	4348	2317		229	252	850
SLU-GEO-057	3382	1186		244	268	906
SLU-GEO-058	4480	2232		193	212	717
SLU-GEO-059	4369	1899		195	214	724
SLU-GEO-060	3948	2196		124	136	459
SLU-GEO-061	4033	2063		144	158	533
SLU-GEO-062	4584	2094		205	226	763
SLU-GEO-063	4467	2197		198	218	738
SLU-GEO-064	4691	2021		256	282	953
SLU-GEO-065	4683	1585		285	313	1058
SLU-GEO-066	4054	2090		151	166	560
SLU-GEO-067	4138	1957		173	190	643
SLU-GEO-068	4859	1818		287	316	1068
SLU-GEO-069	4712	1952		272	299	1010
SLU-GEO-070	3747	821		284	312	1054

	N_{max}	N_{min}	T_{media}	T_{media_grupo}	M_{max}
	[kN]	[kN]	[kN]	[kN]	[kNm]
SLU-SIS-001	5382	23	803	883	2984
SLU-SIS-002	5450	-45	820	902	3049
SLU-SIS-003	5028	-467	820	902	3049

SLU-SIS-004	5667	-72		840	924	3121
SLU-SIS-005	5650	-127		842	926	3128
SLU-SIS-006	5578	-74		829	911	3080
SLU-SIS-007	5593	-97		831	914	3089
SLU-SIS-008	5685	-96		842	927	3131
SLU-SIS-009	5665	-78		841	925	3126
SLU-SIS-010	5704	-109		854	940	3175
SLU-SIS-011	5706	-182		860	946	3195
SLU-SIS-012	5596	-93		835	919	3105
SLU-SIS-013	5611	-115		839	923	3119
SLU-SIS-014	5734	-145		860	946	3196
SLU-SIS-015	5708	-121		857	943	3186
SLU-SIS-016	5234	-623		859	945	3194
SLU-SIS-017	5000	-207		803	883	2984
SLU-SIS-018	5068	-276		820	902	3049
SLU-SIS-019	4646	-697		820	902	3049
SLU-SIS-020	5099	-117		803	883	2984
SLU-SIS-021	5255	-273		832	915	3093
SLU-SIS-022	5239	-328		834	918	3101
SLU-SIS-023	5166	-275		821	903	3052
SLU-SIS-024	5181	-298		824	906	3062
SLU-SIS-025	5274	-297		835	918	3103
SLU-SIS-026	5253	-279		834	917	3098
SLU-SIS-027	5293	-310		847	932	3148
SLU-SIS-028	5295	-384		852	937	3167
SLU-SIS-029	5185	-294		828	911	3077
SLU-SIS-030	5200	-317		832	915	3091
SLU-SIS-031	5322	-346		853	938	3169
SLU-SIS-032	5297	-322		850	935	3158
SLU-SIS-033	4823	-824		852	937	3167
SLU-SIS-034	5049	356		720	792	2676
SLU-SIS-035	5117	288		726	799	2698
SLU-SIS-036	4695	-134		726	799	2698
SLU-SIS-037	5148	447		720	792	2676
SLU-SIS-038	5304	291		741	815	2754
SLU-SIS-039	5288	236		739	813	2746
SLU-SIS-040	5215	289		730	803	2714
SLU-SIS-041	5230	266		734	807	2728
SLU-SIS-042	5322	267		742	816	2757
SLU-SIS-043	5302	285		741	815	2755
SLU-SIS-044	5341	253		741	815	2755
SLU-SIS-045	5344	180		742	816	2757
SLU-SIS-046	5234	270		731	804	2716

SLU-SIS-047	5249	247		733	807	2726
SLU-SIS-048	5371	218		743	818	2762
SLU-SIS-049	5346	241		742	816	2758
SLU-SIS-050	4872	-261		741	815	2755
SLU-SIS-051	4667	125		720	792	2676
SLU-SIS-052	4736	57		726	799	2698
SLU-SIS-053	4314	-365		726	799	2698
SLU-SIS-054	4766	216		720	792	2676
SLU-SIS-055	4922	60		741	815	2754
SLU-SIS-056	4906	5		739	813	2746
SLU-SIS-057	4834	58		730	803	2714
SLU-SIS-058	4849	35		734	807	2728
SLU-SIS-059	4941	36		742	816	2757
SLU-SIS-060	4920	54		741	815	2755
SLU-SIS-061	4960	22		741	815	2755
SLU-SIS-062	4962	-51		742	816	2757
SLU-SIS-063	4852	39		731	804	2716
SLU-SIS-064	4867	16		733	807	2726
SLU-SIS-065	4990	-13		743	818	2762
SLU-SIS-066	4964	10		742	816	2758
SLU-SIS-067	4490	-492		741	815	2755
SLU-SIS-068	4327	1792		310	341	1152
SLU-SIS-069	4396	1724		324	356	1203
SLU-SIS-070	3974	1302		324	356	1203
SLU-SIS-071	4426	1883		310	341	1152
SLU-SIS-072	4583	1727		339	372	1259
SLU-SIS-073	4566	1672		339	373	1259
SLU-SIS-074	4494	1725		326	359	1213
SLU-SIS-075	4509	1702		330	363	1226
SLU-SIS-076	4601	1703		341	375	1266
SLU-SIS-077	4581	1721		340	374	1262
SLU-SIS-078	4620	1689		348	383	1293
SLU-SIS-079	4622	1616		352	387	1307
SLU-SIS-080	4512	1706		331	364	1229
SLU-SIS-081	4528	1683		335	368	1244
SLU-SIS-082	4650	1654		352	388	1310
SLU-SIS-083	4624	1678		350	385	1301
SLU-SIS-084	4151	1175		351	386	1305
SLU-SIS-085	3056	1022		310	341	1152
SLU-SIS-086	3124	953		324	356	1203
SLU-SIS-087	2703	532		324	356	1203
SLU-SIS-088	3155	1113		310	341	1152
SLU-SIS-089	3311	956		339	372	1259

SLU-SIS-090	3295	901		339	373	1259
SLU-SIS-091	3222	954		326	359	1213
SLU-SIS-092	3237	931		330	363	1226
SLU-SIS-093	3329	932		341	375	1266
SLU-SIS-094	3309	951		340	374	1262
SLU-SIS-095	3348	919		348	383	1293
SLU-SIS-096	3351	846		352	387	1307
SLU-SIS-097	3241	935		331	364	1229
SLU-SIS-098	3256	913		335	368	1244
SLU-SIS-099	3378	884		352	388	1310
SLU-SIS-100	3353	907		350	385	1301
SLU-SIS-101	2879	405		351	386	1305
SLU-SIS-102	5307	98		803	883	2984
SLU-SIS-103	5238	167		785	864	2919
SLU-SIS-104	4816	-255		785	864	2919
SLU-SIS-105	5213	382		766	842	2847
SLU-SIS-106	5158	366		764	840	2839
SLU-SIS-107	5210	293		777	855	2888
SLU-SIS-108	5187	309		774	852	2878
SLU-SIS-109	5189	400		763	839	2836
SLU-SIS-110	5207	380		764	841	2842
SLU-SIS-111	5175	419		751	826	2792
SLU-SIS-112	5102	422		746	821	2773
SLU-SIS-113	5192	312		770	847	2863
SLU-SIS-114	5169	327		766	843	2848
SLU-SIS-115	5140	449		746	820	2771
SLU-SIS-116	5164	423		748	823	2782
SLU-SIS-117	4660	-49		746	821	2773
SLU-SIS-118	5075	-282		803	883	2984
SLU-SIS-119	5006	-214		785	864	2919
SLU-SIS-120	4584	-635		785	864	2919
SLU-SIS-121	5166	-184		803	883	2984
SLU-SIS-122	5010	-28		773	851	2874
SLU-SIS-123	4955	-44		771	848	2867
SLU-SIS-124	5007	-116		784	863	2915
SLU-SIS-125	4984	-101		782	860	2906
SLU-SIS-126	4986	-9		771	848	2864
SLU-SIS-127	5004	-30		772	849	2869
SLU-SIS-128	4972	10		759	835	2820
SLU-SIS-129	4899	12		753	829	2800
SLU-SIS-130	4989	-97		778	855	2890
SLU-SIS-131	4966	-82		774	851	2876
SLU-SIS-132	4937	40		753	828	2799

SLU-SIS-133	4960	14		756	831	2809
SLU-SIS-134	4457	-459		754	829	2801
SLU-SIS-135	4974	431		720	792	2676
SLU-SIS-136	4905	500		714	786	2655
SLU-SIS-137	4483	78		714	786	2655
SLU-SIS-138	5065	529		720	792	2676
SLU-SIS-139	4909	686		700	770	2600
SLU-SIS-140	4854	670		702	772	2609
SLU-SIS-141	4907	597		710	781	2638
SLU-SIS-142	4884	612		706	777	2625
SLU-SIS-143	4885	704		699	769	2598
SLU-SIS-144	4903	684		699	769	2600
SLU-SIS-145	4871	723		701	771	2605
SLU-SIS-146	4798	726		701	771	2605
SLU-SIS-147	4888	616		710	781	2638
SLU-SIS-148	4865	631		707	778	2629
SLU-SIS-149	4836	753		699	769	2600
SLU-SIS-150	4860	727		700	770	2603
SLU-SIS-151	4357	254		701	772	2607
SLU-SIS-152	4742	50		720	792	2676
SLU-SIS-153	4673	119		714	786	2655
SLU-SIS-154	4251	-303		714	786	2655
SLU-SIS-155	4833	149		720	792	2676
SLU-SIS-156	4677	305		700	770	2600
SLU-SIS-157	4622	289		702	772	2609
SLU-SIS-158	4675	216		710	781	2638
SLU-SIS-159	4652	232		706	777	2625
SLU-SIS-160	4653	324		699	769	2598
SLU-SIS-161	4671	303		699	769	2600
SLU-SIS-162	4640	343		701	771	2605
SLU-SIS-163	4566	345		701	771	2605
SLU-SIS-164	4656	235		710	781	2638
SLU-SIS-165	4633	250		707	778	2629
SLU-SIS-166	4604	372		699	769	2600
SLU-SIS-167	4628	347		700	770	2603
SLU-SIS-168	4125	-126		701	772	2607
SLU-SIS-169	4078	2042		310	341	1152
SLU-SIS-170	4009	2110		297	326	1102
SLU-SIS-171	3588	1689		297	326	1102
SLU-SIS-172	4169	2140		310	341	1152
SLU-SIS-173	4013	2297		281	309	1046
SLU-SIS-174	3958	2281		281	310	1046
SLU-SIS-175	4011	2208		293	323	1091

SLU-SIS-176	3988	2223		290	319	1078
SLU-SIS-177	3989	2315		279	307	1038
SLU-SIS-178	4007	2295		280	308	1042
SLU-SIS-179	3975	2334		274	301	1017
SLU-SIS-180	3902	2336		271	298	1007
SLU-SIS-181	3992	2227		290	319	1077
SLU-SIS-182	3969	2242		286	315	1063
SLU-SIS-183	3940	2364		270	297	1003
SLU-SIS-184	3964	2338		272	299	1010
SLU-SIS-185	3461	1865		271	299	1009
SLU-SIS-186	3305	772		310	341	1152
SLU-SIS-187	3237	841		297	326	1102
SLU-SIS-188	2815	419		297	326	1102
SLU-SIS-189	3397	871		310	341	1152
SLU-SIS-190	3240	1027		281	309	1046
SLU-SIS-191	3185	1011		281	310	1046
SLU-SIS-192	3238	938		293	323	1091
SLU-SIS-193	3215	954		290	319	1078
SLU-SIS-194	3216	1046		279	307	1038
SLU-SIS-195	3234	1025		280	308	1042
SLU-SIS-196	3203	1065		274	301	1017
SLU-SIS-197	3129	1067		271	298	1007
SLU-SIS-198	3219	957		290	319	1077
SLU-SIS-199	3196	972		286	315	1063
SLU-SIS-200	3167	1094		270	297	1003
SLU-SIS-201	3191	1069		272	299	1010
SLU-SIS-202	2688	596		271	299	1009

	N_{max}	N_{min}	T_{media}	T_{media_gruppo}	M_{max}
	[kN]	[kN]	[kN]	[kN]	[kNm]
SLE-RAR-001	2549	2549	0	0	0
SLE-RAR-002	2980	2119	79	87	293
SLE-RAR-003	2922	2177	64	71	239
SLE-RAR-004	2558	1697	79	87	293
SLE-RAR-005	2500	1755	64	71	239
SLE-RAR-006	3573	2474	95	105	354
SLE-RAR-007	3484	2208	99	109	368
SLE-RAR-008	3149	2443	40	44	149
SLE-RAR-009	3216	2337	55	61	206
SLE-RAR-010	3656	2364	106	116	393
SLE-RAR-011	3563	2446	100	110	372

SLE-RAR-012	3743	2304		156	171	578
SLE-RAR-013	3737	1955		181	199	672
SLE-RAR-014	3234	2358		69	76	257
SLE-RAR-015	3301	2252		87	95	322
SLE-RAR-016	3878	2141		182	200	675
SLE-RAR-017	3760	2248		169	185	627
SLE-RAR-018	3074	1430		180	198	671
SLE-RAR-019	3768	2280		127	139	471
SLE-RAR-020	3678	2014		124	137	462
SLE-RAR-021	3343	2249		74	81	274
SLE-RAR-022	3411	2143		90	99	336
SLE-RAR-023	3850	2170		135	148	500
SLE-RAR-024	3757	2252		130	143	483
SLE-RAR-025	3938	2110		169	186	629
SLE-RAR-026	3931	1760		191	210	710
SLE-RAR-027	3428	2164		87	96	325
SLE-RAR-028	3495	2058		105	115	390
SLE-RAR-029	4072	1947		193	213	719
SLE-RAR-030	3955	2054		181	199	673
SLE-RAR-031	3268	1235		190	209	706
SLE-RAR-032	3663	2384		115	127	428
SLE-RAR-033	3574	2118		121	133	449
SLE-RAR-034	3239	2354		61	68	229
SLE-RAR-035	3306	2248		75	82	279
SLE-RAR-036	3745	2274		126	139	470
SLE-RAR-037	3652	2356		120	132	448
SLE-RAR-038	3833	2214		179	197	665
SLE-RAR-039	3827	1865		204	225	759
SLE-RAR-040	3324	2269		92	102	344
SLE-RAR-041	3391	2163		110	121	408
SLE-RAR-042	3968	2052		205	226	762
SLE-RAR-043	3850	2159		192	211	713
SLE-RAR-044	3163	1340		204	224	758
SLE-RAR-045	3627	2421		107	118	397
SLE-RAR-046	3537	2155		112	123	416
SLE-RAR-047	3202	2390		53	58	196
SLE-RAR-048	3270	2284		67	73	248
SLE-RAR-049	3709	2311		118	130	438
SLE-RAR-050	3616	2393		112	123	416
SLE-RAR-051	3797	2251		169	186	629
SLE-RAR-052	3790	1901		195	214	723
SLE-RAR-053	3287	2305		83	91	308
SLE-RAR-054	3355	2199		100	110	373

SLE-RAR-055	3931	2088		196	215	727
SLE-RAR-056	3814	2195		182	201	678
SLE-RAR-057	3127	1376		194	214	722
SLE-RAR-058	3911	2137		152	168	566
SLE-RAR-059	3821	1871		154	169	571
SLE-RAR-060	3486	2106		97	107	361
SLE-RAR-061	3554	2000		113	124	420
SLE-RAR-062	3993	2027		162	178	602
SLE-RAR-063	3900	2109		157	172	583
SLE-RAR-064	4081	1967		204	224	758
SLE-RAR-065	4074	1617		227	249	842
SLE-RAR-066	3571	2021		119	131	443
SLE-RAR-067	3638	1915		137	151	509
SLE-RAR-068	4215	1804		229	252	850
SLE-RAR-069	4098	1911		216	238	804
SLE-RAR-070	3411	1092		226	248	839
SLE-RAR-071	3338	2330		98	108	364
SLE-RAR-072	3315	2140		111	122	411
SLE-RAR-073	3133	2361		57	63	213
SLE-RAR-074	3212	2251		73	81	273
SLE-RAR-075	3418	2233		113	124	419
SLE-RAR-076	3347	2298		105	116	391
SLE-RAR-077	2853	1700		110	121	408
SLE-RAR-078	3533	2135		121	133	448
SLE-RAR-079	3509	1945		128	141	476
SLE-RAR-080	3327	2167		82	90	305
SLE-RAR-081	3406	2057		99	109	369
SLE-RAR-082	3612	2039		133	146	494
SLE-RAR-083	3541	2103		126	139	470
SLE-RAR-084	3048	1505		126	139	469
SLE-RAR-085	3428	2240		120	132	447
SLE-RAR-086	3405	2050		134	147	497
SLE-RAR-087	3223	2271		80	88	297
SLE-RAR-088	3301	2161		96	105	356
SLE-RAR-089	3508	2143		136	149	504
SLE-RAR-090	3437	2208		128	141	475
SLE-RAR-091	2943	1610		133	146	495
SLE-RAR-092	3392	2276		111	122	413
SLE-RAR-093	3368	2086		124	137	462
SLE-RAR-094	3186	2307		71	78	263
SLE-RAR-095	3265	2198		87	95	322
SLE-RAR-096	3471	2180		126	139	469
SLE-RAR-097	3400	2244		119	130	441

SLE-RAR-098	2907	1646		124	136	460
SLE-RAR-099	3675	1992		151	166	562
SLE-RAR-100	3652	1802		161	177	598
SLE-RAR-101	3470	2024		111	122	411
SLE-RAR-102	3549	1914		128	141	476
SLE-RAR-103	3755	1896		165	181	613
SLE-RAR-104	3684	1960		158	174	586
SLE-RAR-105	3190	1362		160	175	593

	N_{max}	N_{min}	T_{media}	T_{media_grupo}	M_{max}
	[kN]	[kN]	[kN]	[kN]	[kNm]
SLE-QPE-001	2549	2549	0	0	0
SLE-QPE-002	2728	2371	47	52	174

6 VERIFICHE STRUTTURALI DEL FUSTO PILA

6.1 GEOMETRIA DELLA SEZIONE ED ARMATURA

Si riporta a seguire una figura che illustra la geometria della sezione di verifica, nella quale è rappresentata una armatura tipologica.

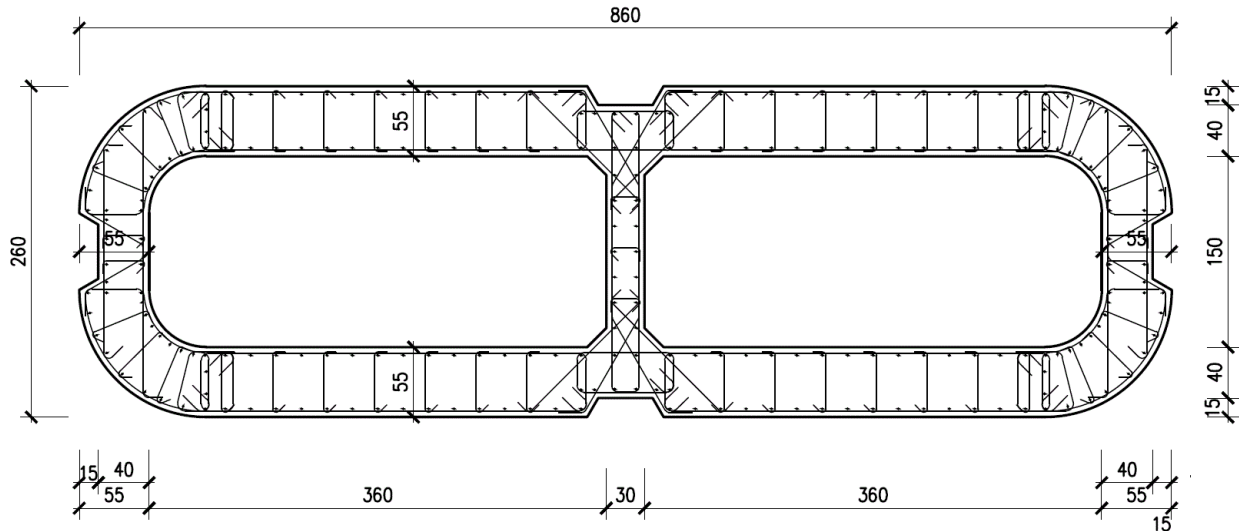


Figura 1 – Geometria della sezione trasversale della pila [cm]

6.1.1 ARMATURA LONGITUDINALE

A seguire è indicata l'armatura flessionale prevista nella sezione di base del fusto pila, in termini di numero di barre presenti nello strato esterno (1° str.), nello strato interno (2° str.), nonché loro diametro f_i [mm].

n barre (1° str.)	124
f_i barre (1° str.)	26
n barre (2° str.)	122
f_i barre (2° str.)	26

6.1.2 ARMATURA TRASVERSALE

A seguire è indicata l'armatura a taglio prevista nella sezione di base del fusto pila, all'interno della zona critica.

Direzione longitudinale

Staffe:

Spille:

Spille:

øw	16	mm	øw	8	mm	øw	16	mm
A1b	200.96	mm ²	A1b	50.24	mm ²	A1b	200.96	mm ²
passo	100	mm	passo	100	mm	passo	100	mm
bracci	6		bracci	16		bracci	6	

Direzione trasversale

Staffe:

Spille:

Spille:

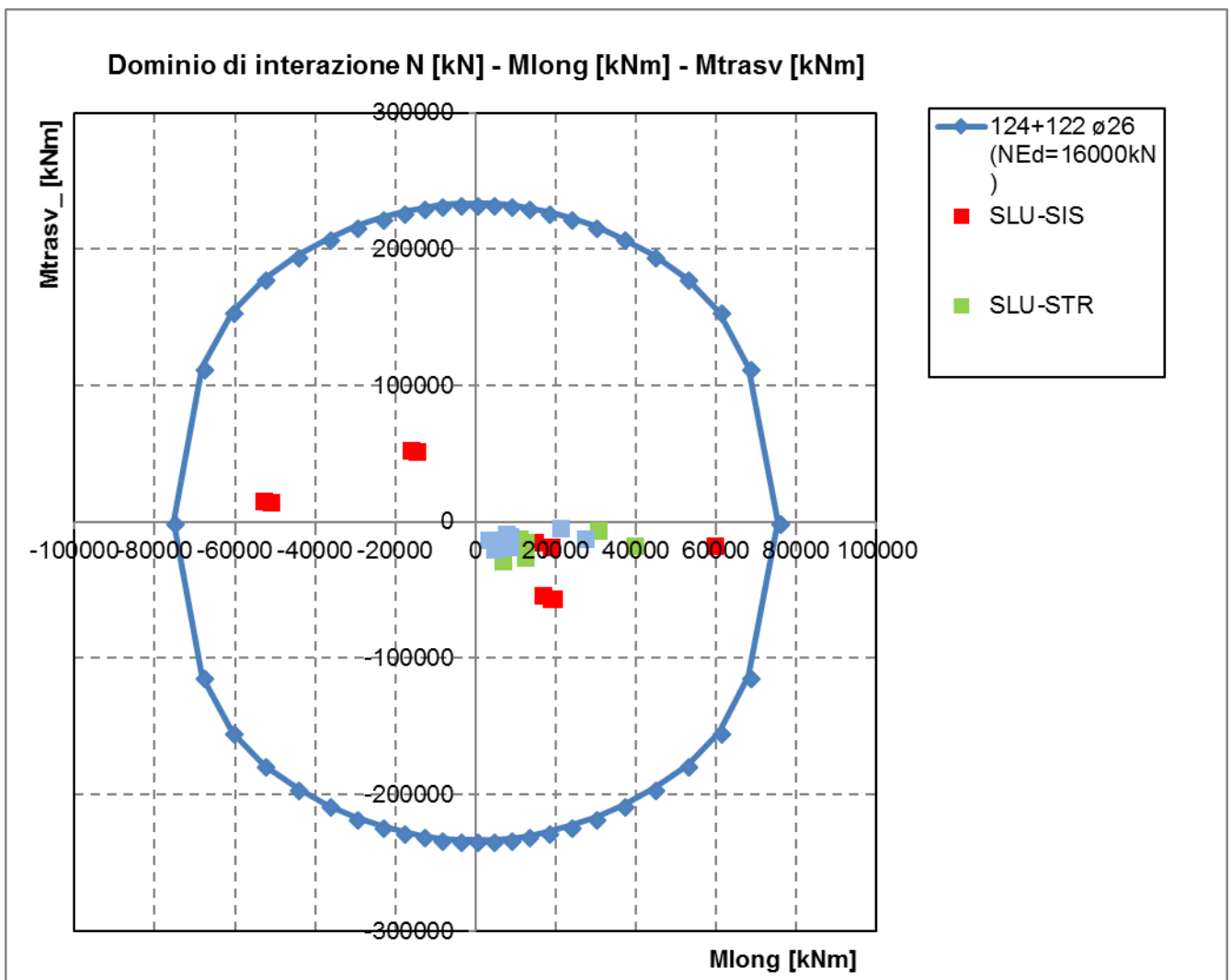
øw	16	mm	øw	8	mm	øw	16	mm
A1b	200.96	mm ²	A1b	50.24	mm ²	A1b	200.96	mm ²
passo	100	mm	passo	100	mm	passo	100	mm
bracci	4		bracci	6		bracci	2	

6.2 VERIFICHE SLU A PRESSOFLESSIONE

La verifica SLU a presso-flessione nelle sezioni critiche si effettua verificando che:

$$FS = (M_{Rd,long}^2 + M_{Rd,trasv}^2)^{0.5} / (M_{Ed,long}^2 + M_{Ed,trasv}^2)^{0.5} \geq 1$$

Sono riportate a seguire le verifiche SLU della sezione di base della pila, espresse in forma sintetica mediante il diagramma di interazione $M_{long} - M_{trasv}$ valutato per una forza assiale corrispondente alla condizione di verifica più severa (SLV-SIS).



Si riportano a seguire le verifiche in forma esplicita nelle due combinazioni di carico più severe, di cui la prima ricadente in condizione statica SLU e la seconda ricadente in condizione sismica SLV.

SLU-STR-065

Verifica C.A. S.L.U. - File: 860x260_246fi26_STR1

File Materiali Opzioni Visualizza Progetto Sez. Rett. Sismica Normativa: NTC 2008 ?

TITOLO : _____

N° Vertici Zoom N° barre Zoom

N°	x [cm]	y [cm]	N°	As [cm²]	x [cm]	y [cm]
1	-430	30	1	5.3	9	108
2	-427	56	2	5.3	24	109
3	-417	80	3	5.3	35	109
4	-401	101	4	5.3	35	124
5	-380	117	5	5.3	55	124
6	-356	127	6	5.3	75	124

Tipo Sezione
 Rettan.re Trapezi
 a T Circolari
 Rettangoli Coord.

Sollecitazioni
 S.L.U. Metodo n
 N_{Ed} kN
 M_{xEd} kNm
 M_{yEd} kNm

P.to applicazione N
 Centro Baricentro cls
 Coord.[cm] xN yN

Tipo rottura
 Lato calcestruzzo - Acciaio snervato

Metodo di calcolo
 S.L.U.+ S.L.U.-
 Metodo n

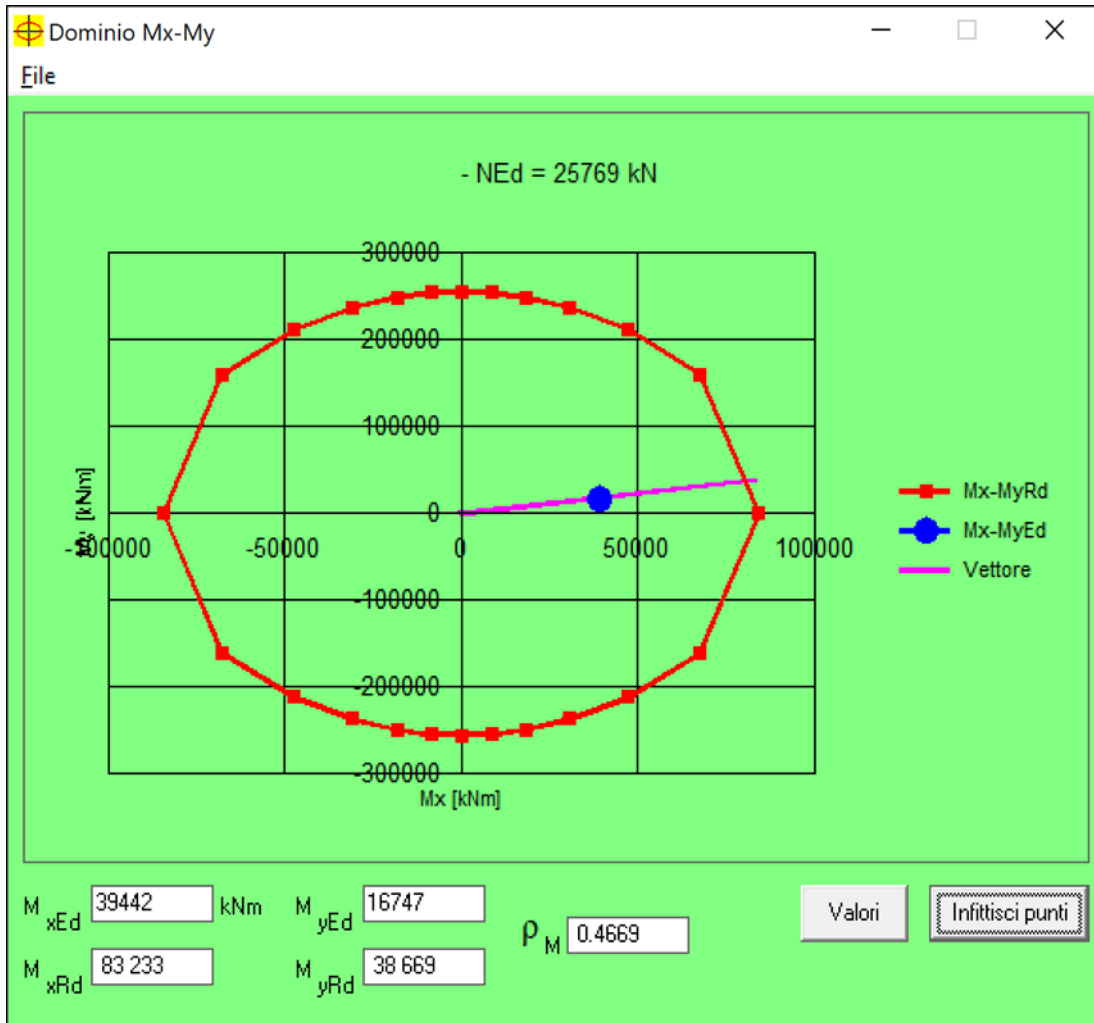
Tipo flessione
 Retta Deviata

N° rett.
 Calcola MRd Dominio Mx-My
 angolo asse neutro θ°
 Precompresso

Materiali

 ε_{su} ‰ ε_{c2} ‰
 f_{yd} N/mm² ε_{cu} ‰
 E_s N/mm² f_{cd}
 E_s/E_c f_{cc}/f_{cd} ?
 ε_{syd} ‰ σ_{c,adm}
 σ_{s,adm} N/mm² τ_{co}
 τ_{c1}

M_{xRd} kN m
 M_{yRd} kN m
 σ_c N/mm²
 ε_c ‰
 ε_s ‰
 d cm
 x x/d
 δ



roM 0.4669
FS 2.14

SLU-SIS-011

Verifica C.A. S.L.U. - File: 860x260_246fi26_SIS1_

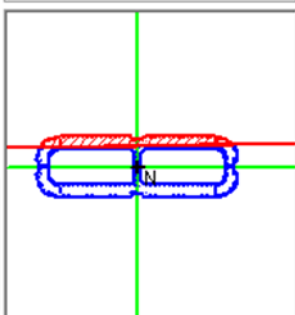
File Materiali Opzioni Visualizza Progetto Sez. Rett. Sismica Normativa: NTC 2008 ?

TITOLO : _____

N° Vertici Zoom N° barre Zoom

N°	x [cm]	y [cm]	N°	As [cm²]	x [cm]	y [cm]
1	-430	30	1	5,3	9	108
2	-427	56	2	5,3	24	109
3	-417	80	3	5,3	35	109
4	-401	101	4	5,3	35	124
5	-380	117	5	5,3	55	124
6	-356	127	6	5,3	75	124

Tipo Sezione
 Rettan.re Trapezi
 a T Circolare
 Rettangoli Coord.



Sollecitazioni
 S.L.U. Metodo n

N_{Ed} 0 kN
 M_{xEd} 0 kNm
 M_{yEd} 0

P.to applicazione N
 Centro Baricentro cls
 Coord.[cm] xN
 yN

Tipo rottura
 Lato calcestruzzo - Acciaio snervato

Metodo di calcolo
 S.L.U.+ S.L.U.-
 Metodo n

Tipo flessione
 Retta Deviata

N° rett.

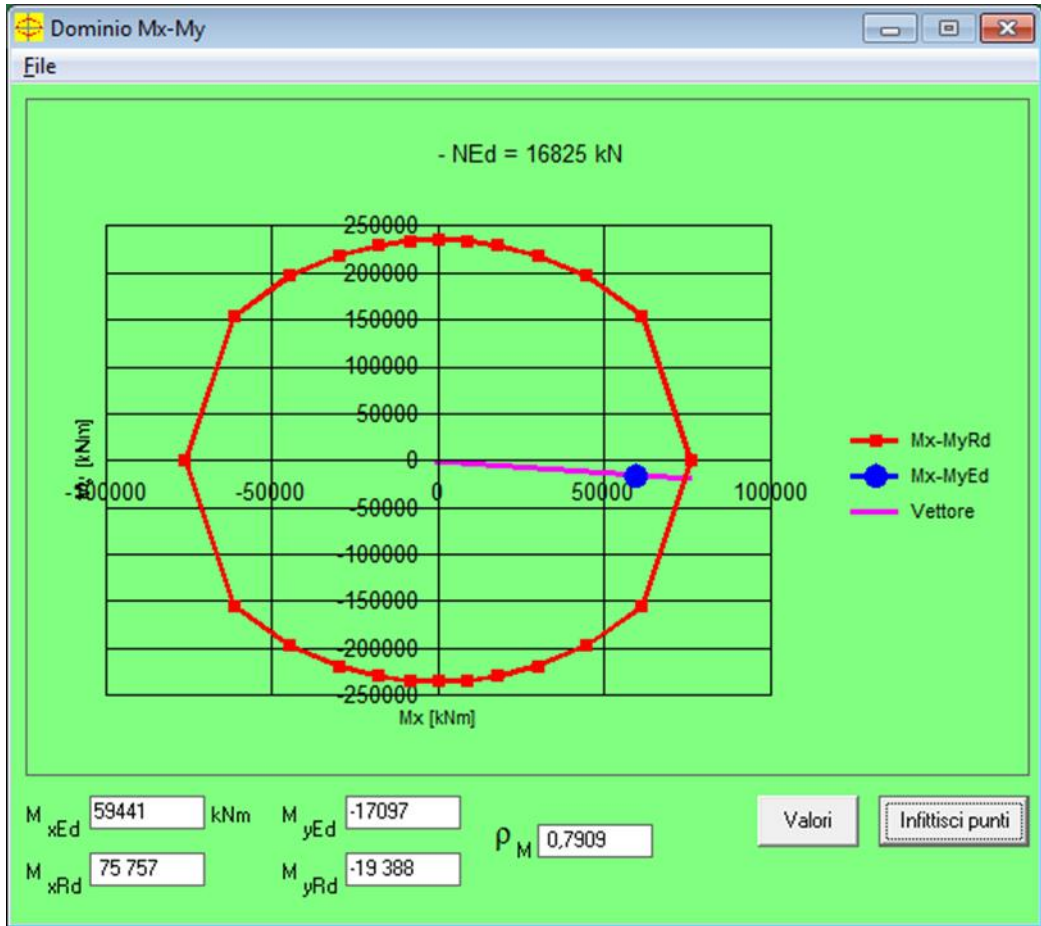
Calcola MRd Dominio Mx-My

angolo asse neutro θ°

Precompresso

Materiali
 B450C C32/40
 ϵ_{su} ‰ ϵ_{c2} ‰
 f_{yd} N/mm² ϵ_{cu} ‰
 E_s N/mm² f_{cd} ‰
 E_s/E_c f_{cc}/f_{cd} ?
 ϵ_{syd} ‰ $\sigma_{c,adm}$ ‰
 $\sigma_{s,adm}$ N/mm² τ_{co} ‰
 τ_{c1} ‰

M_{xRd} kN m
 M_{yRd} kN m
 σ_c N/mm²
 σ_s N/mm²
 ϵ_c ‰
 ϵ_s ‰
 d cm
 x x/d
 δ



roM 0.7909
FS 1.26

6.4 VERIFICHE SLU A TAGLIO

Seguono le sollecitazioni di verifica alla base del fusto pile, calcolate secondo il criterio della gerarchia delle resistenze:

Sollecitazioni - Condizione statica STR

SLU-STR	max	Combo.	F1	F2	F3	M1	M2
			kN	kN	kN	kNm	kNm
<i>max</i>	F1	SLU-STR-065	3786	1162	-25769	-16747	39442
<i>max</i>	F2	SLU-STR-019	1340	1785	-28862	-25419	12047
<i>min</i>	F1	SLU-STR-002	507	1324	-20608	-18542	4517
<i>min</i>	F2	SLU-STR-014	1188	186	-24903	-11065	10687

Sollecitazioni - Condizione sismica SIS (da calcolo diretto con $q=1.5$)

SLU-SIS	max	Combo.	F1	F2	F3	M1	M2
			kN	kN	kN	kNm	kNm
<i>max</i>	F1	SLU-SIS-011	6475	1493	-16825	-17097	59441
<i>max</i>	F2	SLU-SIS-038	2050	4947	-17251	-55306	19169
<i>min</i>	F1	SLU-SIS-102	-5848	-1443	-16113	15393	-51357
<i>min</i>	F2	SLU-SIS-135	-1754	-4810	-16113	52399	-14811

Sollecitazioni - Condizione sismica SIS (da G.R.)

SLU-SIS	max	Combo.	F1	F2	F3	M1	M2
			kN	kN	kN	kNm	kNm
<i>max</i>	F1	SLU-SIS-011	6475	1493	-16825	-17097	59441
<i>max</i>	F2	SLU-SIS-038	2050	4947	-17251	-55306	19169
<i>min</i>	F1	SLU-SIS-102	-5848	-1443	-16113	15393	-51357
<i>min</i>	F2	SLU-SIS-135	-1754	-4810	-16113	52399	-14811

MRd,1	MRd,2	Vgr,1	Vgr,2
kNm	kNm	kN	kN
36577	66779	7274	2240
155036	51668	3076	7420
66094	36571	4164	2165
162797	47352	2631	7215

Verifica - Direzione Longitudinale**Verifica a taglio per sezioni rettangolari armate a taglio (D.M. 14/01/2008)**

classe cls	Rck	40	N/mm ²
resist. Caratteristica cilindrica	fck	33	N/mm ²
	fcd	19	
	coeff. parziale	γ_c	1.5
larghezza membratura resistene a V	bw	1100	mm
altezza membratura resistene a V	H	2600	mm
altezza utile	d	2340	mm
area della sezione	As	1E+07	mm ²
sforzo assiale dovuto ai carichi o precompressione	N	1.68E+07	N
	σ_{cp}	5.88	N/mm ²
	α_c	1.25	
Acciaio	f _{yk}	450	N/mm ²
Feb44k	f _{yd}	391	N/mm ²
diametro staffe	\varnothing_w	16	mm
Area staffa	A _{0w}	201	mm ²
0.9 d	z	2106	mm
passo delle staffe (spille)	sw	100	mm
	n° bracci	6	
angolo di inclinazione	θ	37.0	°
deve essere compreso tra 1 e 2.5	cot(θ)	1.33	
angolo di inclinazione armatura rispetto asse palo	α	90	°
	cot(α)	0.00	
	Asw / sw	12.06	mm ² /mm

Taglio resistente per "taglio trazione"	VRsd	13193	kN
Taglio resistente per "taglio compressione"	VRcd	13092	kN

taglio sollecitante	VEd	7274	kN
fattore di sicurezza per GR (par. 7.9.5.2.2)	γ_{Bd}	1.00	
taglio resistente	VRd	13092	kN

VEd < VRd

La verifica è soddisfatta.

FS 1.80

Verifica - Direzione Trasversale**Verifica a taglio per sezioni rettangolari armate a taglio (D.M. 14/01/2008)**

classe cls	Rck	40	N/mm ²
resist. Caratteristica cilindrica	fck	33	N/mm ²
	fcd	19	
coeff. parziale	γ_c	1.5	
larghezza membratura resistene a V	bw	1100	mm
altezza membratura resistene a V	H	8600	mm
altezza utile	d	7740	mm
area della sezione	As	1.1E+07	mm ²
sforzo assiale dovuto ai carichi o precompressione	N	1.7E+07	N
	σ_{cp}	1.82	N/mm ²
	α_c	1.10	
Acciaio	f _{yk}	450	N/mm ²
Feb44k	f _{yd}	391	N/mm ²
diámetro staffe	ϕ_w	16	mm
Area staffa	A _{øw}	201	mm ²
0.9 d	z	6966	mm
passo delle staffe (spille)	sw	100	mm
	n° bracci	4	
angolo di inclinazione	θ	45	°
deve essere compreso tra 1 e 2.5	cot(θ)	1.00	
angolo di inclinazione armatura rispetto asse palo	α	45	°
	cot(α)	1.00	
	Asw / sw	8.04	mm ² /mm

Taglio resistente per "taglio trazione"	VRsd	31003	kN
Taglio resistente per "taglio compressione"	VRcd	79066	kN

taglio sollecitante	VEd	7420	kN
fattore di sicurezza per GR (par. 7.9.5.2.2)	γ_{Bd}	1.25	
taglio resistente	VRd	24802	kN

VEd < VRd

La verifica è soddisfatta.

FS 3.34

6.6 VERIFICHE SLE DELLE TENSIONI

La verifica SLE di tipo tensionale si effettua controllando che le massime tensioni normali agenti nella sezione risultino inferiori ai seguenti valori limite:

per le combinazioni SLE-RAR:

- tensione limite nel calcestruzzo: $\sigma_c = 0.55 f_{ck}$
- tensione limite nelle barre: $\sigma_s = 0.75 f_{yk}$

per le combinazioni SLE-QPE:

- tensione limite nel calcestruzzo: $\sigma_c = 0.40 f_{ck}$

SLE-RAR-065

Verifica C.A. S.L.U. - File: 860x260_246fi26_RAR1

File Materiali Opzioni Visualizza Progetto Sez. Rett. Sismica Normativa: NTC 2008 ?

Titolo: _____

N° Vertici Zoom N° barre Zoom

N°	x [cm]	y [cm]	N°	As [cm²]	x [cm]	y [cm]
1	-430	30	1	5.3	9	108
2	-427	56	2	5.3	24	109
3	-417	80	3	5.3	35	109
4	-401	101	4	5.3	35	124
5	-380	117	5	5.3	55	124
6	-356	127	6	5.3	75	124

Tipo Sezione
 Rettan.re Trapezi
 a T Circolare
 Rettangoli Coord.

Sollecitazioni
 S.L.U. Metodo n

N_{Ed} 18263 kN
 M_{xEd} 27135 kNm
 M_{yEd} 11270

P.to applicazione N
 Centro Baricentro cls
 Coord.[cm] xN
 yN

Metodo di calcolo
 S.L.U.+ S.L.U.-
 Metodo n

Materiali

 ϵ_{su} ‰ ϵ_{c2} ‰
 f_{yd} N/mm² ϵ_{cu}
 E_s N/mm² f_{cd}
 E_s/E_c f_{cc}/f_{cd} ?
 ϵ_{syd} ‰ $\sigma_{c,adm}$
 $\sigma_{s,adm}$ N/mm² τ_{co}
 τ_{c1}

σ_c N/mm²
 σ_s N/mm²
 ϵ_s ‰
 d cm
 x x/d
 δ

Verifica
 N° iterazioni:
 Precompresso

La verifica è soddisfatta.

SLE-RAR-022

Verifica C.A. S.L.U. - File: 860x260_246fi26_RAR2

File Materiali Opzioni Visualizza Progetto Sez. Rett. Sismica Normativa: NTC 2008 ?

Titolo : _____

N° Vertici Zoom N° barre Zoom

N°	x [cm]	y [cm]	N°	As [cm²]	x [cm]	y [cm]
1	-430	30	1	5.3	9	108
2	-427	56	2	5.3	24	109
3	-417	80	3	5.3	35	109
4	-401	101	4	5.3	35	124
5	-380	117	5	5.3	55	124
6	-356	127	6	5.3	75	124

Tipo Sezione
 Rettan.re Trapezi
 a T Circolare
 Rettangoli Coord.

Solecitazioni
 S.L.U. Metodo n

N_{Ed} kN
 M_{xEd} kNm
 M_{yEd}

P.to applicazione N
 Centro Baricentro cls
 Coord.[cm] xN yN

Metodo di calcolo
 S.L.U.+ S.L.U.-
 Metodo n

Materiali

 ϵ_{su} ‰ ϵ_{c2} ‰
 f_{yd} N/mm² ϵ_{cu}
 E_s N/mm² f_{cd}
 E_s/E_c f_{cc}/f_{cd} ?
 ϵ_{syd} ‰ $\sigma_{c,adm}$
 $\sigma_{s,adm}$ N/mm² τ_{co}
 τ_{c1}

σ_c N/mm²
 ϵ_s ‰

Verifica
 N° iterazioni:
 Precompresso

La verifica è soddisfatta.

6.7 VERIFICHE SLE A FESSURAZIONE

La verifica SLE a fessurazione si effettua controllando che il massimo valore di apertura delle fessure risulti inferiore ai seguenti valori limite:

per le combinazioni SLE-RAR:

- apertura fessure limite: $w_{lim} = w_1 = 0.30 \text{ mm}$
- c** pos. baric. strato i-esimo [mm]
- ∅** diametro barre strato i-esimo [mm]
- n** numero barre strato i-esimo []
- $\sigma_{s,max}$** Tensione massima barre strato i-esimo [MPa]
- b_{eff}** larghezza efficace [mm]
- $h_{c,eff}$** altezza efficace [mm]
- $A_{c,eff}$** area efficace relativamente ad una singola barre [mm²]
- $\rho_{p,eff}$** percentuale di armatura relativa a $A_{c,eff}$
- k_t** (0.6 carichi brevi; 0.4 lunga durata)
- k_1** (0.8 barre ad. migliorata; 1.6 liscie)
- k_2** (0.5 per flessione; 1 trazione)

Prima condizione di carico SLE-RAR

INPUT		
Rck	40	Mpa
h	550	mm
c1	67	mm
ϕ_1	26	mm
n1	5.000	
c2		mm
ϕ_2		mm
n2	5.000	1/m
d	483	mm
b_{eff}	200	mm
$\sigma_{s,max1}$	108	Mpa
$\sigma_{s,max2}$		Mpa
$h_{c,eff}$	167.5	mm
$A_{c,eff}$	33500	mm ²
$\rho_{p,eff}$	0.016	
k_t	0.6	
k_1	0.8	
k_2	0.5	
k_3	3.4	
k_4	0.425	

OUTPUT		
diff. def. armature-clc		
$\epsilon_{sm} - \epsilon_{cm}$	3.15E-04	-
distanza max fessure		
$s_{r,max}$	462	mm
ampiezza fessure:		
wk	0.145	mm
wlim	0.200	mm
La verifica è soddisfatta.		

7 VERIFICHE STRUTTURALI DEI PALI DI FONDAZIONE

7.1 GEOMETRIA DELLA SEZIONE ED ARMATURA

GEOMETRIA DELLA SEZIONE

Diametro del palo =	1500	mm
Copriferro netto c =	60	mm
Classe di resistenza calcestruzzo =	C25/30	Mpa
Classe di resistenza delle barre =	B450C	MPa

ARMATURA PER I PRIMI 10 \varnothing

1° strato di armatura longitudinale

Numero barre long.	24	-
Diametro barre long.	24	mm
Copriferro baricentrico arm. long. c' =	86	mm

2° strato di armatura longitudinale

Numero barre long.	24	-
Diametro barre long.	24	mm
Copriferro baricentrico arm. long. c' =	135	mm

Armatura trasversale

Diametro barre trasv.	14	mm
Passo arm. trasv.	150	mm
Diametro corona esterna =	1366	mm

7.2 VERIFICHE SLU A PRESSOFLESSIONE

Sono riportate a seguire le verifiche SLU della sezione di sommità del palo maggiormente sollecitato, espresse in forma sintetica mediante il diagramma di interazione N – M.

Diagramma di interazione N-M con coordinate sollecitazioni indotte da combinazioni di carico SLU-STR

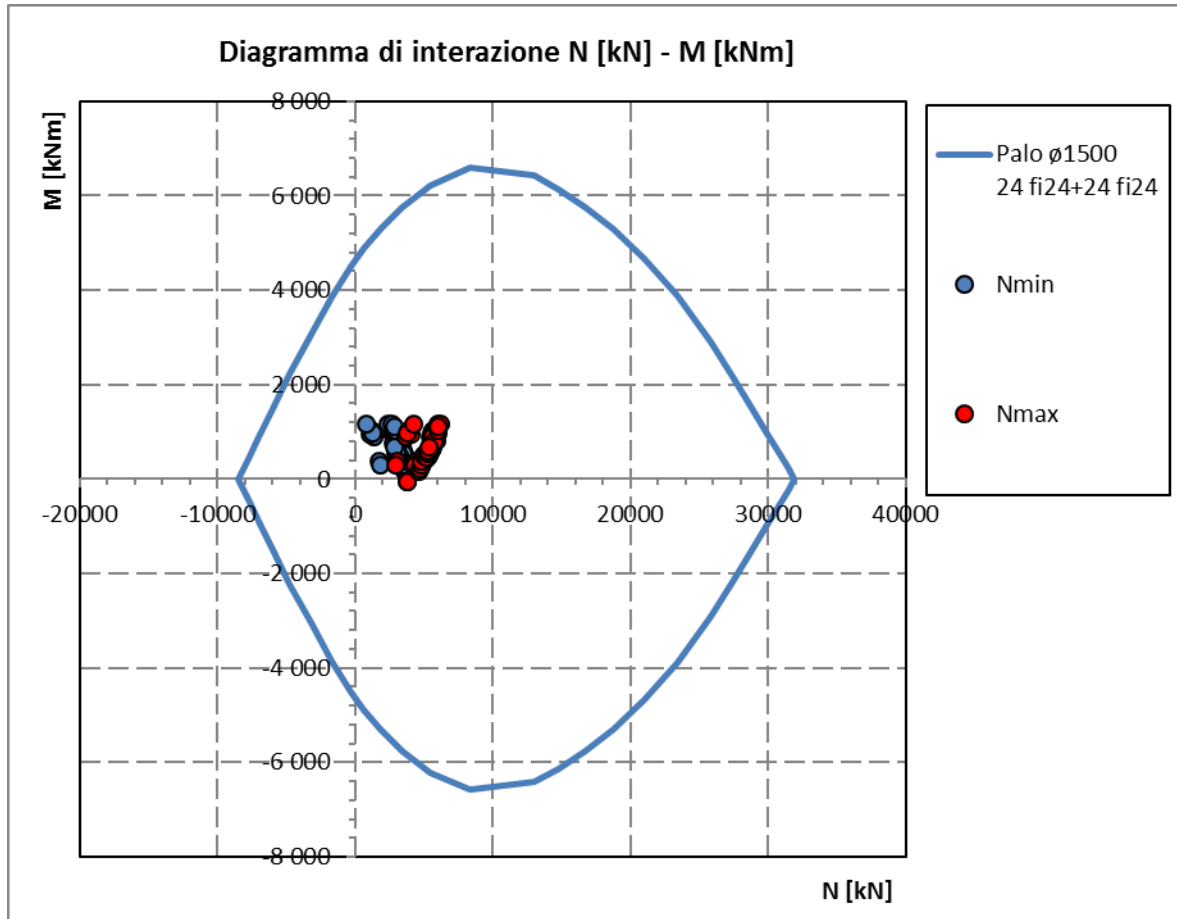
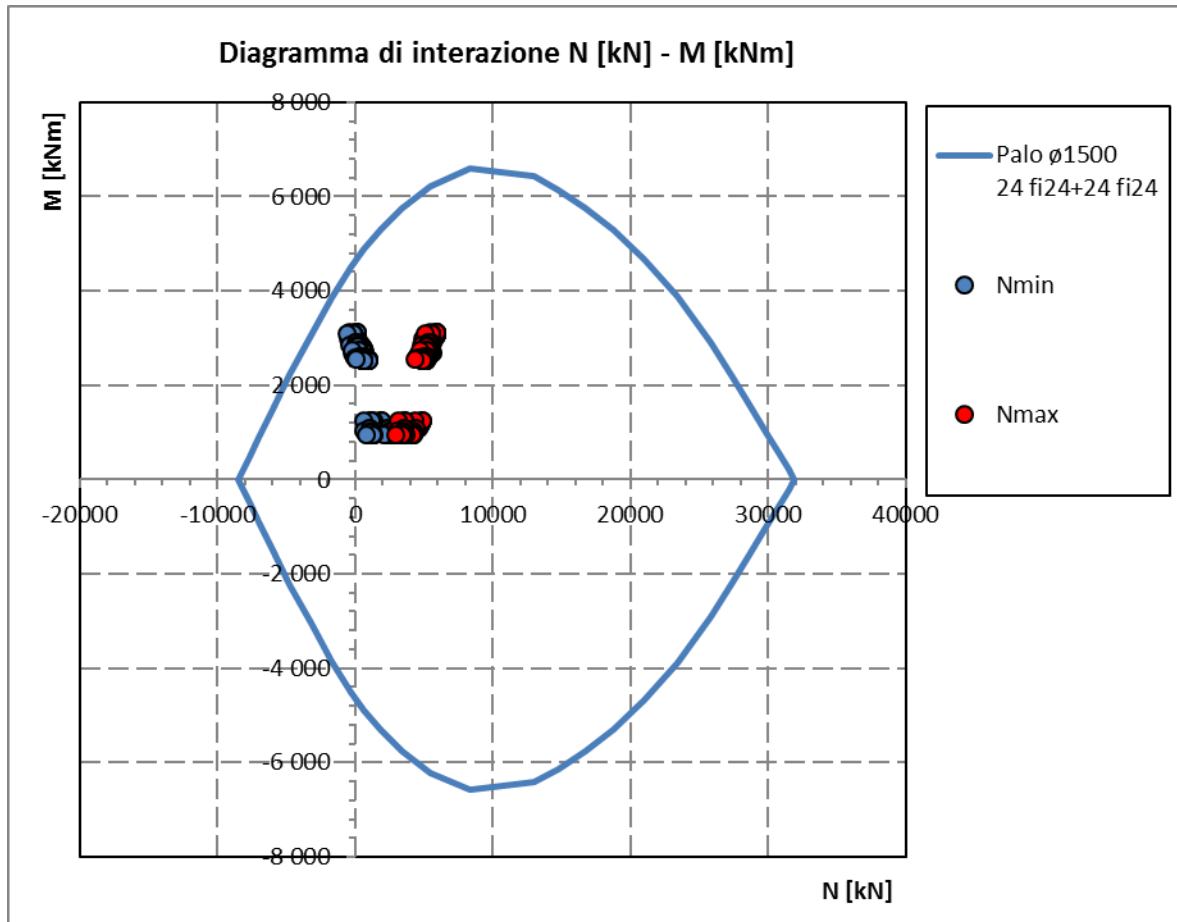


Diagramma di interazione N-M con coordinate sollecitazioni indotte da combinazioni di carico SLU-SIS

La verifica è soddisfatta in quanto le coppie N-M delle sollecitazioni agenti nella sezione di verifica sono interne al dominio di resistenza per ogni condizione di carico indagata.

7.3 VERIFICHE SLU A TAGLIO

Verifica a taglio per sezioni circolari armate a taglio (D.M. 14/01/2008)

classe cls	Rck	30	N/mm ²
resist. Caratteristica cilindrica	fck	25	N/mm ²
	fcd	14	N/mm ²
diametro	Φ	1500	mm
Area sezione	A	1767146	mm ²
copriferro	c	80	mm
Area sezione rettangolare equivalente	Aeq	1486983	mm ²
altezza utile equivalente	d	1177	mm
larghezza equivalente	bw	1264	mm
altezza equivalente	heq	1398	mm
sforzo assiale dovuto ai carichi o precompressione	N		N
	σ_{cp}	0.000	N/mm ²
	α_{cp}	1.00	

Acciaio	fyk	450	N/mm ²
B450C	fyd	391	N/mm ²
diametro staffe (spille)	ϕ_w	14	mm
Area staffa (spilla)	A ϕ_w	154	mm ²
0.9 d	z	1059	mm
passo spirale	sw	150	mm
	n° bracci	2	
angolo di inclinazione biella compressa	θ	21.8	°
deve essere compreso tra 1 e 2.5	cot(θ)	2.50	
angolo di inclinazione armatura rispetto asse palo	α	90	°
	cot(α)	0.00	
	Asw / sw	2.05	mm ² /mm

Taglio resistente per "taglio trazione"	VRsd	2126	kN
Taglio resistente per "taglio compressione"	VRcd	3256	kN

taglio sollecitante	VEd	946	kN
fattore di sicurezza per GR (par. 7.9.5.2.2)	γ_{Rd}	1	
taglio resistente	VRd	2126	kN
	VEd	<	VRd
verifica			

7.4 VERIFICHE SLE DELLE TENSIONI

La verifica SLE di tipo tensionale si effettua controllando che le massime tensioni normali agenti nella sezione risultino inferiori ai seguenti valori limite:

per le combinazioni SLE-RAR:

- tensione limite nel calcestruzzo: $\sigma_c = 0.55 f_{ck}$
- tensione limite nelle barre: $\sigma_s = 0.75 f_{yk}$

per le combinazioni SLE-QPE:

- tensione limite nel calcestruzzo: $\sigma_c = 0.40 f_{ck}$

SLE-RAR-065

Verifica C.A. S.L.U. - File: palo1500_24fi24+24fi24_RAR1

File Materiali Opzioni Visualizza Progetto Sez. Rett. Sismica Normativa: DM 1996 ?

Titolo :

Sezione circolare cava

Raggio esterno: 750 [mm]
 Raggio interno: 0 [mm]
 N° barre uguali: 0
 Diametro barre: 0 [mm]
 Copriferro (baric.): 0 [mm]

N° barre: 48 Zoom

N°	As [mm²]	x [mm]	y [mm]
1	452	0	664
2	452	172	641
3	452	332	575
4	452	470	470
5	452	575	332
6	452	641	172

Sollecitazioni

S.L.U. Metodo n

N_{Ed}: 0 1617 kN
 M_{xEd}: 0 842 kNm
 M_{yEd}: 0 0

P.to applicazione N

Centro Baricentro cls
 Coord.[mm] xN 0 yN 0

Metodo di calcolo

S.L.U.+ S.L.U.-
 Metodo n

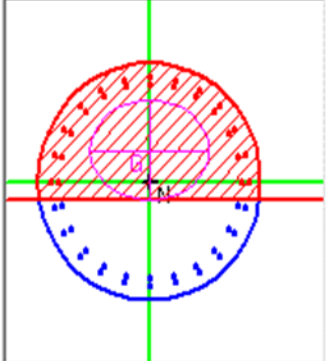
Materiali

B450C C25/30

ϵ_{su} 10 ‰ ϵ_{c2} 2 ‰
 f_{yd} 391.3 N/mm² ϵ_{cu} 3.5 ‰
 E_s 200 000 N/mm² f_{cd} 13.28
 E_s/E_c 15 f_{cc}/f_{cd} 0.8 ?
 ϵ_{syd} 1.957 ‰ $\sigma_{c,adm}$ 9.75
 $\sigma_{s,adm}$ 255 N/mm² τ_{co} 0.6
 τ_{c1} 1.829

σ_c -3.28 N/mm²
 σ_s 31.47 N/mm²
 ϵ_s 0.1574 ‰
 d 1 414 mm
 x 862.4 x/d 0.6099
 δ 1

Vertici: 50
 Verifica
 N° iterazioni: 4
 Precompresso



La verifica è soddisfatta.

SLE-RAR-018

Verifica C.A. S.L.U. - File: palo1500_24fi24+24fi24_RAR2

File Materiali Opzioni Visualizza Progetto Sez. Rett. Sismica Normativa: DM 1996 ?

Titolo :

Sezione circolare cava

Raggio esterno: 750 [mm]
 Raggio interno: 0 [mm]
 N° barre uguali: 0
 Diametro barre: 0 [mm]
 Copriferro (baric.): 0 [mm]

N° barre: 48 Zoom

N°	As [mm²]	x [mm]	y [mm]
1	452	0	664
2	452	172	641
3	452	332	575
4	452	470	470
5	452	575	332
6	452	641	172

Tipo Sezione

Rettan.re Trapezi
 a T Circolare
 Rettangoli Coord.

Sollecitazioni

S.L.U. Metodo n

N_{Ed}: 0 1430 kN
 M_{xEd}: 0 671 kNm
 M_{yEd}: 0 0

P.to applicazione N

Centro Baricentro cls
 Coord.[mm] xN: 0 yN: 0

Metodo di calcolo

S.L.U.+ S.L.U.-
 Metodo n

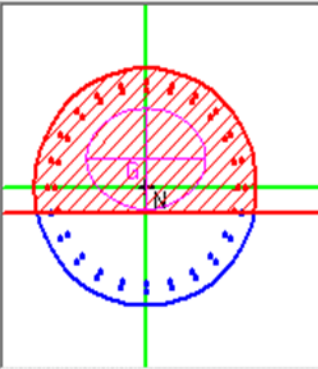
Materiali

B450C C25/30

ϵ_{su} : 10 ‰ ϵ_{c2} : 2 ‰
 f_{yd} : 391.3 N/mm² ϵ_{cu} : 3.5 ‰
 E_s : 200 000 N/mm² f_{cd} : 13.28
 E_s/E_c : 15 f_{cc}/f_{cd} : 0.8 ?
 ϵ_{syd} : 1.957 ‰ $\sigma_{c,adm}$: 9.75
 $\sigma_{s,adm}$: 255 N/mm² τ_{co} : 0.6
 τ_{c1} : 1.829

σ_c : -2.608 N/mm²
 σ_s : 21.19 N/mm²
 ϵ_s : 0.1059 ‰
 d: 1 414 mm
 x: 917.3 w/d: 0.6487
 δ : 1

Vertici: 50
 Verifica
 N° iterazioni: 4
 Precompresso



La verifica è soddisfatta.

SLE-RAR-068

Verifica C.A. S.L.U. - File: palo1500_24fi24+24fi24_RAR3

File Materiali Opzioni Visualizza Progetto Sez. Rett. Sismica Normativa: DM 1996 ?

Titolo :

Sezione circolare cava

Raggio esterno: 750 [mm]
 Raggio interno: 0 [mm]
 N° barre uguali: 0
 Diametro barre: 0 [mm]
 Copriferro (baric.): 0 [mm]

N° barre: 48 Zoom

N°	As [mm²]	x [mm]	y [mm]
1	452	0	664
2	452	172	641
3	452	332	575
4	452	470	470
5	452	575	332
6	452	641	172

Tipo Sezione
 Rettan.re Trapezi
 a T Circolare
 Rettangoli Coord.

Sollecitazioni
 S.L.U. Metodo n

N_{Ed}: 0 1804 kN
 M_{xEd}: 0 850 kNm
 M_{yEd}: 0 0

P.to applicazione N
 Centro Baricentro cls
 Coord.[mm] xN: 0 yN: 0

Metodo di calcolo
 S.L.U.+ S.L.U.-
 Metodo n

Materiali
 B450C C25/30
 ε_{su}: 10 ‰ ε_{c2}: 2 ‰
 f_{yd}: 391.3 N/mm² ε_{cu}: 3.5 ‰
 E_s: 200 000 N/mm² f_{cd}: 13.28
 E_s/E_c: 15 f_{cc}/f_{cd}: 0.8 ?
 ε_{syd}: 1.957 ‰ σ_{c,adm}: 9.75
 σ_{s,adm}: 255 N/mm² τ_{co}: 0.6
 τ_{c1}: 1.829

σ_c: -3.304 N/mm²
 σ_s: 27.03 N/mm²
 ε_s: 0.1352 ‰
 d: 1 414 mm
 x: 915 x/d: 0.6471
 δ: 1

Vertici: 50
 Verifica
 N° iterazioni: 4
 Precompresso

La verifica è soddisfatta.

7.5 VERIFICHE SLE A FESSURAZIONE

La verifica SLE a fessurazione si effettua controllando che il massimo valore di apertura delle fessure risulti inferiore ai seguenti valori limite:

per le combinazioni SLE-RAR:

- apertura fessure limite: $w_{lim} = w_1 = 0.30 \text{ mm}$

Prima condizione di carico SLE-RAR

INPUT		
Rck	30	Mpa
h	1500	mm
c1	86	mm
ϕ_1	24	mm
n1	7.807	1/m
c2	135	mm
ϕ_2	24	mm
n2	7.807	1/m
d	1390	mm
beff	128	mm
x	862.4	mm
$\sigma_{s,max1}$	32	Mpa
$\sigma_{s,max2}$	32	Mpa
$h_{c,eff}$	213	mm
$A_{c,eff}$	27223	mm ²
$\rho_{p,eff}$	0.033	
kt	0.6	
k1	0.8	
k2	0.5	
k3	3.4	
k4	0.425	

OUTPUT		
diff. def. armature-cls		
$\epsilon_{sm} - \epsilon_{cm}$	9.17E-05	-
distanza max fessure		
$s_{r,max}$	492	mm
ampiezza fessure:		
wk	0.045	mm
wlim	0.300	mm
La verifica è soddisfatta.		

Seconda condizione di carico SLE-RAR

INPUT		
Rck	30	Mpa
h	1500	mm
c1	86	mm
$\phi 1$	24	mm
n1	7.807	1/m
c2	135	mm
$\phi 2$	24	mm
n2	7.807	1/m
d	1390	mm
beff	128	mm
x	917.3	mm
$\sigma_{s,max1}$	21	Mpa
$\sigma_{s,max2}$	21	Mpa
$h_{c,eff}$	194	mm
$A_{c,eff}$	24879	mm ²
$\rho_{p,eff}$	0.036	
kt	0.6	
k1	0.8	
k2	0.5	
k3	3.4	
k4	0.425	

OUTPUT		
diff. def. armature-cls		
$\epsilon_{sm} - \epsilon_{cm}$	6.17E-05	-
distanza max fessure		
$s_{r,max}$	477	mm
ampiezza fessure:		
wk	0.029	mm
wlim	0.300	mm
La verifica è soddisfatta.		

Terza condizione di carico SLE-RAR

INPUT		
Rck	30	Mpa
h	1500	mm
c1	86	mm
$\phi 1$	24	mm
n1	7.807	1/m
c2	135	mm
$\phi 2$	24	mm
n2	7.807	1/m
d	1390	mm
beff	128	mm
x	915	mm
$\sigma_{s,max1}$	27	Mpa
$\sigma_{s,max2}$	27	Mpa
hc,eff	195	mm
Ac,eff	24977	mm ²
$\rho_{p,eff}$	0.036	
kt	0.6	
k1	0.8	
k2	0.5	
k3	3.4	
k4	0.425	

OUTPUT		
diff. def. armature-cls		
$\epsilon_{sm} - \epsilon_{cm}$	7.86E-05	-
distanza max fessure		
$s_{f,max}$	477	mm
ampiezza fessure:		
wk	0.038	mm
wlim	0.300	mm
La verifica è soddisfatta.		

8 VERIFICHE DEL PLINTO DI FONDAZIONE

8.1 VERIFICHE SLU E SLE A TIRANTE-PUNSTONE

Le verifiche SLU e SLE si effettuano controllando che le massime tensioni normali agenti nel tirante di armatura e nella biella compressa di calcestruzzo risultino inferiori ai seguenti valori limite:

per le combinazioni SLU e SLV:

- tensione limite nel calcestruzzo: $\sigma_c = f_{cd}' = 0.5 f_{cd}$
- tensione limite nelle barre: $\sigma_s = f_{yd}$

per le combinazioni SLE-RAR:

- tensione limite nel calcestruzzo: $\sigma_c = 0.55 f_{ck}$
- tensione limite nelle barre: $\sigma_s = 0.75 f_{yk}$

per le combinazioni SLE-QPE:

- tensione limite nel calcestruzzo: $\sigma_c = 0.40 f_{ck}$

Si distinguono due meccanismi di tipo tirante-puntone principali nel plinto di fondazione, illustrati nelle figure seguenti e descritti a seguire:

- un primo meccanismo è innescato dalle azioni trasmesse al plinto dai pali centrali e coinvolge un tirante-puntone parallelo alla direzione longitudinale (evidenziato in verde). Tale meccanismo coinvolge la sola armatura longitudinale inferiore del plinto.
- un secondo meccanismo coinvolge i pali di spigolo ed innesca un tirante-puntone con direzione diagonale (evidenziato in rosso), individuata da un angolo α misurato rispetto alla direzione trasversale. Tale meccanismo coinvolge sia l'armatura longitudinale inferiore del plinto che l'armatura trasversale, pertanto, ai fini delle verifiche del tirante di armatura e della biella di calcestruzzo, si considera composto dalla somma vettoriale di due meccanismi ortogonali disaccoppiati.

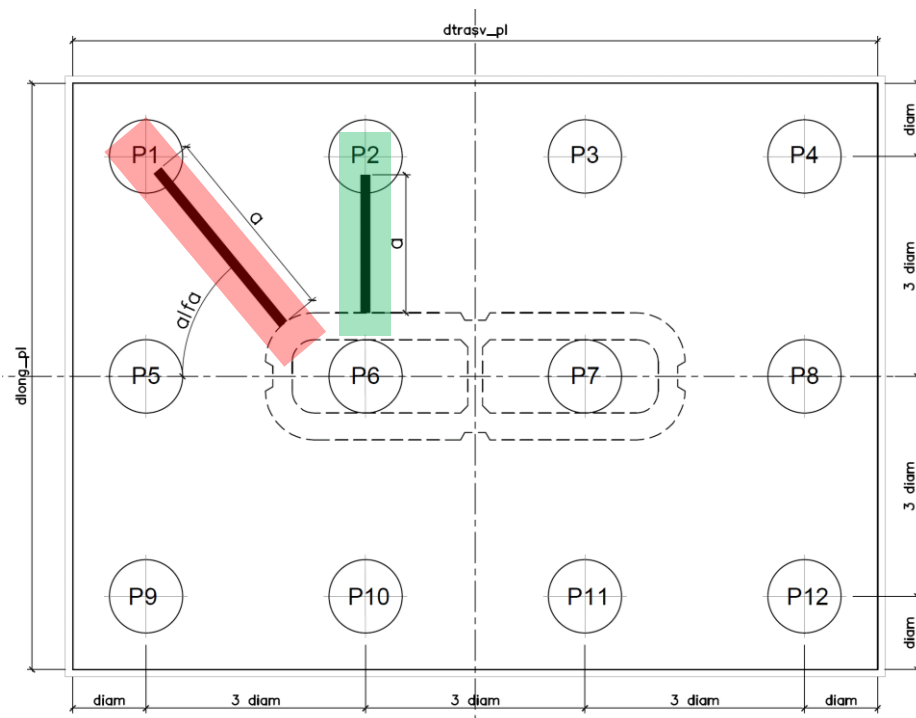


Figura 2 – Vista in pianta - Tirante-puntone longitudinale (verde) e diagonale (rosso)

8.1.1 VERIFICHE RELATIVE AI PALI DI SPIGOLO

Seguono le forze assiali agenti alla testa dei pali nelle condizioni di carico più severe per ogni combinazione di carico:

	Nmax	Nmin
SLU-STR	5978	614
SLU-GEO	4859	821
SIS-SLV	5734	-824
	kN	kN

	Nmax	Nmin
SLE-QP	2728	2371
SLE-RAR	4215	1092
	kN	kN

Seguono le verifiche delle armature superiori ed inferiori del plinto di fondazione:

Armatura inferiore

	Nmax	PEd	T	σ_{s_long}	σ_{s_trasv}	< fyd	C	σ_c	< fcd'
SLU-STR	5978	4654	9798	247	200	VERO	10847	4.7	VERO
SLU-GEO	4859	3535	7442	188	152	VERO	8240	3.6	VERO
SIS-SLV	5734	4410	9283	234	190	VERO	10277	4.5	VERO
	kN	kN	kN	Mpa	Mpa		kN	Mpa	

Armatura superiore

	Nmin	PEd	T	σ_{s_long}	σ_{s_trasv}	< fyd	C	σ_c	< fcd'
SLU-STR	614	-							
SLU-GEO	821	-							
SIS-SLV	-824	2148	4522	330	267	VERO	5006	2.2	VERO
	kN	kN	kN	Mpa	Mpa		kN	Mpa	

Armatura inferiore

	Nmax	PEd	T	σ_{s_long}	σ_{s_trasv}	< 0.75 fyk	C	σ_c	< 0.40 fck'
SLE-QP	2728	1404	2955	75	60	VERO	3272	1.4	VERO
SLE-RAR	4215	2891	6086	154	124	VERO	6738	2.9	VERO
	kN	kN	kN	Mpa	Mpa		kN	Mpa	

Armatura superiore

	Nmin	PEd	T	σ_{s_long}	σ_{s_trasv}	< 0.75 fyk	C	σ_c	< 0.40 fck'
SLE-QP	2371	-							
SLE-RAR	1092	-							
	kN	kN	kN	Mpa	Mpa		kN	Mpa	

Le verifiche sono soddisfatte.

8.1.2 VERIFICHE RELATIVE AI PALI DI INTERMEDI

Forze assiali agenti alla testa dei pali nelle condizioni di carico più severe per ogni combinazione di carico.

	Nmax	Nmin
SLU-STR	5651	900
SLU-GEO	4577	1068
SIS-SLV	5373	-485
	kN	kN

	Nmax	Nmin
SLE-QP	2728	2371
SLE-RAR	3995	1284
	kN	kN

Seguono le verifiche delle armature superiori ed inferiori del plinto di fondazione:

Armatura inferiore

	Nmax	PEd	T	σ_{s_long}	σ_{s_trasv}	< fyd	C	σ_c	< fcd'
SLU-STR	5651	4327	5734	207	-	VERO	7183	2.8	VERO
SLU-GEO	4577	3253	4309	156	-	VERO	5399	2.1	VERO
SIS-SLV	5373	4049	5365	194	-	VERO	6721	2.6	VERO
	kN	kN	kN	Mpa	Mpa		kN	Mpa	

Armatura superiore

	Nmin	PEd	T	σ_{s_long}	σ_{s_trasv}	< fyd	C	σ_c	< fcd'
SLU-STR	900	-							
SLU-GEO	1068	-							
SIS-SLV	-485	1809	2396	287	-	VERO	3002	1.2	VERO
	kN	kN	kN	Mpa	Mpa		kN	Mpa	

Armatura inferiore

	Nmax	PEd	T	σ_{s_long}	σ_{s_trasv}	< 0.75 fyk	C	σ_c	< 0.40 fck'
SLE-QP	2728	1404	1860	67	-	VERO	2330	0.9	VERO
SLE-RAR	3995	2671	3539	128	-	VERO	4433	1.7	VERO
	kN	kN	kN	Mpa	Mpa		kN	Mpa	

Armatura superiore

	Nmin	PEd	T	σ_{s_long}	σ_{s_trasv}	< 0.75 fyk	C	σ_c	< 0.40 fck'
SLE-QP	2371	-							
SLE-RAR	1284	-							
									VERO
	kN	kN	kN	Mpa	Mpa		kN	Mpa	

Le verifiche sono soddisfatte.

8.2 VERIFICHE SLU A PUNZONAMENTO

Conservativamente, la verifica è stata riferita al palo di bordo maggiormente sollecitato e lo sviluppo del perimetro efficace u è stato definito considerando una distanza dall'impronta caricata (coincidente con la sezione di testa del palo) pari a $d = a \cdot 0.9 H_{pl}$ (H_{pl} = altezza plinto, $a < 2$), come illustrato nella seguente figura.

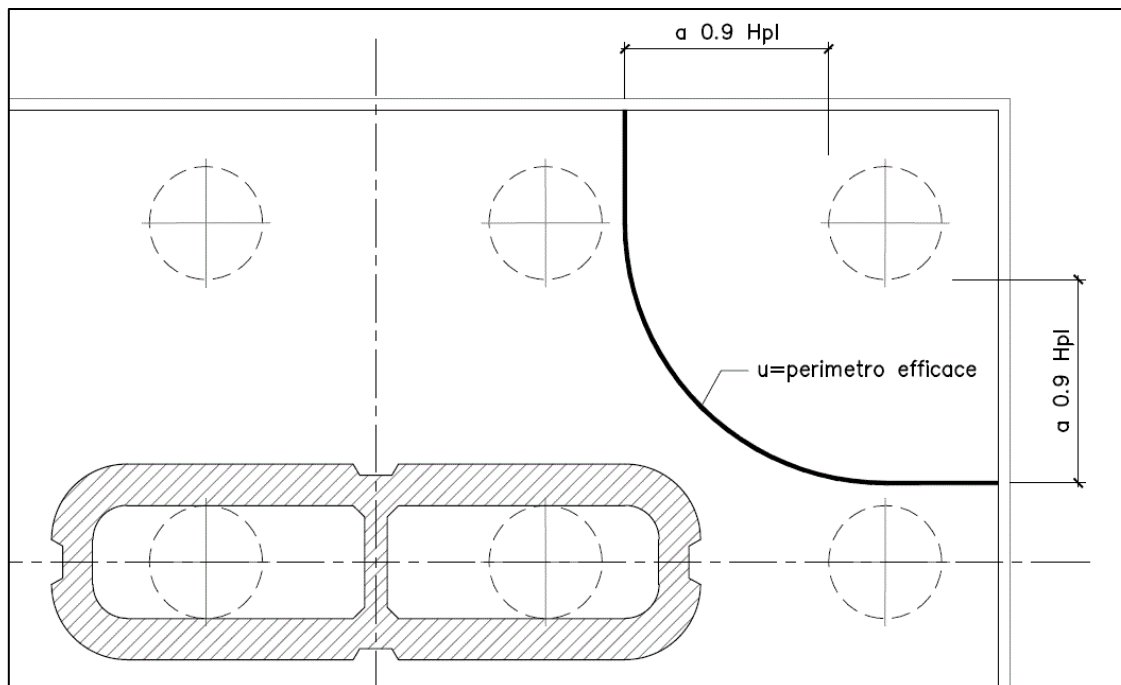


Figura 3 – Perimetro efficace per la verifica a taglio-punzonamento

A seguire si riportano il valore della forza concentrata V_{Ed} [kN] agente alla testa del palo maggiormente sollecitato nella condizione di verifica più severa, il valore del coefficiente a che individua la geometria del perimetro efficace e lo sviluppo u [m] di quest'ultimo.

V_{Ed}	4654	kN
a	1.0	
u	7.7	m

Verifica a punzonamento per sezioni rettangolari SENZA armatura a taglio (NTC08 - EC2-rev05)				
classe cls	C	35	Mpa	
coeff. parziale	γ_c	1.5		
perimetro di verifica	u_1	7700	mm	
altezza soletta	H	2500	mm	
altezza utile	d	2390	mm	
diametro ferro longitudinale teso	ϕ_{lon}	28	mm	
	strati	2		
	passo	150	mm	
percentuale di armatura trasversale teso	ρ_{lx}	0.34%		
diametro ferro trasversale	ϕ_{tra}	28	mm	
	strati	2		
	passo	150	mm	
percentuale di armatura trasv	ρ_{tx}	0.34%		
percentuale di armatura totale	ρ_l	0.34%		
Eventuale compressione long	σ_{c_lon}	0	Mpa	
Eventuale compressione trasv	σ_{c_tra}	0	Mpa	
	σ_c	0.00	N/mm ²	
	k ₁	0.10		
	$C_{r,dc}$	0.12		
	k	1.29		
	v _{min}	0.30	Mpa	
	v_{rd_c}	0.354	Mpa	
	v_{min+k1σ_{cp}}	0.303	Mpa	
Tensione resistente taglio-punzonamento	v_{rd_c}	0.354	N/mm ²	
taglio sollecitante	VE_d	4654	kN	
	vE_d	0.253	Mpa	
La verifica è soddisfatta	v_{rd_c}	>	ved	

8.3 VERIFICHE SLE A FESSURAZIONE

La verifica SLE a fessurazione si effettua controllando che il massimo valore di apertura delle fessure risulti inferiore ai seguenti valori limite:

per le combinazioni SLE-RAR:

- apertura fessure limite: $w_{lim} = w_1 = 0.30 \text{ mm}$

Le verifiche riportate a seguire sono riferite al meccanismo tirante-puntone che coinvolge i pali di spigolo (meccanismo diagonale), ossia il più severo tra i due presi in considerazione.

1. Armatura longitudinale inferiore

INPUT		
Rck	35	Mpa
h	2500	mm
c1	54	mm
$\phi 1$	28	mm
n1	6.667	1/m
c2	110	mm
$\phi 2$	28	mm
n2	6.667	1/m
d	2418	mm
beff	150	mm
σ_{s_max1}	154	Mpa
σ_{s_max2}	154	Mpa
h_{c_eff}	205.0	mm
A_{c_eff}	30750	mm ²
ρ_{p_eff}	0.040	
kt	0.6	
k1	0.8	
k2	1	
k3	3.4	
k4	0.425	

OUTPUT		
diff. def. armature-cls		
$\epsilon_{sm} - \epsilon_{cm}$	4.88E-04	-
distanza max fessure		
s_{r_max}	548	mm
ampiezza fessure:		
wk	0.267	mm
wlim	0.300	mm
La verifica è soddisfatta.		

1. Armatura trasversale inferiore

INPUT		
Rck	35	Mpa
h	2500	mm
c1	82	mm
ϕ 1	28	mm
n1	6.667	1/m
c2	138	mm
ϕ 2	28	mm
n2	6.667	1/m
d	2390	mm
beff	150	mm
σ s_max1	124	Mpa
σ s_max2	124	Mpa
hc,eff	275.0	mm
Ac,eff	41250	mm ²
ρ p,eff	0.030	
kt	0.6	
k1	0.8	
k2	1	
k3	3.4	
k4	0.425	

OUTPUT		
diff. def. armature-cls		
ϵ sm - ϵ cm	3.63E-04	-
distanza max fessure		
s Γ ,max	758	mm
ampiezza fessure:		
wk	0.275	mm
wlim	0.300	mm
La verifica è soddisfatta.		